Курс «измерение электрических и неэлектрических величин»

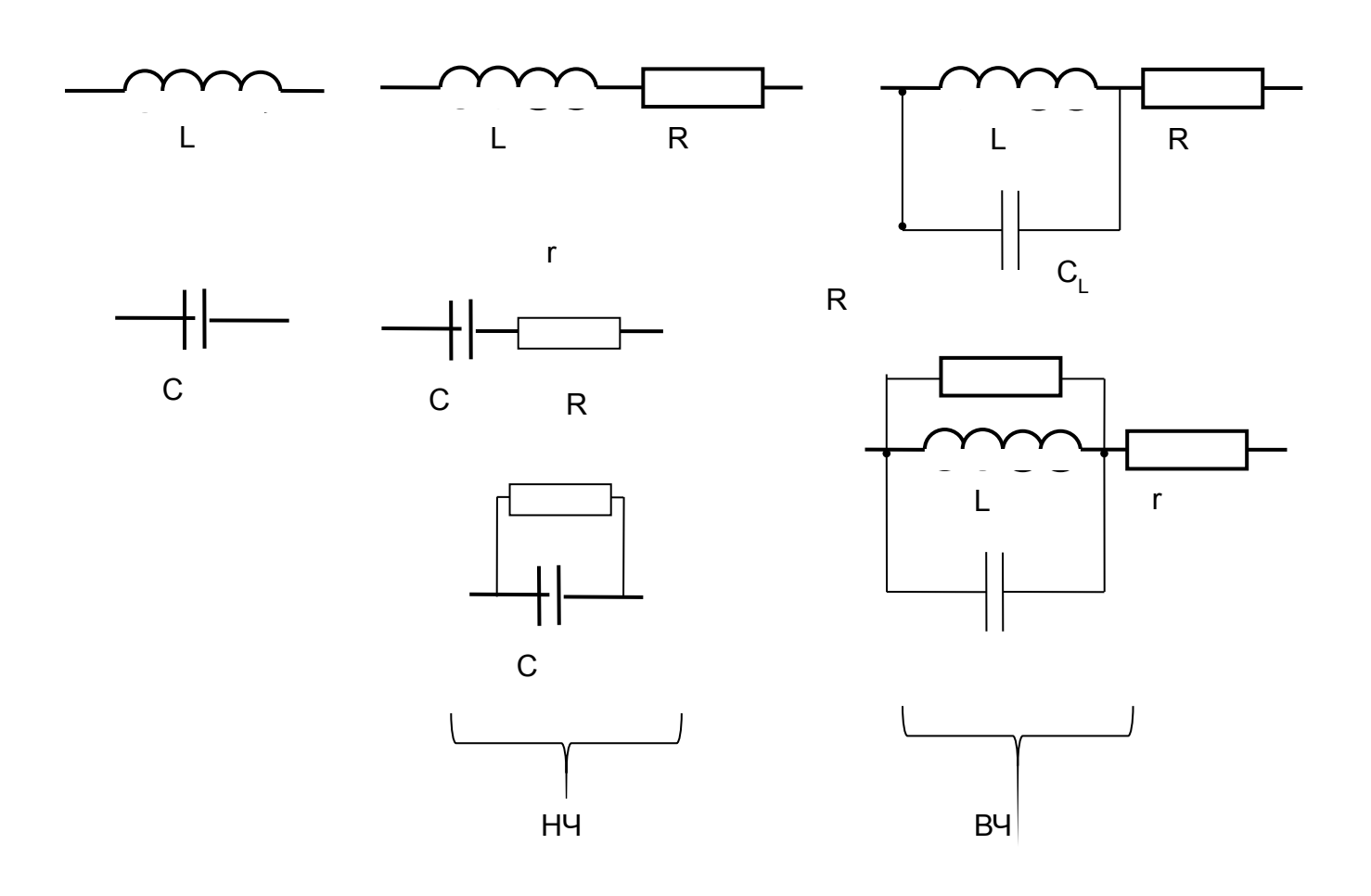
Рекомендуемая литература:

- 1. Раннев Г.Г. Тарасенко А.П. Методы и средства измерений.
- 2. В.Д.Кукуш Электрорадиоизмерения.
- 3. Ф.П. Кушнир Электрорадиоизмерения.
- 4. Кушнир Ф.П. Савенко В.Г. Электрорадиоизмерения.
- 5. Карпов Р.Г. Карпов Н.Р. Электрорадиоизмерения.
- 6. Туричин А.М., Новицкий П.В., Левшина Е.С. «Электрические измерения неэлектрических величин».
- 7. Левшина Е.С., Новицкий П.В. «Электрические измерения неэлектрических величин».
- 8. «Датчики измерительных систем» Ж. Аш с соавторами.

Измерение электрических величин

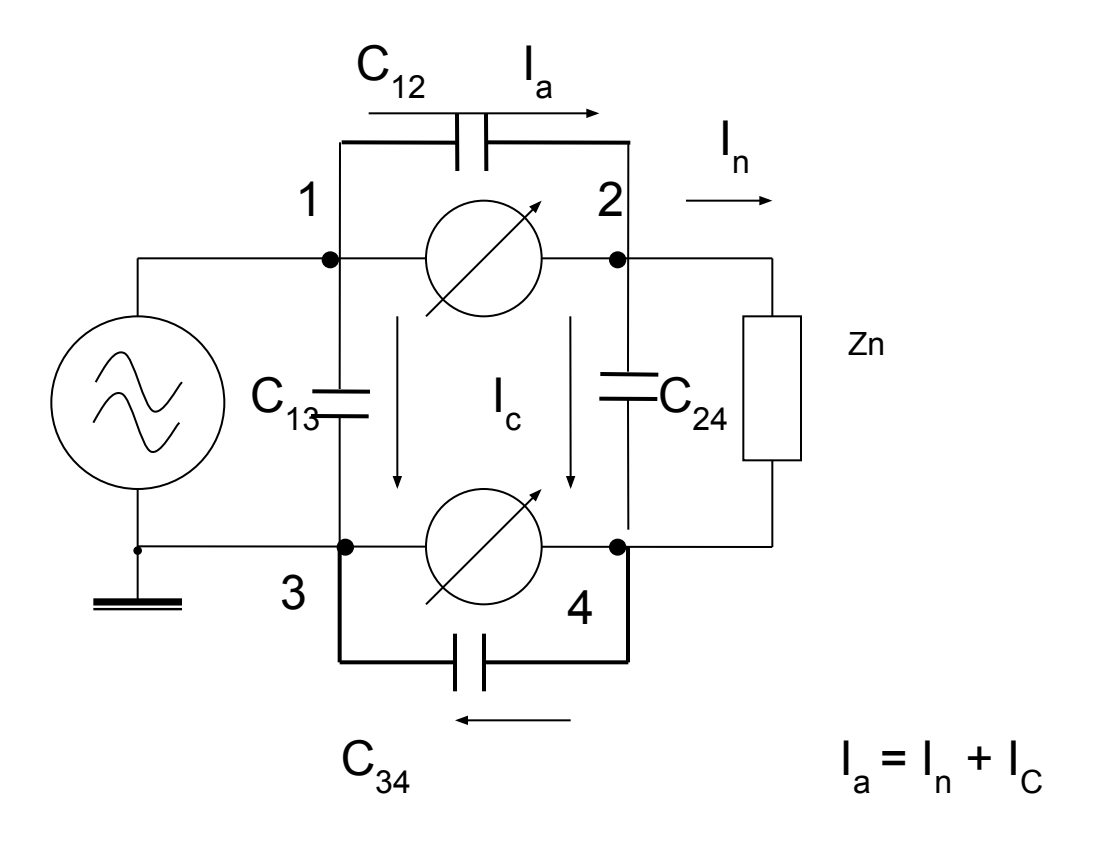
Особенности радиоизмерений.

Схемы замещения параметров цепей на НЧ и ВЧ



Особенности радиоизмерений.

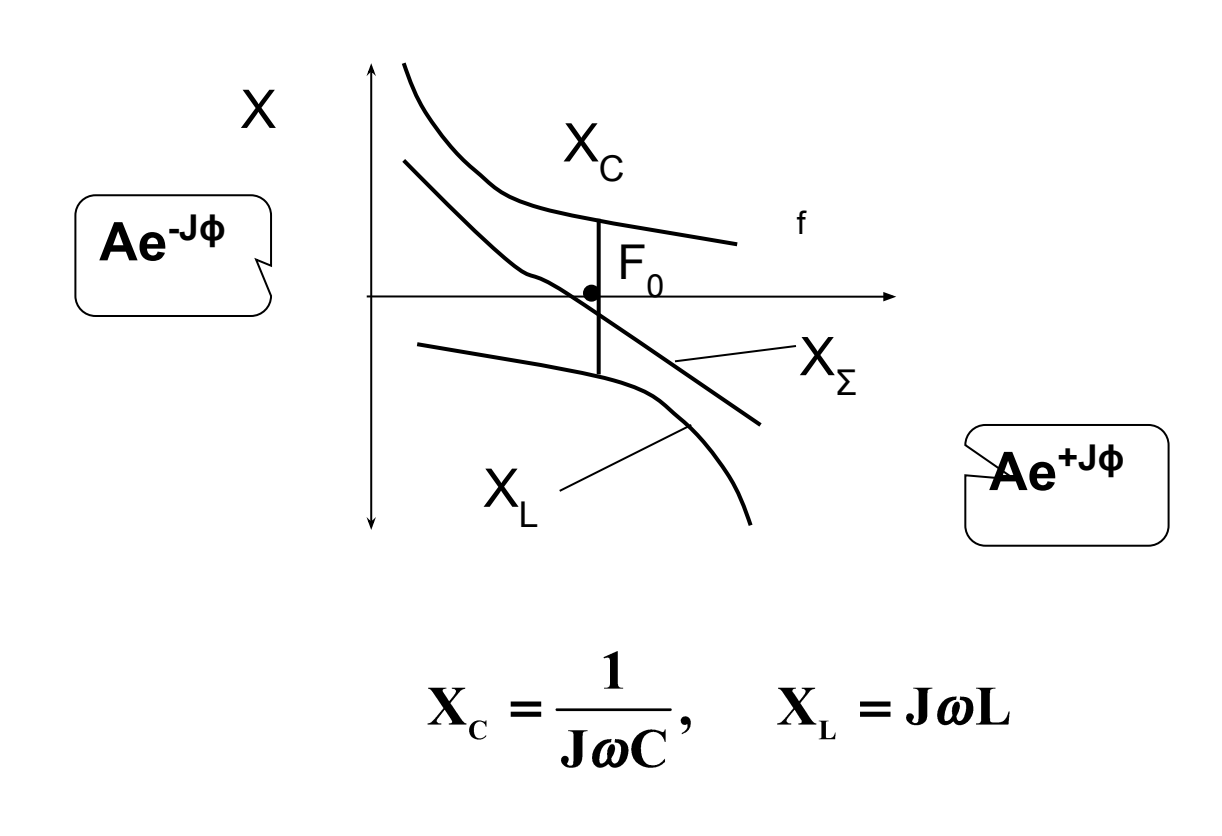
Место подключения СИ в ВЧ - цепях



4

Особенности радиоизмерений.

Режимы работы реактивных параметров на ВЧ



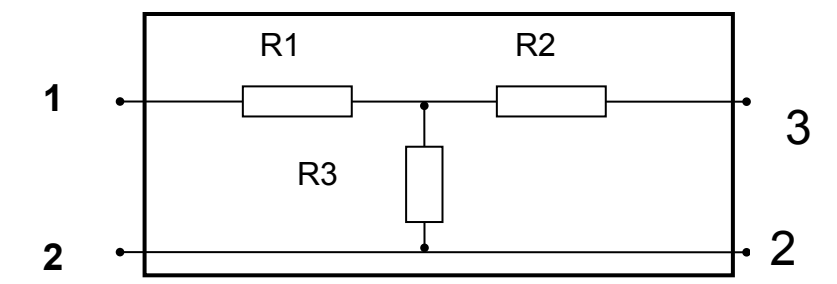
Виды измерений

- 1. Прямые из опыта Y=f(X), $Y=AX_{e\partial}$,
- 2. Косвенные по известной функциональной зависимости от других, измеренных прямым методом.

Y=f(X1, X2, Xi... Xn), P=I R, $^{2}\rho = R \cdot S/I.$

3. Совокупные и совместные имеют единую математическую модель: Совокупные –одноимённые, совместные - разноимённые $Y=f(X_1, X_2, ... X_n, Y_1, Y_2, ... Y_m), X_i$ – измеренные, Y_i – вычисленные величины, n>m. Решая систему I0 уравнений, I1 – число параметров, находят искомые

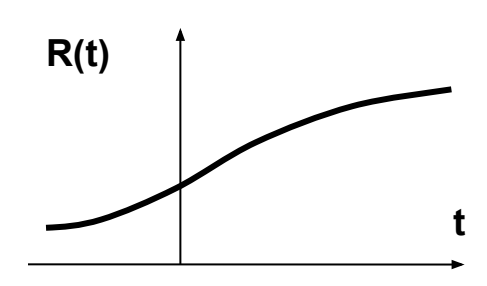
Совокупные



Система уравнений: 1). R13 = R1 +R3, 2). R12 = R1 +R2, 3). R23 = R3 +R2.

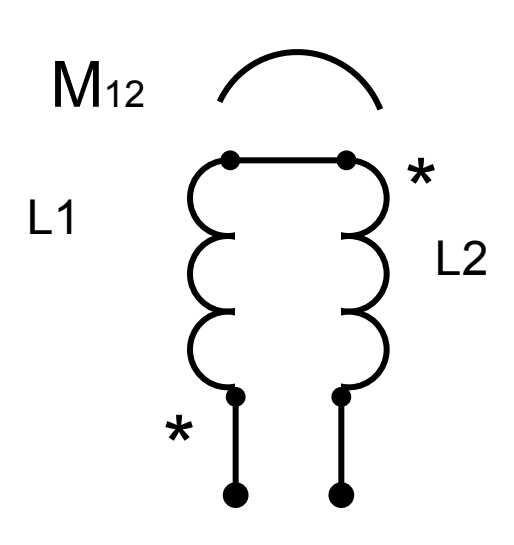
R1, R2, R3- искомые

Совместные

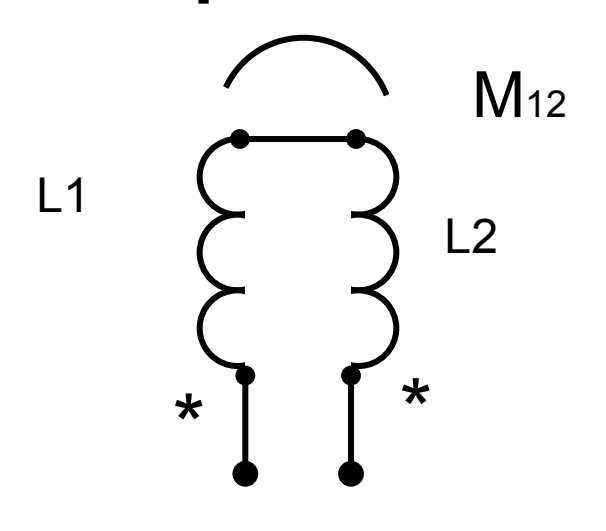


Rt = R0[1+ α (t-t0)+ β (t-100)]; α и β - искомые параметры

Совокупные измерения



$$L_{\Sigma}$$
= L1 + L2 + 2M₁₂



$$L_{\Sigma} = L1 + L2 - 2M_{12}$$

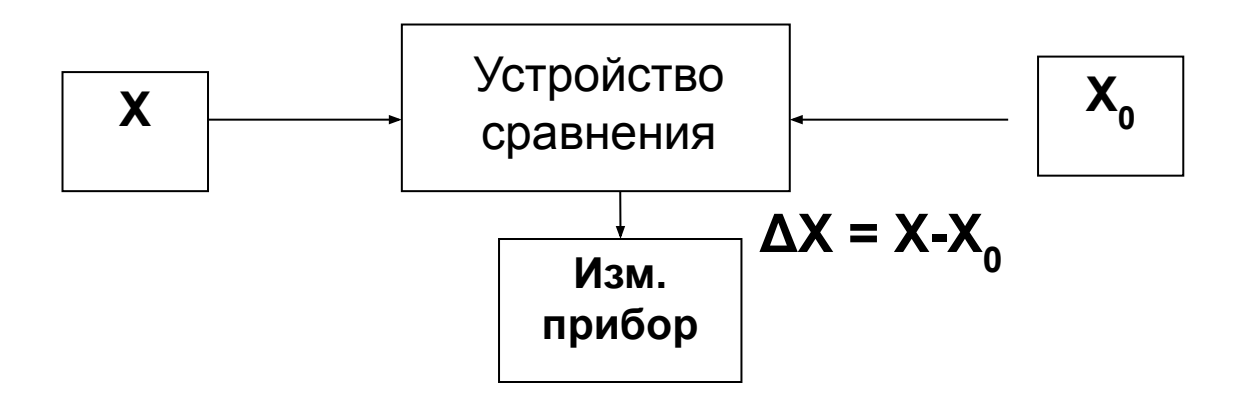
Методы и средства измерений

Классификация методов измерений : Прямые:

- Метод непосредственной оценки.
- Методы сравнения с мерой:
- а) дифференциальный,
- б)нулевой,
- в) замещения,
- г) метод совпадения отметок или сигналов.

Метод сравнения

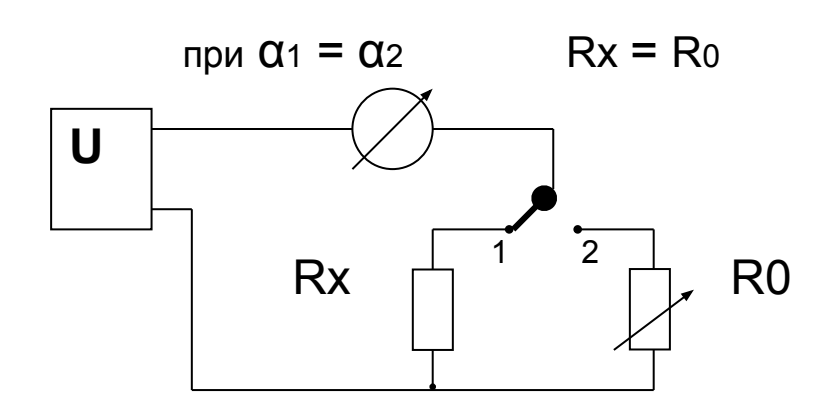
а)Дифференциальный



б) Нулевой

X Устройство сравнения X_0 X_0 Ноль индикатор

в) Замещения.



Устройство, принцип работы, характеристики, аналоговых СИ

Электромагнитная энергия

$$W_{\acute{Y}} = I\Psi(\alpha) + \frac{1}{2}LI^2 + \frac{1}{2}CU^2 + M_{12}I_1I_2$$

В приборах магнитоэлектрической системы

$$W_{\circ} = I\Psi(\alpha)$$

В приборах электромагнитной системы

$$W_{\circ} = \frac{1}{2}LI^2$$

;В приборах электродинамической системы

$$W_{\acute{Y}} = M_{12}I_1I_2$$

Электромагнитная энергия преобразуется в силу или момент

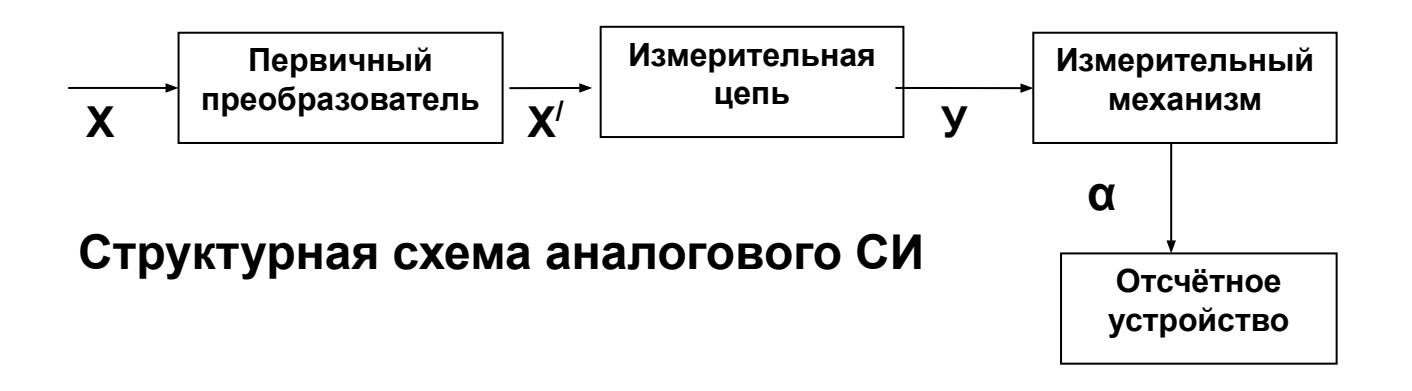
$$M = \frac{dW}{d\alpha}; \qquad F = \frac{dW}{dx}.$$

Противодействующий момент Мпр = Κα

устанавливающий момент

Mycт = Mвр + Mпр + Mтр + Mycп

Устройство, принцип работы, характеристики, аналоговых средств измерений.



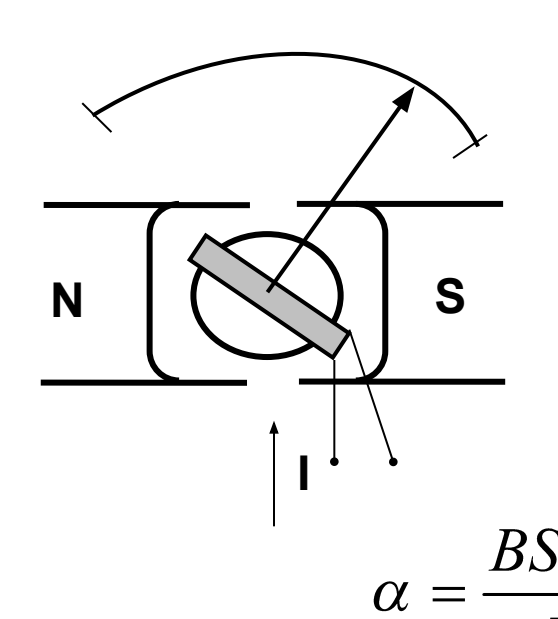
Уравнение преобразования измерительного механизма аналогового прибора.

$$M_{_{BP}} = \frac{dW_{\acute{Y}}}{d\alpha}, \qquad \text{Mbp = φ (X,Y)}. \qquad \text{Mnp = κ\alpha,} \qquad \alpha = \frac{\grave{I}_{\hat{A}\!\!-\!\!D}}{\hat{E}} = \frac{\varphi(X,Y)}{\hat{E}}.$$

Х - измеряемая величина, Ү - параметры измерительного механизма,

Устройство, уравнение шкалы и характеристики приборов

магнитоэлектрической системы



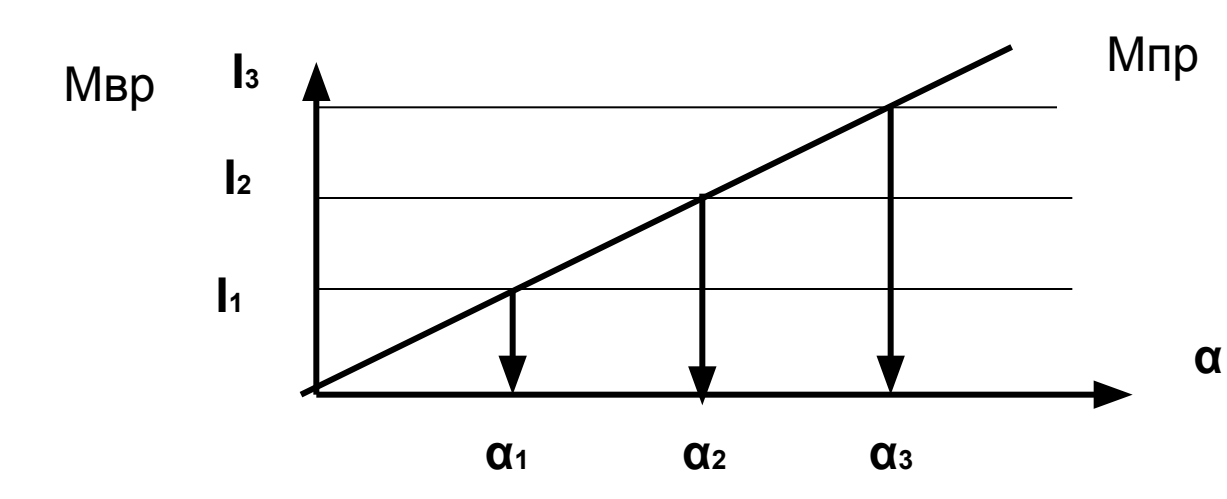
при Мвр = Мпр

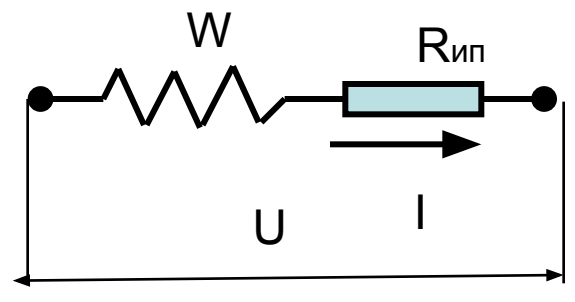
$$S_I = \frac{BSW}{K}$$

 $S_I = rac{BSW}{K}$ чувствительность по току

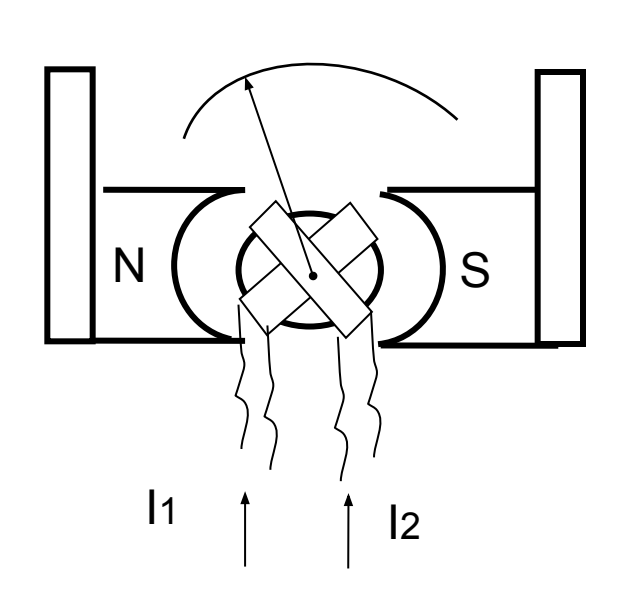
$$S_{U} = \frac{BSU}{KR_{E\ddot{I}}}$$

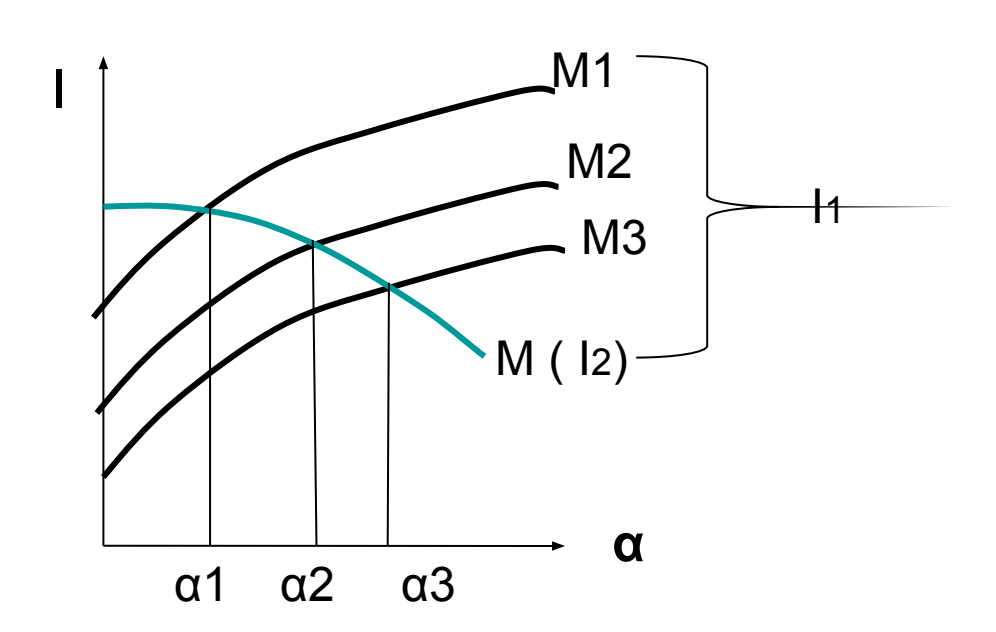
 $S_{\rm U} = {{
m BSU} \over {
m KR}_{
m FT}}$ чувствительность по напряжению





Логометры магнитоэлектрической системы





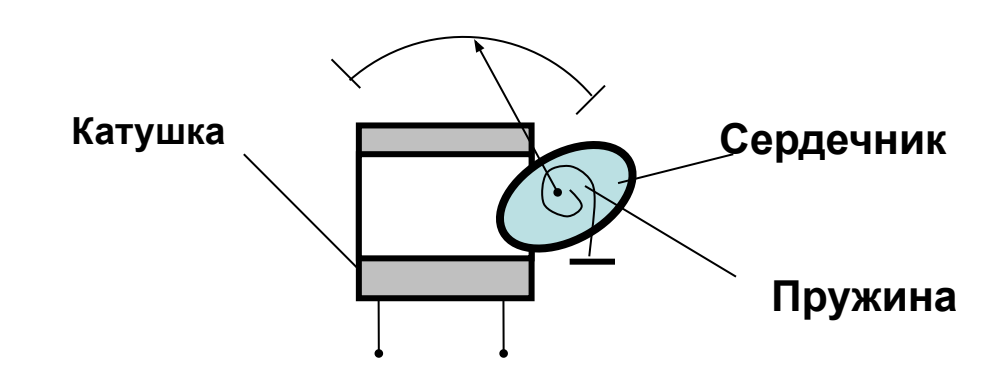
Электрокинетическая энергия рамок с током в поле постоянного магнита

$$W_1 = \phi_1(\alpha)I_1 \quad W_2 = \phi_2(\alpha)I_2,$$

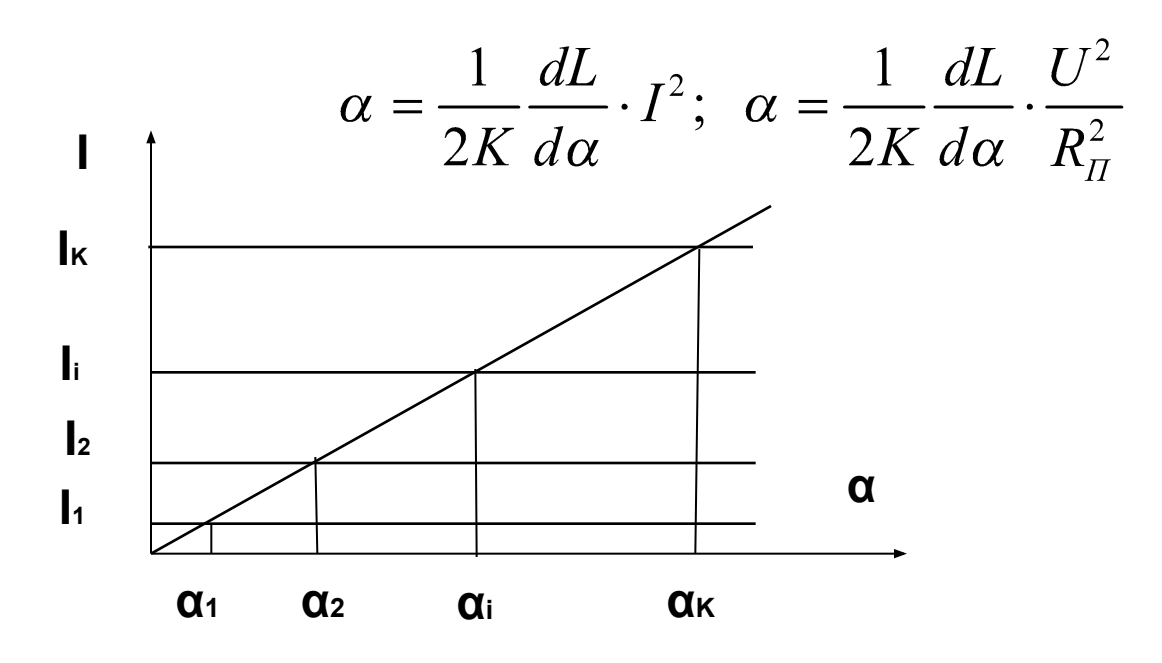
Моменты, создаваемые рамками

$$\dot{I}_{1} = \frac{d\phi_{1}(\alpha)}{d\alpha}I_{1}, \qquad \dot{I}_{2} = \frac{d\phi_{2}(\alpha)}{d\alpha}I_{2}, \qquad \frac{I_{1}}{I_{2}} = \frac{d\phi_{2}(\alpha)}{d\alpha} / \frac{d\phi_{1}(\alpha)}{d\alpha} = f(\alpha), \quad \alpha = F\left(\frac{I_{1}}{I_{2}}\right)$$
13

Устройство, уравнение шкалы и основные характеристики приборов электромагнитной системы

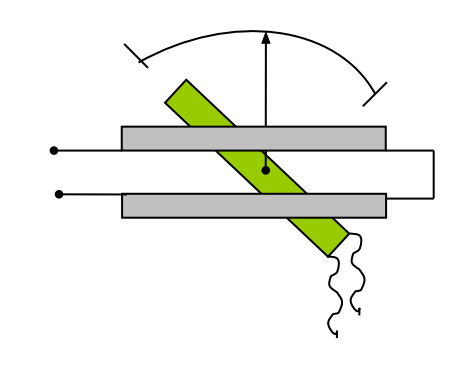


Уравнение шкалы электромагнитного прибора



Устройство, уравнение шкалы и основные характеристики приборов электродинамической системы

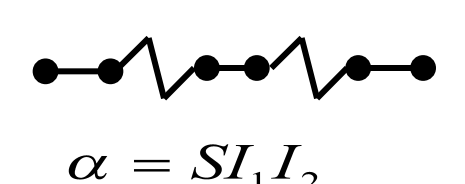
$$\textbf{W\tiny 9M} = \frac{1}{2} L_1 I_1^2 + \frac{1}{2} L_2 I_2^2 + M I_1 I_2 \quad M_{BP} = 0, \\ 5 I_1^2 \frac{dL_1}{d\alpha} + 0, \\ 5 I_2^2 \frac{dL_2}{d\alpha} \pm I_1 I_2 \frac{dM_{12}}{d\alpha}$$

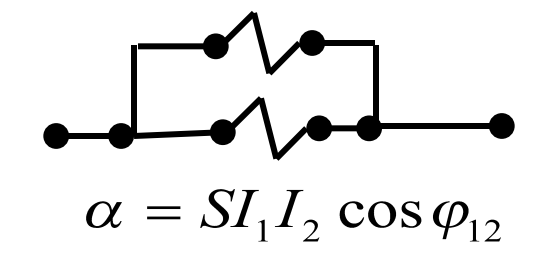


$$L_1$$
, L_2 = const

При Мвр = Мпр = К·
$$\alpha$$
 $\alpha = \frac{1}{K} \frac{dM_{12}}{d\alpha} I_1 I_2$

При
$$i_1(t) = I_{1m} \sin(\omega t + \phi 1)$$
, $i_2(t) = I_{2m} \sin(\omega t + \phi 2)$,



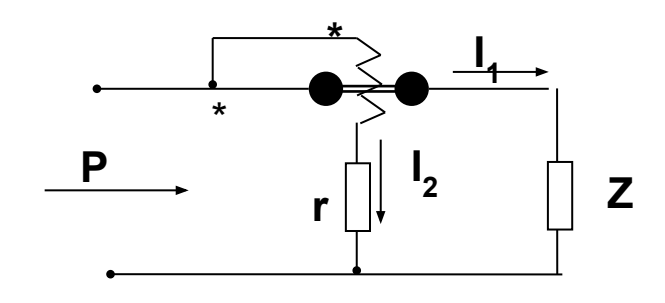


Электродинамический ваттметр

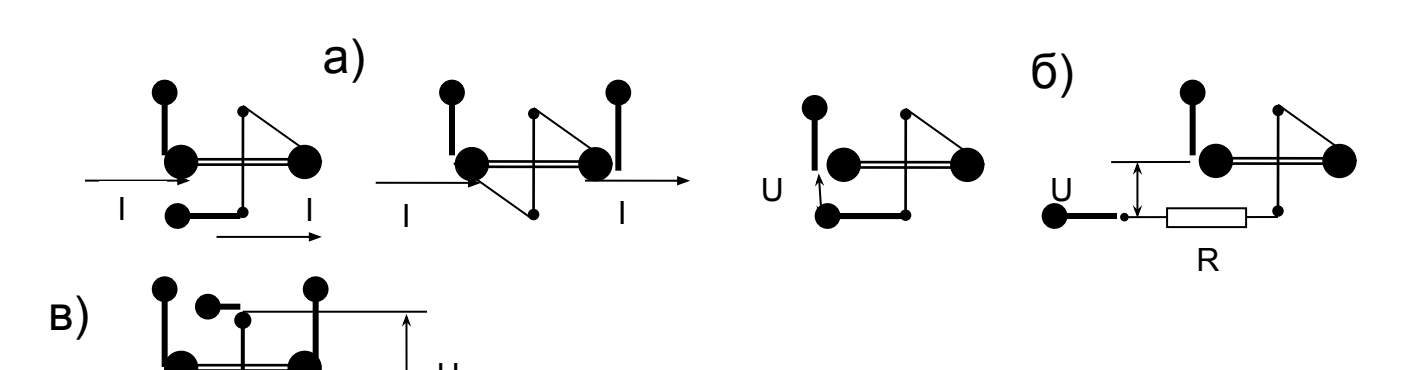
Уравнение шкалы

$$\alpha = \frac{MM_{12}}{M\alpha} \ln ak_2 \frac{dM_{12}}{d\alpha} I_1 \frac{U}{r}, \quad uidt \quad mov \partial a \frac{d}{d\alpha} \frac{1}{kP} \int_{0}^{T} dx dx dx dx$$

$$uidt \ moe \partial a \frac{d}{d\alpha} kP \int_{0}^{T} \alpha =$$



Соединение катушек электродинамического прибора для работы его в качестве: а) амперметра, б) вольтметра, в) ваттметра



Счётчик активной энергии

В последовательном электромагните – ток потребителей энергии .

Магнитный поток Фмі в сердечнике пропорционален току I,

В параллельном электромагните – ток lu

Магнитный поток Фмυ в сердечнике пропорционален напряжению **∪**

Два магнитных потока в диске создают Мвр = $K \Phi_M \Phi_M \mathbf{u}$ i sin $\psi = 900$

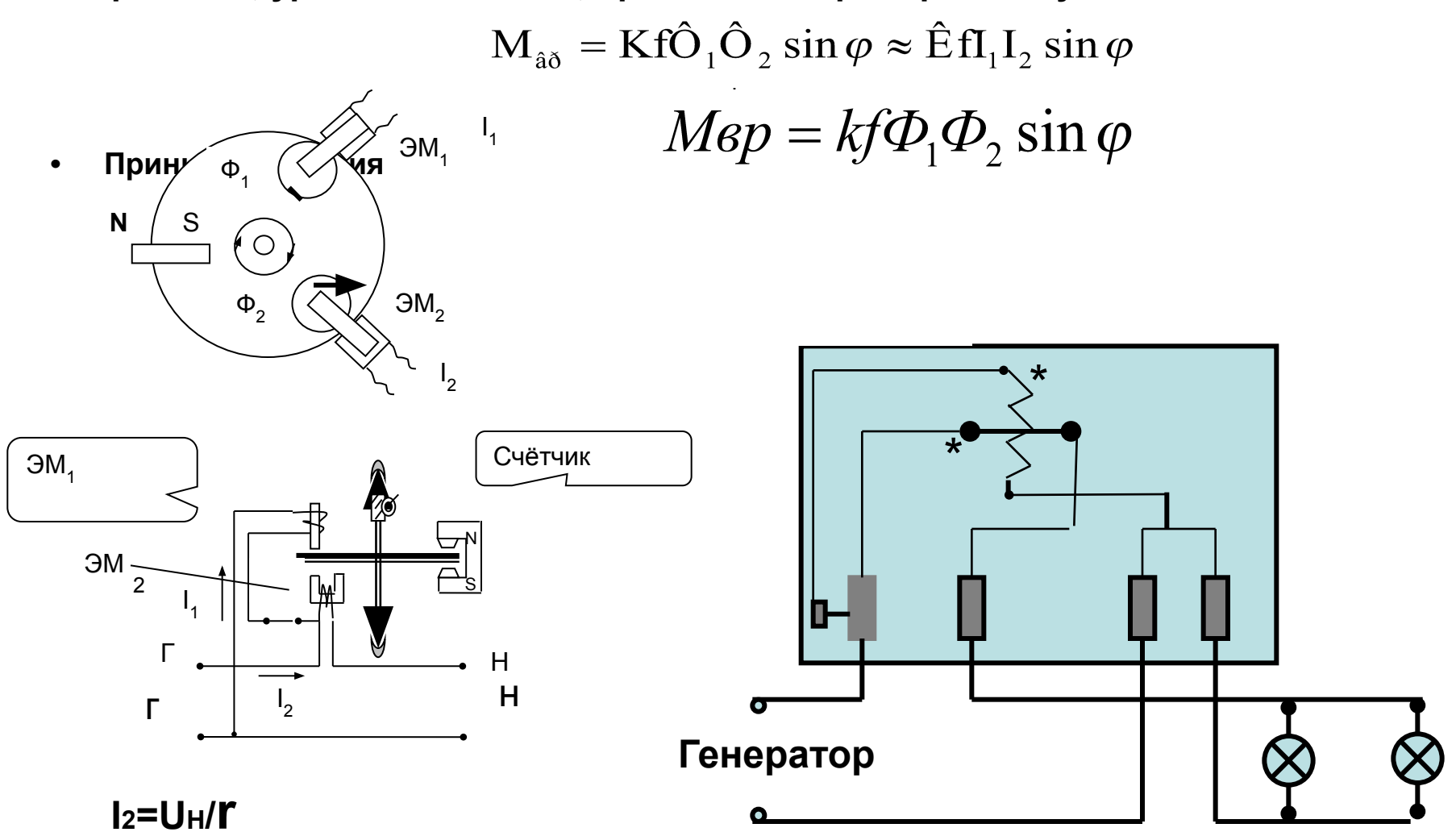
 $Mep = K_1 IUcos \phi = K_1 P$

Тормозной момент создаётся потоком Фт тормозного магнита

$$M_T = K_2 I_B \Phi_T$$

Ів –вихревые токи в диске пропорциональны Ев и скорости вращения диска п об/мин

Устройство, уравнение шкалы, применение приборов индукционной системы

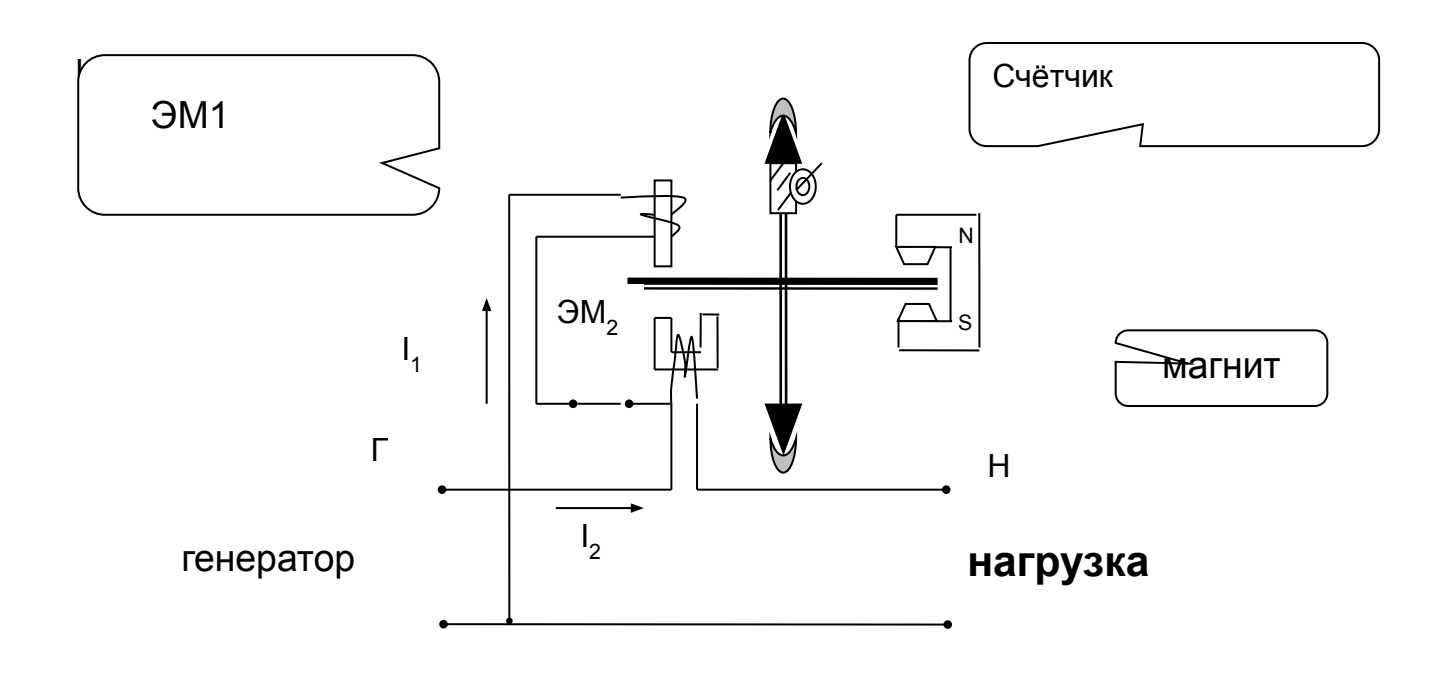


Счётчик эл. энергии

$$\begin{split} M_{\hat{a}\hat{o}} &= kf \hat{O}_U \hat{O}_I \sin \psi \qquad \hat{O}_U \approx K_1 \frac{U}{Z_K} = \frac{U}{\omega L} = K \frac{U}{f} \\ \hat{O}_I &= KI \rightarrow \quad \hat{I}_{\hat{a}\hat{o}} = \hat{e} UI \sin \psi = KP \qquad \sin \psi = \cos \varphi \\ M_{\hat{O}\hat{I} \rightarrow \hat{I}} &= k \hat{O}^2 \frac{d\alpha}{dt} = C \frac{d\alpha}{dt} \end{split}$$

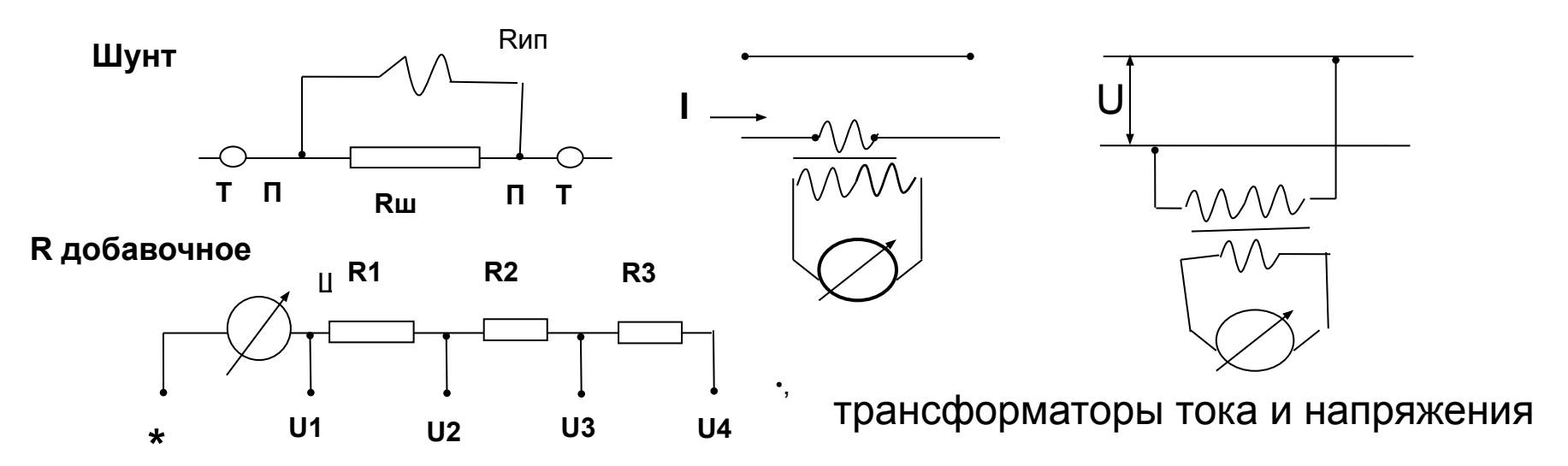
$$KP = C\frac{d\alpha}{dt} \qquad K\int_{t_1}^{t_2} Pdt = C\int_{t_1}^{t_2} d\alpha \qquad \int_{t_1}^{t_2} d\alpha = 2\pi N \qquad \hat{\imath} \, \hat{\alpha} \hat{\imath} \, \hat{\delta} \, \hat{\imath} \, \hat{\alpha} \, \hat$$

Схема включения счётчика активной энергии

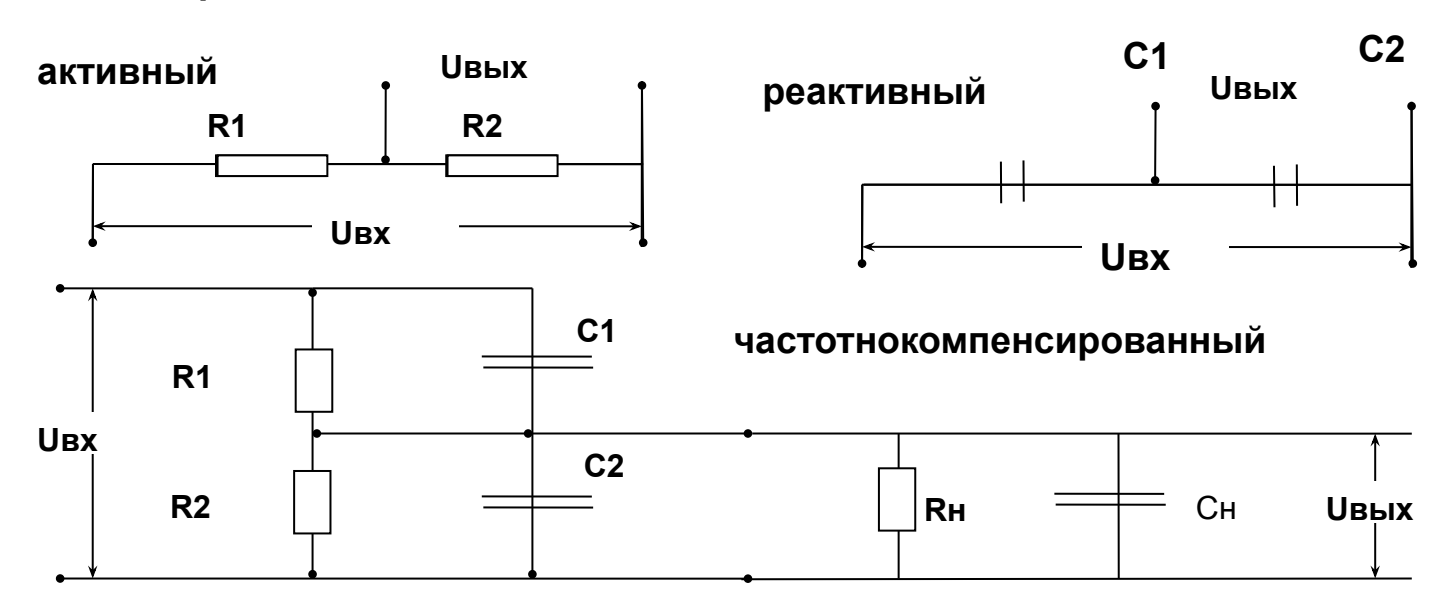


Измерение тока и напряжения аналоговыми приборам	1И

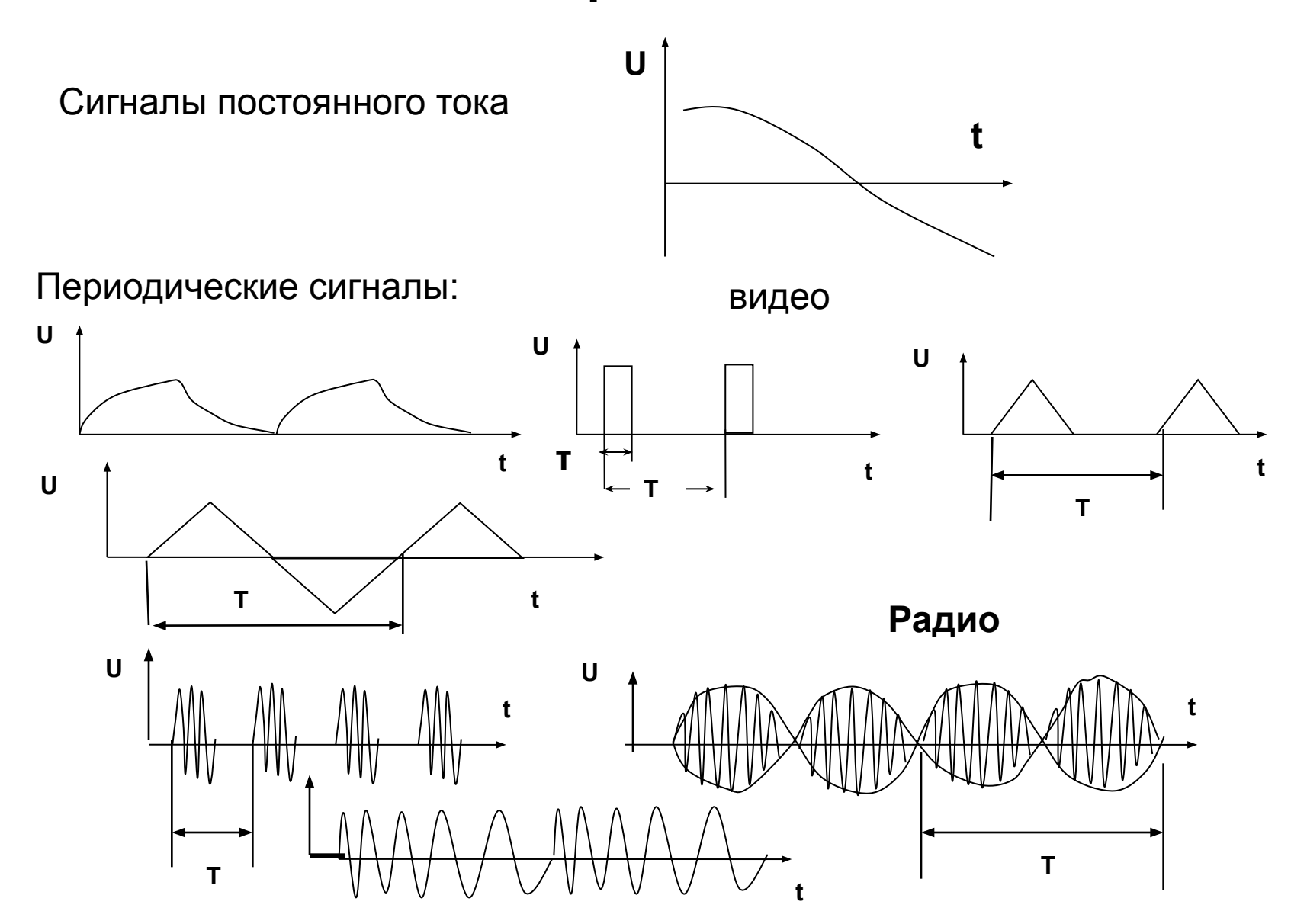
Измерительные преобразователи амперметров и вольтметров



Делители напряжения

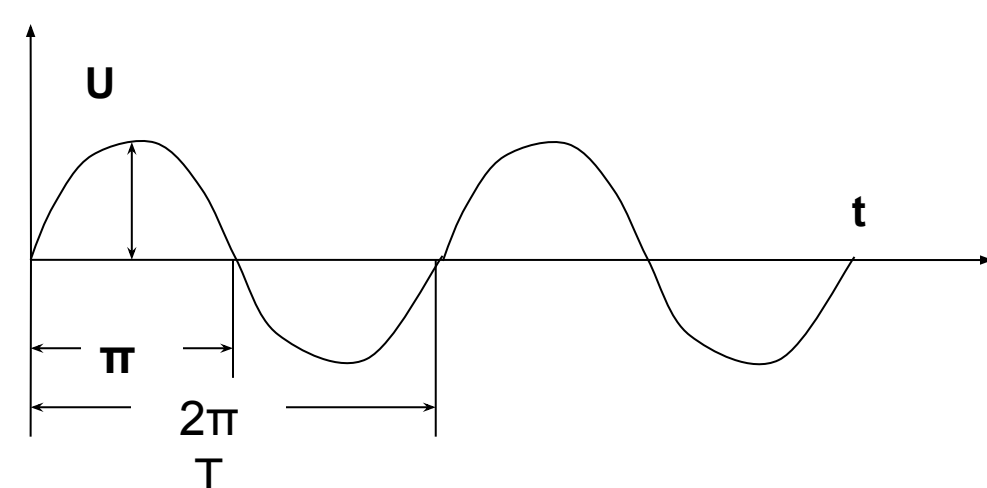


Виды измерительных сигналов.



Виды измерительных сигналов.

Синусоидальные (гармонические) сигналы



Несинусоидальные сигналы

$$u = U_O + \sum_{K=1}^n U_{mk} \sin(\omega t + \varphi_K).$$

к - гармоники

Интегральные оценки периодических сигналов

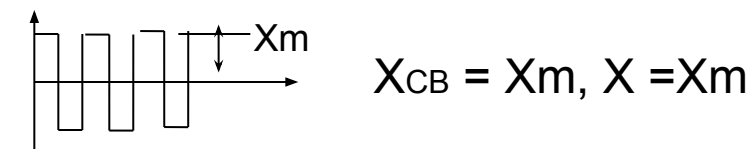
$$U_{CP} = \frac{1}{T} \int_{0}^{T} u(t) dt = U_{O}, \quad U_{CPB} = \frac{1}{T} \int_{0}^{T} |u(t)| dt, \quad U = \sqrt{\frac{1}{T} \int_{0}^{T} [u(t)]^{2} dt},$$

Для несинусоидального сигнала

$$U = \sqrt{\sum_{\hat{E}=1}^{n} U_K^2}$$

Таблица интегральных характеристик сигналов

$$X_{CB} = \frac{2X_{m}}{\pi}, \quad X = \frac{X_{m}}{\sqrt{2}}, \quad X = 0.71X_{m}, \quad X_{CB} = 0.64X_{m}$$
 $X = 1.11X_{CB}$



$$X_{CB} = X_{CB} + X_{CB} = X_{CB} + X$$

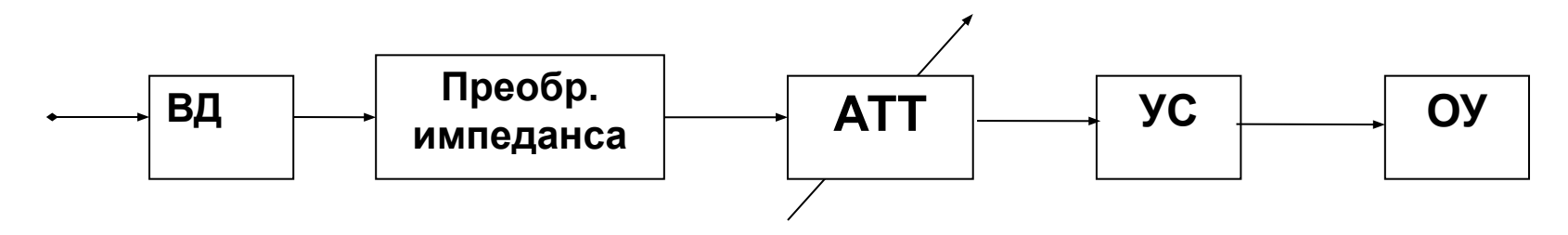
$$X_{C} = \frac{\tau_{\dot{E}}}{\dot{O}}\tilde{O}_{m} \qquad X = \sqrt{\frac{\tau}{T}}X_{m}$$

$$X_{CB} = 0.5X_{m}$$

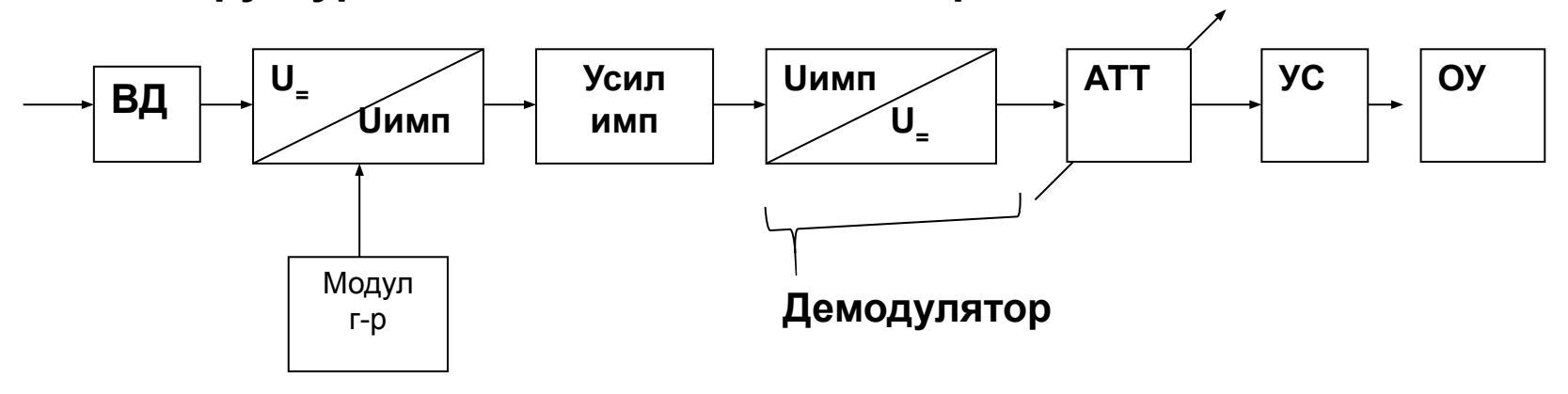
$$X_{\text{CB}} = 0.5X_{\text{m}}$$
 $X = \frac{X_{\text{m}}}{\sqrt{3}}, \quad X = 0.58X_{\text{m}}$

Структурные схемы вольтметров

Структурная схема вольтметра постоянного тока. (В2)



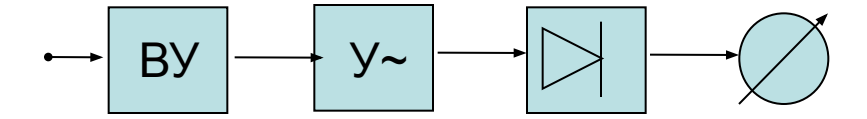
Структурная схема милливольтметра постоянного тока



Электронные вольтметры переменного напряжения структурные схемы электронных вольтметров

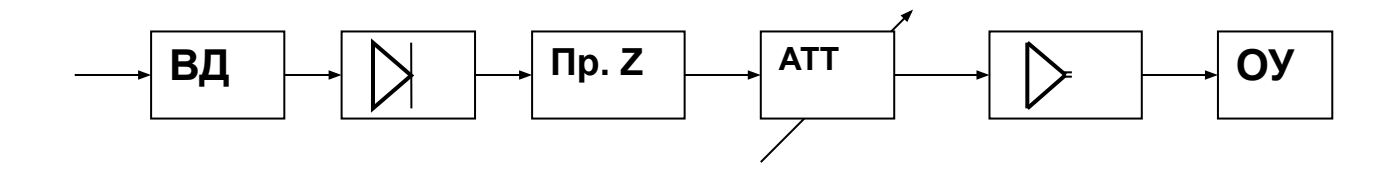
вольтметр типа входное устройство - детектор – усилитель - измеритель;

вольтметр типа входное устройство - усилитель – детектор – измеритель

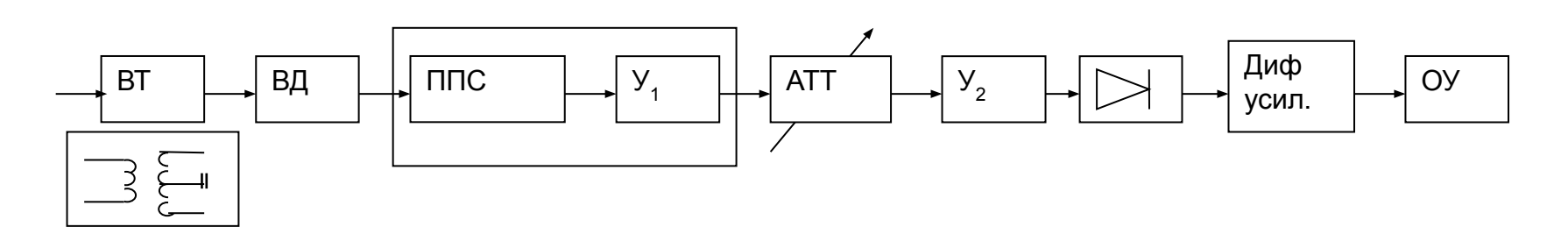


Вольтметры переменного тока (В3)

Структурная схема вольтметра типа В3



Милливольтметры переменного тока

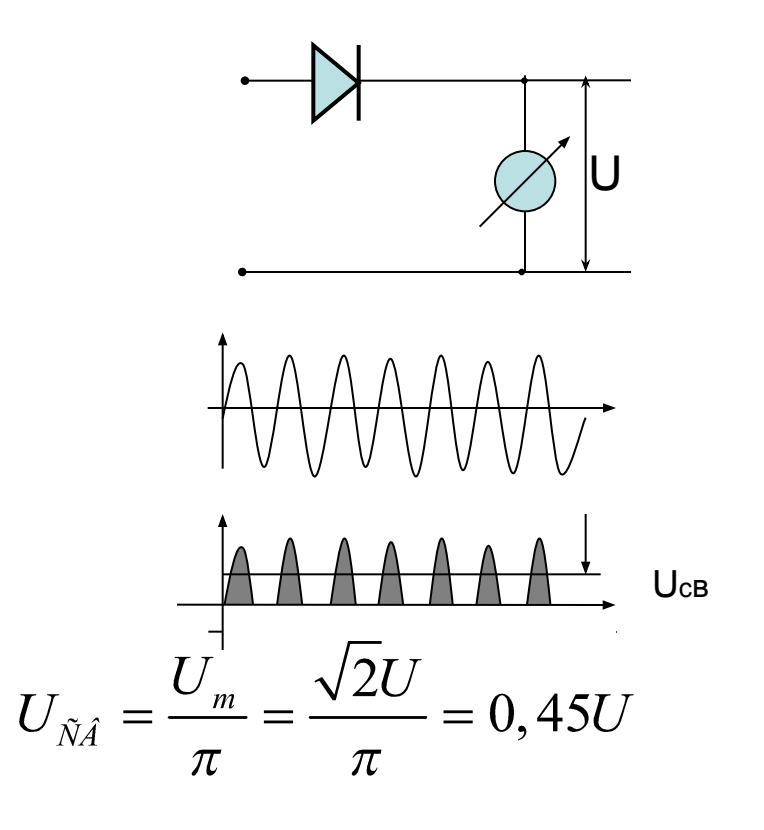


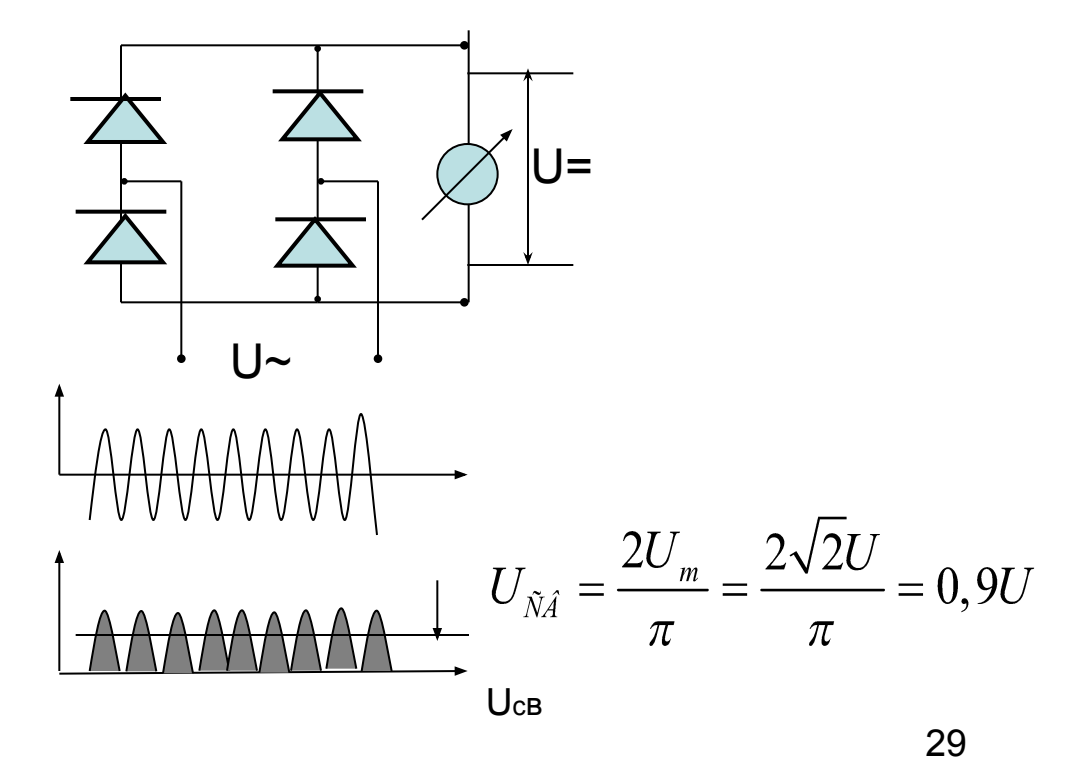
Детекторы средневыпрямленного значения напряжения

для гармонического сигнала

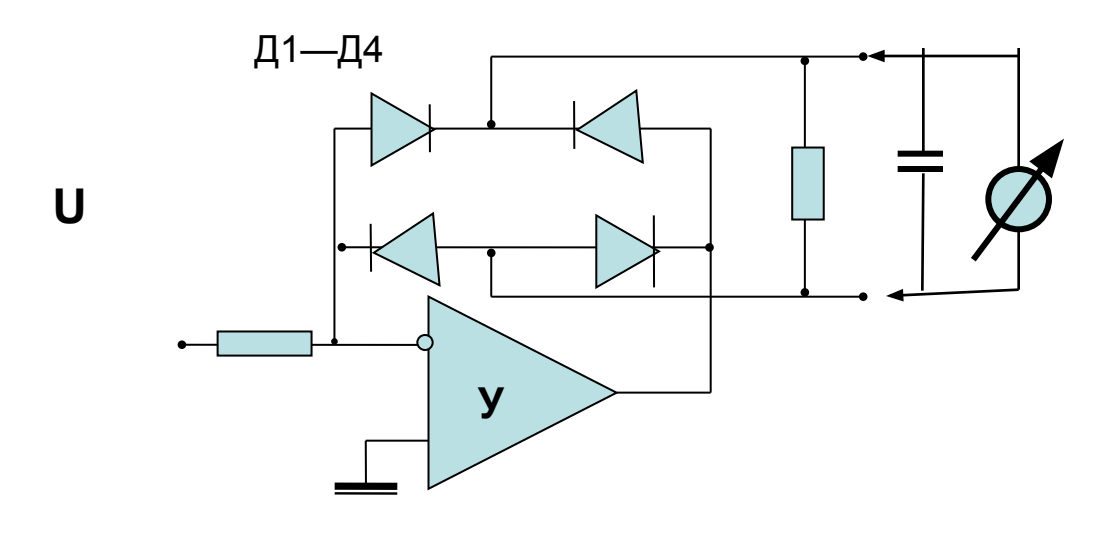
$$I_{\tilde{n}\hat{a}} = \frac{1}{T} \int_{0}^{T} I_{m} \sin \omega t dt = \frac{2I_{m}}{\pi} = \frac{2\sqrt{2}I}{\pi},$$

откуда
$$I = \frac{\pi}{2\sqrt{2}} \cdot I_{\tilde{n}\hat{a}} = 1,11 \cdot I_{\tilde{n}\hat{a}}$$



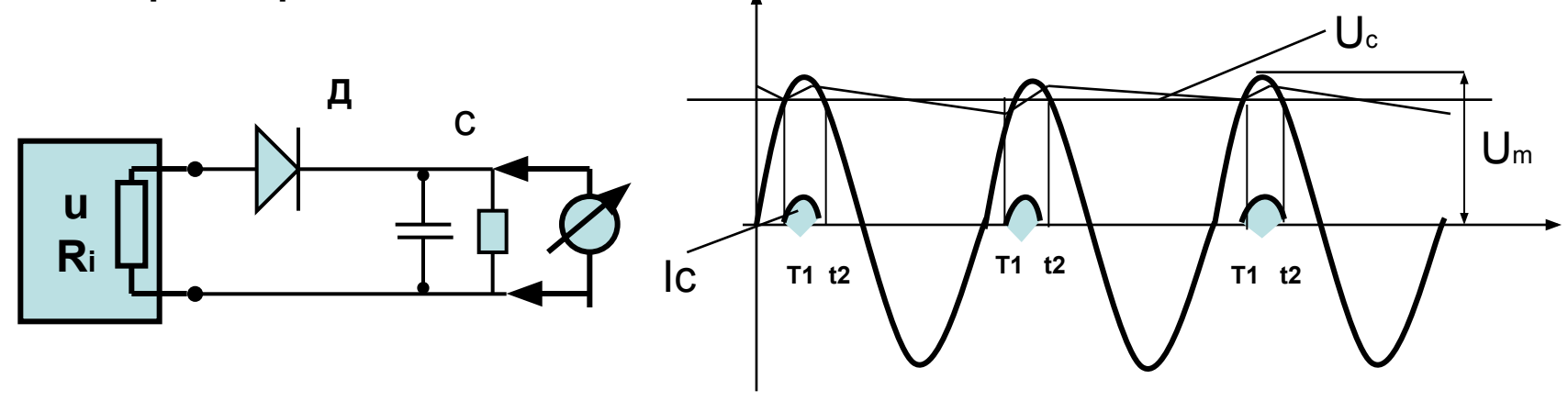


Активные преобразователи средневыпрямленного значения напряжения



детекторы амплитудных вольтметров.

Детектор с открытым входом



$$T_{3ap} = (R_i + R_{\mathcal{I}})C$$
 $T_{pa3} = RC$ за интервал $t_2 - t_1$

$$T_{3ap} < 1/f_{B}$$
 $T_{pas} > 1/f_{H}$ $T_{3ap} < T_{pas}$ $U_{пик} = U_{m} \cos \theta$

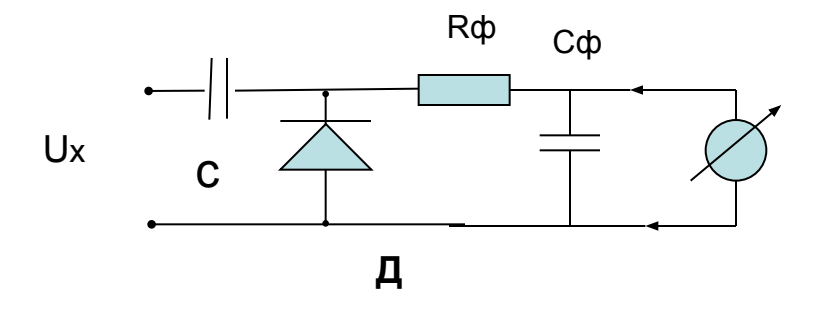
0 - угол осечки тока диода

$$\theta = \sqrt[3]{3\pi(R_i + R_{\ddot{A}})/R_H}$$

$$R_{\text{вху}} = 10 \text{ Мом}, R_{\text{д}} = 1 \text{ кОм}$$

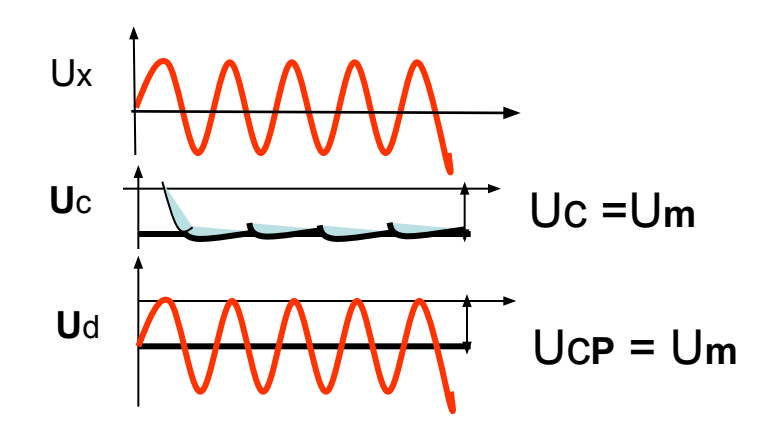
 $\mathbf{\theta} = 0,1$ град $\cos \mathbf{\theta} = \mathbf{0},\mathbf{99}$ U пик = 0,99Um

Амплитудный детектор с закрытым входом



Процесс преобразования переменного напряжения в постоянное аналогичен

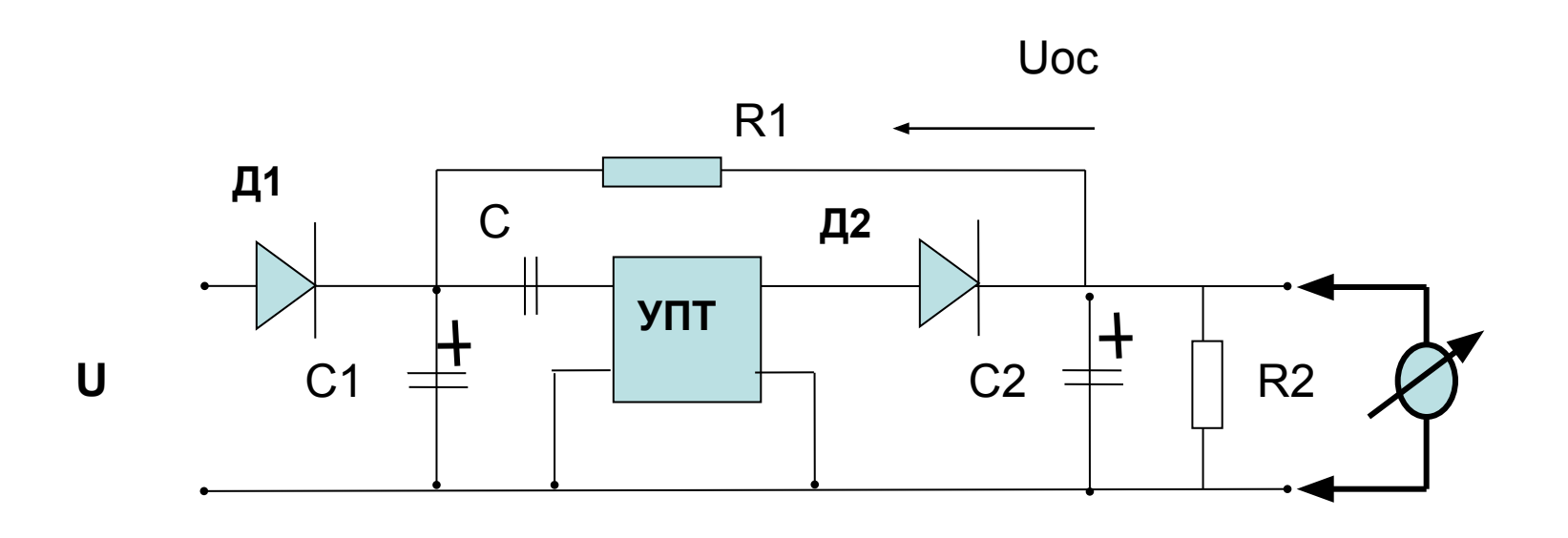
Отличие в наличии переменной составляющей, которую надо фильтровать

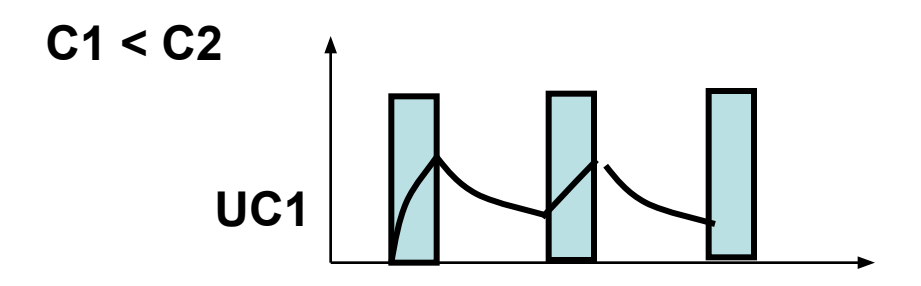


$$U_{\tilde{o}} = U_{m} \sin \omega t, \quad U_{c} = U_{m}$$

$$U_{d} = U_{x} - U_{c} = U_{m} \sin \omega t - U_{m}.$$

Автокомпенсационные вольтметры





Принцип автокомпенсации

- Измеряемое напряжение преобразуется компенсирующее
- Входной импульс через диод заряжает конденсатор С1 до значения Uc1 ~Uпик за счёт малой T3 = Rd C1 ~ Тимп
- Переменная составляющая Uc усиливается и через диод заряжает конденсатор C2, которое через резистор R поступает на конденсатор C1 в качестве компенсирующего. При этом уменьшается до нуля переменная составляющая.
- Напряжение **Uc**₂ измеряется

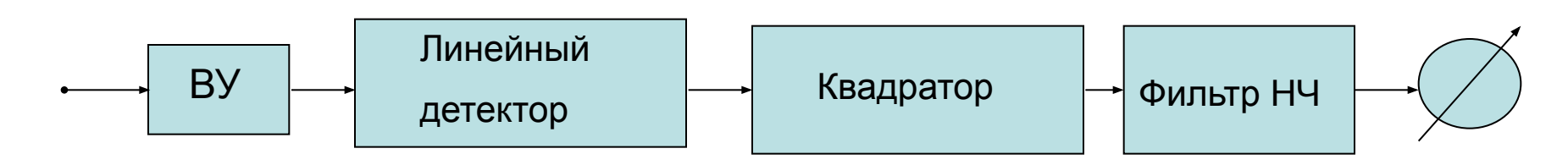
Преобразователи переменного напряжения в постоянное по уровню среднеквадратического значения (ПСКЗ).

Детектор среднеквадратического значения напряжения

$$i = au + bu^{2}, \quad U = \sqrt{\frac{1}{T}} \int_{0}^{T} (u(t))^{2} dt, \quad u = u(t) = U_{m} \sin \omega t,$$

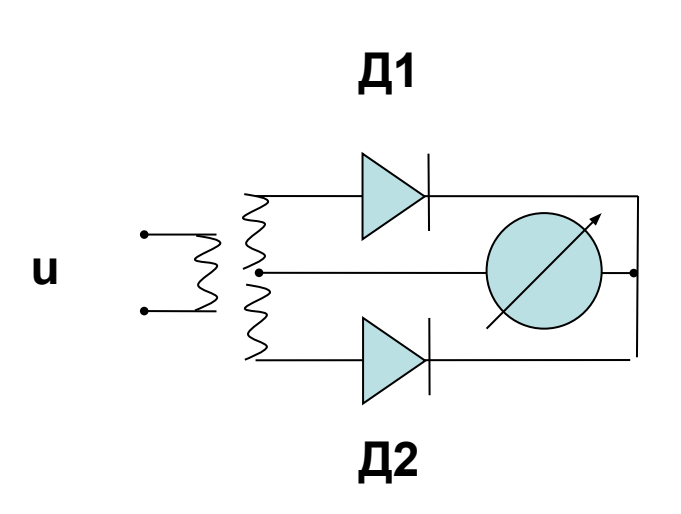
$$i = a \cdot U_{m} \sin \omega t + bU_{m}^{2} \sin^{2} \omega t = a \cdot U_{m} \sin \omega t + bU_{m}^{2} (1 - \cos 2\omega t).$$

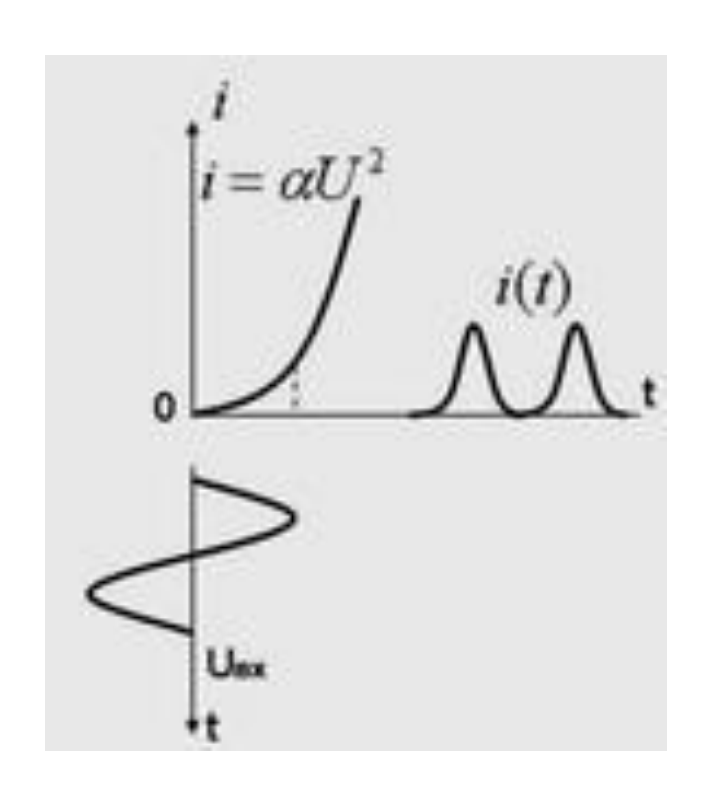
Структурная схема вольтметра СКЗ



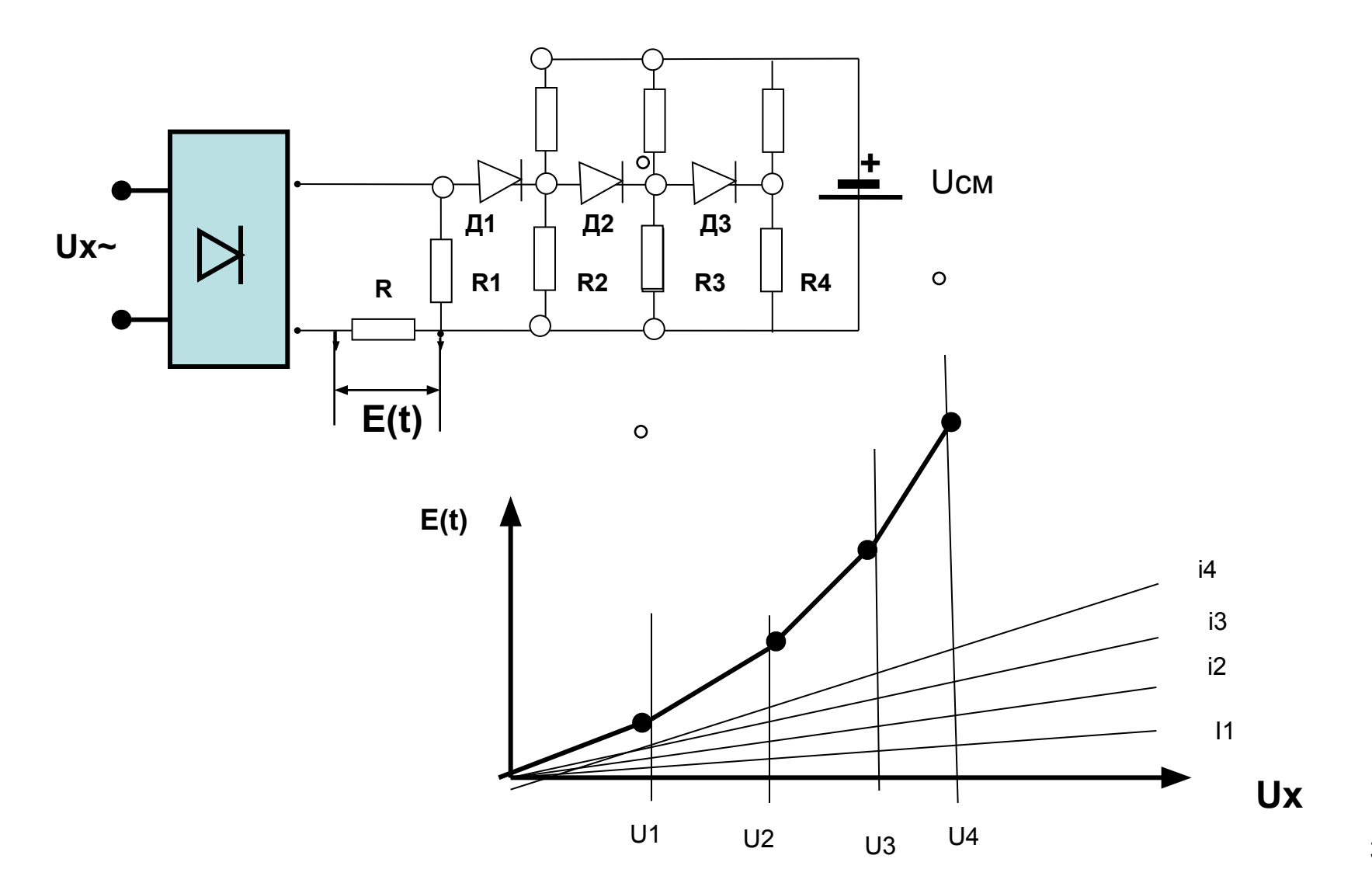
Виды преобразователей СКЗ с квадратичной ФП.

а) с квадратичными преобразователями по мгновенным значениям, в которых используются элементы с естественными нелинейными вольтамперными характеристиками;

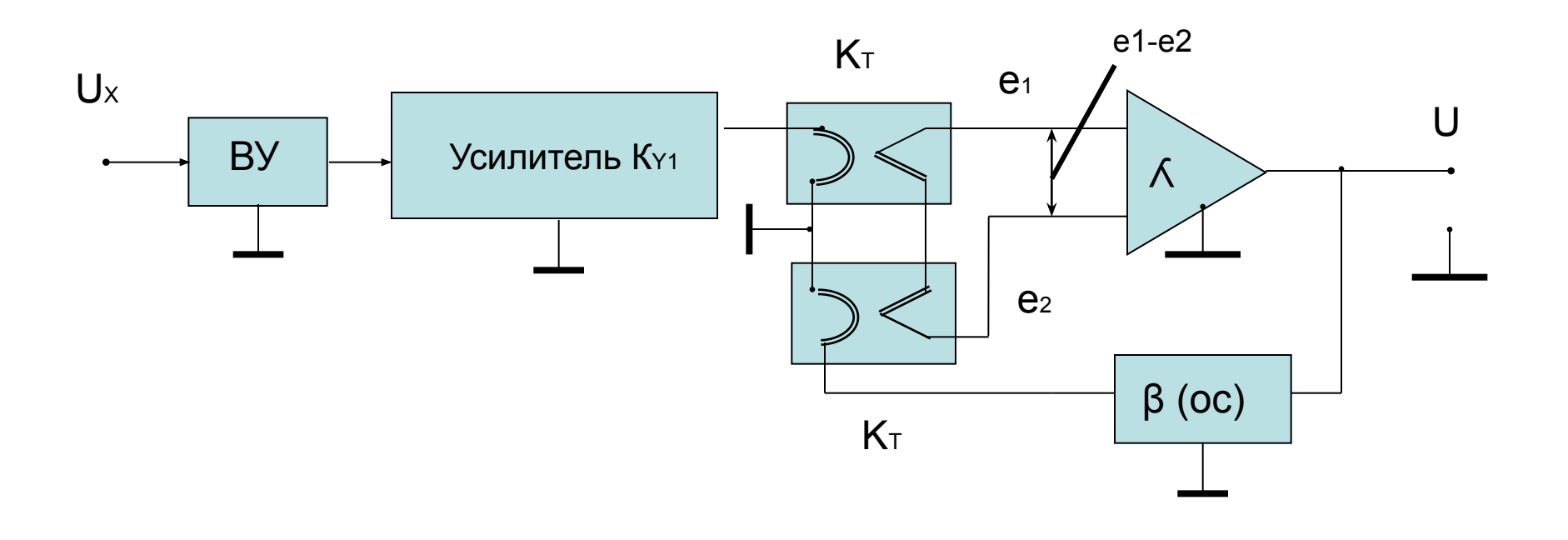




Квадраторы с линейной сегментной (кусочной) аппроксимацией

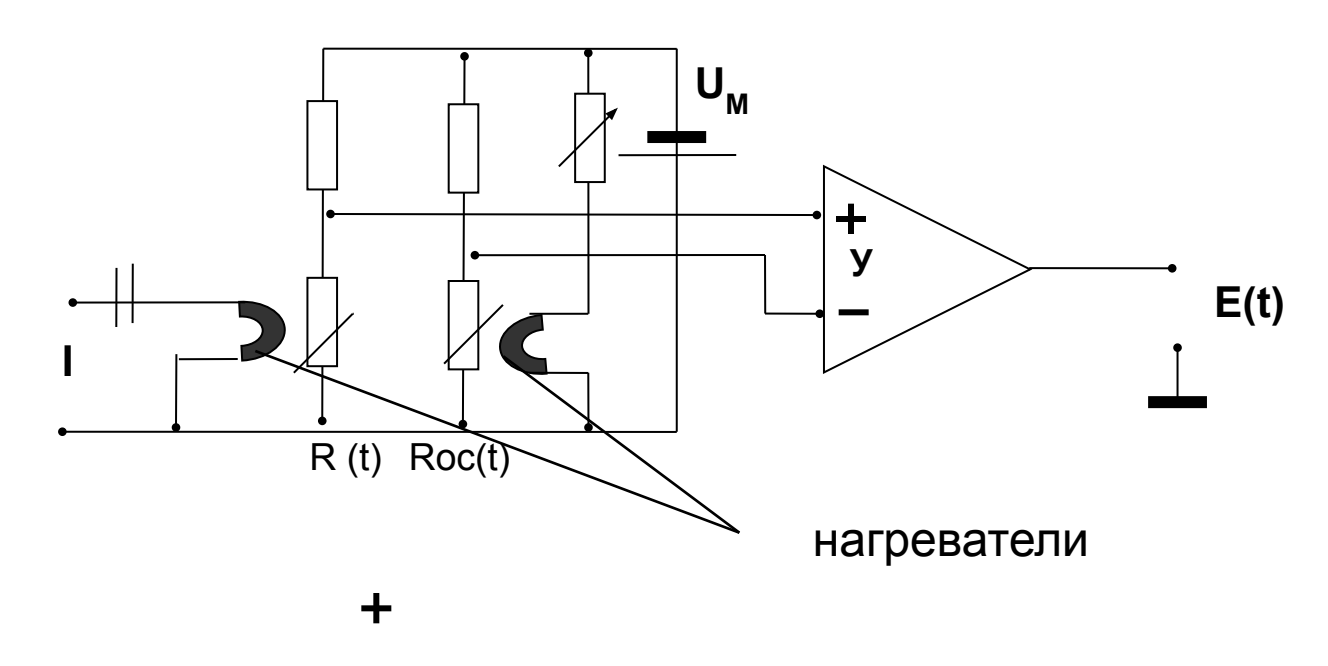


Линейный преобразователь СКЗ



$$e_1 = \alpha_1 U_X^2$$
, $e_2 = \alpha_2 (\beta U)^2$ $U = k(e_1 - e_2)$ $U = \frac{1}{\beta} U \sqrt{\frac{\alpha_1}{\alpha_2}}$

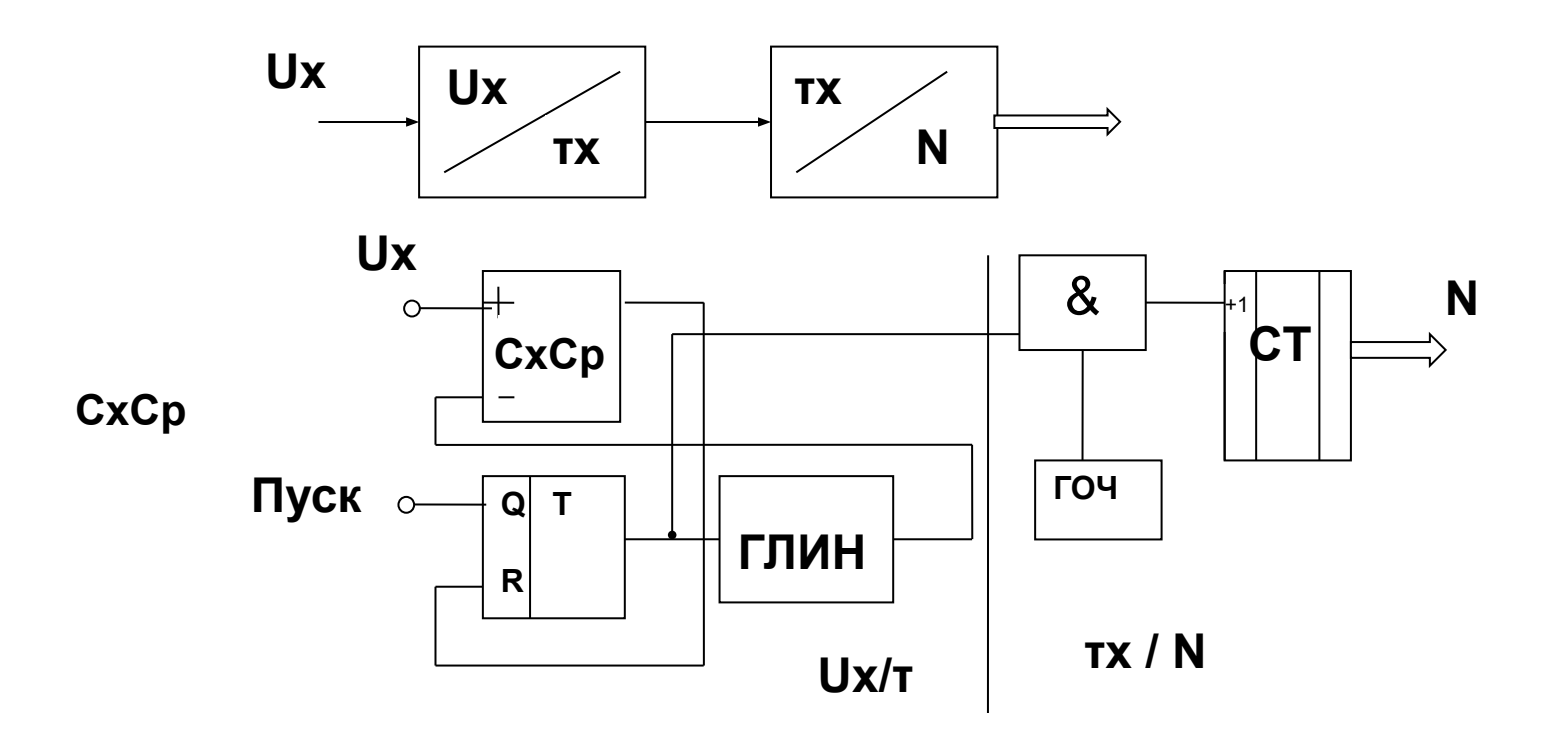
С промежуточным преобразованием электрической энергии в тепловую



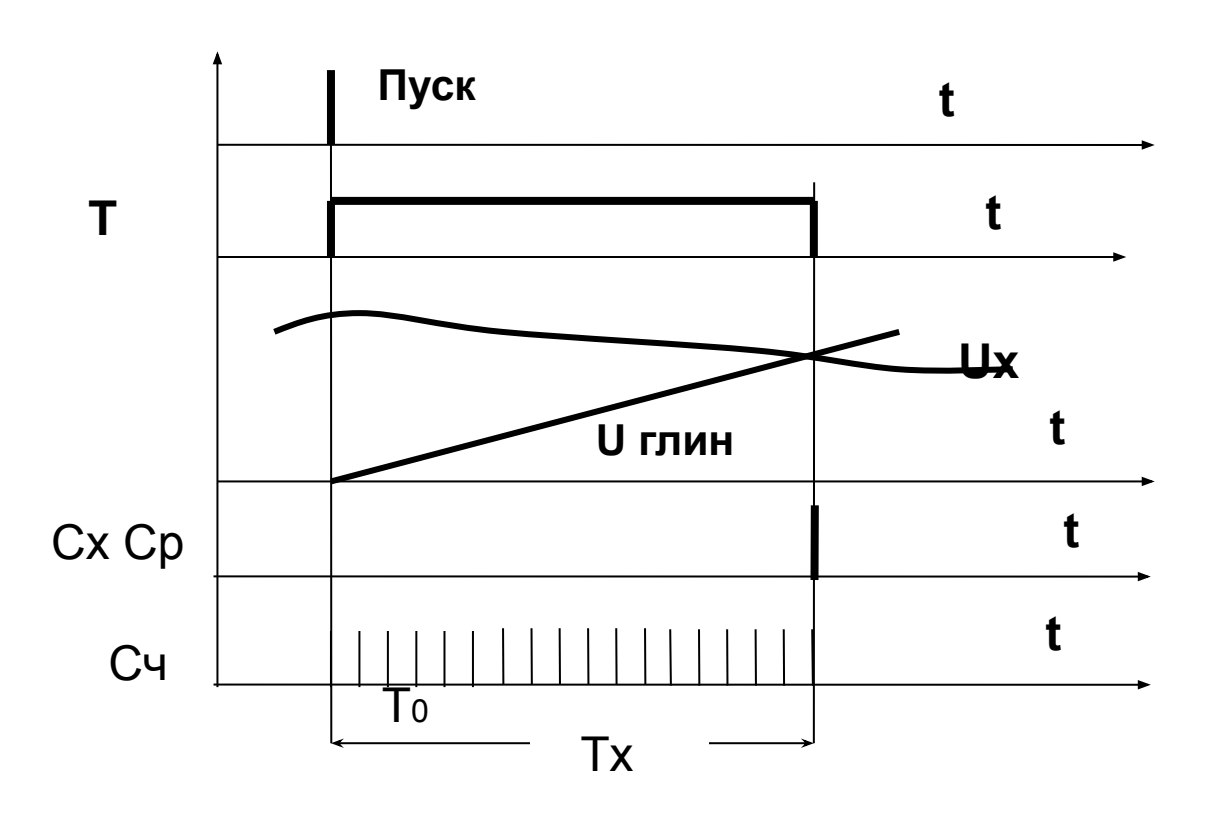
Цифровые электронные вольтметры



Цифровые вольтметры с времяимпульсным преобразованием



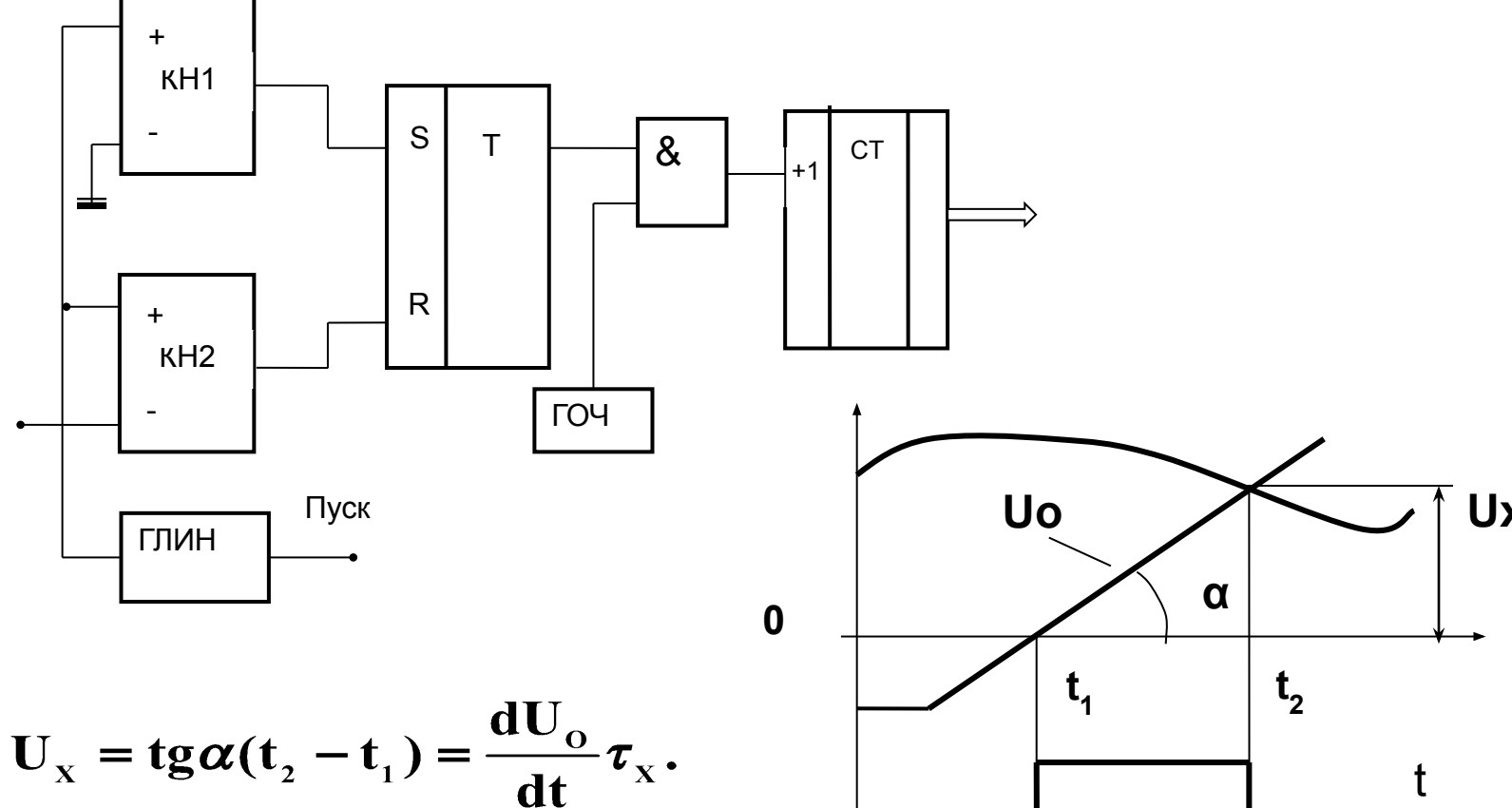
Цифровые электронные вольтметры



$$\mathbf{U}_{x} = \mathbf{tg}\alpha\dot{\mathbf{O}}_{o} = \frac{\mathbf{dU}_{o}}{\mathbf{dt}}\dot{\mathbf{O}}_{x}.$$

$$\mathbf{N} = \mathbf{f}_{o}\frac{\mathbf{U}_{x}}{\mathbf{tg}\alpha} = \mathbf{f}_{o}\cdot\dot{\mathbf{O}}_{x}.$$

Схема двухкомпараторного АЦП.



$$\mathbf{U}_{X} = \mathbf{tg}\alpha(\mathbf{t}_{2} - \mathbf{t}_{1}) = \frac{\mathbf{d}\mathbf{U}_{0}}{\mathbf{d}\mathbf{t}}\boldsymbol{\tau}_{X}.$$

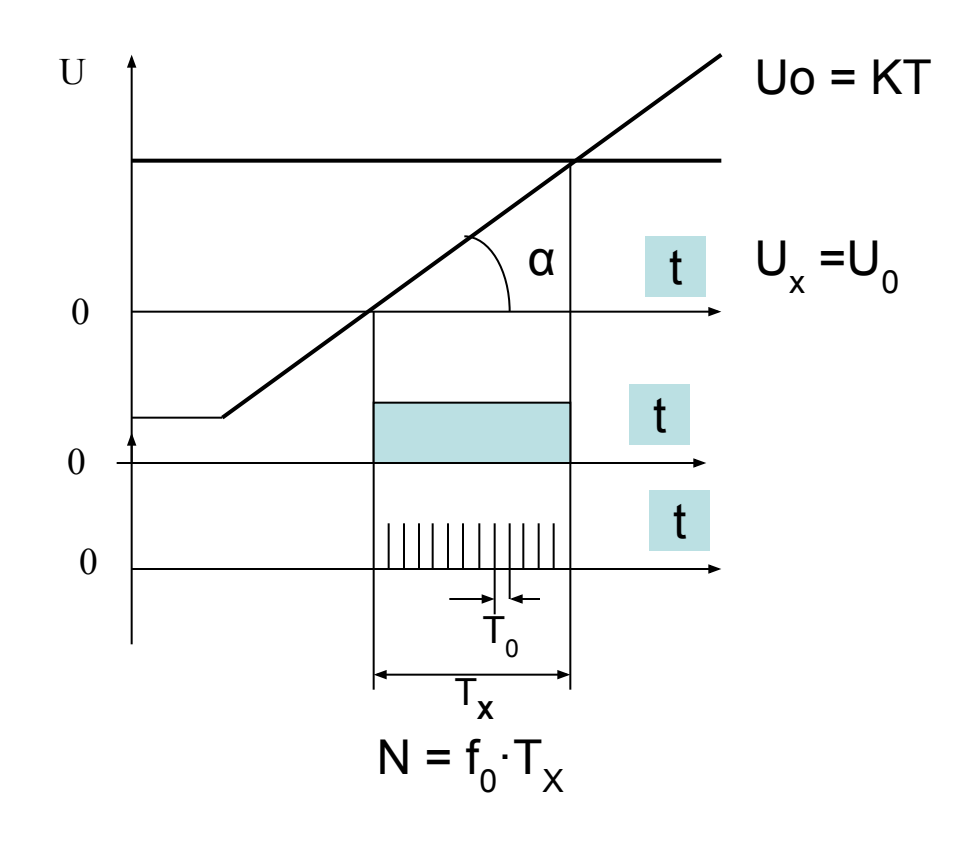
$$\mathbf{N} = \mathbf{f}_{0}\frac{\mathbf{U}_{X}}{\mathbf{tg}\alpha} = \mathbf{f}_{0}\cdot\boldsymbol{\tau}_{X}.$$

Tx

Цифровые электронные вольтметры

$$U_{x} = tg\alpha \dot{O}_{o} = \frac{dU_{o}}{dt} \dot{O}_{x}.$$

$$N = f_{o} \frac{U_{x}}{tg\alpha} = f_{o} \cdot \dot{O}_{x}.$$

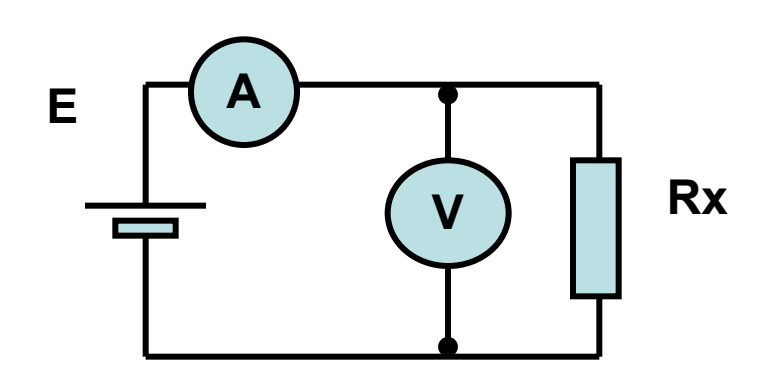


Измерение параметров цепей

Классификация методов измерения параметров цепей.

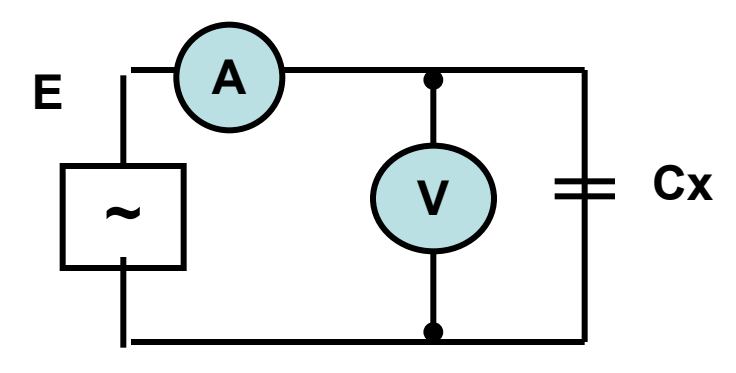
- •Метод амперметра и вольтметра,
- •Метод непосредственного измерения,
- •Мостовой метод для измерения активных и реактивных параметров,
- •Резонансный метод, резонансный с замещением,
- •Метод преобразования параметра в эквивалентный ток и напряжение,
- •Метод дискретного преобразования параметра, цифровой метод.

Метод амперметра - вольтметра

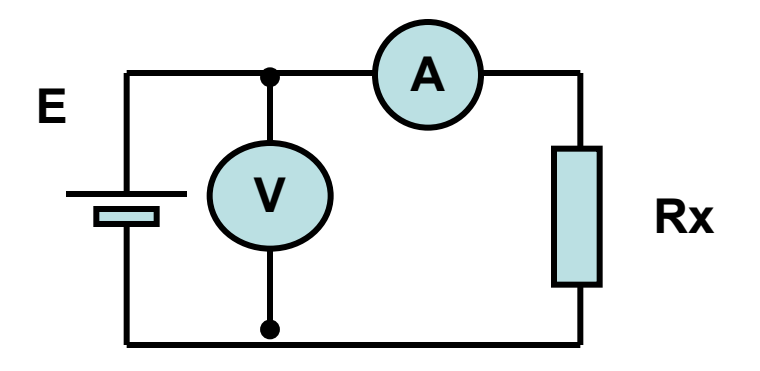


$$|A=|V+|R$$
 $R = \frac{UV}{I_V + I_R}$

Rx<<Rv

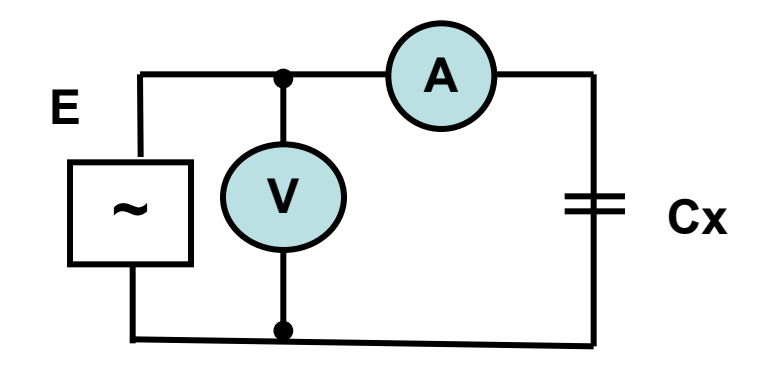


Сх большого номинала (Xc <Rv)



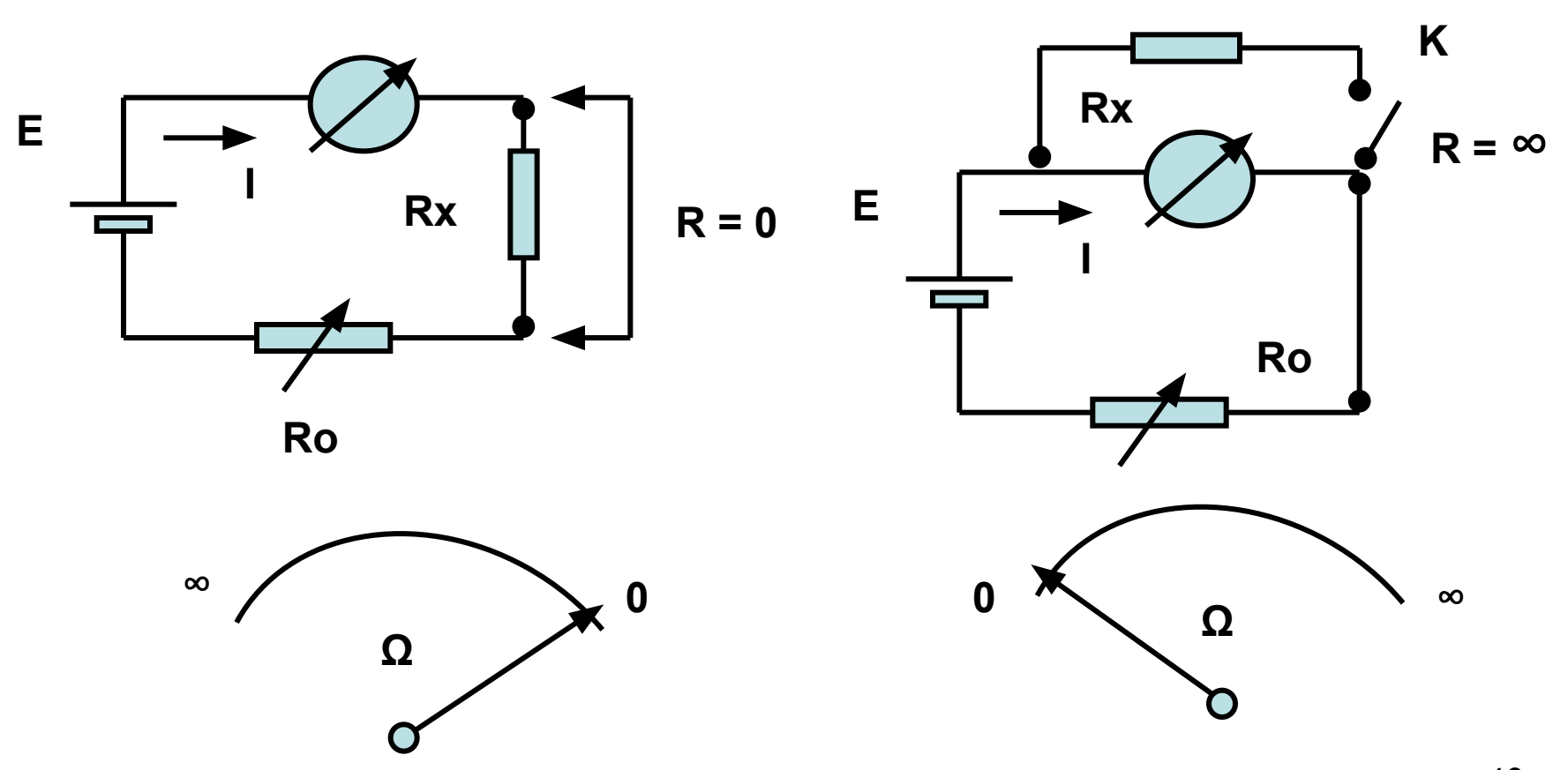
Uv =I(RA +Rx)
$$R = Ra + Rx$$

Rx >>Ra

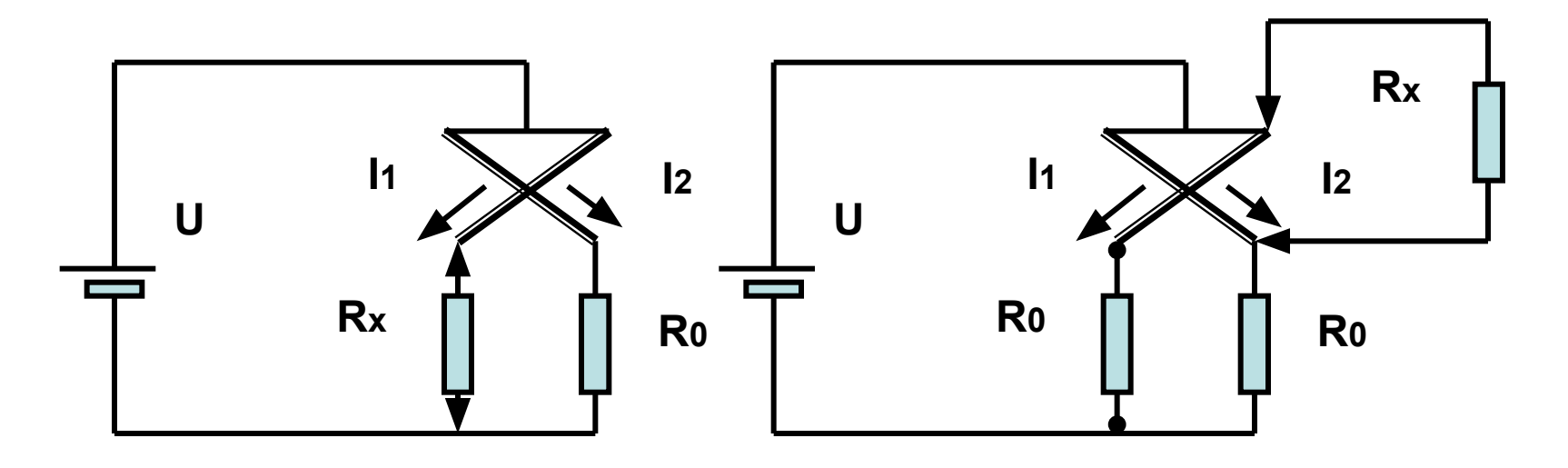


Сх малого номинала (Xc >R_A)

Метод непосредственного измерения сопротивления

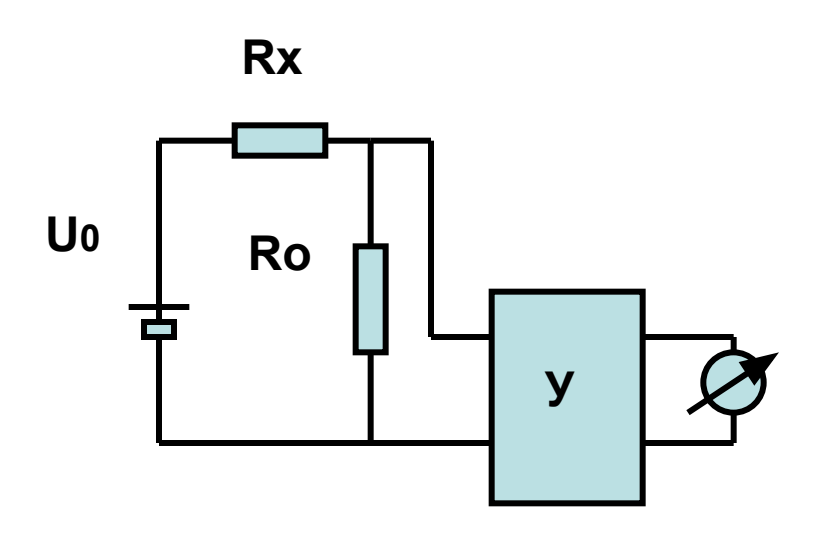


Омметр на основе логометра

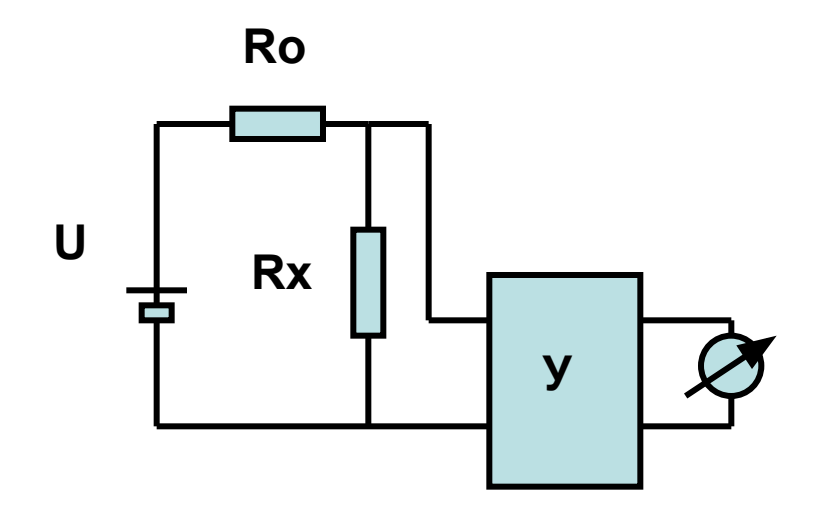


$$\alpha = K \frac{I_1}{I_2} = K \frac{R_X}{R_0}$$

Электронные омметры



$$\mathbf{R}_{\mathbf{X}} = \left[\mathbf{K} \frac{\mathbf{U}_{\mathbf{o}}}{\mathbf{U}_{\hat{\mathbf{A}}\hat{\mathbf{U}}\,\tilde{\mathbf{o}}}} - 1\right] \mathbf{R}_{\mathbf{o}}$$



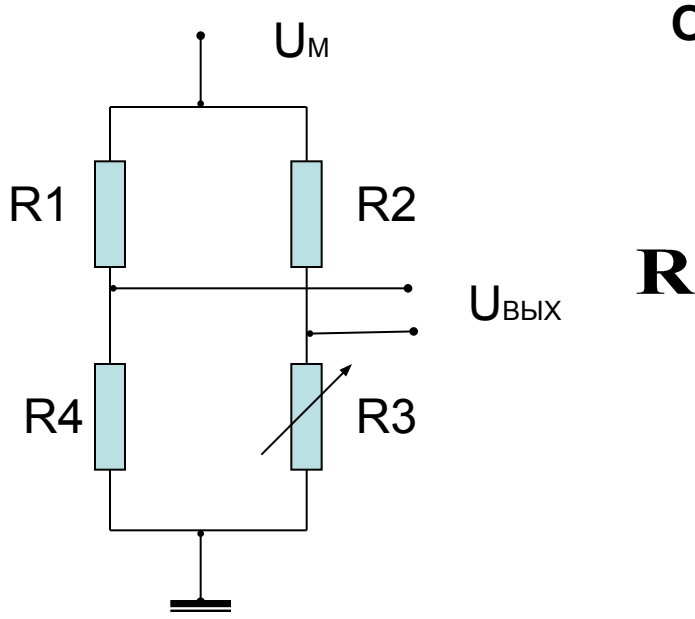
$$R_{x} \left[\frac{R_{o}}{K \frac{U_{o}}{U_{\hat{A}\hat{U}\,\tilde{o}}} - 1} \right]$$

Мосты постоянного тока

Условие равновесия мостов постоянного тока $R1 \cdot R3 = R2 \cdot R4$,

где R1, R2, R3, R4 – сопротивления плеч моста.

R1/ R2 – плечи отношения, (масштабные), R3 – плечо сравнения.

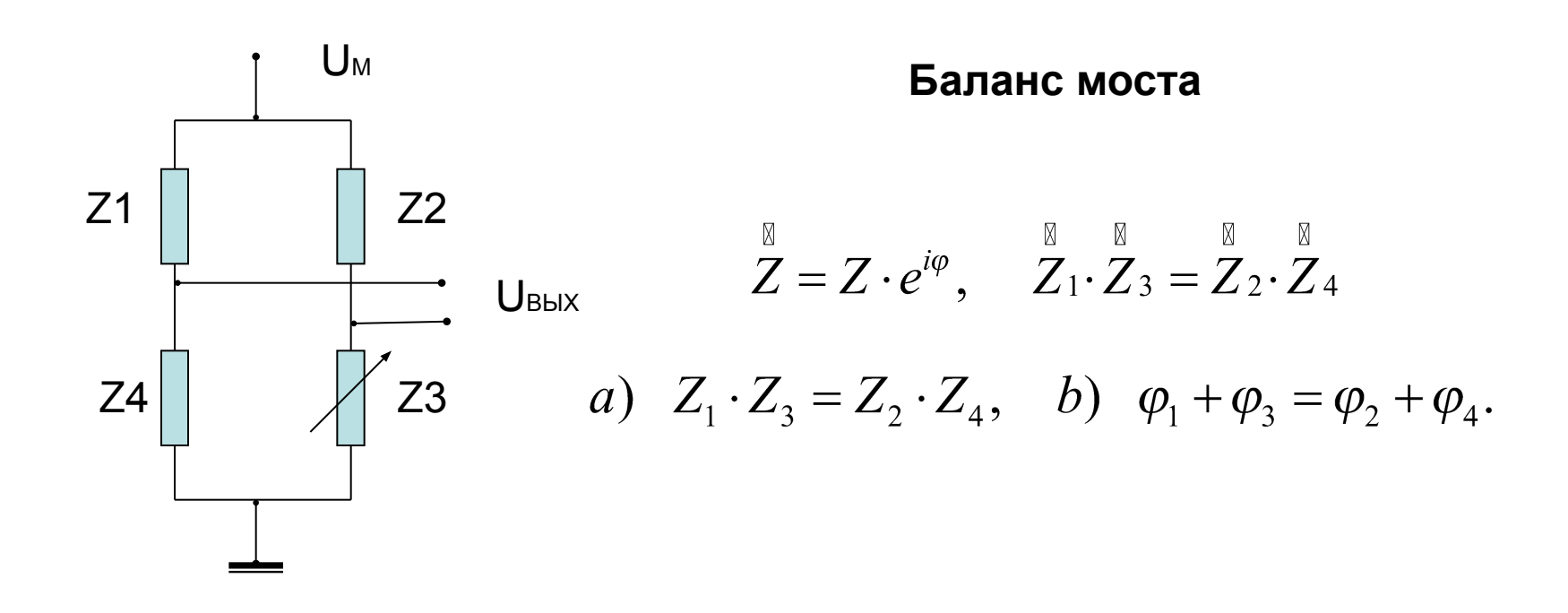


Одинарный мост

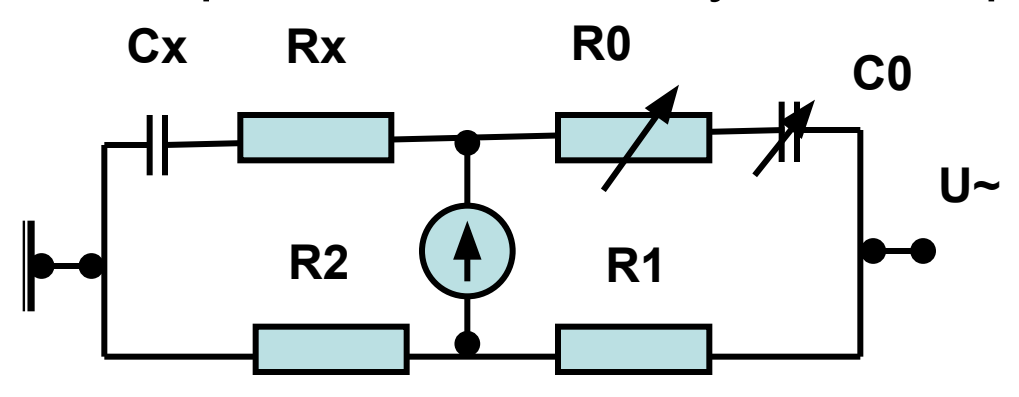
При R4 =
$$Rx$$
,

$$R_{x} = R3 \frac{R1}{R2}$$

Мосты переменного тока



Измерение ёмкости и угла потерь.



Полное сопротивление конденсатора

$$Z = r_c - j \frac{1}{\omega C}$$
 $tg\delta = \omega r_c C$ (ї î ñë åäî âàòåë üí àÿ ñõåì à çàì åù åí èÿ)

$$tg\delta = \frac{1}{\omega R_c C}$$

$$C_{x} = Co \frac{R1}{R2} \qquad r_{x} = R0 \frac{R2}{R1}$$

Резонансный метод измерения параметров цепей

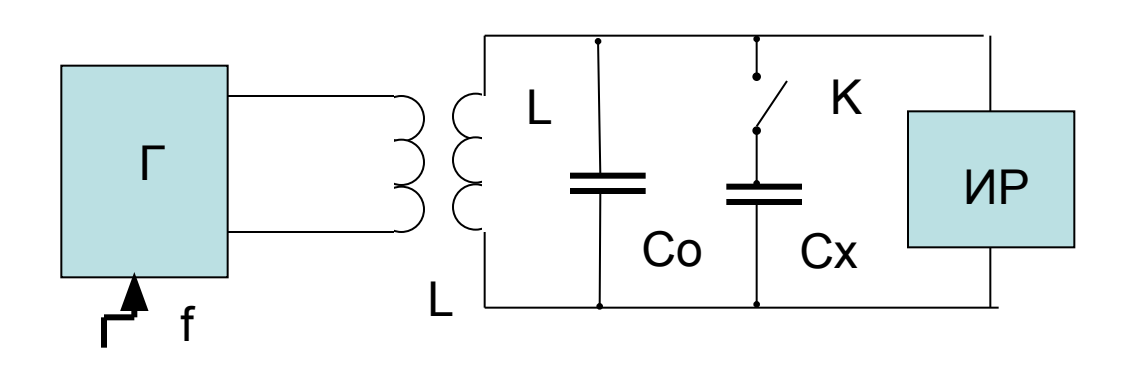
Резонансная частота

$$\omega_p = \frac{1}{\sqrt{LC}}, \quad npu \quad C = Cx \quad Cx = \left(\frac{1}{\omega_p}\right)^2 \cdot \frac{1}{L}.$$

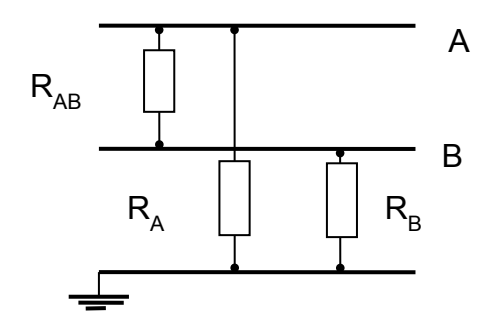
метод замещения в сочетании с резонансным методом.

1)
$$\omega_0 = 1/\sqrt{L\left(C_o^1 + C_p\right)}$$

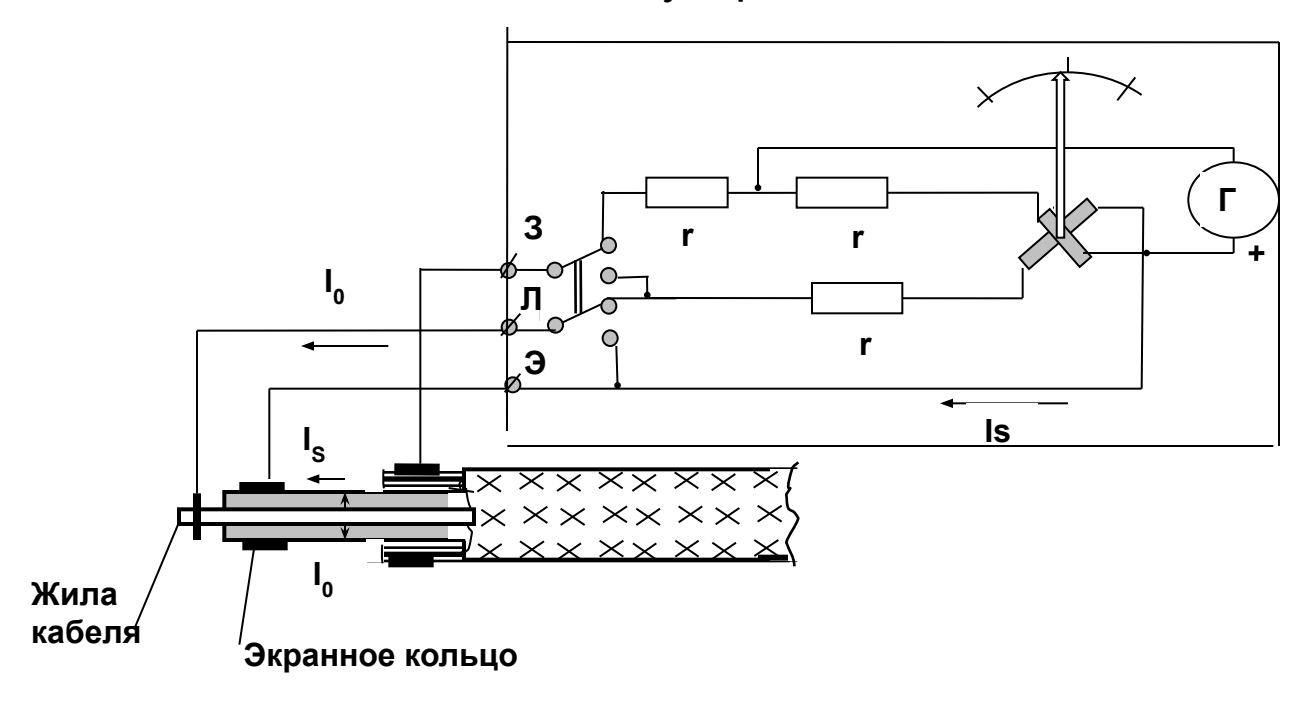
1)
$$\omega_0 = 1/\sqrt{L(C_o^1 + C_p)}$$
 2) $\omega_0 = 1/\sqrt{L(C_o^{11} + C_x + C_p)}$, $C_o^1 + C_p = C_o^{11} + C_p + C_x \cdot C_x = C_o^1 - C_o^{11}$



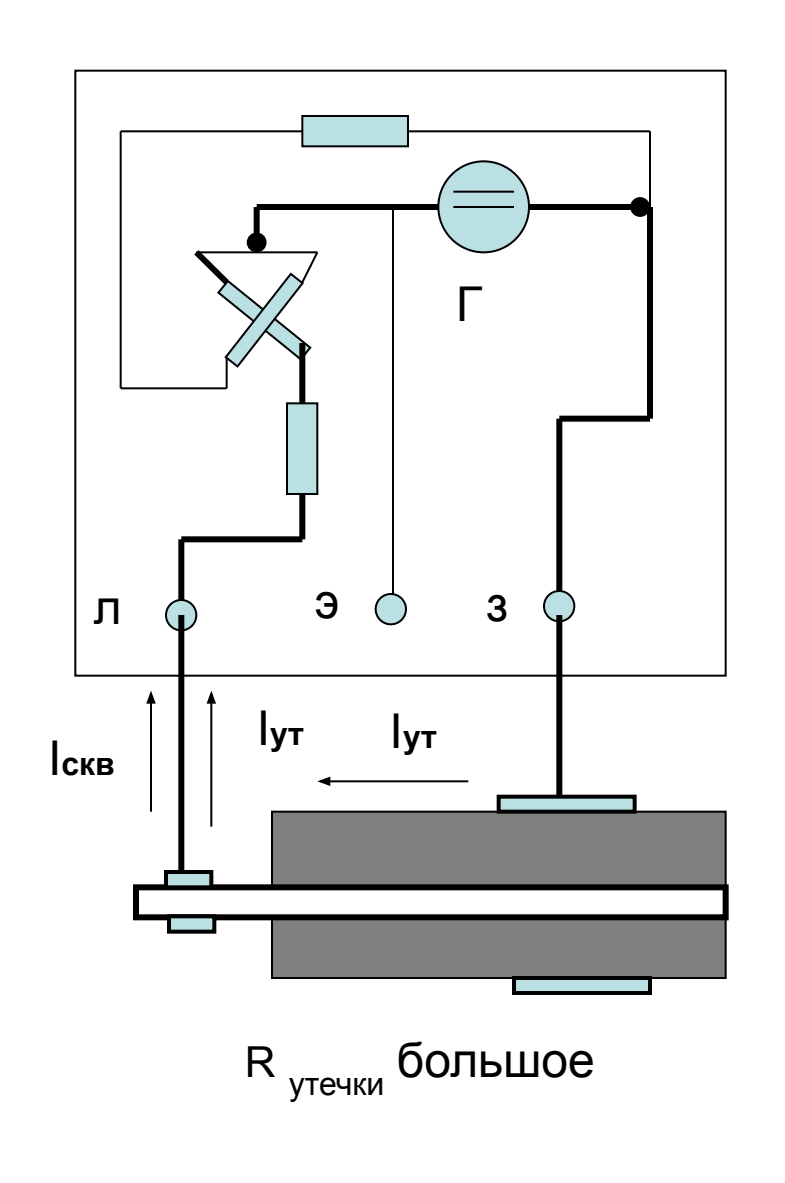
Измерение сопротивления изоляции



Эквивалентная схема двухпроводной сети.



Измерение сопротивления изоляции кабеля



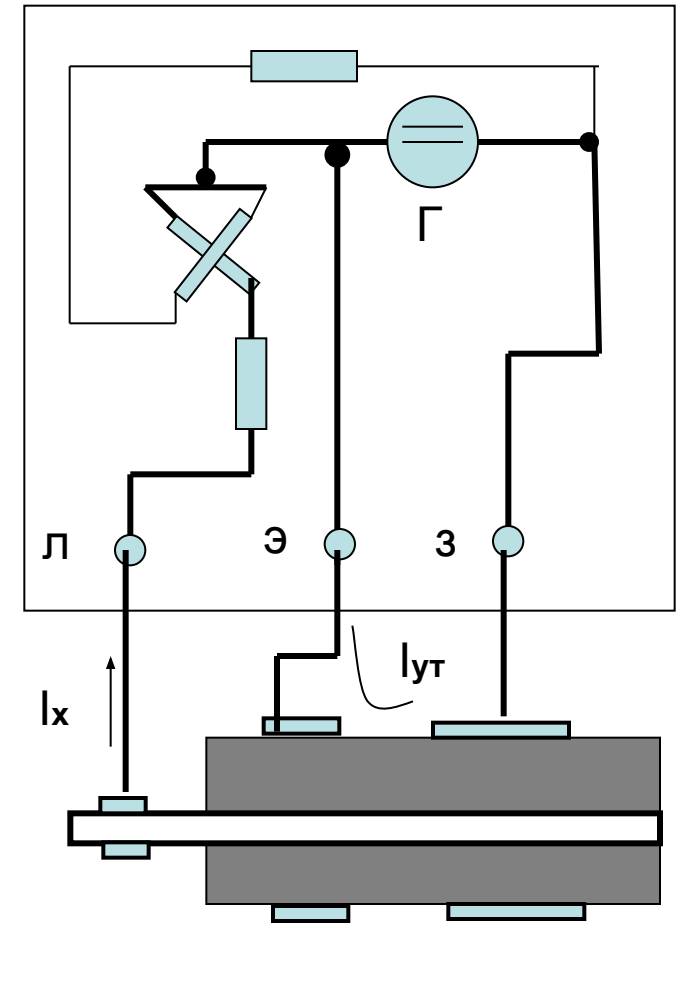
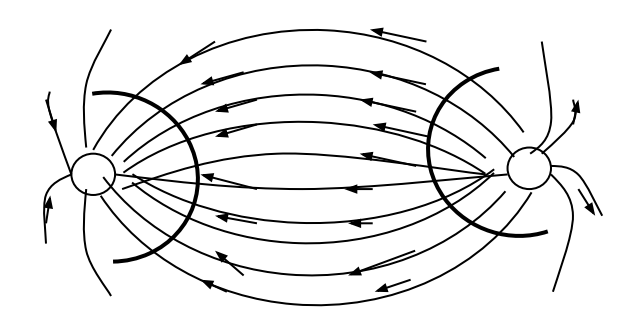
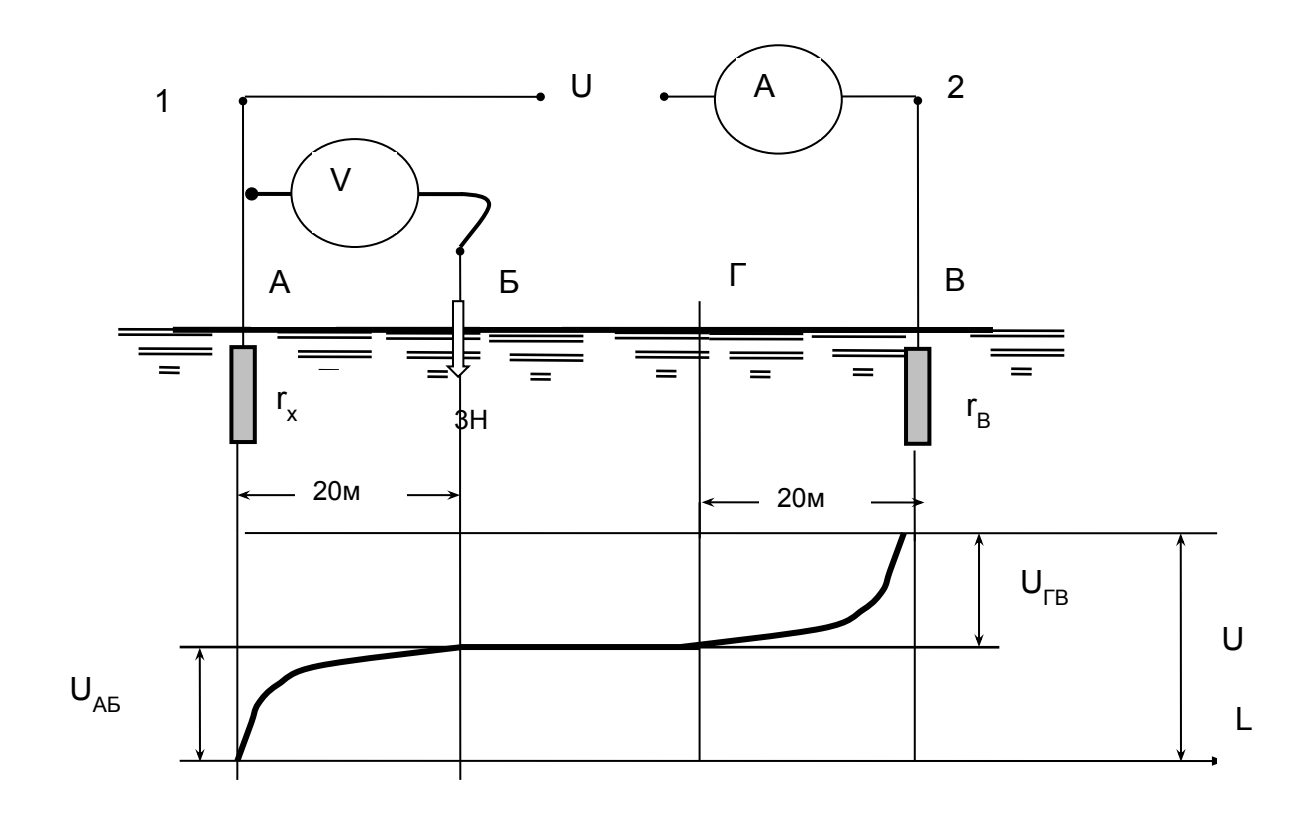


Схема прохождения токов в земле между двумя электродами



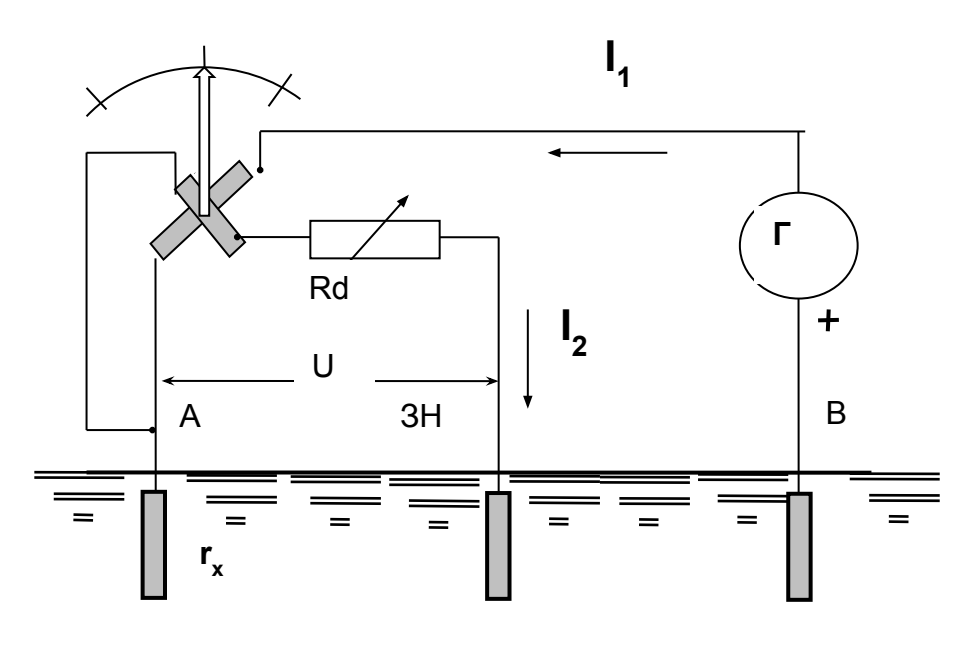
Плотность тока ПО мере удаления OT первого электрода уменьшается, достигая на некотором расстоянии (около 20 м) ноля образом, вблизи Таким электрода сопротивление ТОКУ увеличивается. По мере приближения ко второму электроду сопротивление и, соответственно, падение напряжения увеличиваются.

Измерение сопротивлений заземлителей



Распределение потенциалов между электродами на поверхности земли.

метод измерения сопротивления заземления с помощью прибора на основе логометра типа МС-07



Падение напряжения на участке цепи между зондом и заземлителем от тока $\boldsymbol{I_2}$

равно падению напряжения на измеряемом сопротивлении от тока I_1

$$\mathbf{I}_{2} \cdot (\mathbf{r}_{2} + \mathbf{r}_{d} + \mathbf{r}_{ci}) = \mathbf{I}_{1} \mathbf{r}_{x}$$

Метод логометра

$$\alpha = \mathbf{F}\left(\frac{\mathbf{I}_{1}}{\mathbf{I}_{2}}\right) = \mathbf{F}\left(\frac{\mathbf{I}_{1}}{\frac{\mathbf{I}_{1}\mathbf{r}_{X}}{\mathbf{r}_{2} + \mathbf{r}_{d} + \mathbf{r}_{G}}}\right) = \mathbf{F}\left(\frac{\mathbf{r}_{2} + \mathbf{r}_{d} + \mathbf{r}_{G}}{\mathbf{r}_{X}}\right) = \mathbf{F}\left(\frac{\mathbf{k}}{\mathbf{r}_{X}}\right),$$

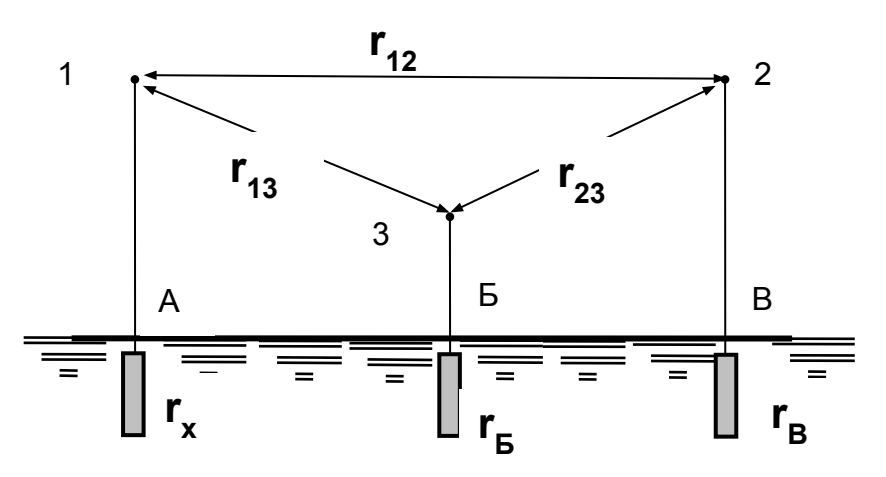
где: rx - сопротивление заземлителя

r_{3н} – сопротивление зонда (приняв его пренебрежимо малым)

 $K = (r_2 + r_d + r_{3H})$ - градуировочное сопротивление в цепи второй рамки

Измерение сопротивления заземлений методом

трёх электродов

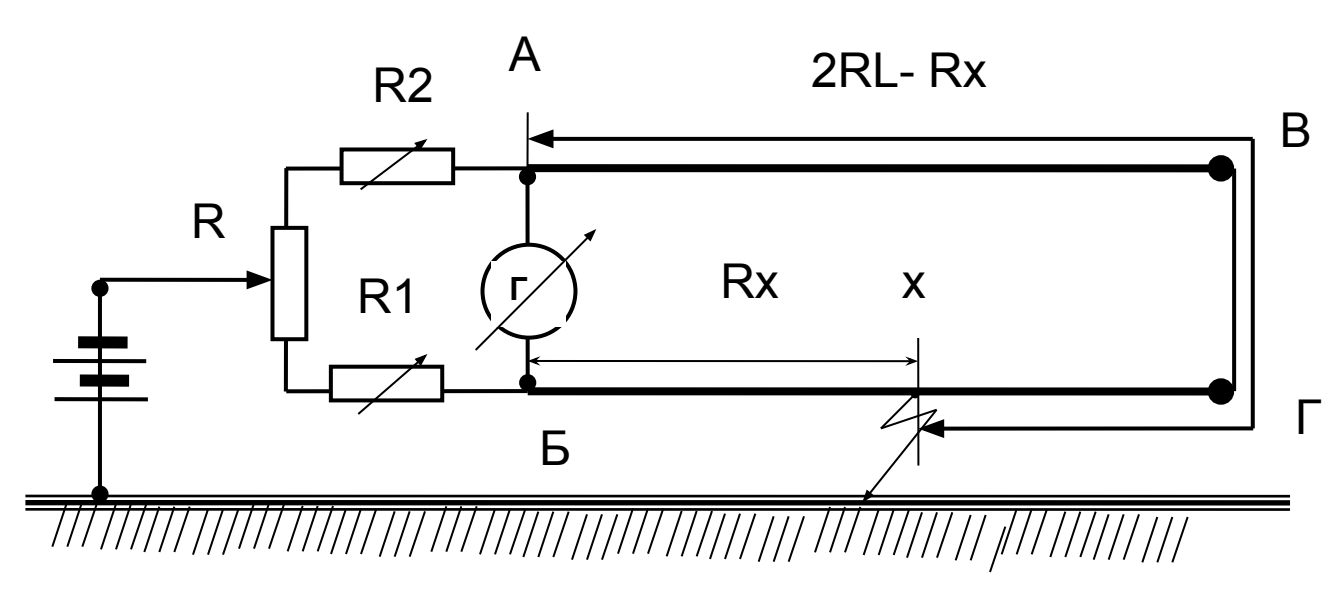


Б и В вспомогательные электроды, имеющие сопротивления r_a , r_b , идентичные измеряемому. r_x

$$r_{12} = r_X + r_B; r_{13} = r_X + r_B; r_{23} = r_B + r_B$$

$$r_X = \frac{r_{12} + r_{13} - r_{23}}{2}$$

Определение места повреждения изоляции мостовым методом



При балансировке моста с помощью реохорда R и резисторов R1, R2

$$\frac{R_1}{R_2} = k = \frac{R_X}{2R_L - R_X}, \quad \hat{i} \, \hat{o}\hat{e} \, \hat{o}\ddot{a}\hat{a} \qquad R_X = 2R_L \frac{k}{1 + k}$$

При известном значении удельного сопротивления жилы кабеля ρ , сечения S расстояние от точки E до места повреждения изоляции X

$$L_{x} = R_{x} \frac{S}{\rho}$$

$$\rho \frac{L_{x}}{S} = 2\rho \frac{L}{S} \frac{k}{1+k}$$

$$L_{x} = 2L \frac{k}{1+k}$$

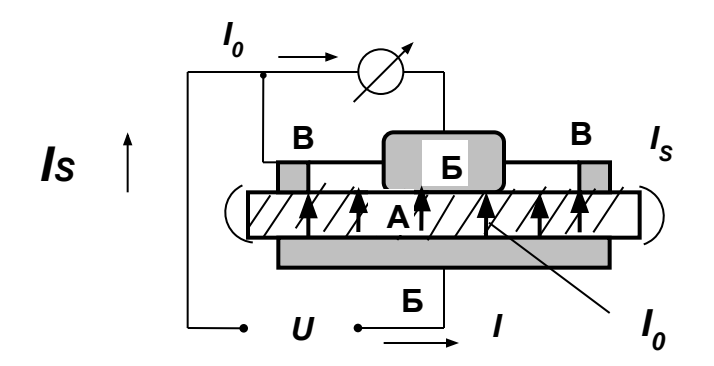
Определение места повреждения изоляции мостовым методом

При одинаковом сечении кабеля по всей длине, в формулу для определения *Rx* вместо *Rx* и *RL* можно представить их через длину, сечение, и удельное сопротивление. Тогда получим

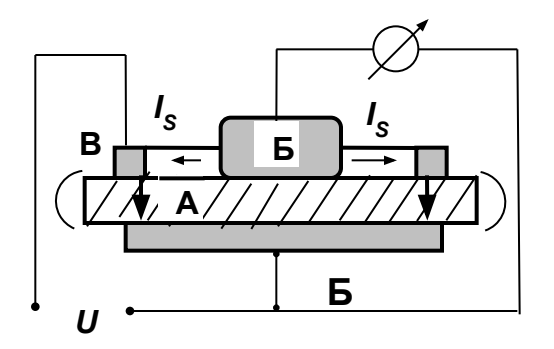
$$\rho \frac{L_x}{S} = 2\rho \frac{L}{S} \frac{k}{1+k}$$

$$L_x = 2L \frac{k}{1+k}$$

Измерение поверхностного и объёмного сопротивлений диэлектрика.







Измерение поверхностного сопротивления

Методы измерения частоты

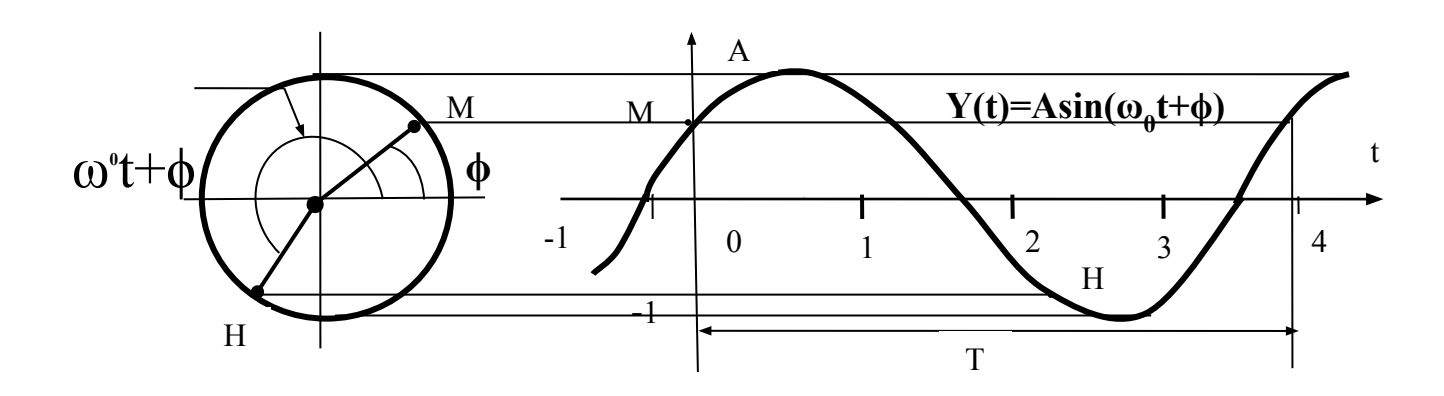
Основные соотношения $f=C/\lambda$; f=1/T,

- где f частота (Гц), C скорость распространения электромагнитных колебаний в вакууме (С ≈ 2,9976·10⁸ м/с),
- λ длина волны, (м) расстояние между ближайшими точками колебательного процесса, находящимися в одинаковой фазе колебаний,
- Т период колебаний, (с) интервал времени, за который происходит полная смена фазы колебаний в одной точке пространства.

Методы измерения частоты

Основные соотношения $f=C/\lambda$; f=1/T,

- где f частота (Гц), C скорость распространения электромагнитных колебаний в вакууме (С ≈ 2,9976·10⁸ м/с),
- λ длина волны, (м) расстояние между ближайшими точками колебательного процесса, находящимися в одинаковой фазе колебаний,
- Т период колебаний, (с) интервал времени, за который происходит полная смена фазы колебаний в одной точке пространства.



№ поло сы	Диапазон частот	Диапазон длин волн	Обозначение по частоте	Обозначение по длине волны
1	2	3	4	5
4	3 – 30 кГц	100 – 10 км	ОНЧ очень низкие	СДВ сверхдлинные
5	30 – 300 кГц	10 – 1 км	НЧ низкие	ДВ длинные
6	300 – 3000 кГц	1000 -100 м	СЧ средние	СВ средние
7	3 – 30 МГц	100 – 10 м	ВЧ высокие	КВ короткие
8	30 – 300 МГц	10 – 1 м	ОВЧ очень высокие	УКВ ультракороткие
9	300 – 3000 МГц	100 – 10 см	УВЧ ультравысокие	ДЦМВ дециметровые
10	3 – 30 ГГц	10 – 1 см	СВЧ сверхвысокие	СМВ сантиметровые
11	30 – 300 ГГц	10 – 1 мм	КВЧ крайне высокие	ММВ миллиметровые
12	300 – 3000 ГГц	1 – 0,1 мм	-	СММВ субмиллиметровые 65

Измерение частоты

$$f = \frac{1}{T}$$
 $\lambda = \frac{C}{f}$ $f = \frac{C}{\lambda}$

$$u(t) = U_m \sin(\omega t + \varphi_0) = U_m \sin \varphi(t)$$

 $φ_0$ - начальная фаза $φ(t) = sin(ωt + φ_0)$ - полная, текущая, мгновенная фаза

 ω – угловая, циклическая частота ω = $2\pi f$ –частота изменения фазы

Спектр частот: НЧ и ВЧ

<u>НЧ</u> – инфранизкие – ниже 20 Гц; звуковые -20 – 20кГц; УЗВ ÷ 20 ÷200 кГц

<u>BЧ</u> – 200 ÷30 МГц: <u>УВЧ</u> - 30 ÷300 МГц; <u>СВЧ</u> –выше 300 МГц

Мгновенное значение частоты $f(t) = f_n + kf_0 t + \Delta f(t)$

 $\mathbf{f}_{\rm n}$ – частота в тех документации, $\mathbf{kf}_{\rm 0}$ t временной дрейф, $\Delta\mathbf{f}(\mathbf{t})$ – случайный дрейф

Измерение частоты

Классификация, наименование и обозначение, приборов для измерения частоты

- Ч1 стандарты частоты и времени,
- Ч2 частотомеры резонансные,
- Ч3 частотомеры электронносчётные,
- Ч4 частотомеры гетеродинные, емкостные, мостовые,
- Ч5 синхронизаторы частоты,
- Ч6 синтезаторы частоты,
- Ч7 приёмники сигналов эталонных частот,
- Ч9 преобразователи частоты.

Методы измерения частоты

- 1 методы сравнения с образцовой частотой:
- а) сличения на основе нулевых биений
- б) гетеродинный в)- осциллографический
- 2 функциональные методы:
- а) резонансный б) мостовой в) спектральные
- 3 генераторные: а)перезаряда конденсатора;

Преобразования временного интервала в напряжение

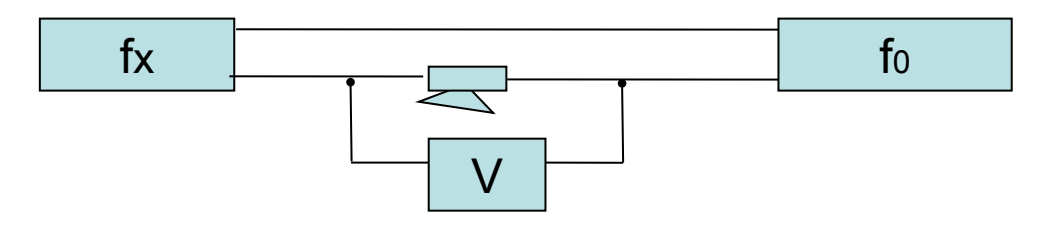
4 - дискретного счёта (цифровой)

Методы измерения частоты

- Методы сравнения
- Функциональные методы
- Методы дискретного счёта
- Генераторные методы

Метод сравнения с известной частотой.

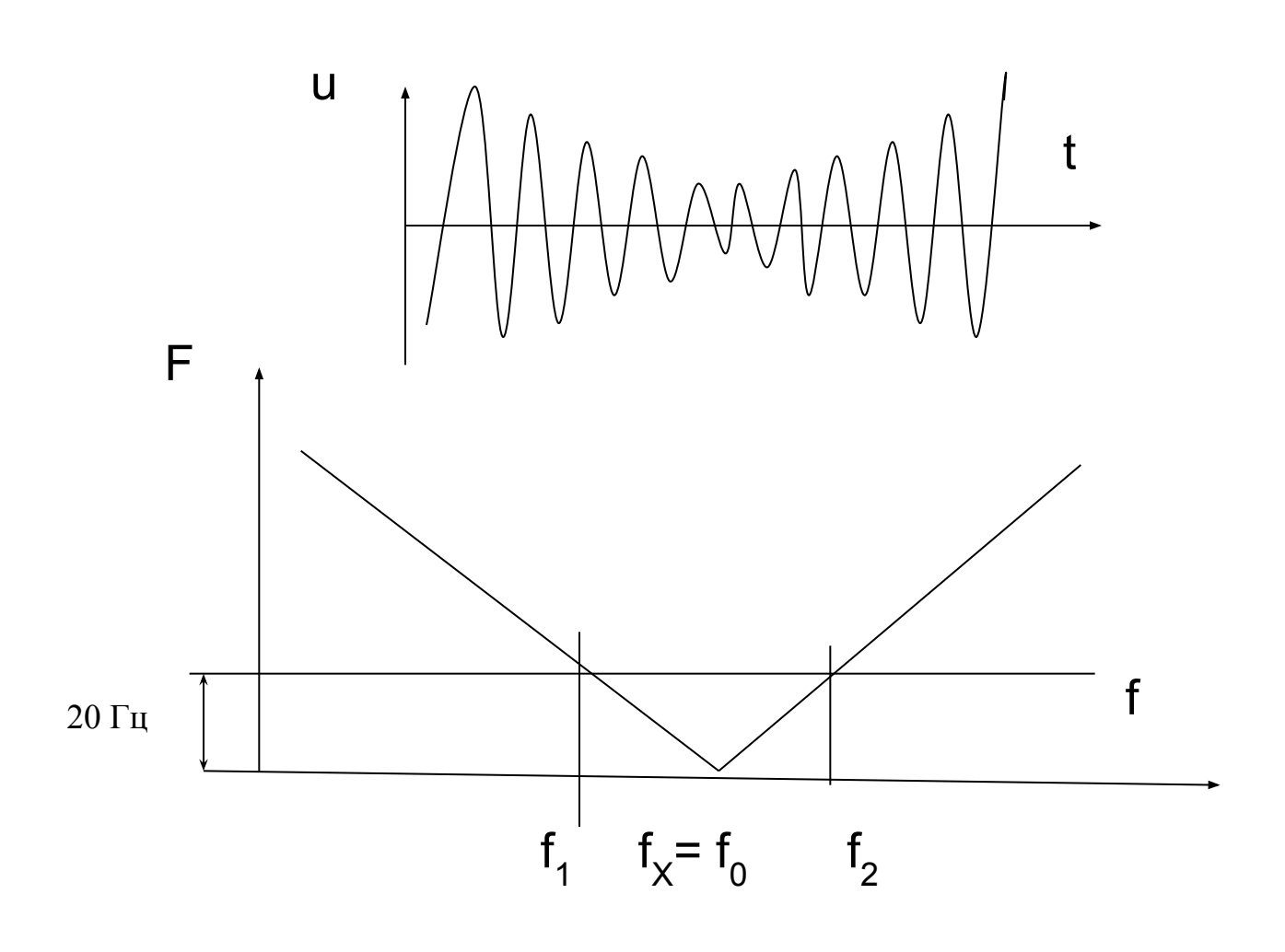
• Метод нулевых (звуковых) биений



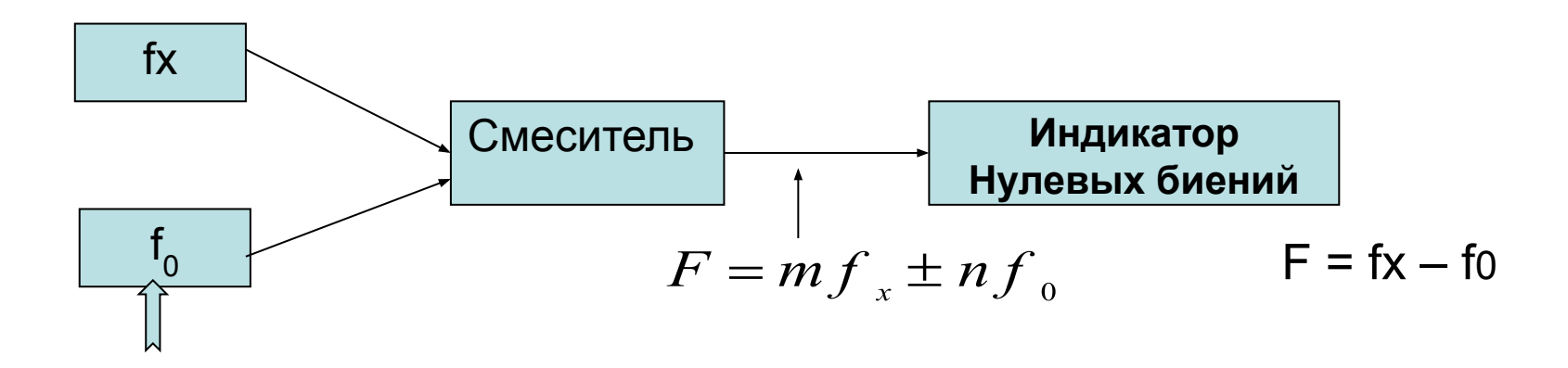
При $f_1 = Um_1sinω_1t$ и $f_2 = Um_2sinω_2t$ образуется сложное амплитудно-модулированное колебание

F = f1 - f2 с амплитудой в пределах от $Um_1 - Um_2$ до $Um_1 + Um_2$

Нулевые биения



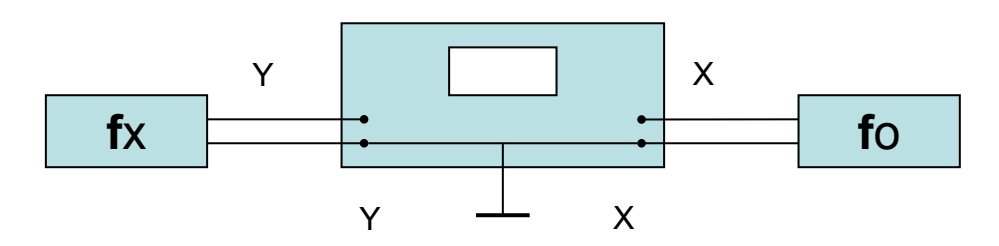
Гетеродинный метод



при m = n = 1, F = fx - f0, fx = f0 + F, где F -частота биений

Погрешность
$$\delta = \pm \sqrt{\delta_{\,ec{\varrho}\,\hat{e}}^{\,2} + \delta_{\,0}^{\,2} + \delta_{\,\hat{e}\,\hat{i}\,\hat{a}}^{\,2}}$$

Осциллографический метод

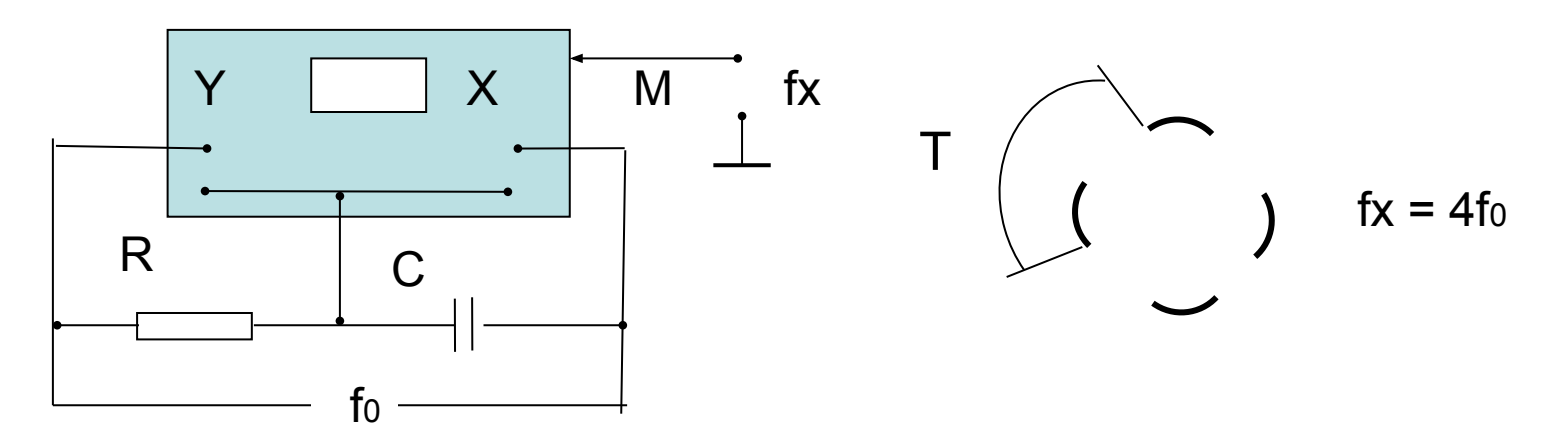


1	Сдвиг фаз сигналов Fx и Fo						
Fx:fo	0	π/2	π	3/2π	2π		
1		0		0			
2	000	^	∞		8		
3	~	∞	~	∞	>		

Fверт [∗] Nверт = fгор [∗] Nгор,

$$f_{x} = f_{0} \frac{N_{\tilde{a}\hat{i}\delta}}{N_{\hat{a}\hat{a}\delta\delta}}$$

Метод круговой развёртки и яркостной модуляции

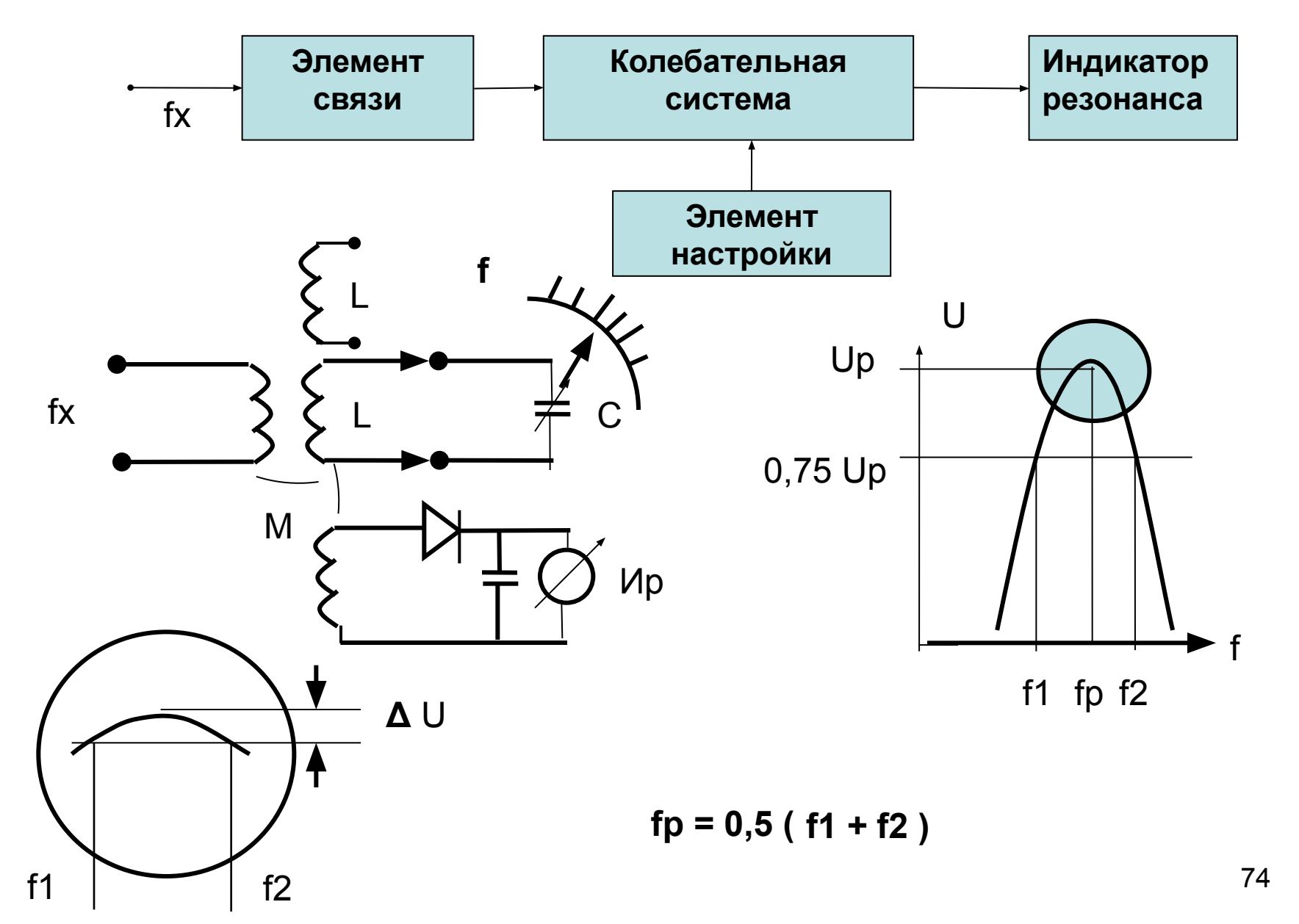


Метод сравнения с частотой развёртки осциллографа

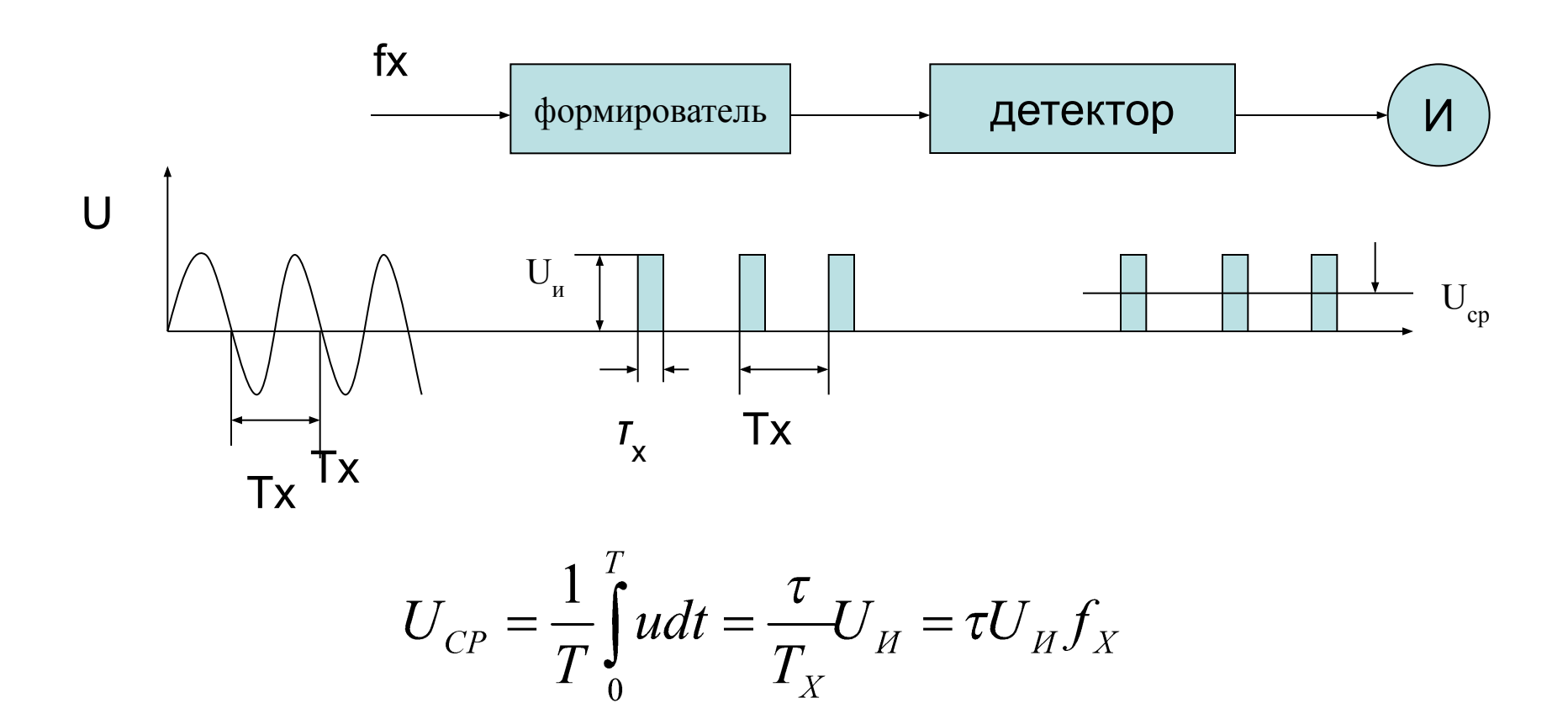
Tx = N Kp, fx = 1/Tx. Kp — коэффициент развёртки время на деление



Резонансный метод измерения частоты



Генераторные методы



ГЕНЕРАТОРНЫЕ МЕТОДЫ ИЗМЕРЕНИЯ ЧАСТОТЫ

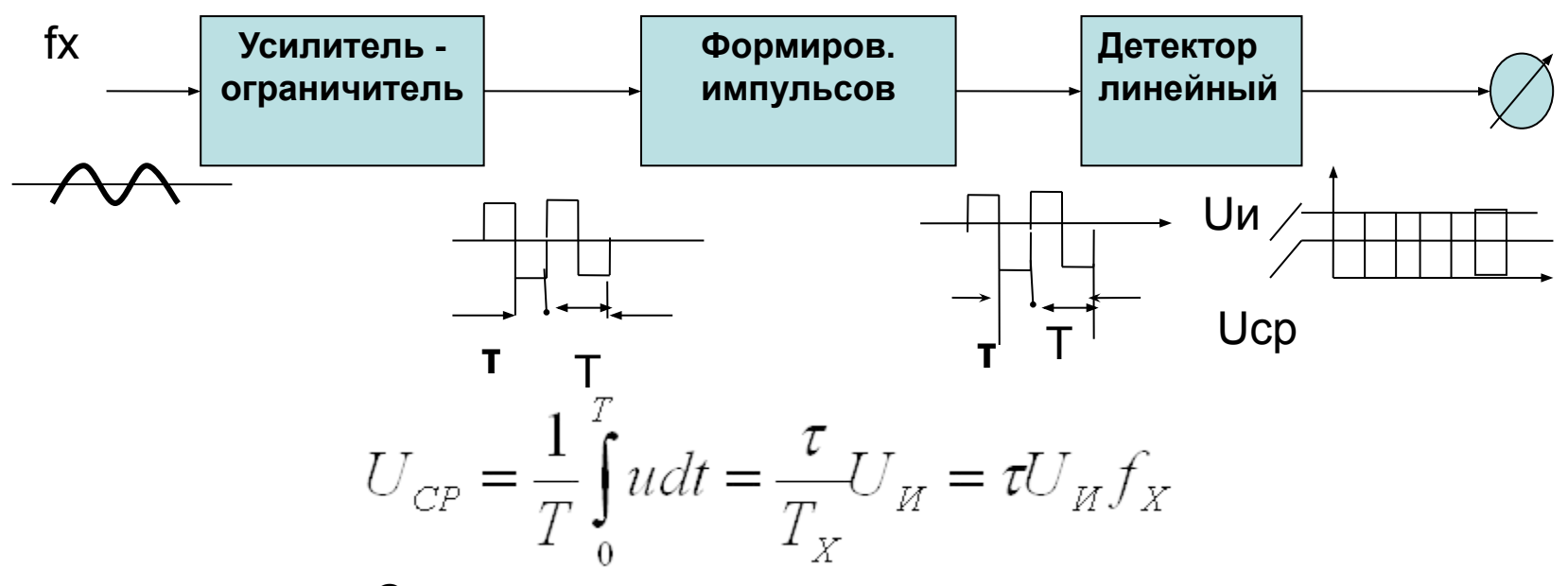
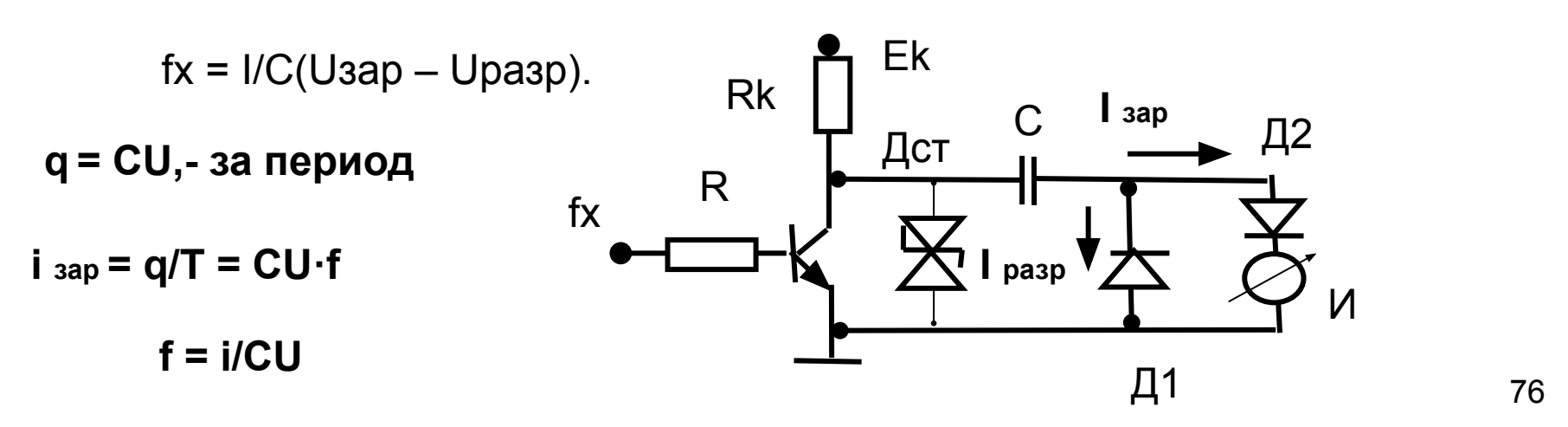
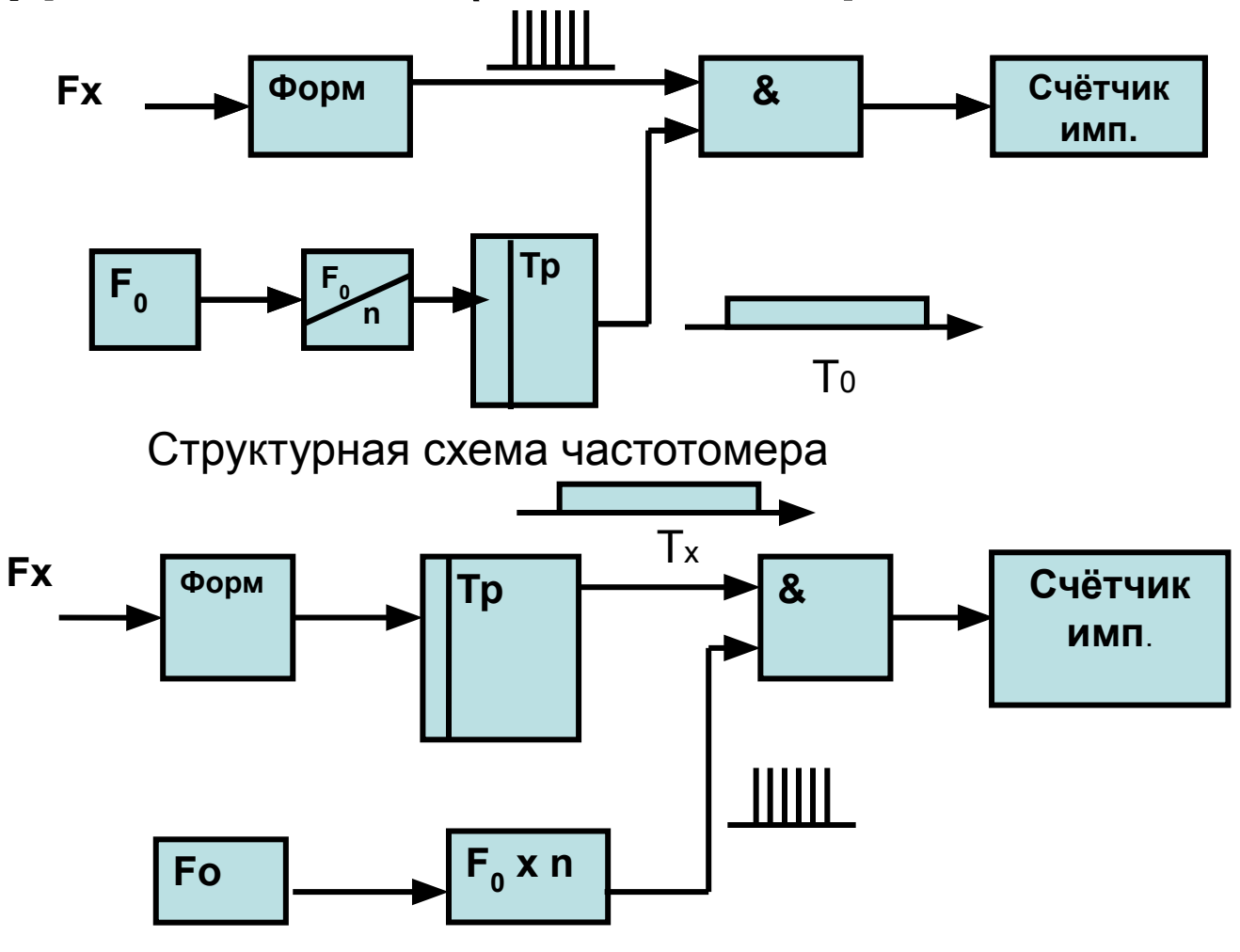


Схема конденсаторного частотомера

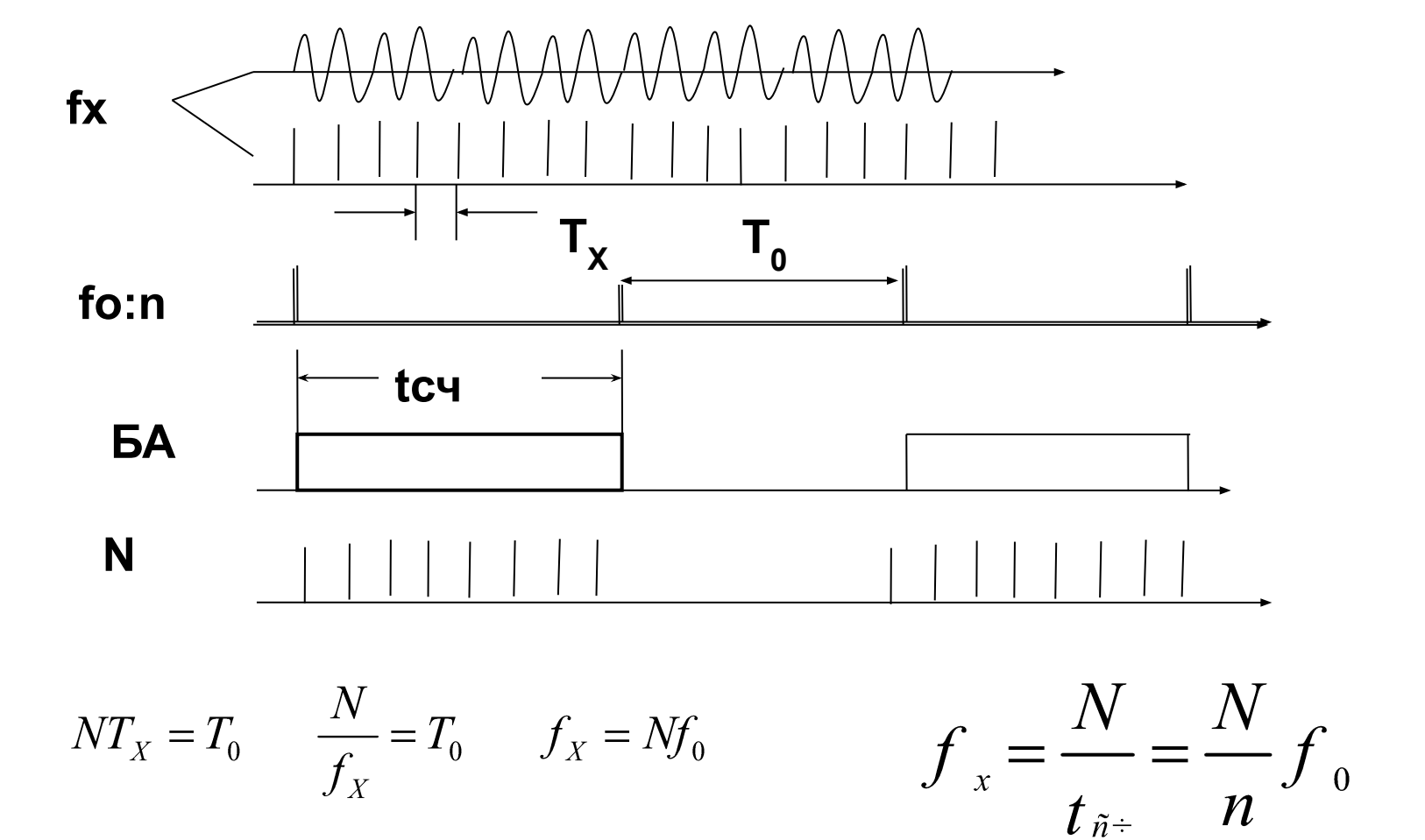


Цифровой метод (метод дискретного счёта)

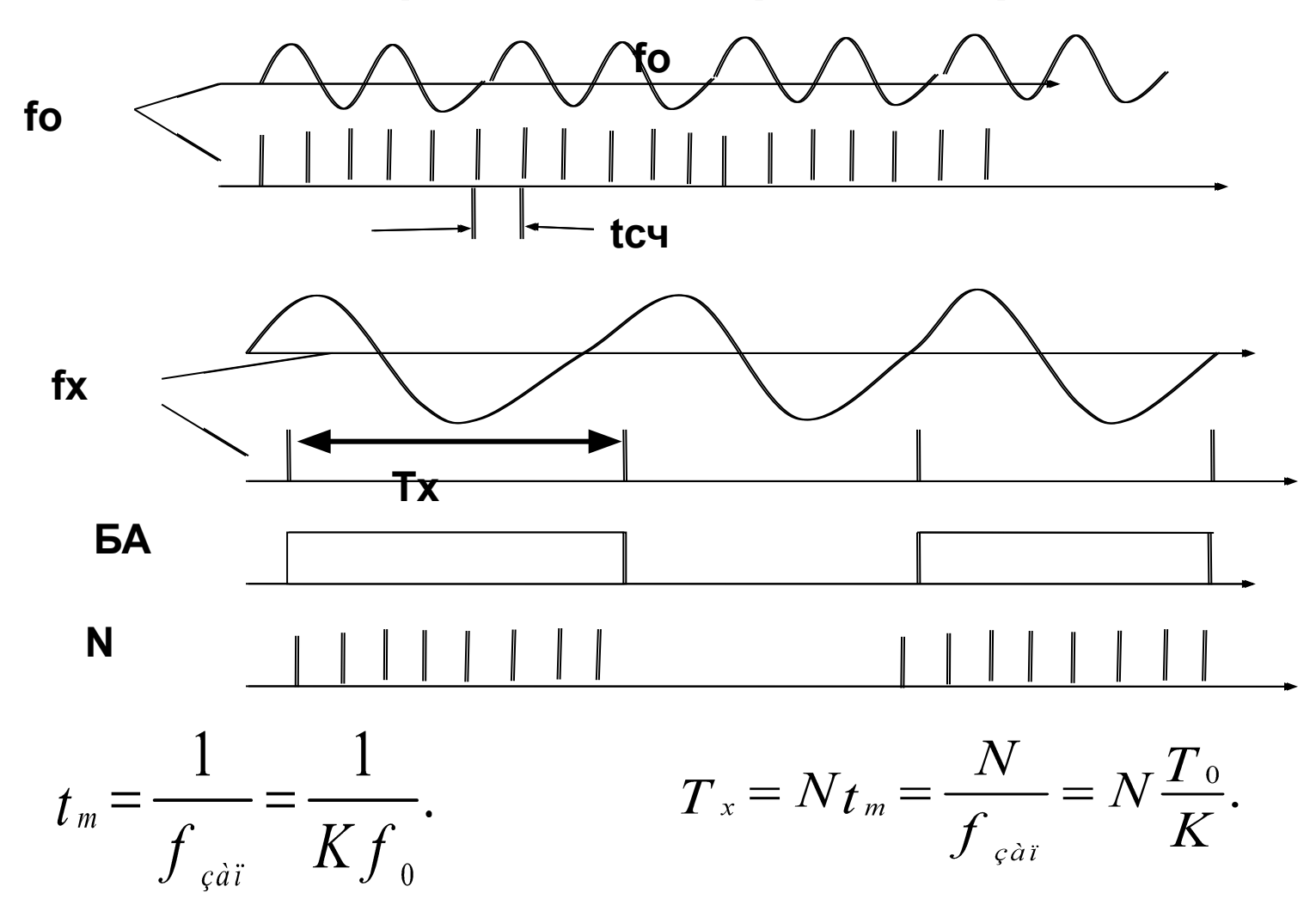


Структурная схема периодомера

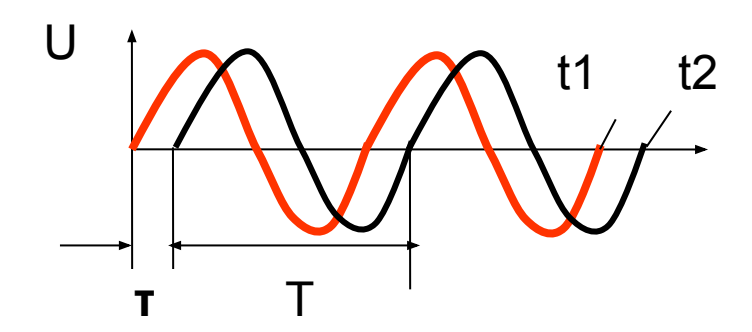
ЭСЧ в режиме измерения частоты



ЭСЧ в режиме измерения периода



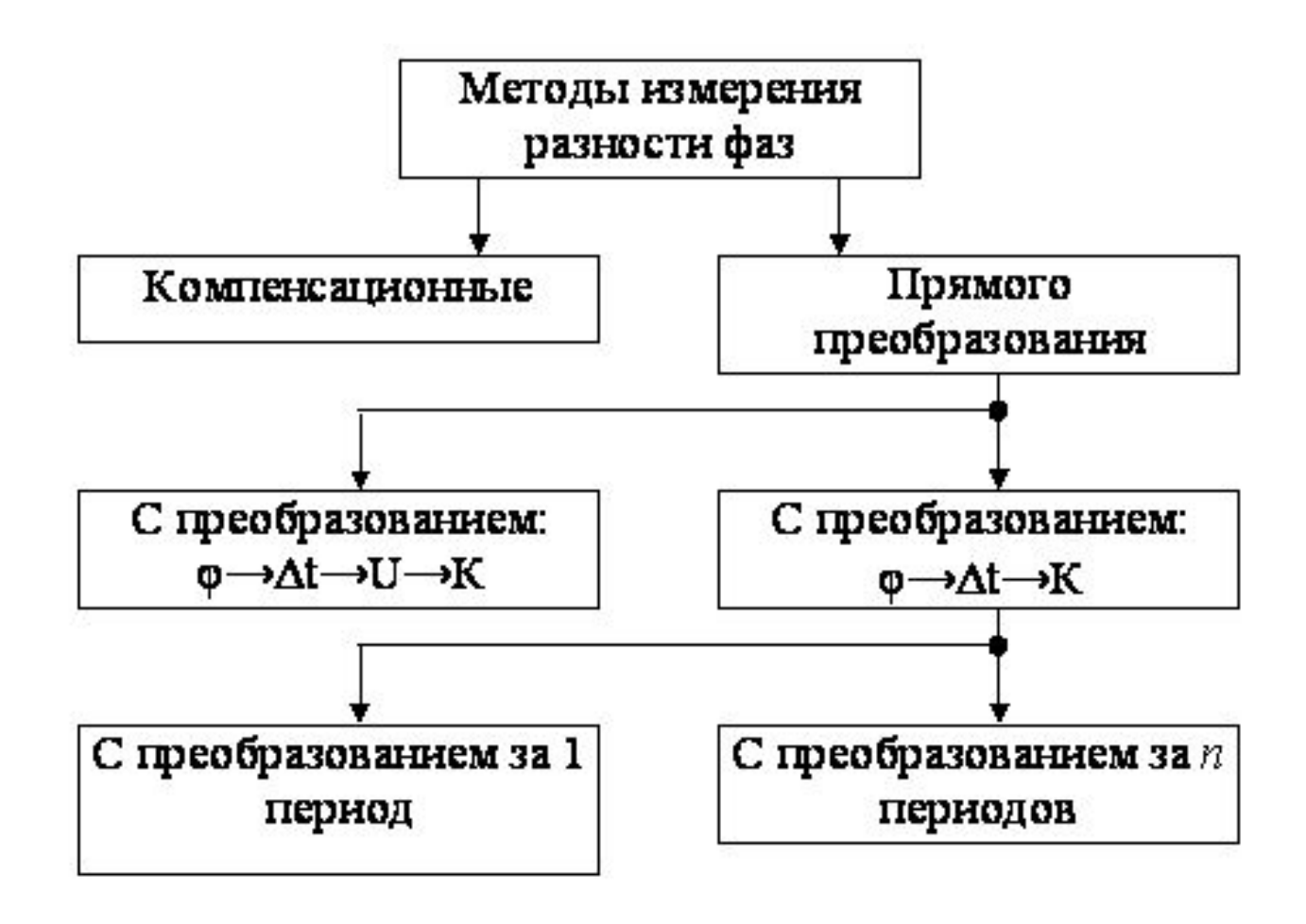
Методы измерения фазовых сдвигов



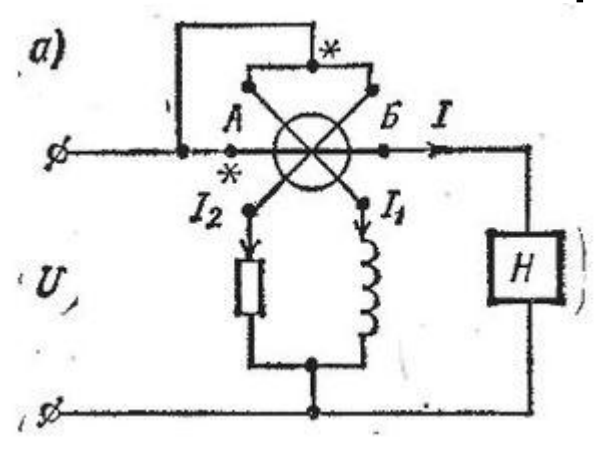
- Для двух гармонических сигналов при одинаковой частоте
- u1 = Um sin($\omega t_1 + \phi_1$), u2 = Um sin($\omega t_2 + \phi_2$) $\omega_1 = \omega_2 = \omega$,
- приняв ф2 = 0, получим
- $\omega t_1 + \varphi \omega t_2 = \varphi$, $\varphi = \omega(t_1 t_2) = 2\pi/T \cdot (t_1 t_2)$. $\varphi = 2\pi \Delta t / T$ методы измерения фазовых сдвигов
- осциллографический,
- с преобразованием во временной интервал,
- цифровой
- компенсационный,

Измерение фазы

Классификация методов измерения фазы



Логометрический фазометр



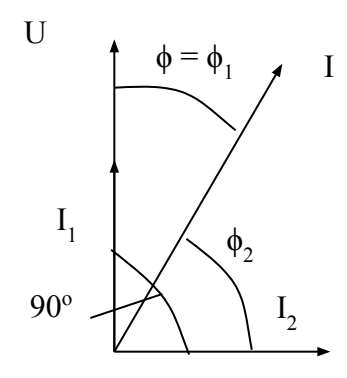
где ψ 1, ψ 2 — углы сдвига фаз между токами в неподвижной катушке и токами I1, I2 соответственно в подвижных катушках;

$$M_1 = c_1 I I_1 \cos \psi_1 f_1(\alpha)$$

$$M_2 = c_2 I I_2 \cos \psi_2 f_2(\alpha)$$

$$c_1 I I_1 \cos \psi_1 f_1(\alpha) = c_2 I I_2 \cos \psi_2 f_2(\alpha)$$

$$\frac{I_2 \cos \psi_2}{I_1 \cos \psi_1} = \frac{c_1 f_1(\alpha)}{c_2 f_2(\alpha)} = f_3(\alpha)$$

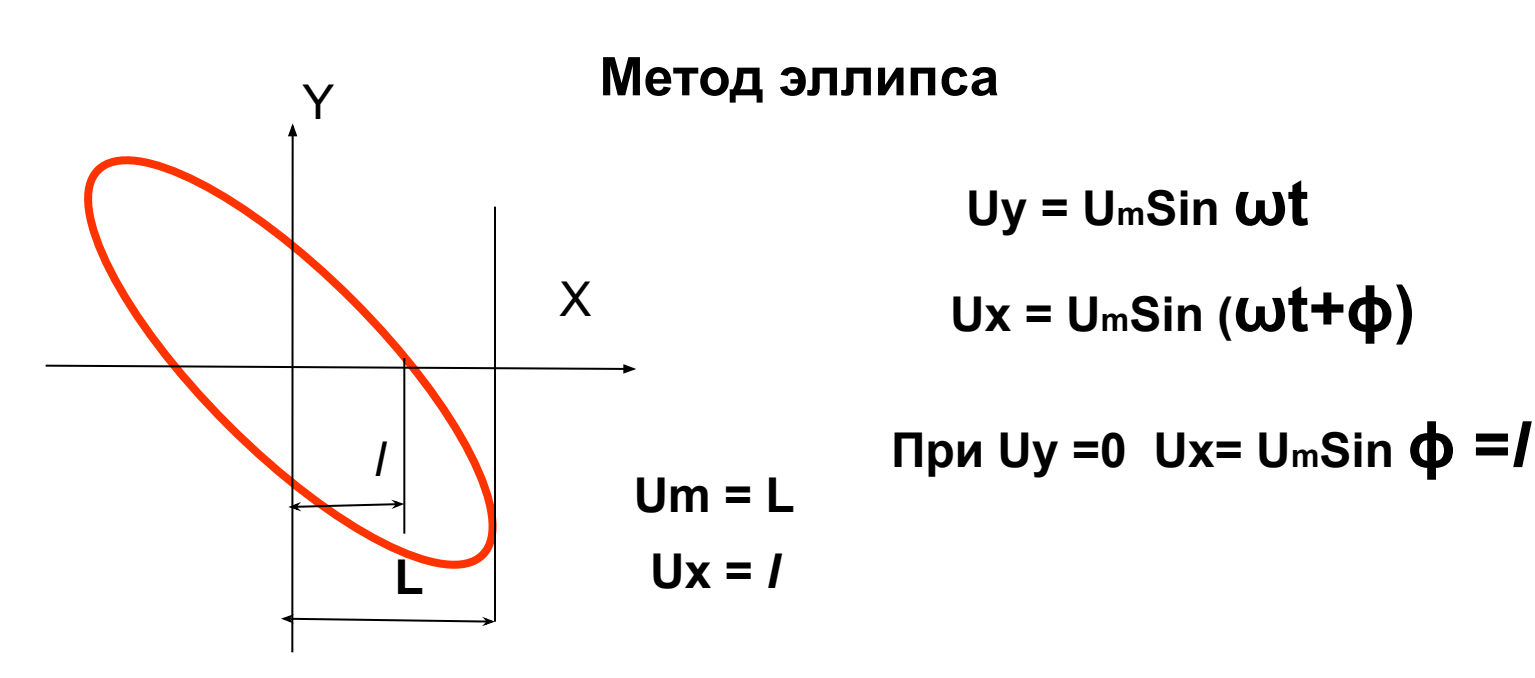


 $\cos \phi 2 = \cos (90 - \phi 1), \ \phi 1 = \phi, \ f_3(\alpha) = tg\phi.$

Осциллографический метод

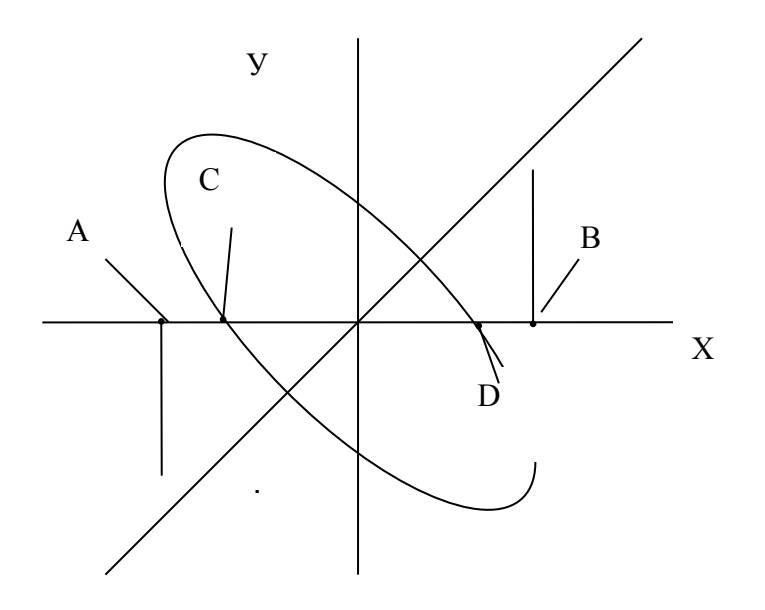
• Разновидности:

Метод эллипса, Метод двухканального осциллографа, Метод круговой развёртки и яркостной модуляции



$$\sin \varphi = \frac{l}{L}, \quad \varphi = \arcsin \frac{l}{L}$$

Измерение фазы

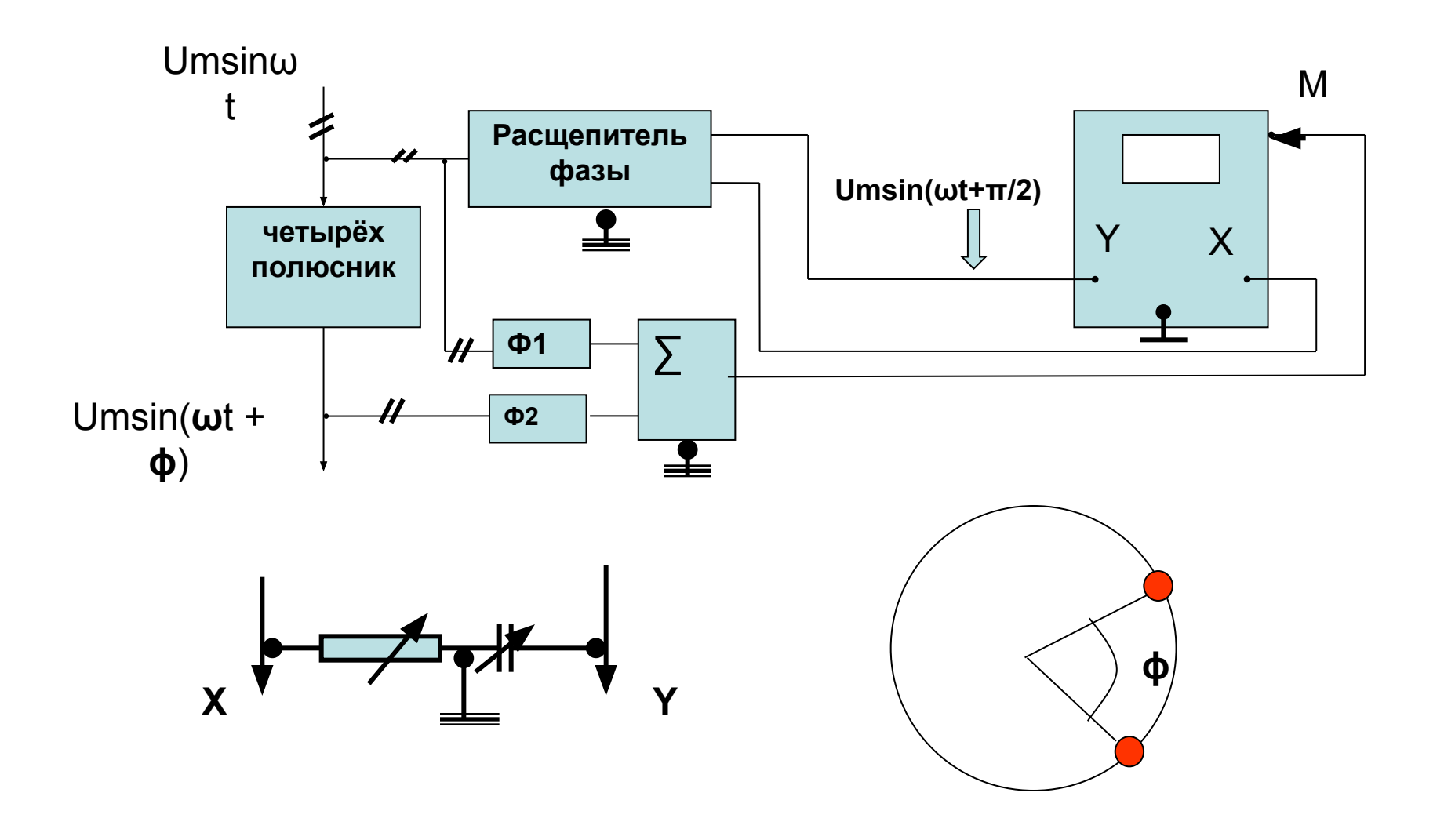


$$A-B$$
; = $2S_XU_{m2}$

$$A-B$$
; = $2S_X U_{m2}$ $C-D = 2S_X U_m \sin(\omega t + \varphi)$

$$\sin \varphi = \frac{l}{L}, \quad \varphi = \arcsin \frac{l}{L}$$
 C-D = I A-B = L

Метод яркостной модуляции и круговой развёртки



Электронные методы измерения фазовых сдвигов

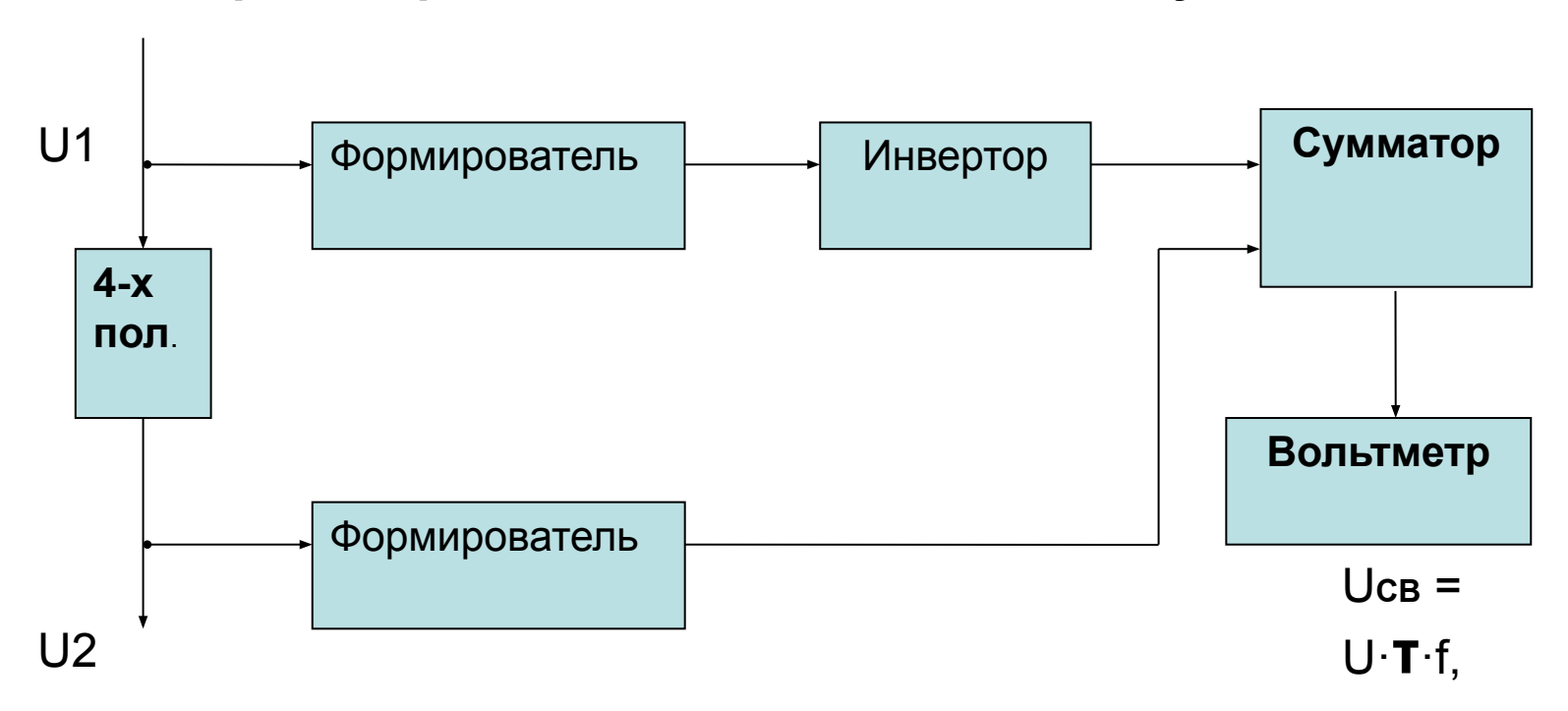
Метод суммы и разности напряжений

При U1 = U2
$$U_{\Sigma}^2 = 2U^2 \left(1 + \cos\varphi\right) = 4U^2 \cos^2\left(\frac{\omega}{2}\right)$$
 $\varphi = 2 \arccos\left(\frac{U_{\Sigma}}{2U}\right)$

при использовании разности значений напряжений

$$U_{\Sigma}^{2} = U_{1}^{2} + U_{2}^{2} - 2U_{1}U_{2}\cos\varphi \qquad \varphi = 2\arcsin\left(\frac{U_{\Delta}}{2U}\right)$$

Измерение фазы методом сложения импульсов.



Временные диаграммы метода суммы и разности напряжений

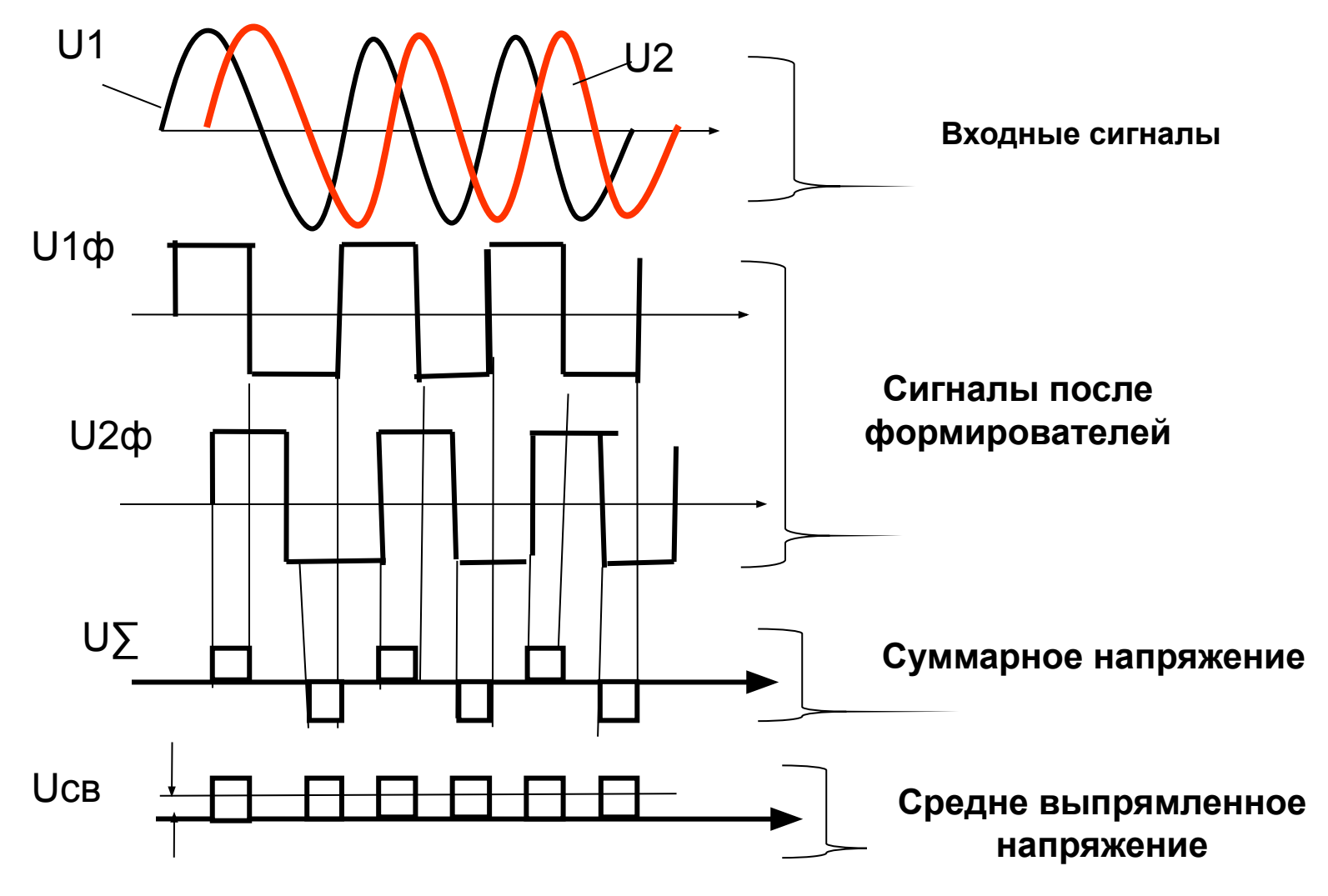
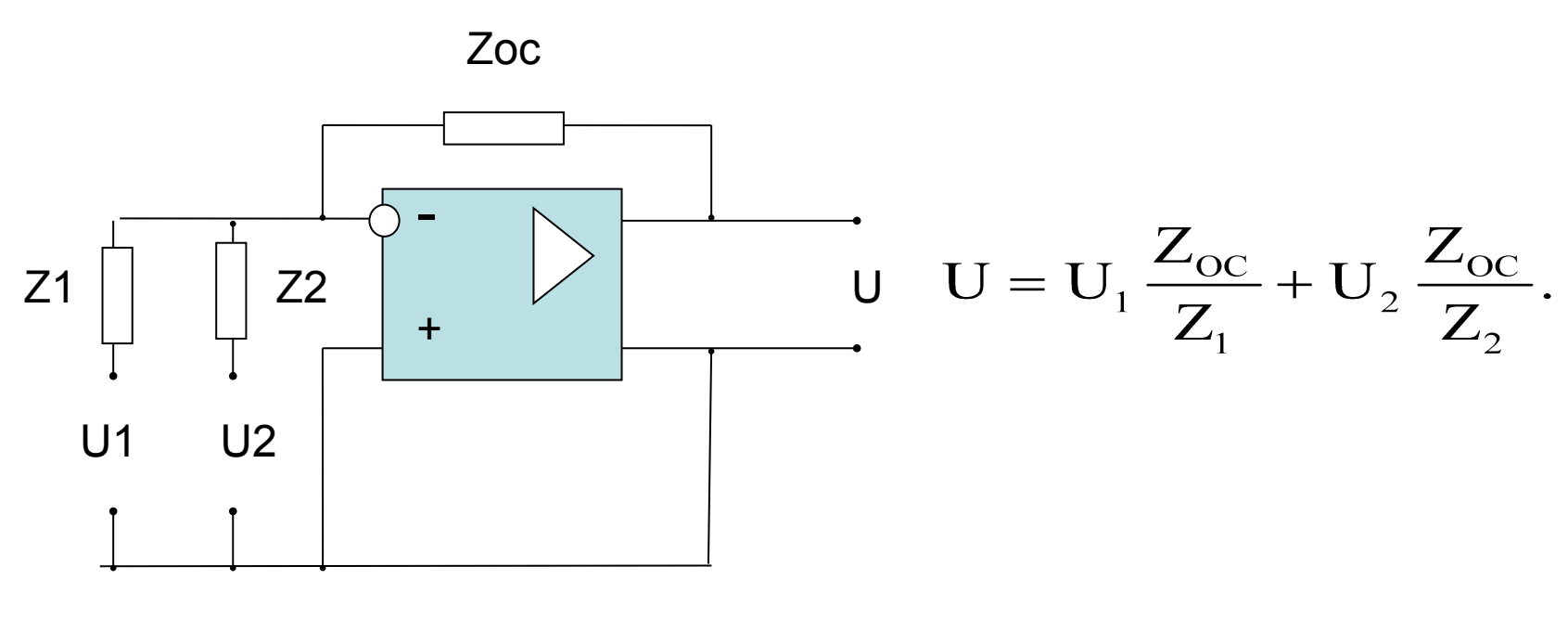
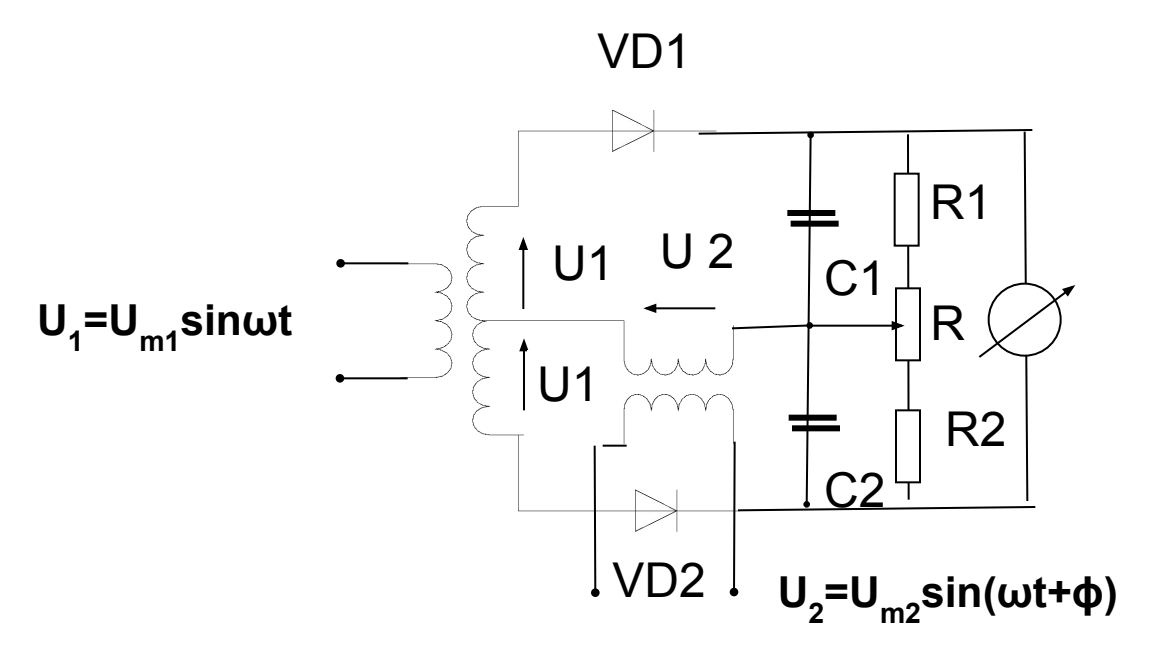


Схема суммирования на операционном усилителе

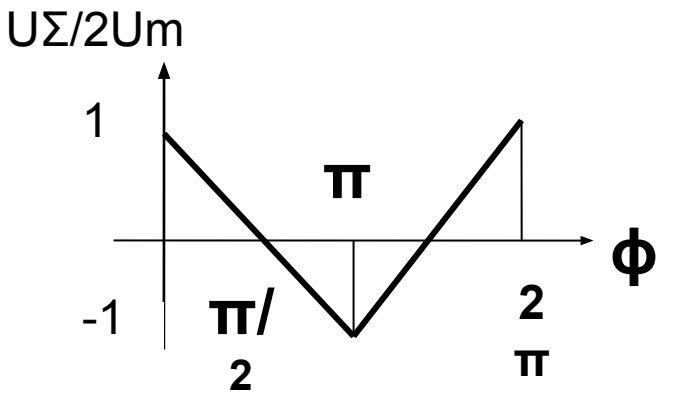


При Z1 = Z2= Z
$$U = U_1 \frac{Z_{\rm OC}}{Z} + U_2 \frac{Z_{\rm OC}}{Z} = \frac{Z_{\rm OC}}{Z} \left(U_1 + U_2\right)$$

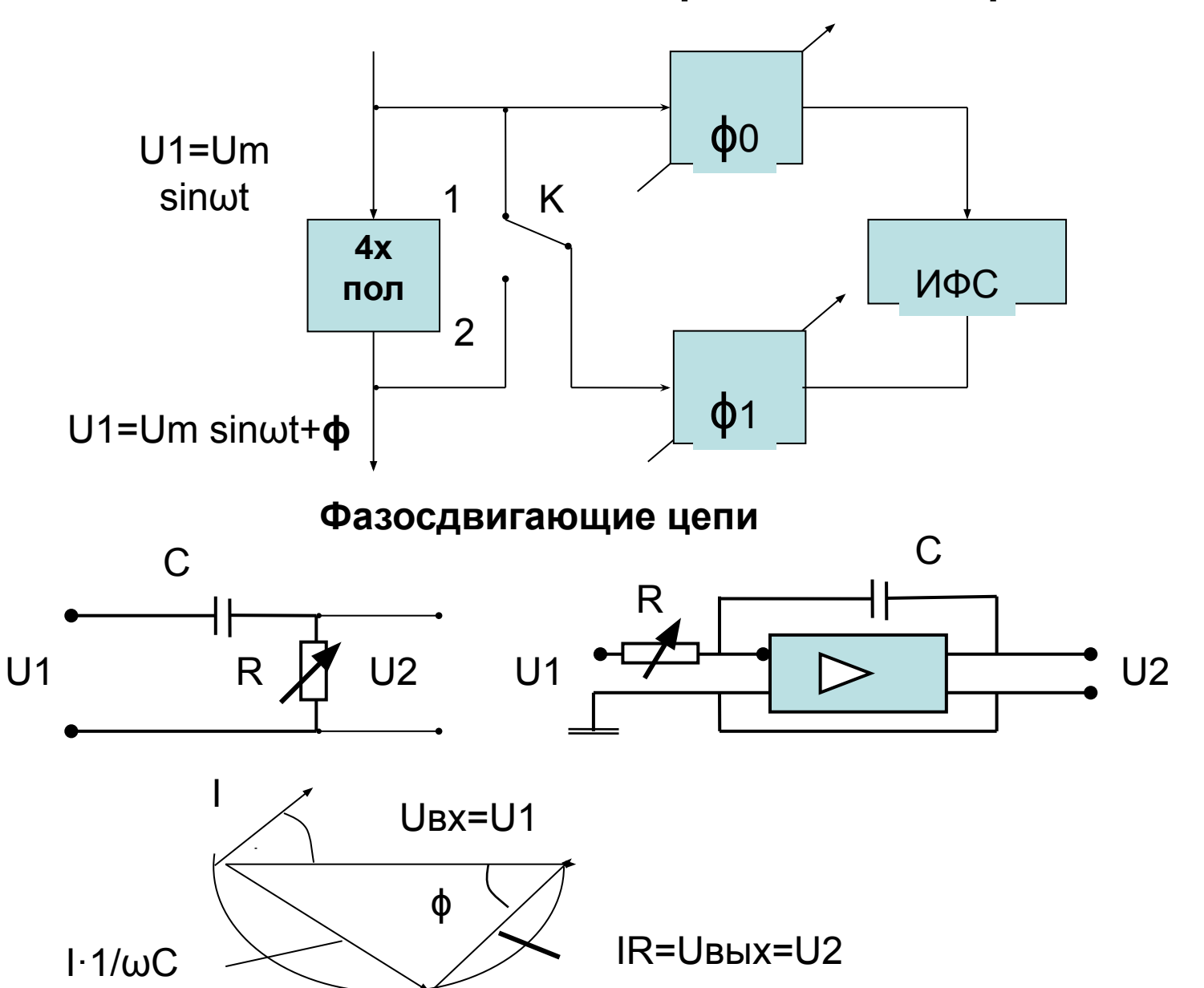
Метод балансного фазового детектора.



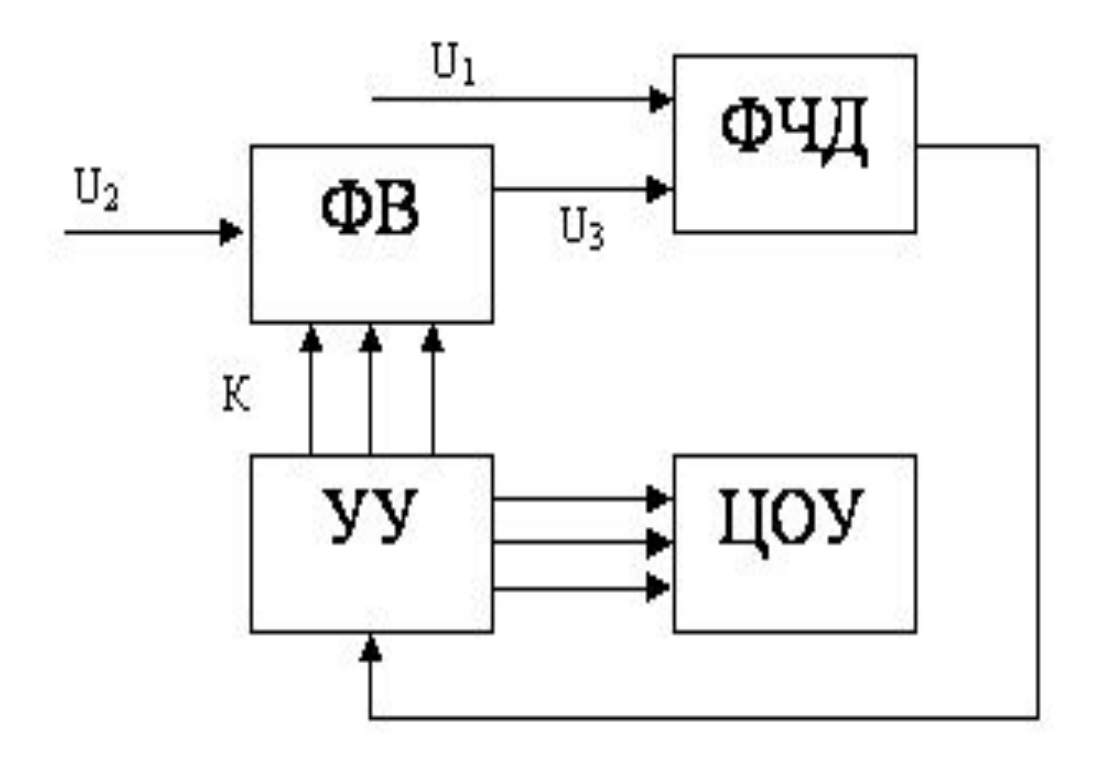
$$U_{C1} = 2U_{m} \cos \left(-\frac{\varphi}{2}\right); \quad U_{C2} = 2U_{m} \sin \left(-\frac{\varphi}{2}\right). \quad U_{\Sigma} = 2U_{m} \left[\cos \frac{\varphi}{2} - \sin \frac{\varphi}{2}\right].$$



Компенсационный метод измерения сдвига фаз

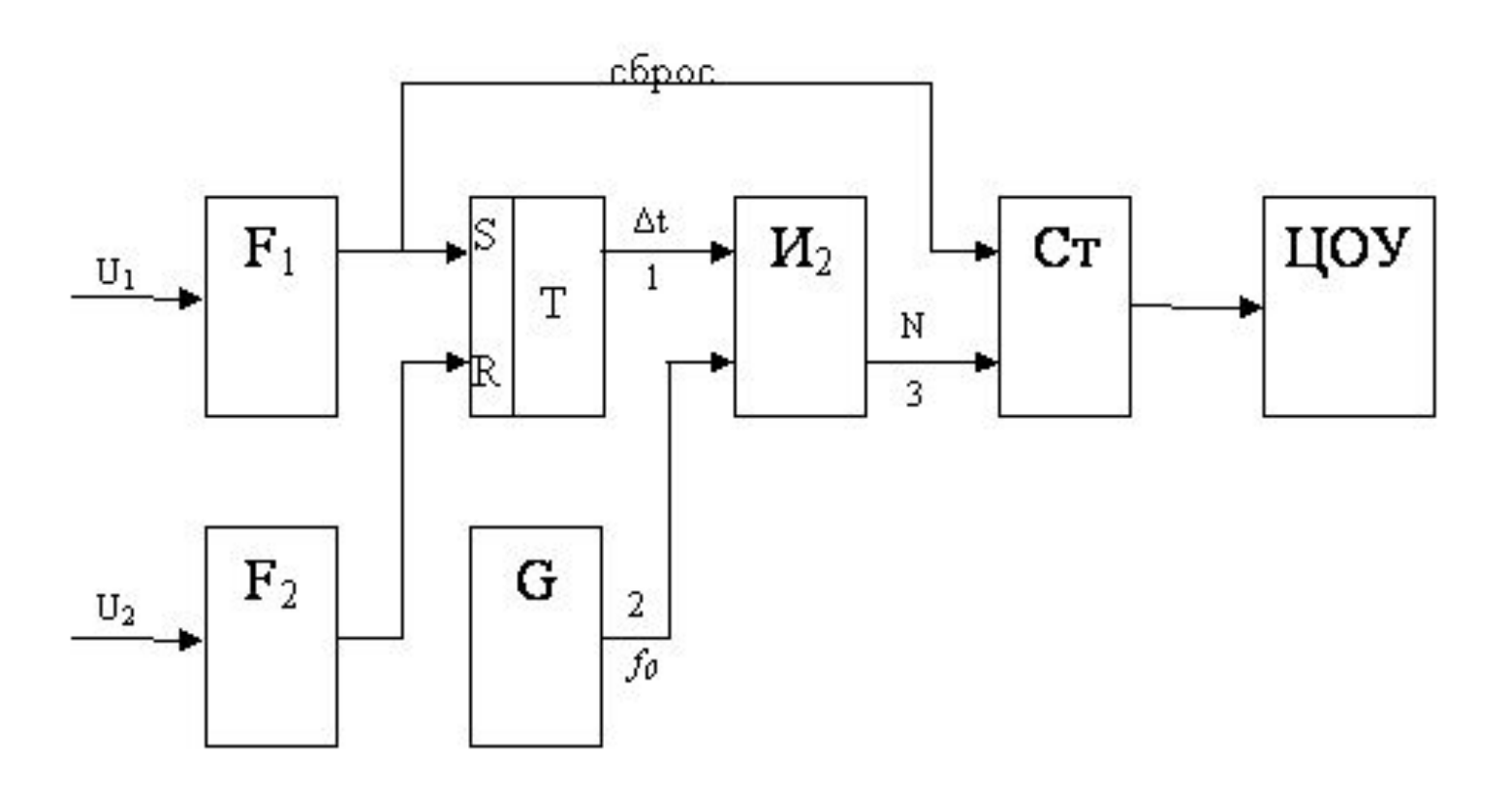


Компенсационный метод.

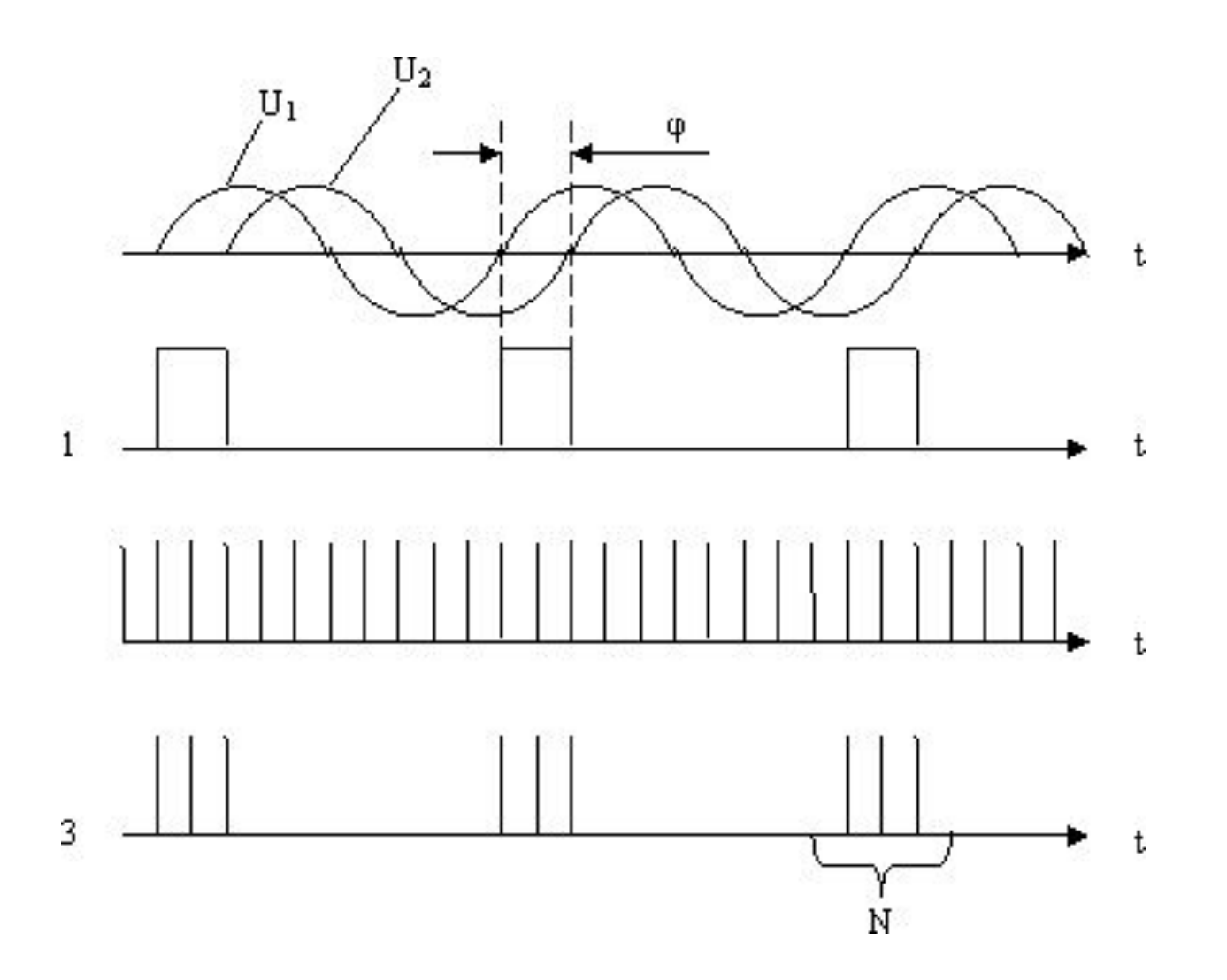


ФЧД – фазочувствительный детектор; ФВ – фазовращатель

Фазометры прямого преобразования.



временная диаграмма сигналов



длительность прямоугольных импульсов

$$\Delta t = \frac{\varphi}{\varpi} = \frac{\varphi}{2\pi f}$$
 $N = \frac{\Delta t}{T_0} = \Delta t \cdot f_0$

$$N = \frac{f_0 \cdot \varphi}{2\pi f}(pa\partial) \qquad N = \frac{f_0 \cdot \varphi}{360f}(zpa\partial)$$

при измерении Δt получим число импульсов:

$$N_{\Delta t} = \Delta t \cdot f_0 = \frac{\varphi \cdot f_0}{360 \cdot f} = \frac{\varphi}{360} \cdot T \cdot f_0$$

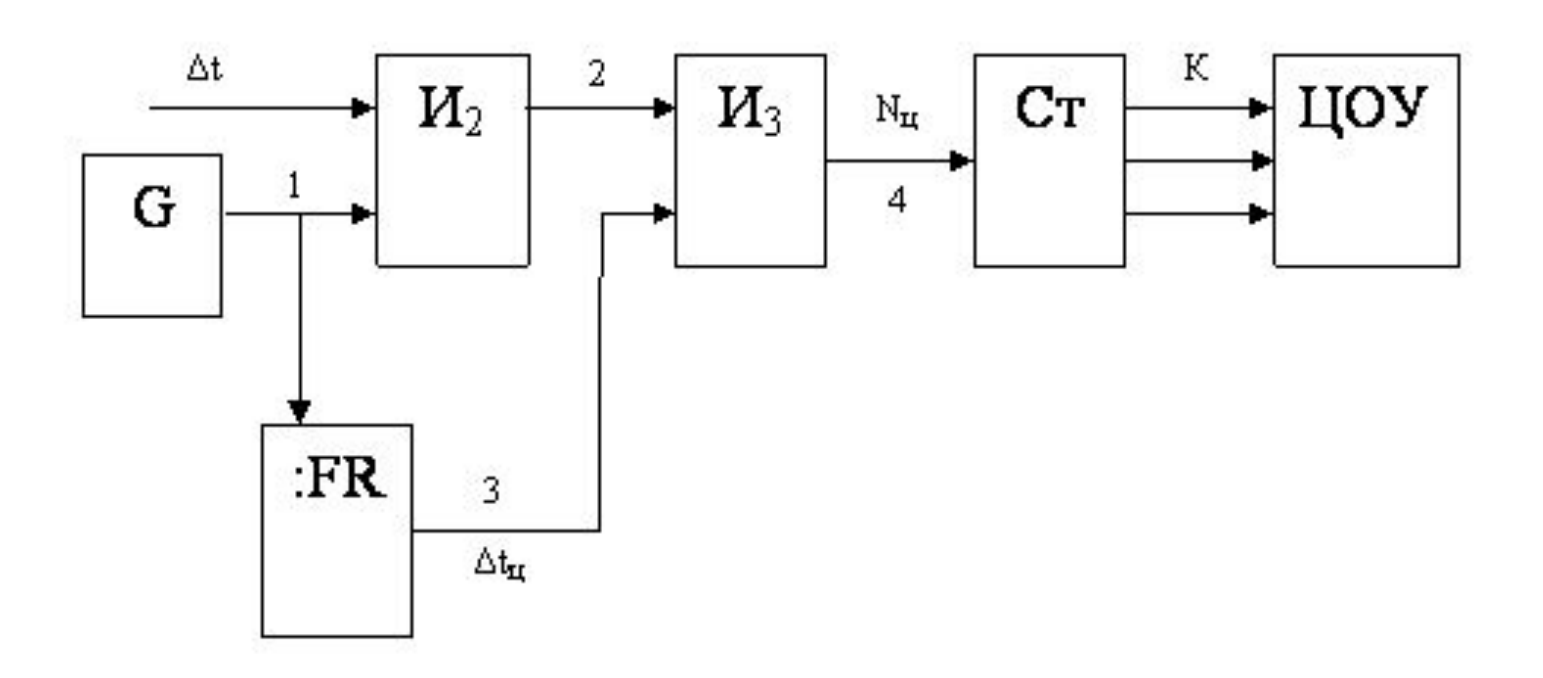
измеряется период Т.

При измерении Т получим число

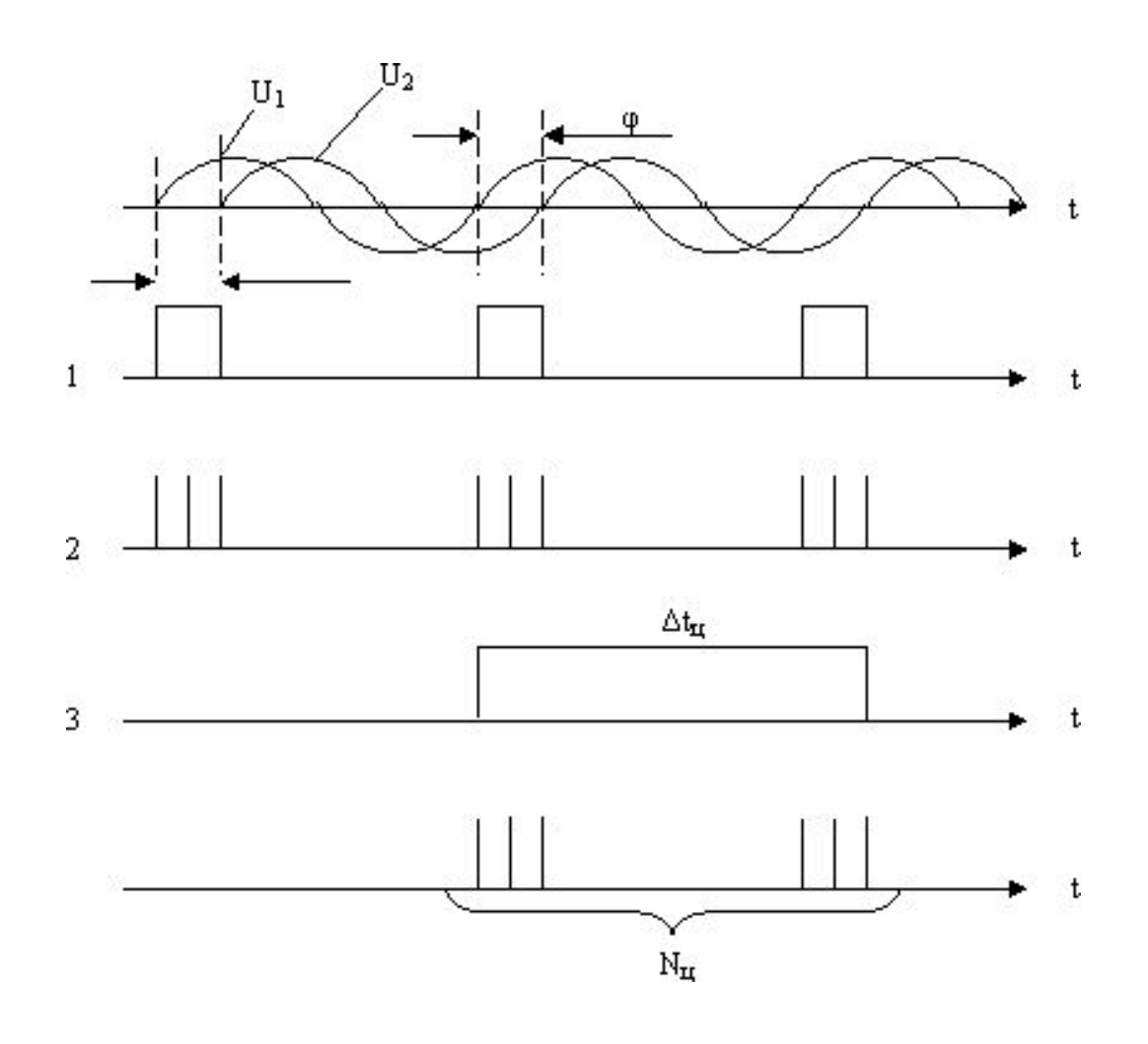
$$\begin{split} N_{\mathtt{A}t} &= \Delta t \cdot f_0 = \frac{\varphi \cdot f_0}{360 \cdot f} = \frac{\varphi}{360} \cdot T \cdot f_0 \\ N_T &= T \cdot f_0 = \frac{T}{T_0} \qquad N_{\mathtt{A}t} = \frac{\varphi}{360} \cdot N_T \qquad \varphi = 360 \cdot \frac{N_{\mathtt{A}t}}{N_T} \end{split}$$

Фазометры с измерением за много периодов.

Структурная схема



временная диаграмма сигналов



на счётчик поступают пачки импульсов

$$N = f_0 \cdot \frac{\varphi}{2\pi f} \qquad N = \frac{f \cdot \varphi}{360 \cdot f}$$

пачки проходят в течение интервала Δtц

$$\Delta t_{\psi} = \frac{KT_0}{2} = \frac{K}{2f_0}$$

количество пачек импульсов:

$$m = \frac{\Delta t_{y}}{T} = \Delta t_{y} \cdot f$$
 $m = \frac{K \cdot f}{2 \cdot f_{0}}$

общее количество импульсов Nц, прошедших на счётчик

$$N_{\mu} = m \cdot N$$

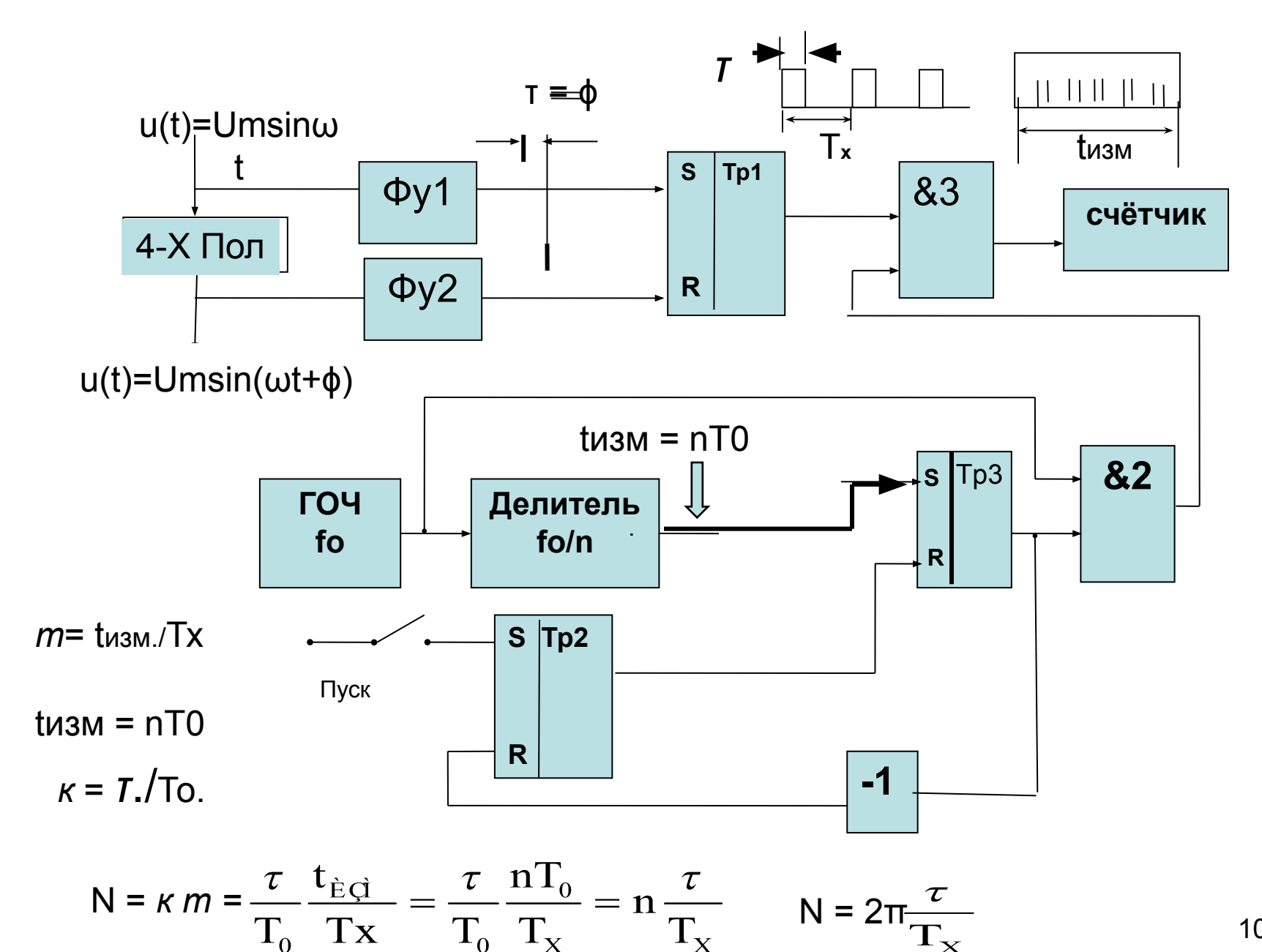
$$m = \frac{K \cdot f}{2 \cdot f_0} \qquad N = \frac{\varphi \cdot f_0}{360 \cdot f}$$

$$\Delta t_{4} = \frac{KT_{0}}{2} = \frac{K}{2f_{0}}$$

$$N_{4} = \frac{K \cdot \varphi}{720}$$

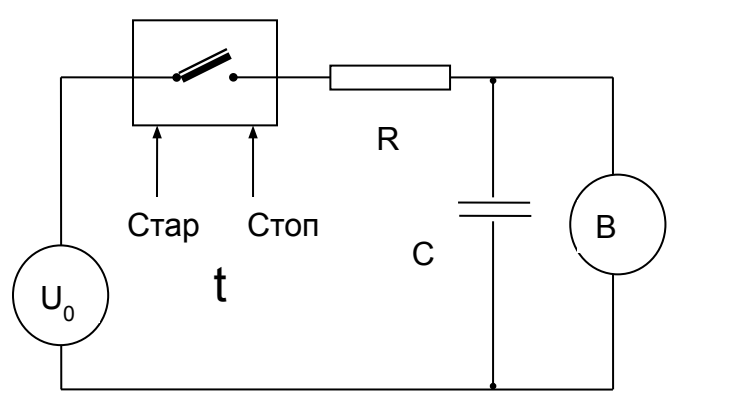
$$N_{\mu} = \varphi \cdot 10^a$$
 $\varphi = N_{\mu} \cdot 10^{-a}$ $\varphi = N_{\mu} \cdot g$

Цифровой двухканальный фазометр.



101

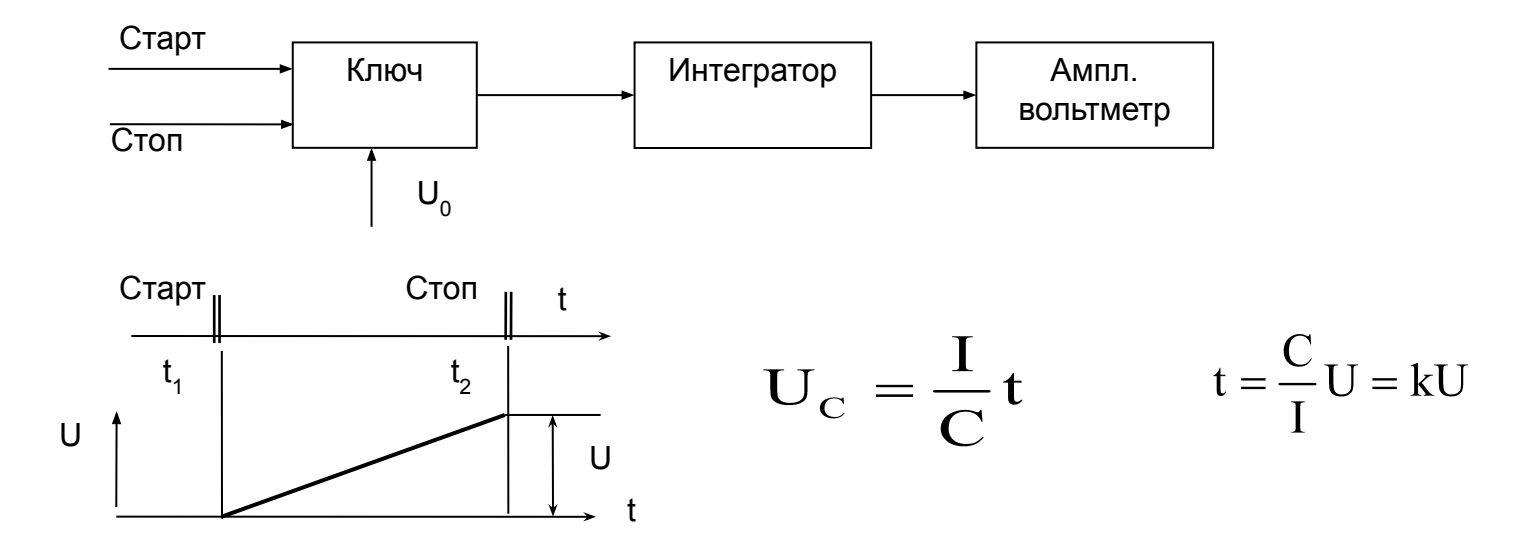
Измерение временных интервалов с преобразованием в напряжение



$$\mathbf{U}_{\mathrm{C}} = \mathbf{U}_{\mathrm{o}} \left(1 - \mathbf{e}^{-t/\tau} \right),\,$$

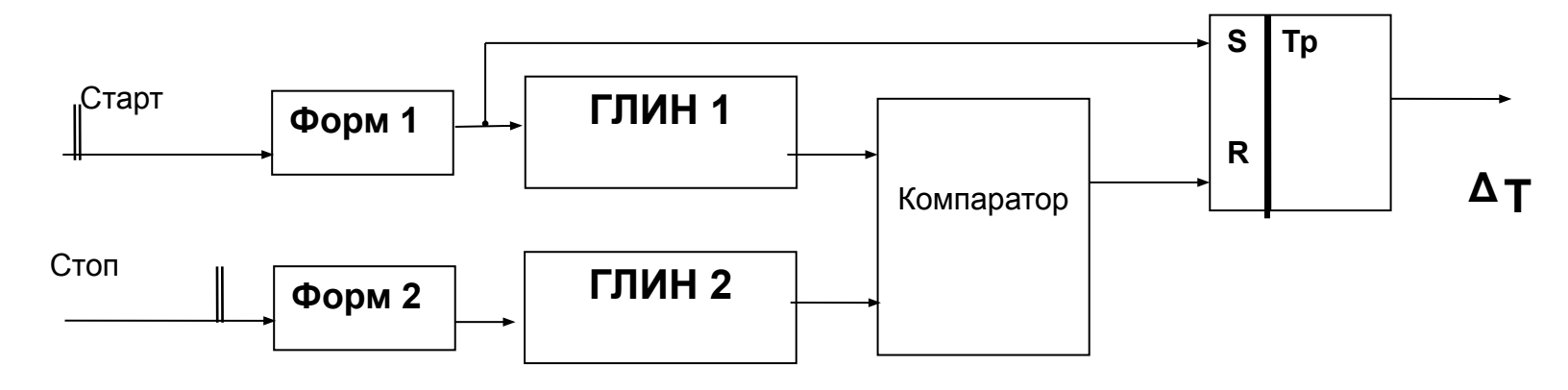
$$t = \tau \ln \frac{U_0}{U_0 - U_C} \qquad \tau = RC.$$

Используя метод заряда конденсатора постоянным током I = const

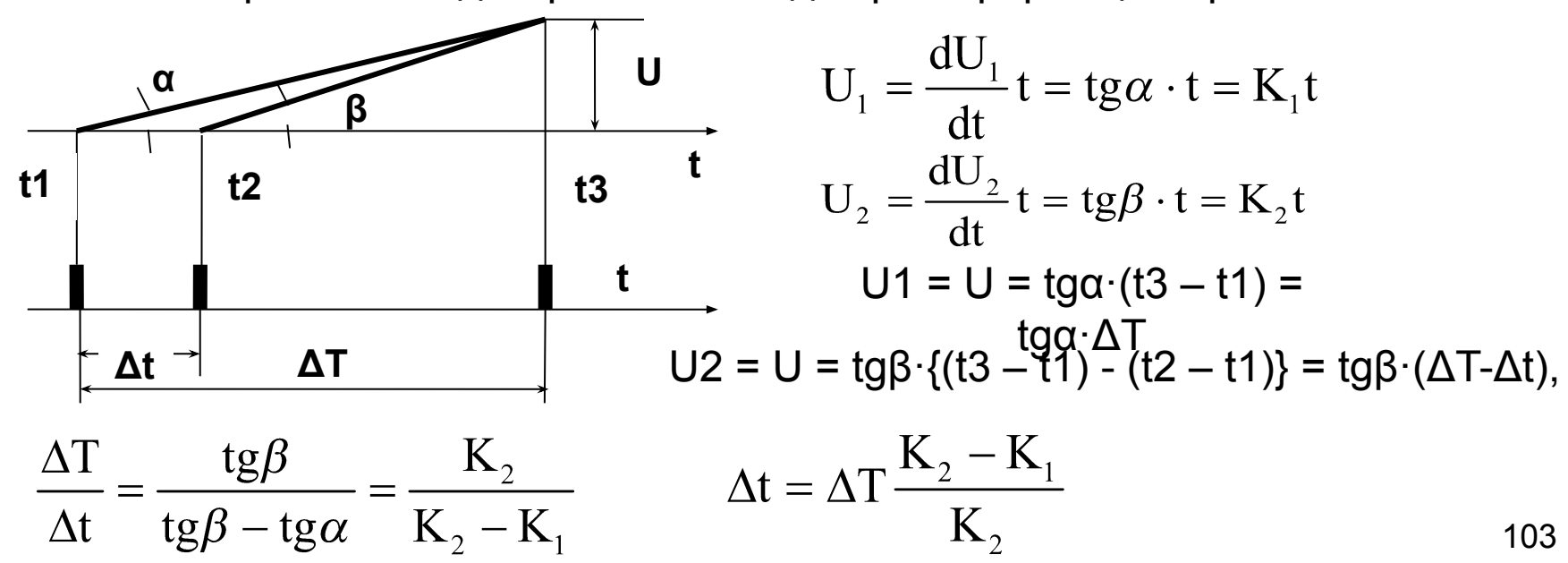


метода масштабного преобразования

временного интервала



Временные диаграммы метода трансформации времени.



Измерение мощности

Энергия, поступающая в нагрузку
$$dW = udq = uidt$$

Мгновенная мощность
$$p = \frac{dW}{dt} = ui$$

Мгновенная мощность величина алгебраическая

Если положительные направления u, I одинаковых знаков p > 0 Энергия поступает в нагрузку

Если положительные направления u, I разных знаков p < 0 Энергия возвращается к источнику Мощность в цепи переменного тока выражается комплексным числом Активная мощность – действительная часть.

Реактивная – мнимая часть,

Полная мощность – модуль,

Угол сдвига фаз - аргумент

Единицы измерения мощности

Виды измеряемой мощности

$$P_{a} = \frac{1}{T} \int_{0}^{T} u(t) \cdot i(t) dt, \quad Pa = UI \cos \varphi, \quad u(t) = Um \sin \omega t,$$
$$i(t) = I_{m} \sin(\omega t + \varphi).$$

Активная (**Batt**) $Pa = U \cdot Icos \varphi$

Реактивная

(Bap)

$$Q = UI \sin \varphi$$

Полная
$$S = U \cdot I = \sqrt{Q^2 + P^2}$$
. (Вольт-амперы)

Единицы измерения уровней мощности

Для оценки эффективности передачи энергии по каналу определяется затухание или усиление сигнала

Единица затухания 4-х полюсника Бел (непер)

$$S_{\text{Бел}} = \lg \frac{P}{P_0}$$

$$P_0$$
 4-х пол P_1 При R вх = R вых

$$P_{0} = \frac{U_{0}^{2}}{R}, \quad P = \frac{U^{2}}{R} \quad P = I^{2}R \quad S = \lg \frac{I^{2}}{I_{0}^{2}} = 2 \lg \frac{I}{I_{0}} \quad S = \lg \frac{U^{2}}{U_{0}^{2}} = 2 \lg \frac{U}{U_{0}}$$

В показательной форме
$$\frac{U}{U_o} = 10^{\frac{S}{20}}$$
 $\frac{I}{I_o} = 10^{\frac{S}{20}}$ $\frac{P}{P_o} = 10^{\frac{S}{10}}$

Практически применяют децибелы
$$S_{_{DB}}=10 lg \frac{P}{P_{o}}=20 lg \frac{U}{U_{o}}=20 lg \frac{I}{I_{o}}$$

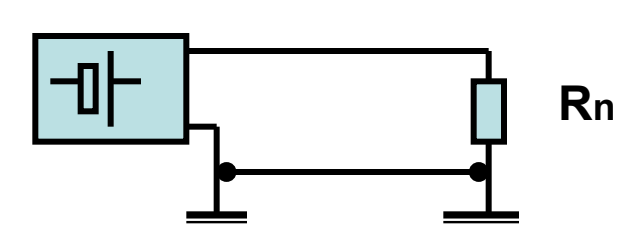
В показательной форме

$$\frac{U}{U_o} = 10^{0.5S}$$
, $\frac{U}{U_o} = 10,^{0.5S}$ $\frac{P}{P_o} = 10^S$

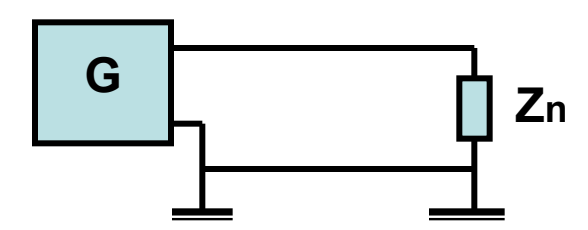
Принципы оценки мощности

В цепях постоянного тока

Pn=InUn, Pn =
$$I_n^2 \cdot R_n$$
 $P_n = \frac{U_n^2}{R_n}$



В цепях переменного тока $U(t)=U_mSin\omega t$



 $i(t)=ImSin(\omega t+\phi)$

а) Оценка мгновенной мощности в нагрузке

$$P(t)=u(t)i(t)=UmSin\omega t \cdot ImSin(\omega t+\phi)$$

 $= 0.5UmImCos\phi -$

0.5UmImCos $(2\omega t + \phi)$

b) Оценка средней мощности в нагрузке за период - активная мощность

$$\mathbf{P}_{\mathrm{CH}} = \frac{1}{T} \int_{0}^{T} \mathbf{p}(t) dt = \frac{1}{2} \mathbf{U}_{\mathrm{m}} \mathbf{I}_{\mathrm{m}} \cos \varphi + 0 = \frac{1}{2} \mathbf{U} \sqrt{2} \mathbf{M} \sqrt{2} \cos \varphi = \mathbf{U} \mathbf{I} \cos \varphi$$

P=0,5UmImCosφ =UICosφ

При работе на согласованную нагрузку Р = UICos ф

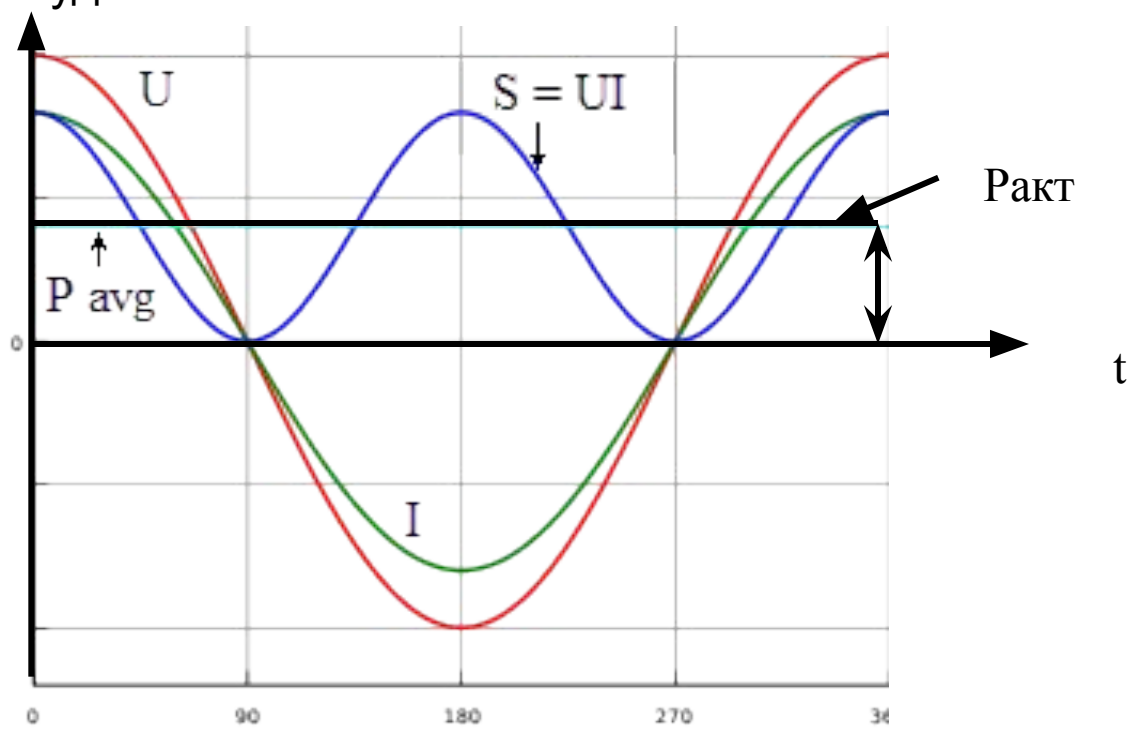
Активная, реактивная и полная мощностьмощность

<u>Активная мощность</u> – $P = UI \cos \phi$ скорость необратимого превращения электрической энергии в другие виды: тепловую, электромагнитную

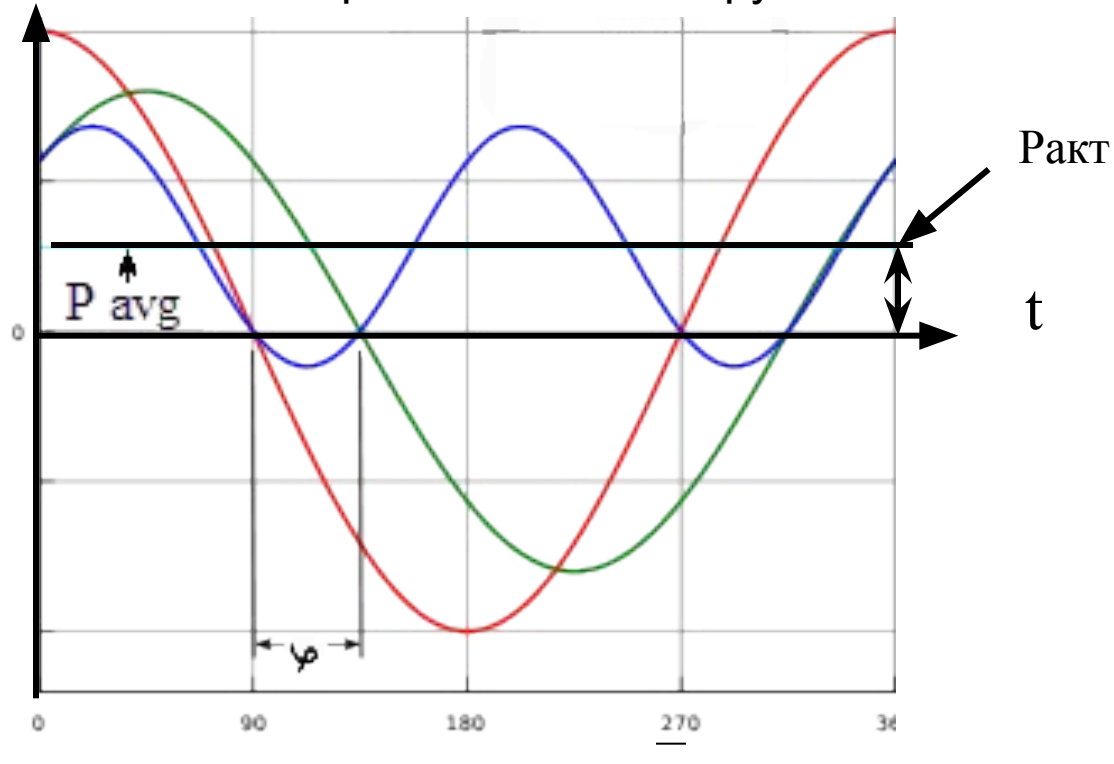
Реактивная мощность — $Q = UI \sin \phi$ величина, характеризующая нагрузки, создаваемые колебаниями энергии электромагнитного поля в цепи переменного тока. Она вызывает в эл. цепях дополнительные активные потери (расход энергии на станциях) и потери напряжения в сети. Реактивная энергия не участвует в работе эл. тока.

Полная мощность
$$S = \sqrt{P^2 + Q^2}$$

При отсутствии реактивных элементов и сдвига фаз в нагрузках, мгновенная мощность в полупериоде Umax*Imax будет максимальной

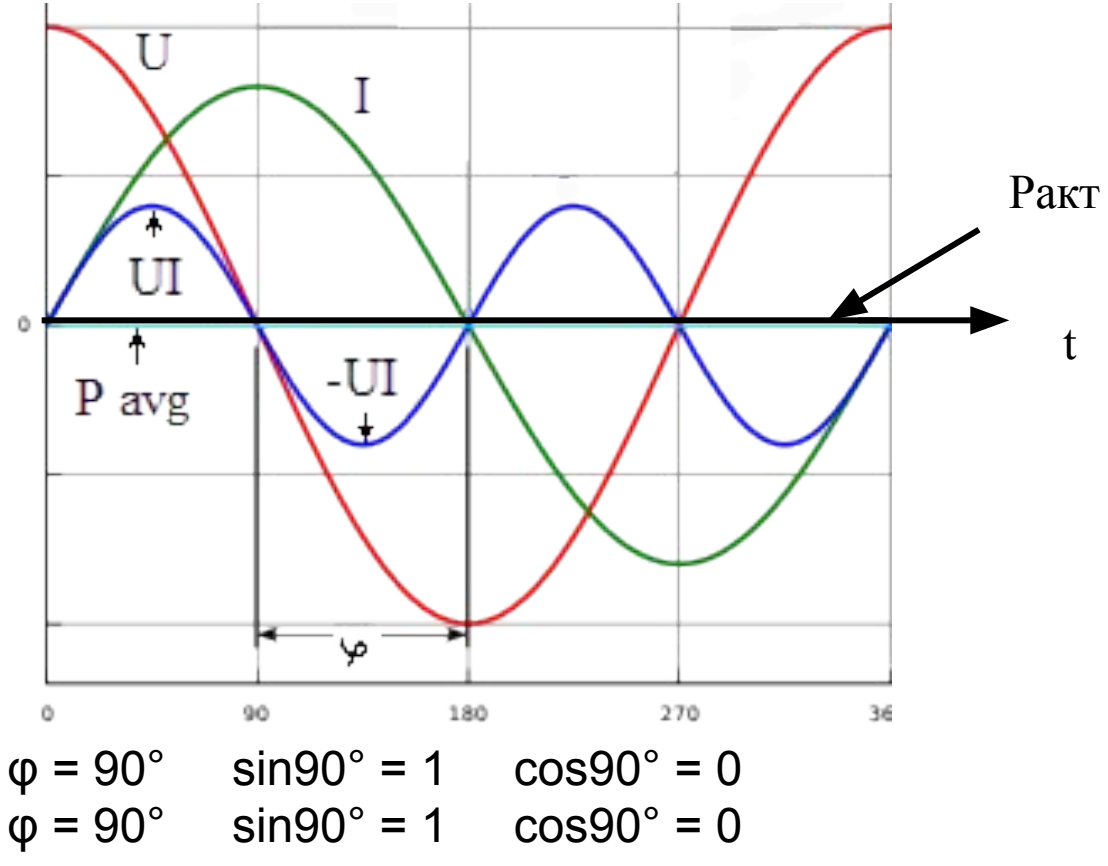


 ϕ = 0° sin90° = 0 cos90° = 1 B этом случае: Реактивная мощность Q = Ulsin0 = 0 Потребляемая мощность P = Ulcos0 = Ul Полная мощность S = Ul = $\sqrt{(P^2 + Q^2)}$ будет равна потребляемой мощности Коэффициент мощности P/S = 1 рисунок графиков со сдвигом фаз 45°, для случая равенства активного и реактивного сопротивлений в нагрузке.



 ϕ = 45° sin45° = cos45° = $\sqrt{2/2}$ ≈ 0.71 Реактивная мощность Q = <u>Ulsin45</u>° = 0.71UI Потребляемая мощность P = Ulcos45° = 0.71UI Полная мощность S = $\sqrt{(P^2 + Q^2)}$ = UI Коэффициент мощности P/S = 0.71

средняя (активная) потребляемая мощность P avg за период будет равна нулю.



При отсутствии активной составляющей в нагрузке, сдвиг фаз между напряжением и током составит 90°.

Принципы оценки мощности

Реактивная мощность для периодического переменного тока

$$Q = \frac{1}{T} \int_{0}^{T} U_{m} I_{m} Sin \left(\omega t - \frac{\pi}{2}\right) Sin \left(\omega t - \varphi\right) dt$$

$$Q = \frac{Um Im}{\sqrt{2}\sqrt{2}} Sin \varphi = UISin \varphi$$

Индуктивность $\phi > 0^{\circ}$ → Q>0 Ёмкость $\phi < 0^{\circ}$ → Q<0

Активность $\phi = 0^{\circ} \longrightarrow Q = 0$

В трёхфазных цепях
$$P = \sum_{i=1}^{3} U_{\hat{0}i} I_{\hat{0}i} \cos \varphi$$
 $Q = \sum_{i=1}^{3} U_{\hat{0}i} I_{\hat{0}i} \sin \varphi$

При равномерной нагрузке

$$P = 3U_{\hat{0}}I_{\hat{0}}\cos\varphi = \sqrt{3}U_{\hat{E}}I_{\hat{E}}\cos\varphi \qquad Q = 3U_{\hat{0}}I_{\hat{0}}\sin\varphi = \sqrt{3}U_{\hat{E}}I_{\hat{E}}\sin\varphi$$

Принципы оценки мощности

В общем случае

$$\mathbf{P} = \frac{1}{T} \int_{0}^{T} \left[\sum_{K=0}^{\infty} \mathbf{U}_{Km} \mathbf{Sin} \left(\mathbf{k} \boldsymbol{\omega} \mathbf{t} + \boldsymbol{\varphi}_{K} \right) \right] \cdot \left[\sum_{K=0}^{\infty} \mathbf{I}_{Km} \mathbf{Sin} \left(\mathbf{k} \boldsymbol{\omega} \mathbf{t} - \boldsymbol{\varphi}_{K} \right) \right] d\mathbf{t}.$$

Так как произведение мгновенных значений сигналов разной частоты равно нулю

$$P = \frac{1}{T} \int_{0}^{T} \sum_{K=0}^{\infty} U_{Km} I_{Km} Sin(k\omega t + \varphi_{K}) \cdot Sin(k\omega t - \varphi_{K}) dt = \sum_{K=0}^{\infty} U_{K} I_{K} Cos \varphi_{K} = \sum_{K=0}^{\infty} P_{K}$$

Когда надо знать P, U, I используют понятие полной мощности

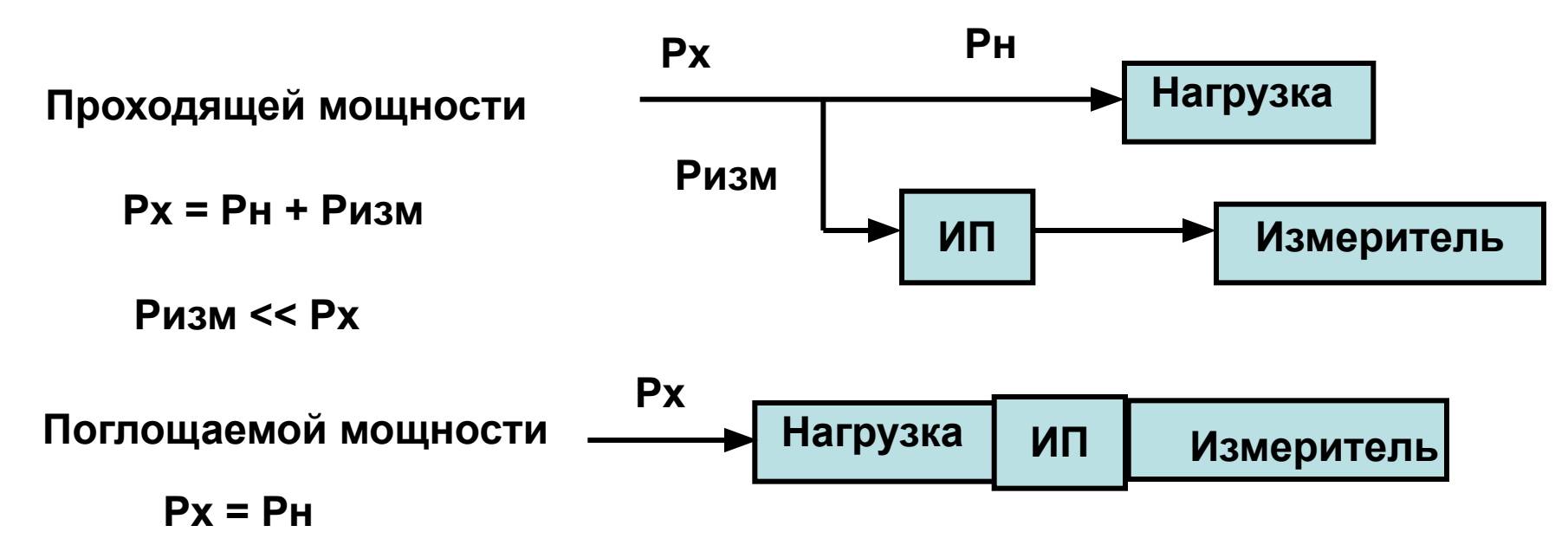
$$S = UI = \sqrt{\sum_{K=0}^{\infty} U_K^2 \cdot \sum_{K=0}^{\infty} I_K^2} \qquad S = UI \sqrt{Cos^2 \varphi + Sin^2 \varphi} = UI$$

Коэффициент мощности

$$\mathbf{K}_{\varphi} = \frac{\mathbf{P}}{\mathbf{S}}$$
 â ÷à nồi î ì në ó ÷à å $\mathbf{K}_{\varphi} = \mathbf{Cos}\boldsymbol{\varphi}$

Классификация методов измерения мощности

1. По способу включения в тракт передачи (по назначению)



- 2. По виду первичных ИП
 - 1. Эл. механические
 - 2. Электронные
 - 3. тепловые

- 3. По типу тракта передачи
- 1. 2-х проводная,
- 2. Коаксиальная,
- 3. Волновая

Классификация методов измерения мощности

По характеру измеряемой мощности

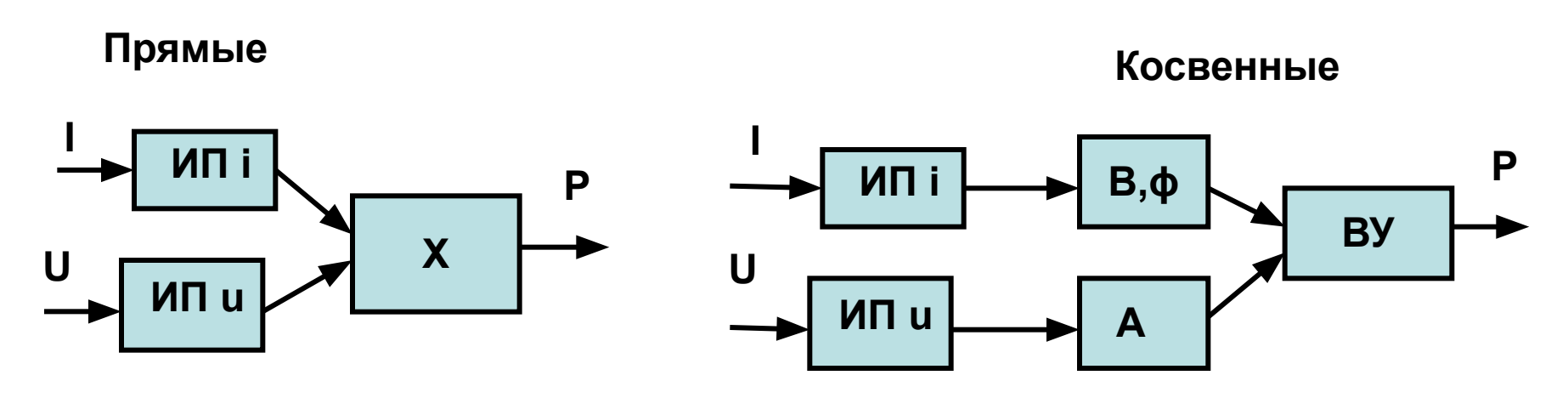
- Среднего значения:
 - Непрерывного сигнала
 - Импульсного сигнала,
- 2. Активной, реактивной, полной

По уровню

$$P<10^{-6}$$
 BT, $P<0.1$ BT, $P=1\div10$ BT,

P<0,1BT, P =
$$1 \div 10$$
 BT, P = $10 \div 10$ BT, P > 10 BT,

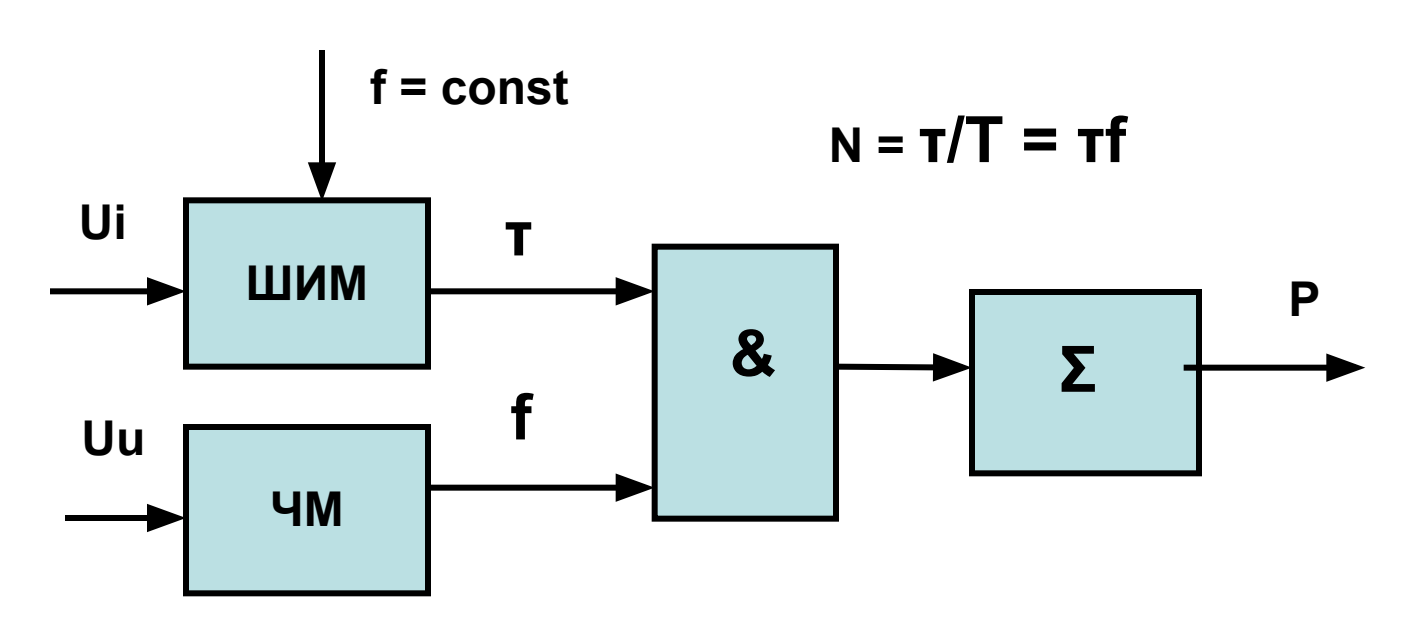
По способу преобразования мощности.



Преобразователи с модуляцией сигнала

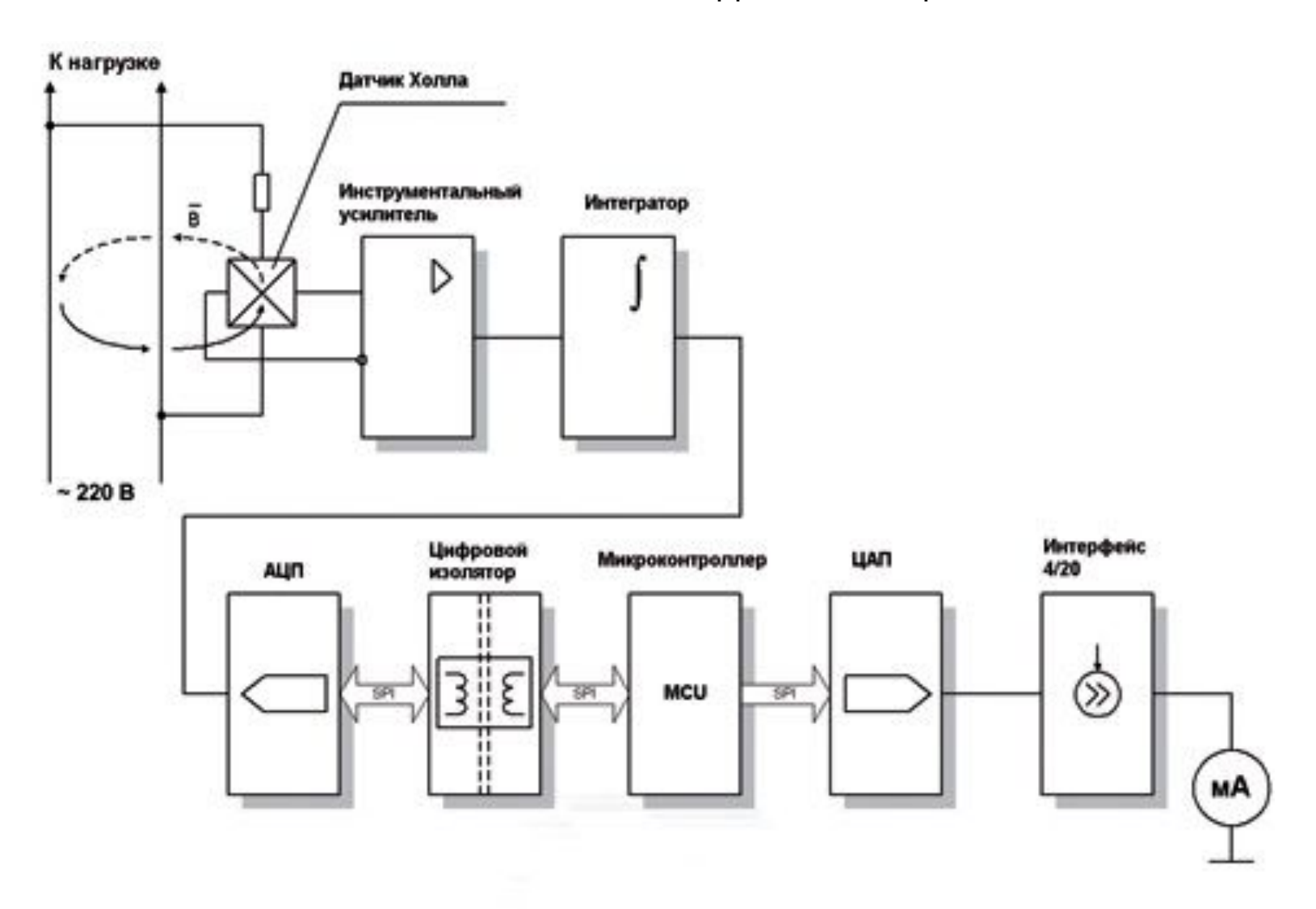
Аналоговые U, I в параметры импульсных сигналов: Uи, Tu, fu. ти с последующим интегрированием (усреднением).

Модуляции: ШИМ – ЧМ, ШИМ –ШИМ, ШИМ –АМ.



 $f = K_1U_u$, $T=K_2U_i$, $N = T_i = K_1K_2U_uU_i = KP$

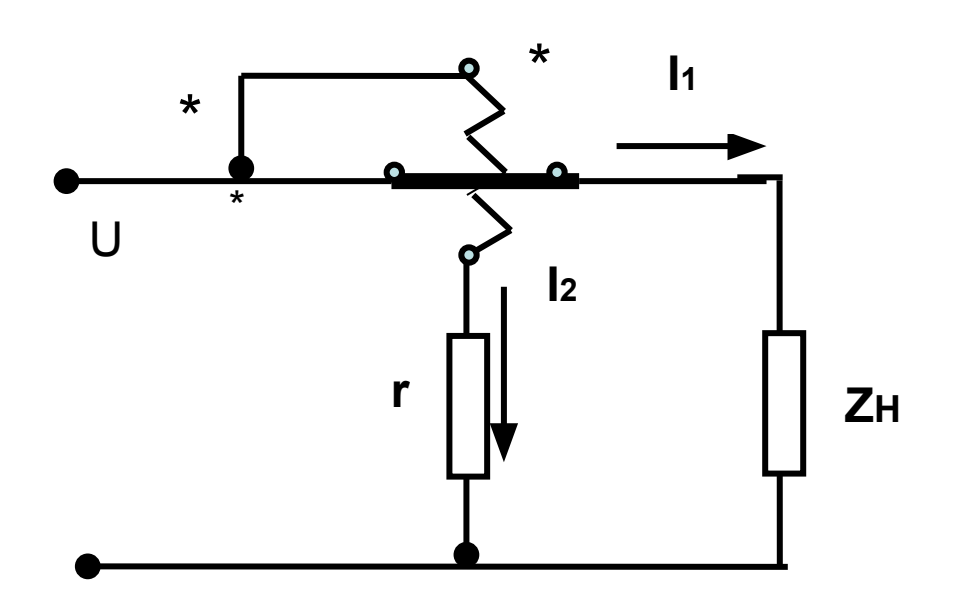
Гальваномагнитный датчик мощности



Преобразователи мощности

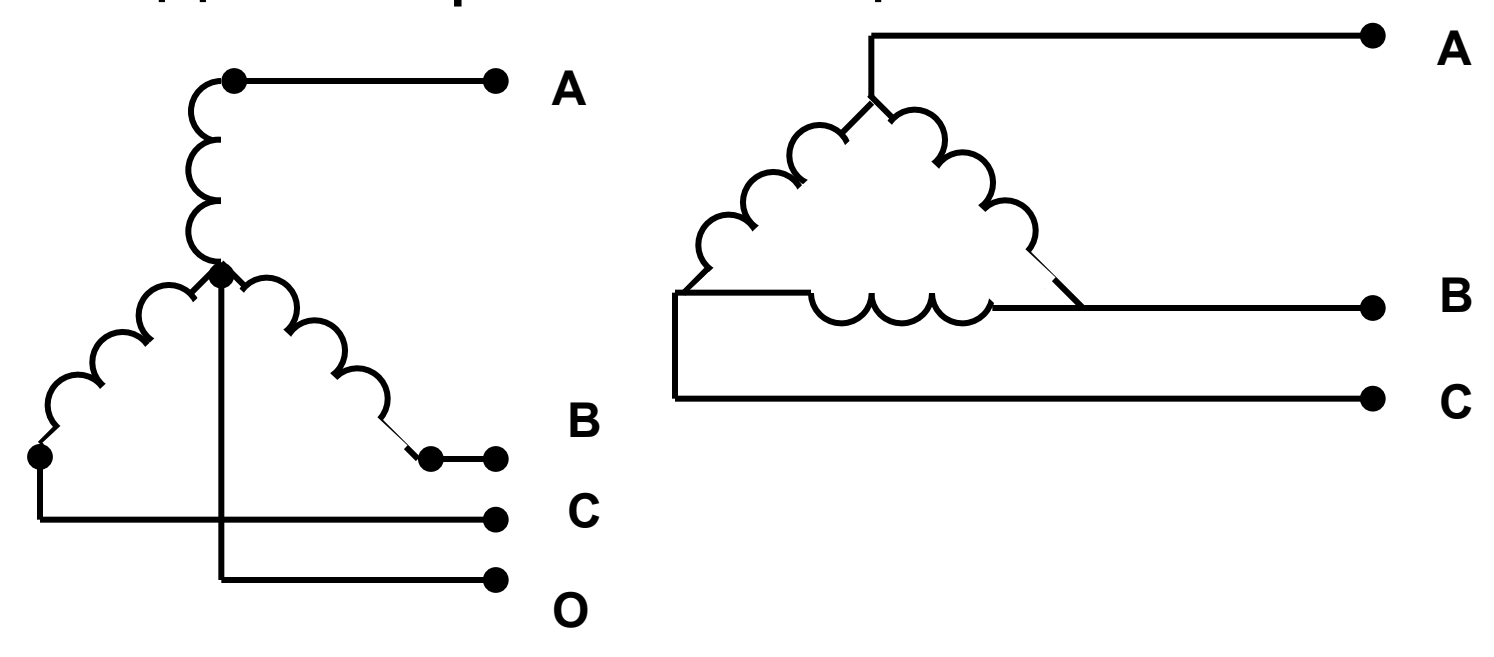
1. Электромеханические

$$\alpha = \frac{dM_{12}}{d\alpha}I_1 \cdot I_2 = \frac{dM_{12}}{d\alpha}I_1 \frac{U}{r}, \quad \partial \hat{a}\hat{e} \ \hat{e}\hat{a}\hat{e} \ \alpha = \frac{d\hat{I}_{12}}{d\alpha} \frac{1}{\hat{O}} \int_0^{\hat{O}} (ui) \cdot dt \quad \partial \hat{i} \ \tilde{a}\ddot{a}\dot{a} \quad \alpha = kP$$



Измерение мощности трёхфазного тока

• Вид электрической цепи



Измерение мощности трёхфазного тока

В зависимости от вида трёхфазной системы, её симметрии схемы измерения различны:

Для системы с симметричной нагрузкой и любой схемы соединения фаз приёмника — метод одного ваттметра.

$$P_{\Sigma} = \sqrt{3}IU\cos\varphi$$

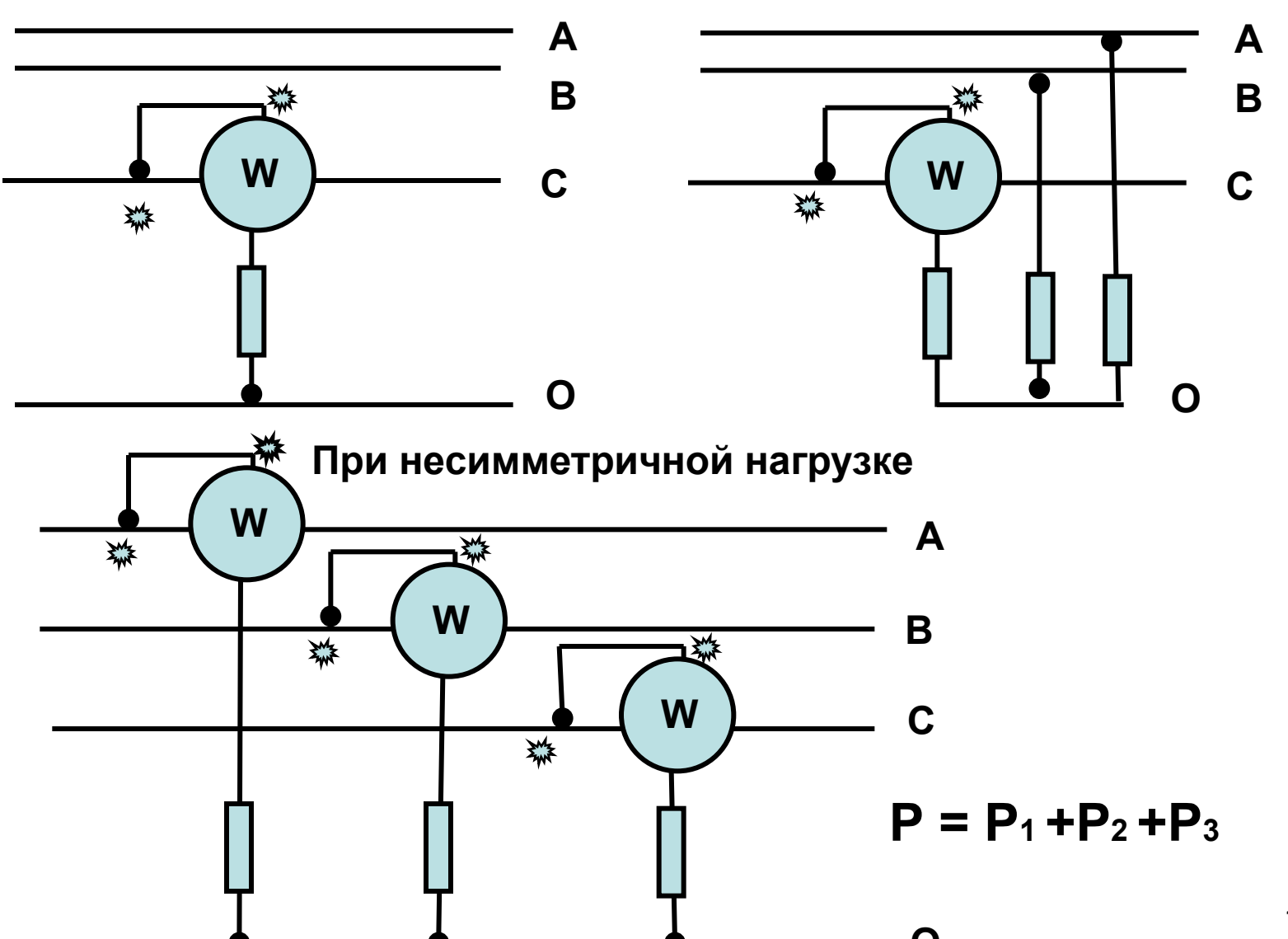
для системы с несимметричной нагрузкой и любой схемы соединения фаз приёмника - метод двух ваттметров

$$P = P_{W1} + P_{W2}$$
 $P_{W1} = UI\cos(30^{\circ} + \varphi)$ $P_2 = UI\cos(30^{\circ} - \varphi)$

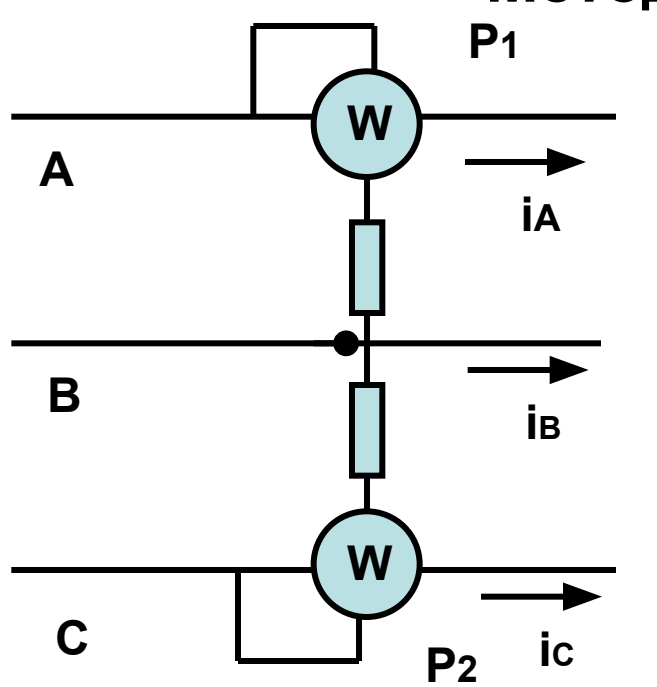
Четырёхпроводная система – метод трёх ваттметров

$$P = P_{WA} + P_{WB} + P_{WC}$$

Схемы измерения активной мощности



Метод двух ваттметров

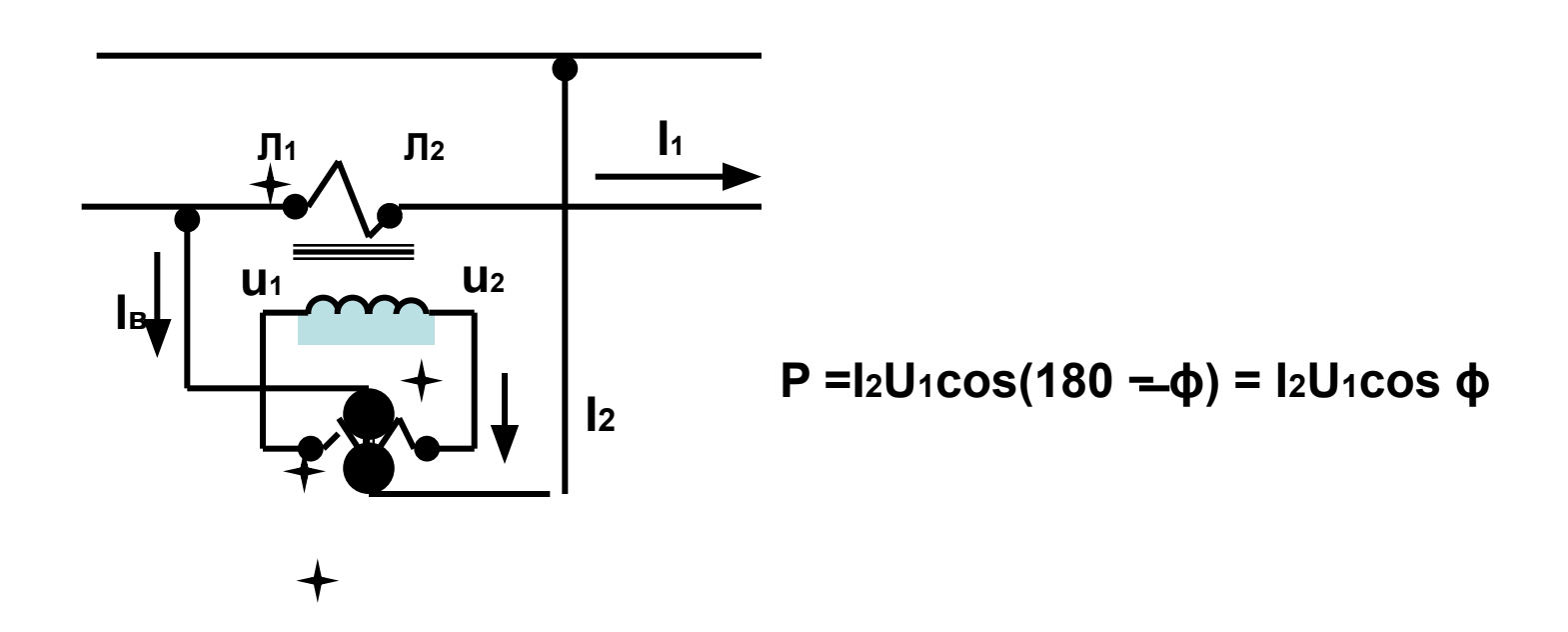


$$P\Sigma = P1 + P2 = (uA - uB)iA + (uC - uB)iC$$

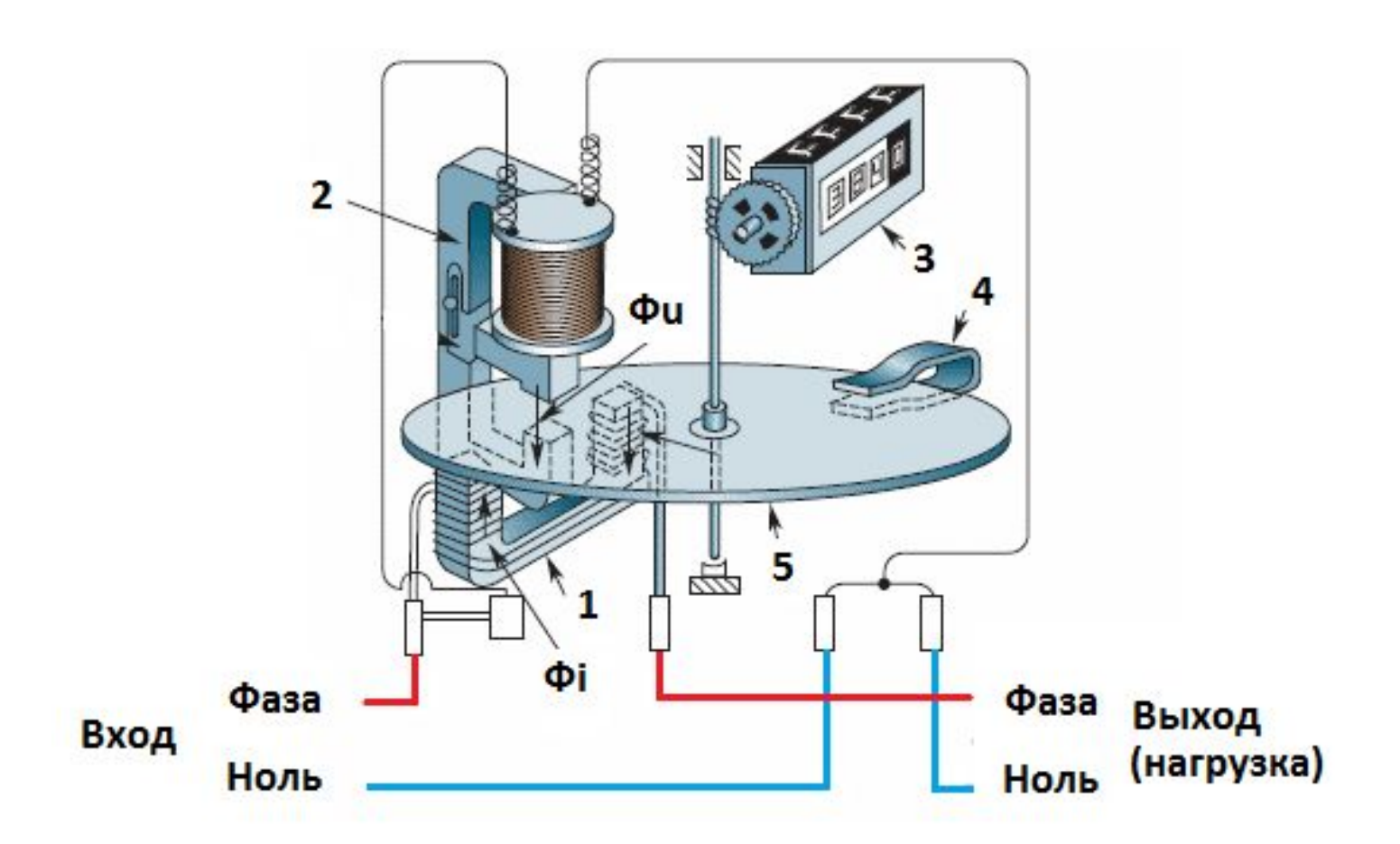
$$P\Sigma = u_Ai_A + u_Bi_B + u_Ci_C$$
, $i_A + i_B + i_C = 0$

Один измерительный механизм

Схема включения ваттметра с трансформатором тока



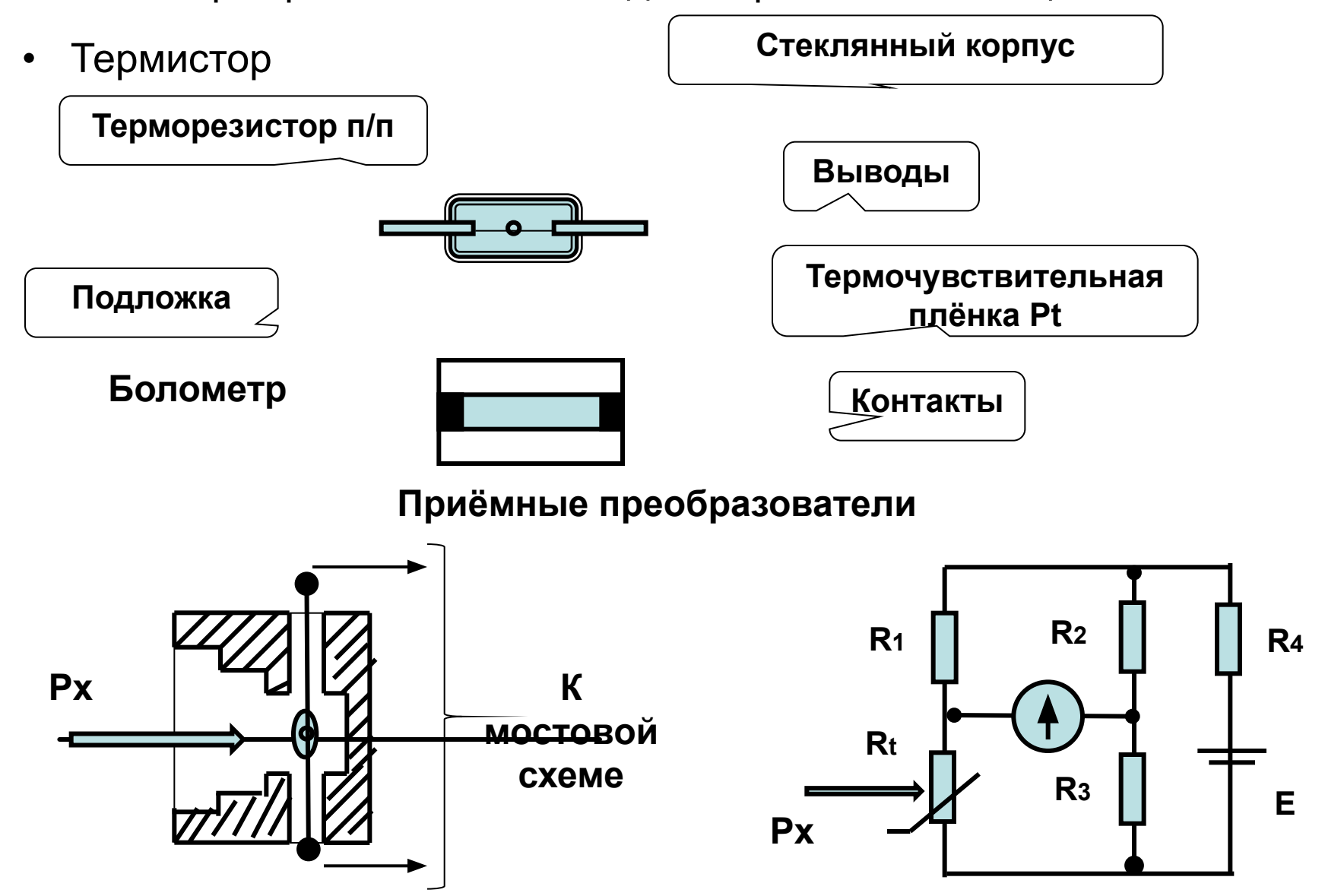
Счётчики эл. энергии



Принцип работы электронного электросчетчика



Терморезистивный метод измерения СВЧ мощности

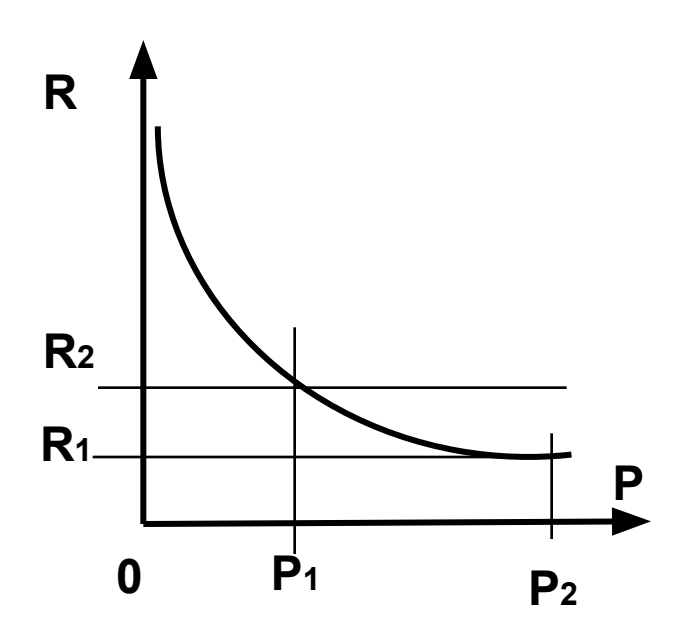


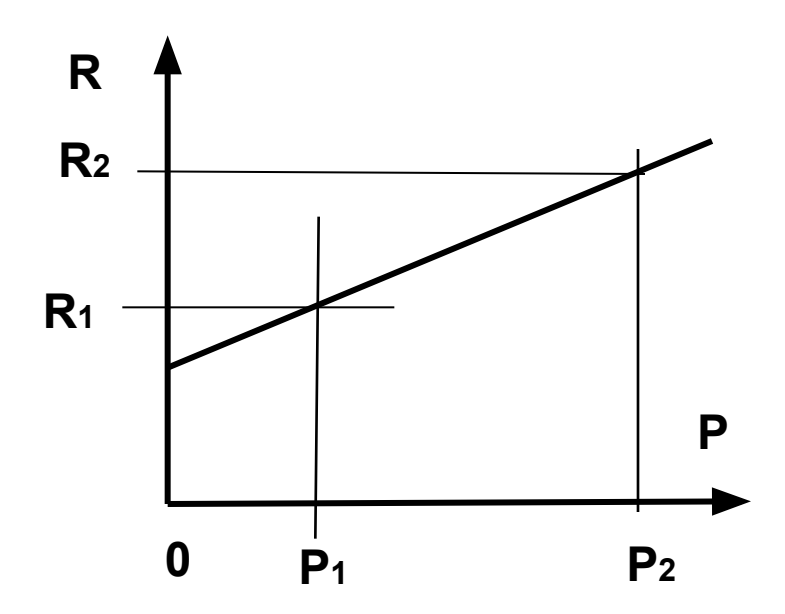
Измерение ВЧ мощности

Тепловые методы Рсвч →Q/t →Ct∆⊖

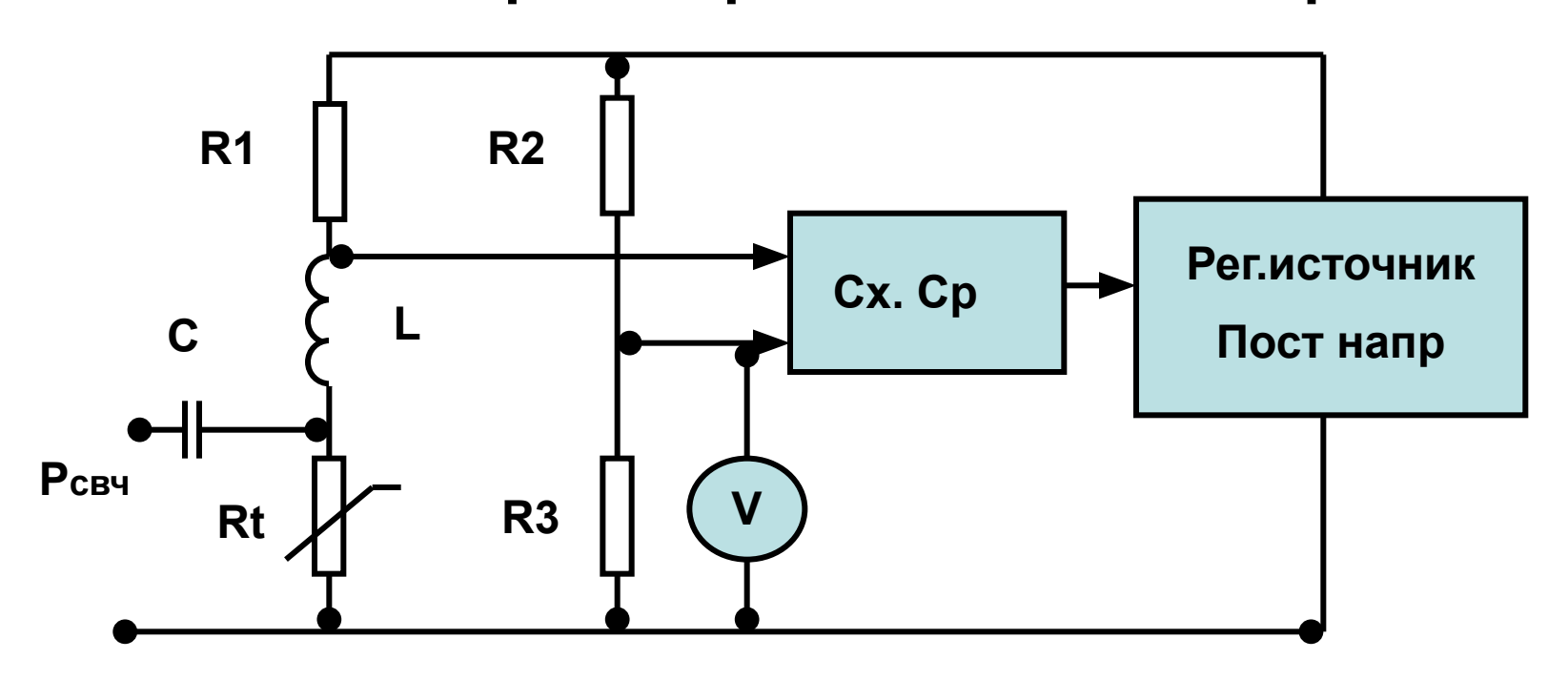
$$P_{CB4} = Q/t = Ct \triangle \Theta$$

С – теплоёмкость, С – время, ∆⊙ - перепад температур рабочего тела





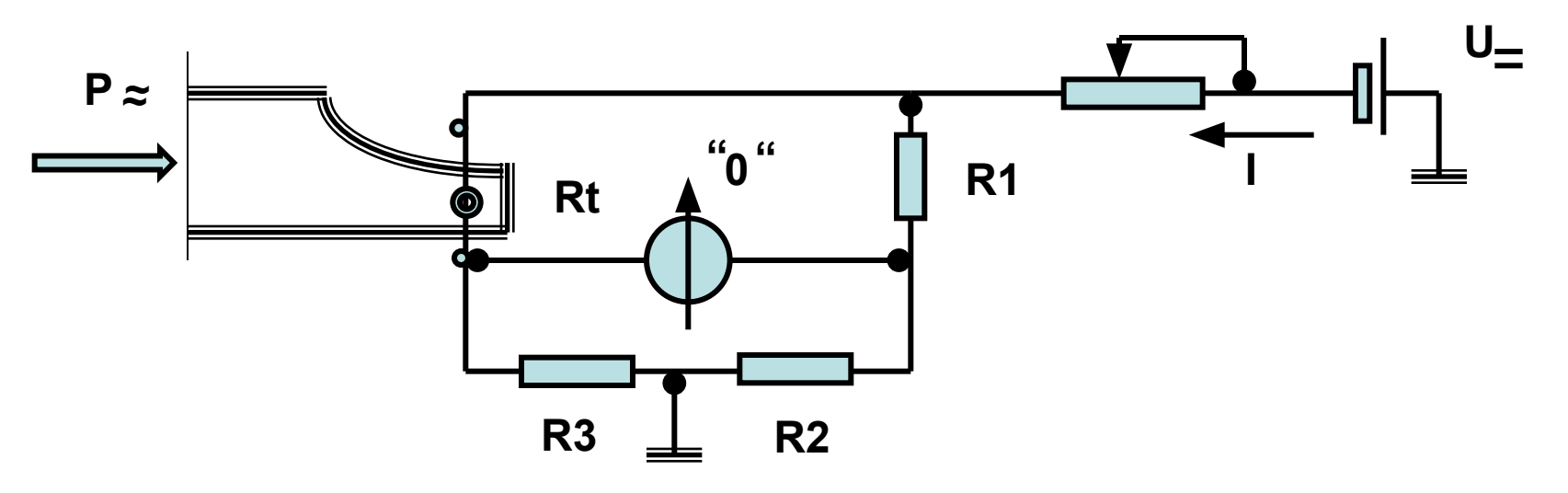
Термисторный мост ваттметра



A) Px=0, R1=R2=R3=Rt=R
$$P_1 = \frac{U_1^2}{R}$$

B)
$$P_{X}\neq 0$$
 $P_{2}+P_{BY}=P_{BY}+\frac{U_{2}^{2}}{R}$ $P_{\hat{A}^{\times}}=P_{1}-P_{2}=\frac{\left(U_{1}^{2}-U_{2}^{2}\right)}{R}$

Мостовые методы измерения мощности

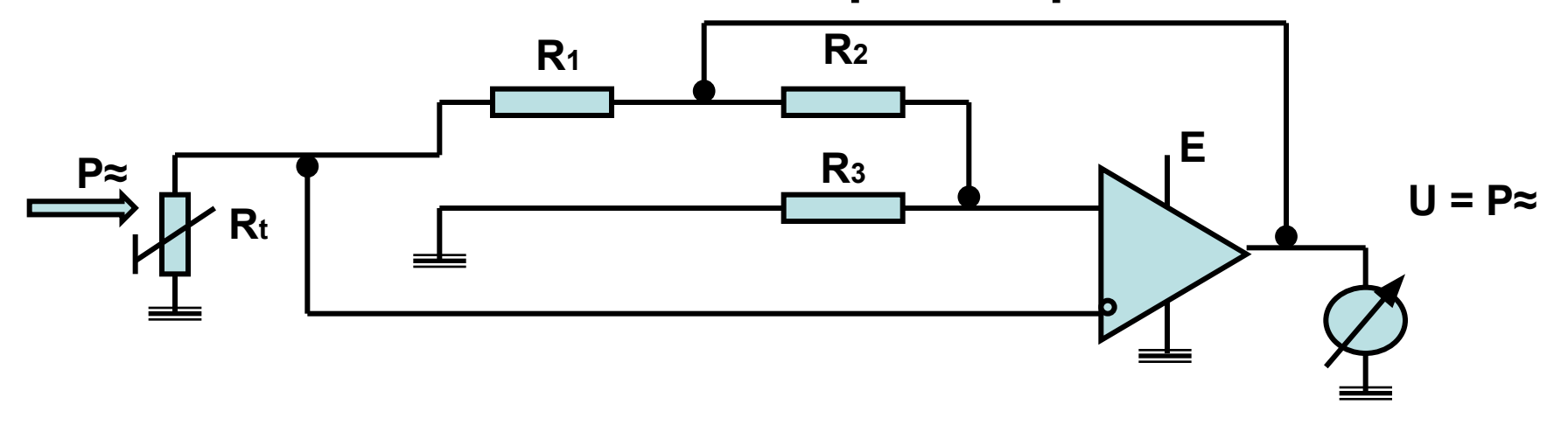


$$Px=0, P_1=\frac{I_1^2}{4}Rt$$

Px=0, P₁=
$$\frac{I_1^2}{4}$$
 Rt Px=0 P₂ = $\frac{I_2^2}{4}$ Rt +Px

$$Px = \begin{bmatrix} I_1^2 & I_2^2 \\ 4 & 4 \end{bmatrix} Rt$$

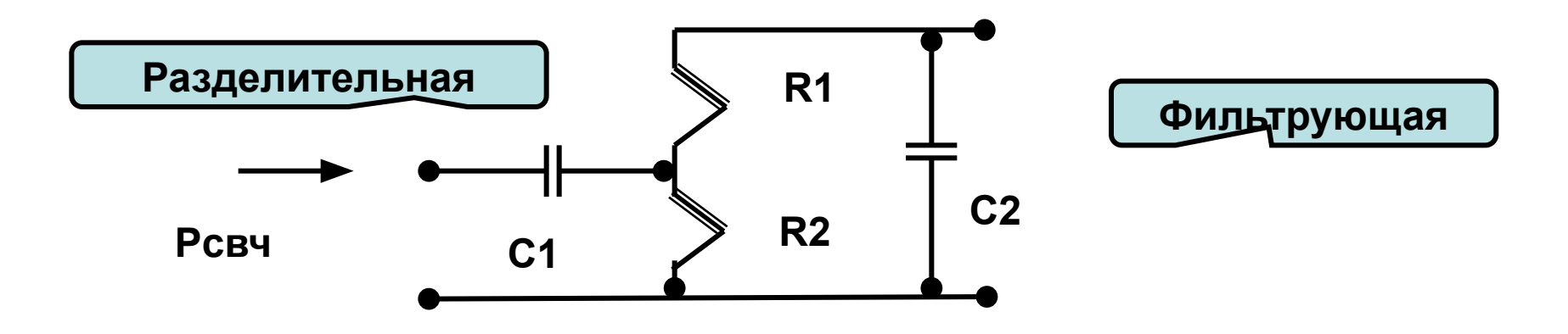
Автобалансный термисторный мост



$$\frac{U_{i \dot{A}^{\times}}^{2}}{2R_{t}} - \frac{U^{2}}{2R_{t}} = \frac{1}{2R_{t}} \left(U_{i \dot{A}^{\times}}^{2} - U^{2}\right) = P_{\zeta \dot{A}\dot{I}}$$

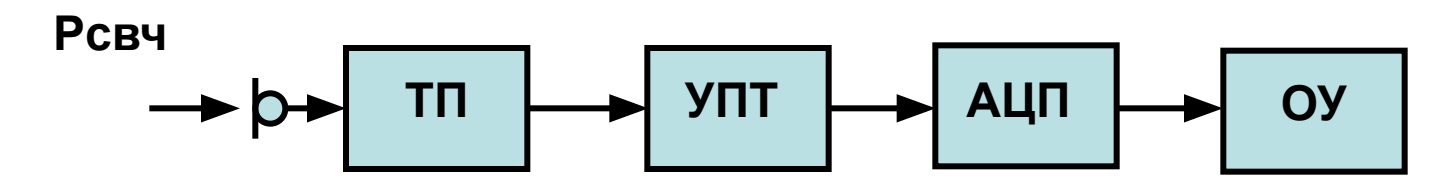
Диапазон Р 10 мкВт \div 10⁴ мкВт

Термоэлектрический преобразователь

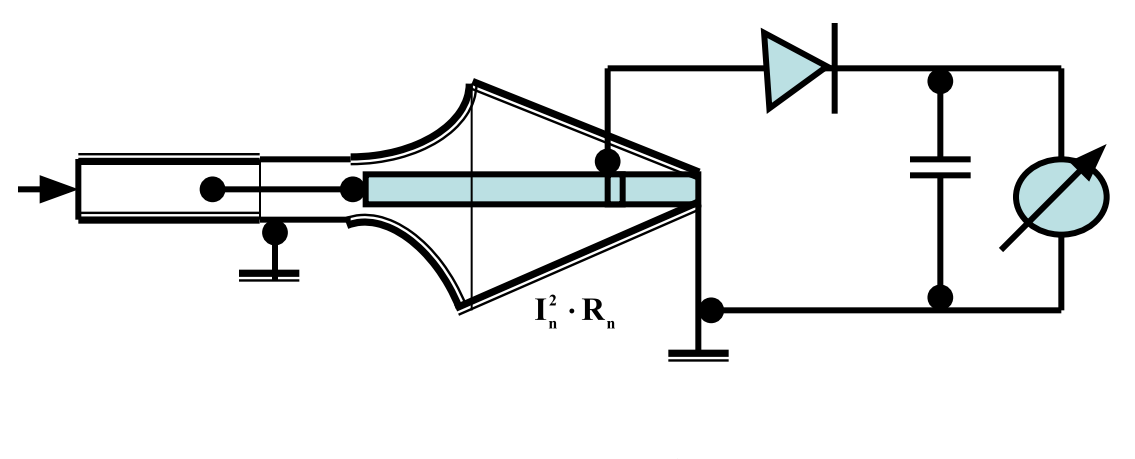


Тепловая энергия выделяется на сопротивлениях термопар

Структурная схема цифрового термоваттметра



Диодные ваттметры



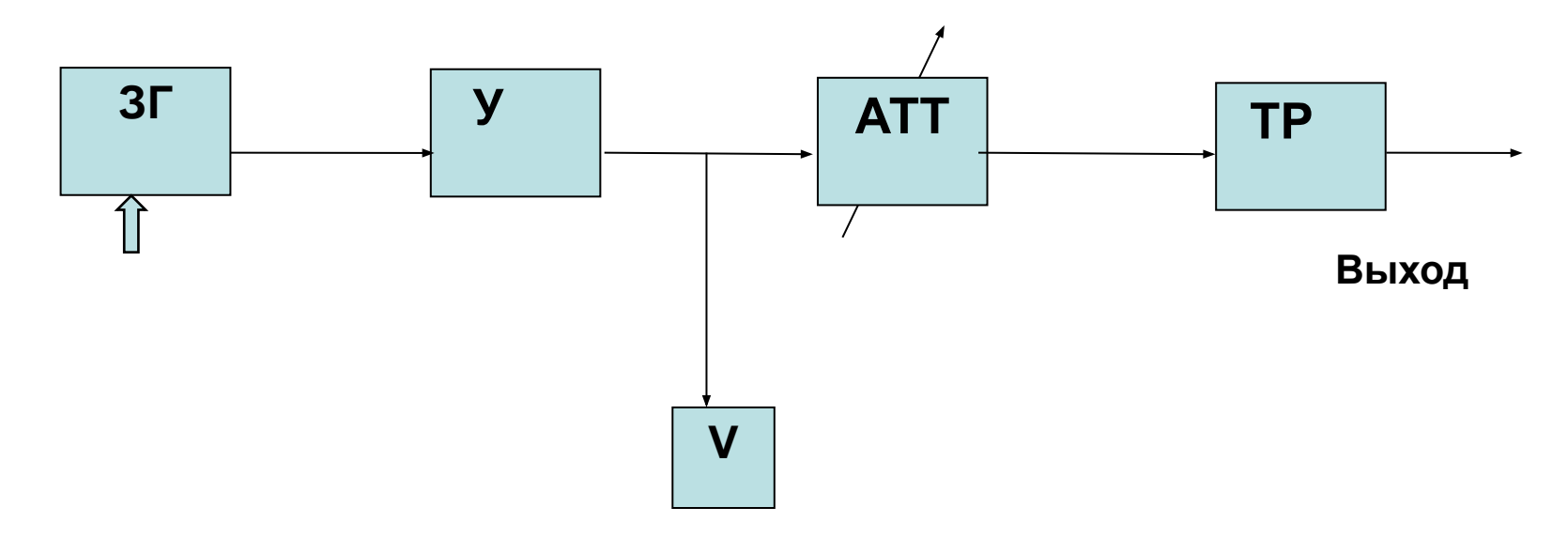




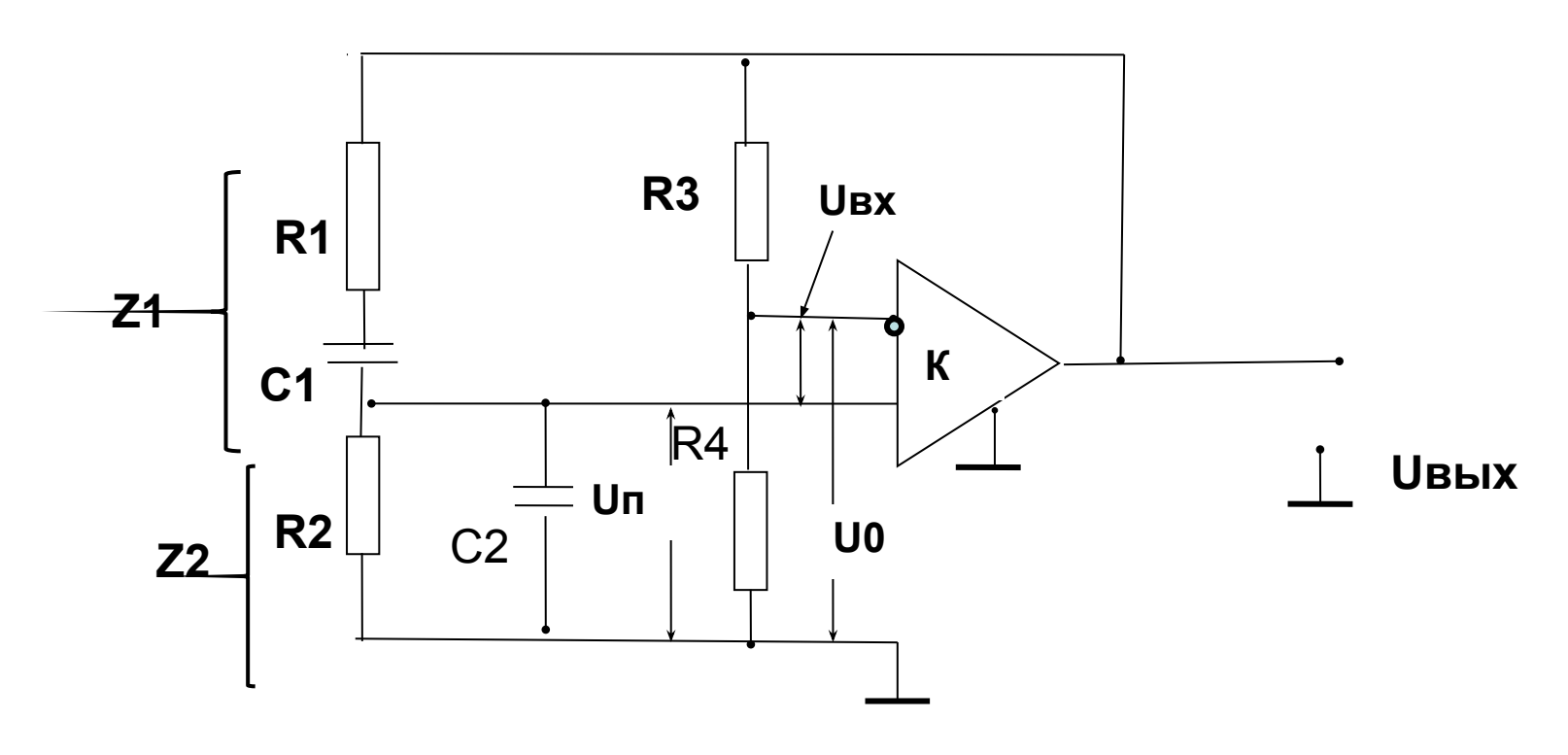
Измерительные генераторы

Измерительные генераторы

- Генераторы измерительных сигналов низкой частоты
- Диапазон частот 20 Гц 20 кГц и 20 Гц 200 кГц
- Структурная схема генератора НЧ



RC - генераторы



Баланс моста **Z1** R4= **Z2 R3** при R1 = R2 = R, C1 = C2 = C, R3 = 2R4

$$U_{i} = \frac{Z_{2}}{(Z_{1} + Z_{2})} \mathcal{U}_{\hat{a}\hat{u}\hat{o}} \quad U_{0} = \frac{R_{4}}{(R_{3} + R_{4})} \mathcal{U}_{\hat{A}\hat{U}\hat{o}} \quad \omega = \frac{1}{RC}, \quad f = \frac{1}{2\pi RC}.$$

136

$$\gamma = Z_2$$
 Коэф. ПОС $\beta = R_4$ Коэф. ООС

Условия генерации

$$U_{\ddot{i}}=\gamma U_{\hat{A}\hat{U}\tilde{O}}$$
 $U_{\ddot{i}}=\frac{Z_{2}}{(Z_{1}+Z_{2})}$ $U_{\hat{a}\hat{u}\tilde{o}}$

$$\mathbf{U_{o}} = \boldsymbol{\beta} \mathbf{U_{\hat{\mathbf{A}\hat{\mathbf{U}}}\tilde{\mathbf{o}}}} \qquad U_{0} = \frac{R_{4}}{(R_{3} + R_{4})} \mathcal{U}_{\hat{A}\hat{\mathbf{U}}\tilde{\mathbf{o}}}$$

 ϕ вых — ϕ вх =

$$\beta = \frac{1}{3}.$$
 K=3

При R1 = R2 = R, C1 = C2 = C

. **Баланс фаз при** Z1·R4 = Z2·R3 0.

$$\omega = \frac{1}{RC}, \quad f = \frac{1}{2\pi RC}.$$

Баланс амплитуд.
$$\gamma \cdot \beta = 1$$

$$U_{\text{BX}} = U \Pi - U_{\text{O}} = \begin{pmatrix} \mathbb{X} - \beta \end{pmatrix} U_{\hat{a}\hat{u}\hat{o}} \qquad \overset{\mathbb{X}}{K} = \frac{U_{\hat{a}\hat{u}\hat{o}}}{U_{\hat{a}\hat{o}}} = \frac{1}{\mathbb{X} - \beta}. \qquad \overset{\mathbb{X}}{K_{OC}} = \frac{K}{1 - K(\gamma - \beta)}.$$

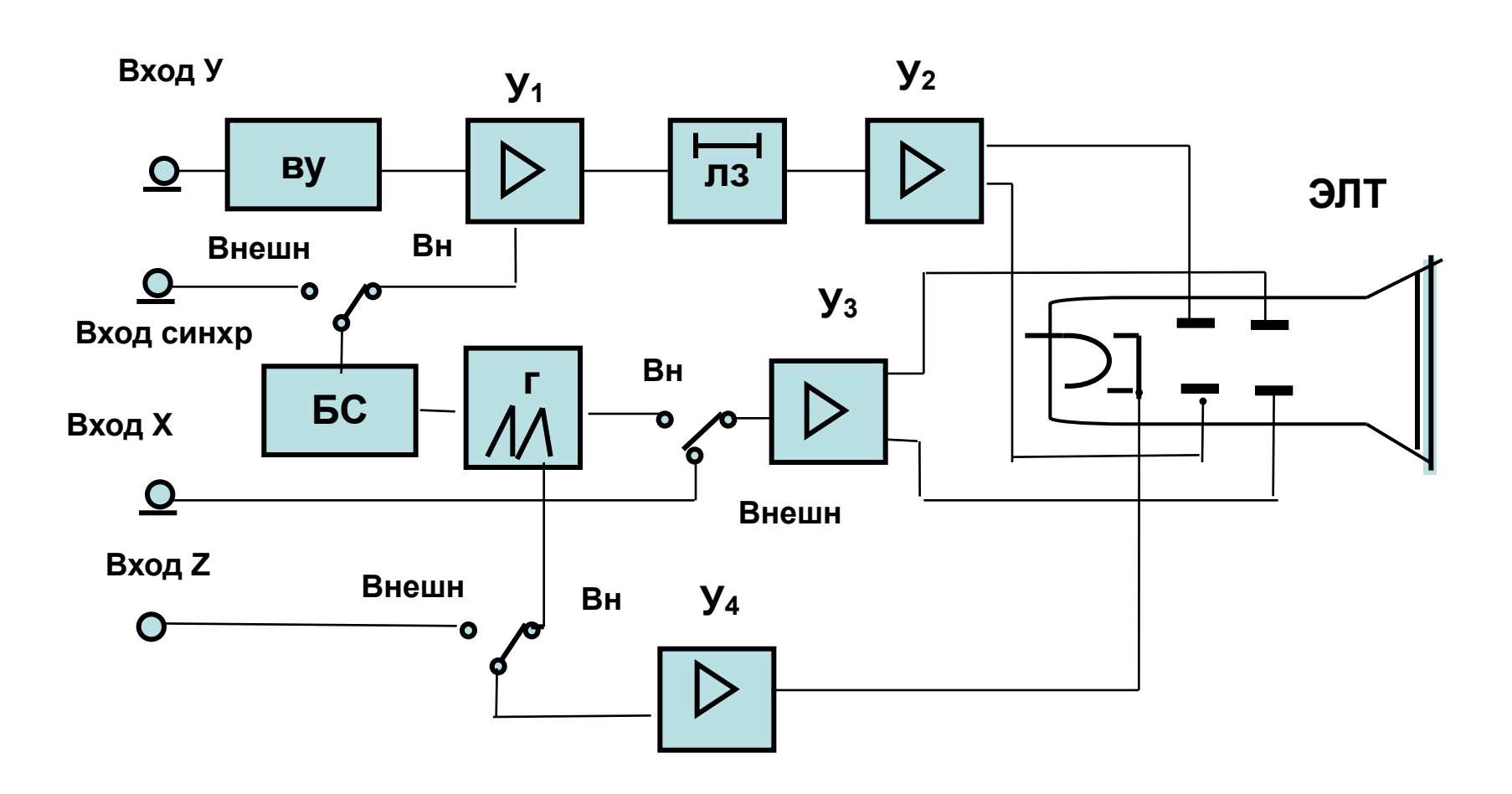
$$K = \frac{U_{\hat{a}\hat{u}\,\tilde{o}}}{U_{\hat{a}\tilde{o}}} = \frac{1}{\gamma - \beta}. \quad K_{oc} = \frac{K}{1 - K(\gamma - \beta)}$$

$$K(\gamma - \beta) = 1$$
 Условие генерации колебаний

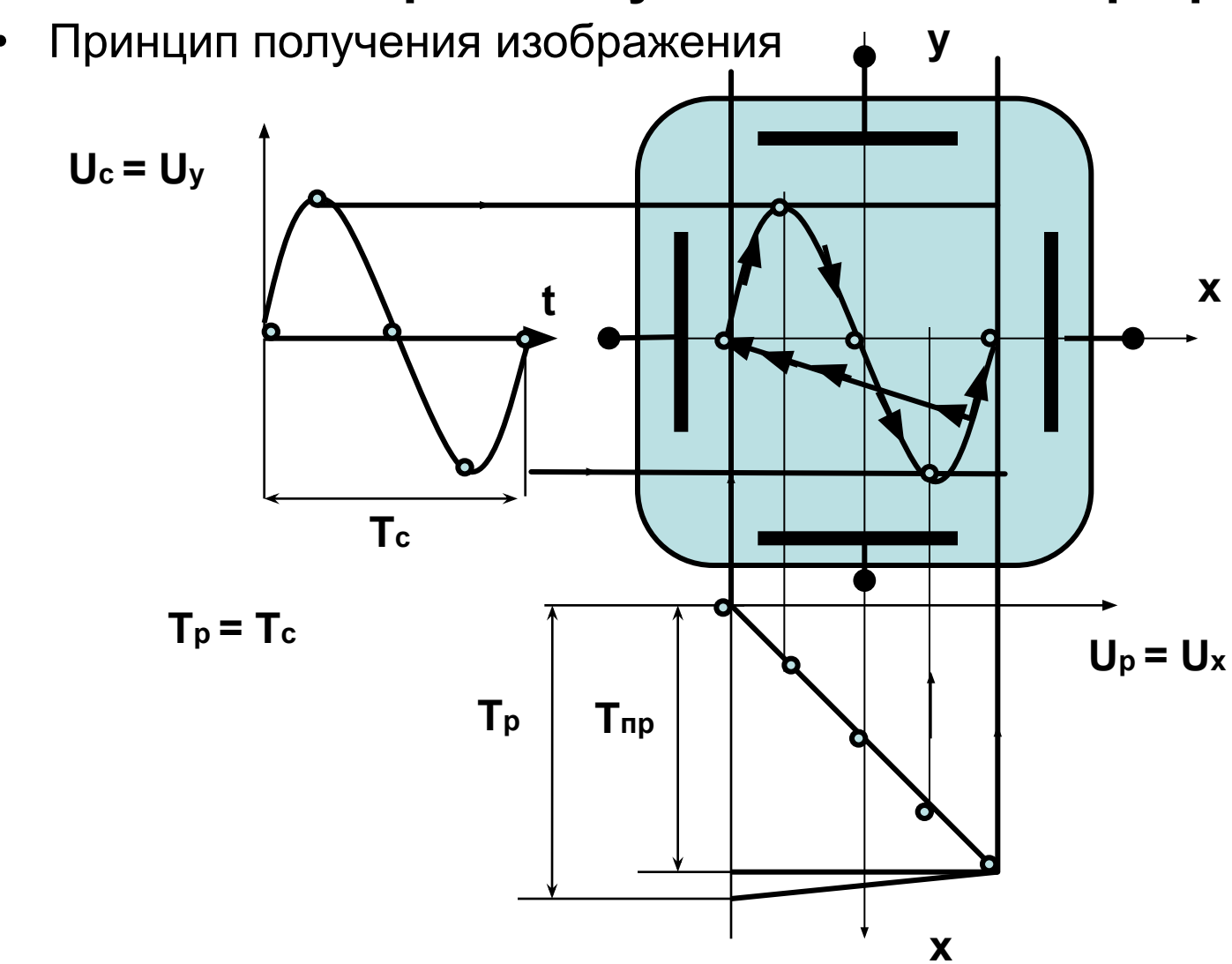
Электронно-лучевой осциллограф

Электронно-лучевой осциллограф

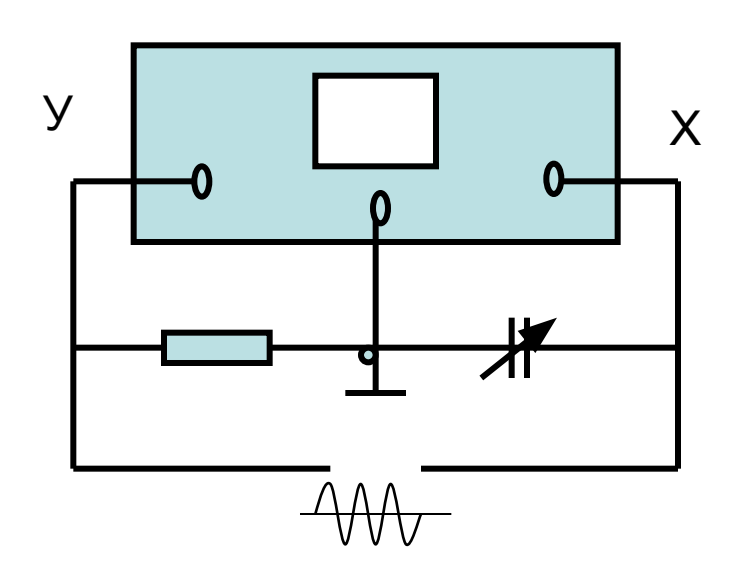
• Структурная схема



Электронно-лучевой осциллограф



Круговая развёртка



 $X=SUmsin\omega t = Asin\omega t$

Y= SUmsin($\omega t + \phi$)=B sin($\omega t + \phi$)

 $\sin \omega t = X/A$ X=A $\sin \omega t$

 $Y=B/A(X \cos \phi + \sin \phi)$

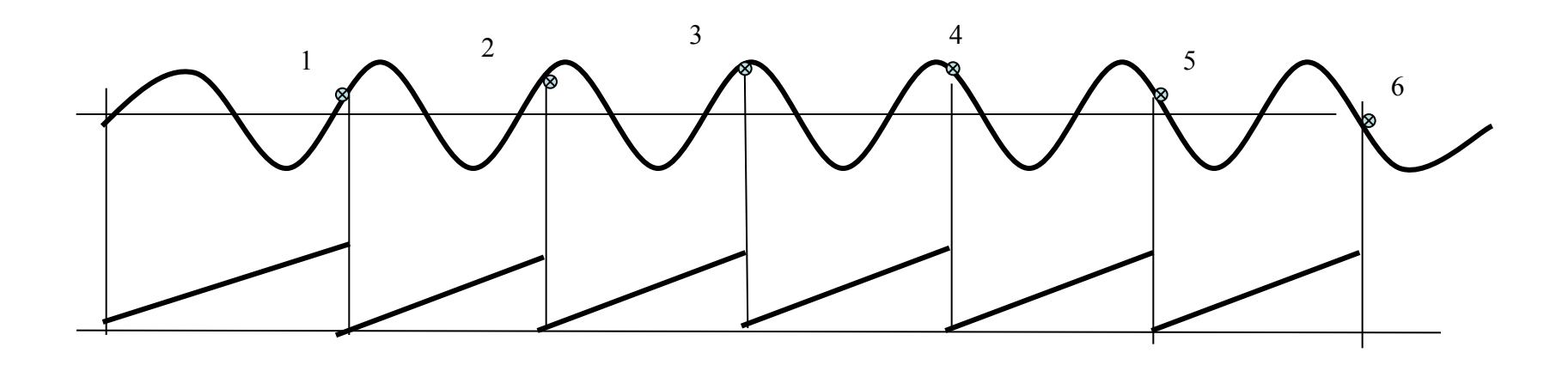
Уравнение эллипса

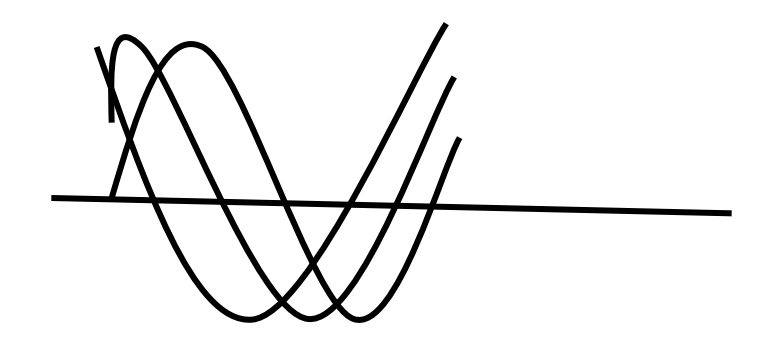
При ф=0 или 180 Y=(B/A)X - линия

При ф=90 или 270
$$\frac{X^2}{A^2} + \frac{Y^2}{B^2} = 1$$

При А=В ф=90 окружность

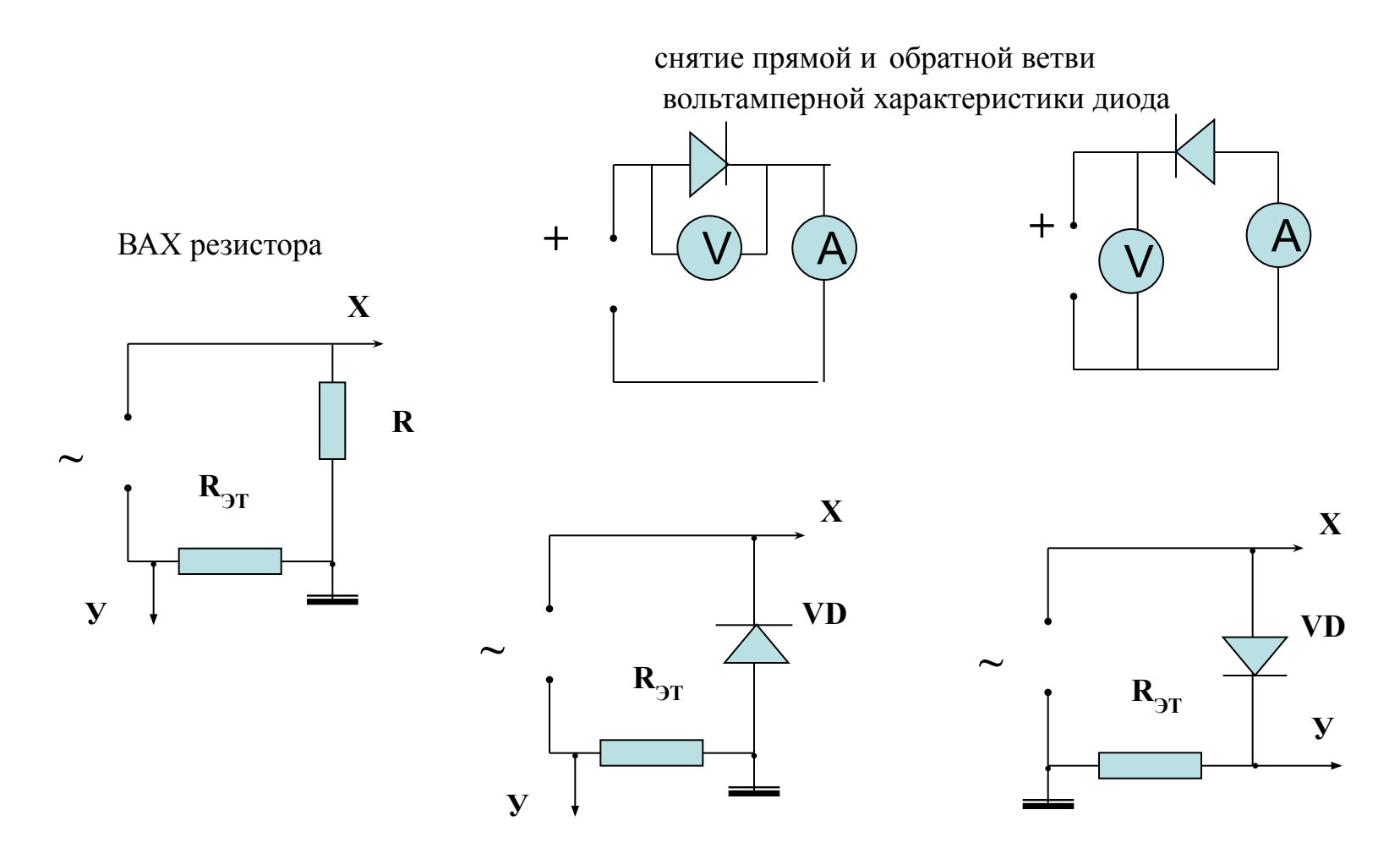
Синхронизация





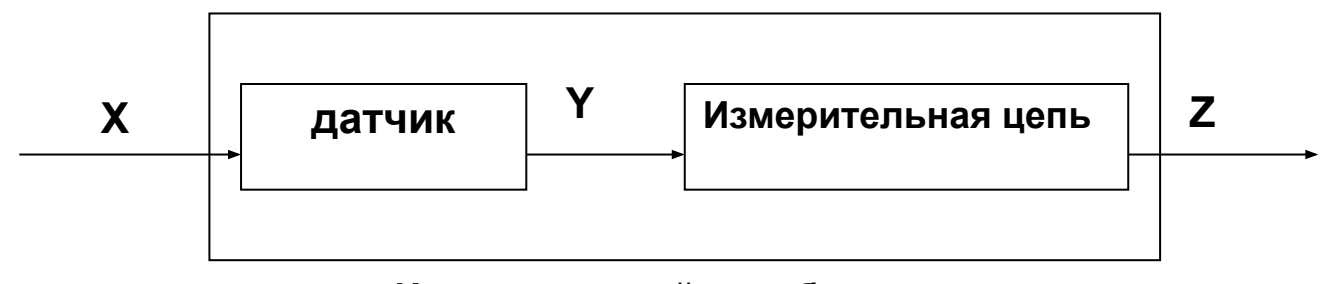
Безвременное осциллографирование

получение вольтамперной характеристики диода

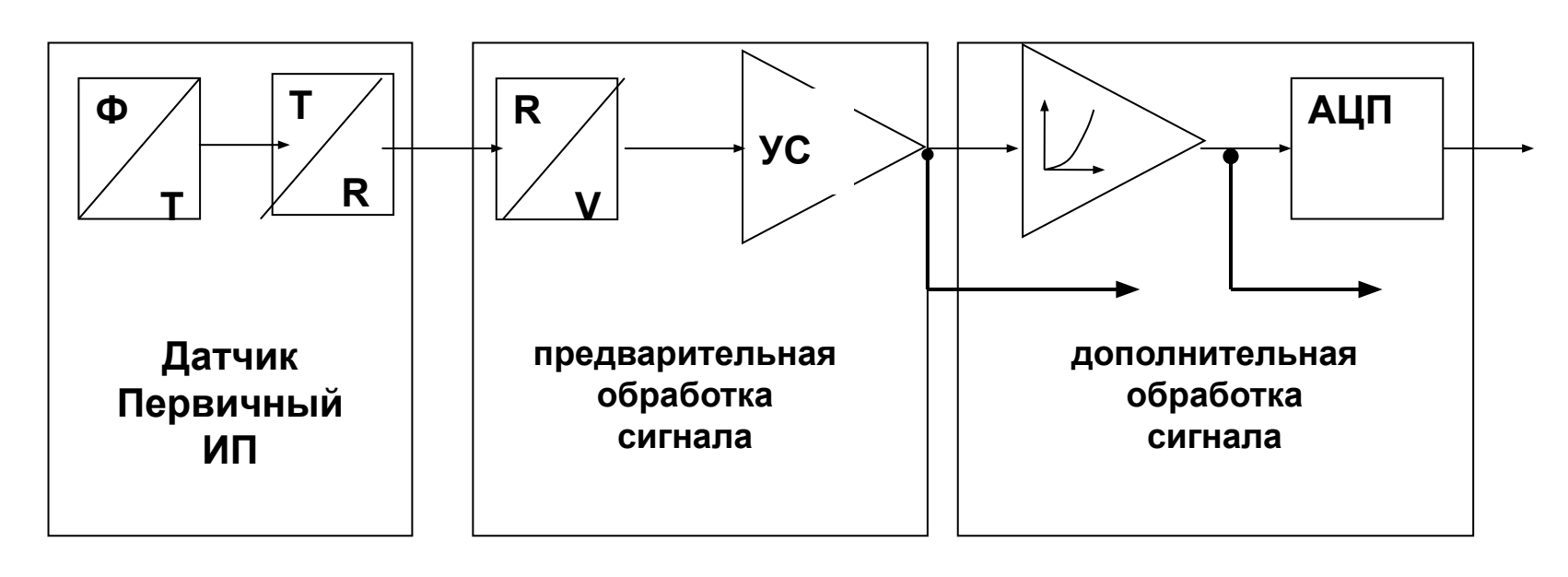


Измерение неэлектрических величин

Структурная схема ИП



Измерительный преобразователь



Преобразователи деформации

Деформация
$$\varepsilon_l = \frac{\Delta l}{l}$$
 Механическое напряжение G = F/S

Предел упругости – Gмах - максимальное напряжение, не вызывающее остаточной деформации, большей 0,2%.

Модуль Юнга «Е» определяет деформацию в направлении действия силы

$$\varepsilon_l = \frac{1}{E} \cdot \frac{F}{s} = \frac{1}{E} \cdot G.$$
 При $\varepsilon_l = \frac{\Delta l}{l}$ = 1, где $\Delta l = l - lo = G = |\varepsilon| \cdot E$

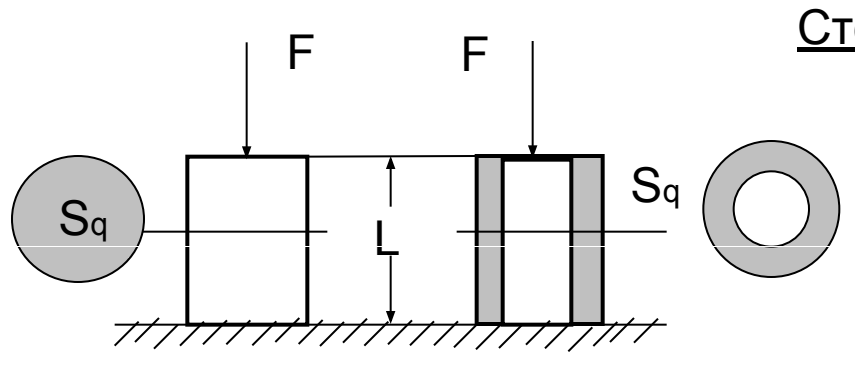
Модуль упругости представляет собой такое механическое напряжение, при котором $\mathbf{E}_{l} = 1$, т.е. удлинение l = 2 lo

Коэффициент Пуассона
$$\mu$$
 определяет деформацию, перпендикулярную направлению действия силы.
$$\frac{\mathcal{E}_{\mathrm{S}}}{\mathcal{E}_{\mathrm{I}}} = -2\,\mu$$

В области упругой деформации µ = 0,3 ÷ 0,5

Физические основы получения информации

Упругие преобразователи силы.



Стержневые упругие элементы

Относительная деформация

 $\varepsilon_l = \frac{\Delta L}{L}$

Продольная деформация

$$\mathcal{E}_l = \frac{F}{Sq^E},$$

Поперечная деформация

$$\varepsilon_l = \frac{F\mu}{S_a E},$$

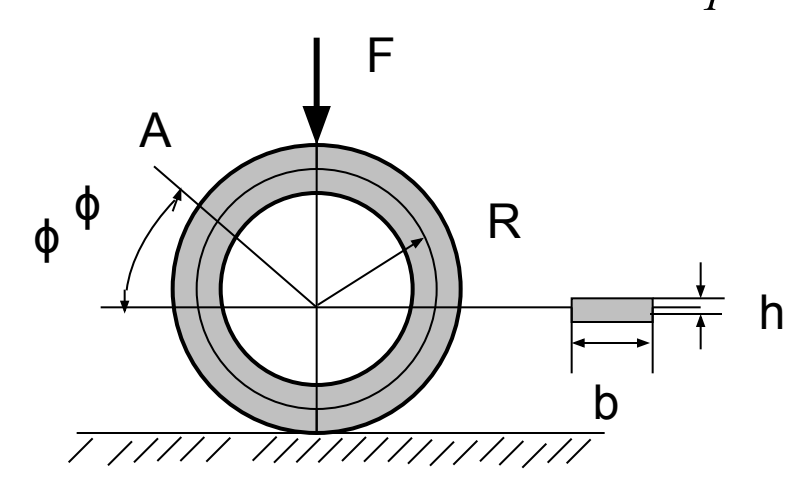
Жёсткость стержня $W = \frac{Sq^E}{r}$,

$$W = \frac{Sq^E}{L},$$

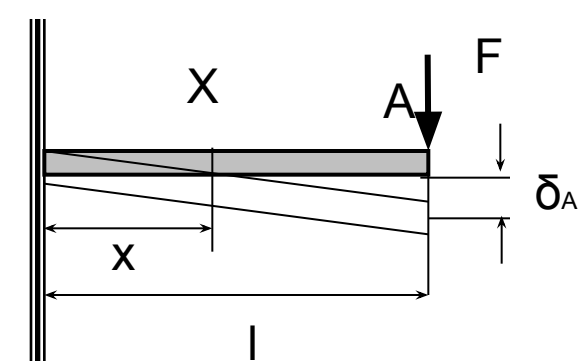
Кольцевые упругие элементы

$$\mathcal{E}_{Hap} = \frac{R}{E_h^2 b} (1.9 - 3\cos\varphi) \cdot F$$

$$\mathcal{E}_{BH} = -\frac{R}{E h^2 b} (1.9 - 3\cos\varphi) \cdot F$$



Плоские упругие элементы



консольная балка равного сечения

 $\frac{1}{1}$ δ_A $E_X = \frac{6(l-x)}{E h^2 b} F$

$$\mathcal{E}_{x} = \frac{6(l-x)}{E h^{2} b} F$$

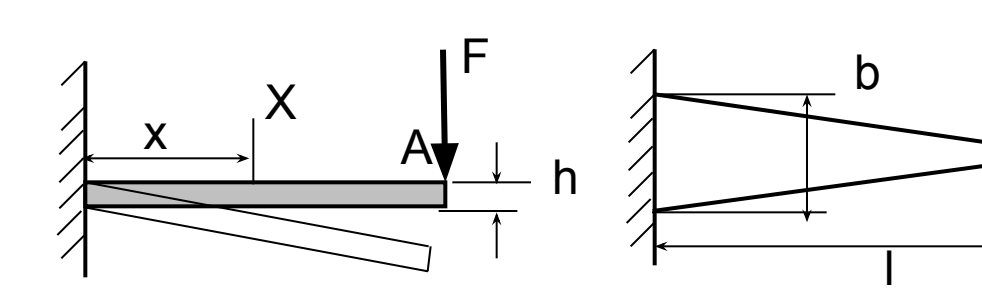
Прогиб в точке А

$$\delta_A = \frac{4l^3}{Eh^3} \cdot F$$

$$W = \frac{E h^3 b}{4 l^3}$$

$$W = \frac{E h^3 b}{4 I^3}$$
 прогиб в точке X $\delta_x = \frac{6 X^2}{E h^3 b} (l - \frac{X}{3}) \cdot F$,

консольная балка равного сопротивления



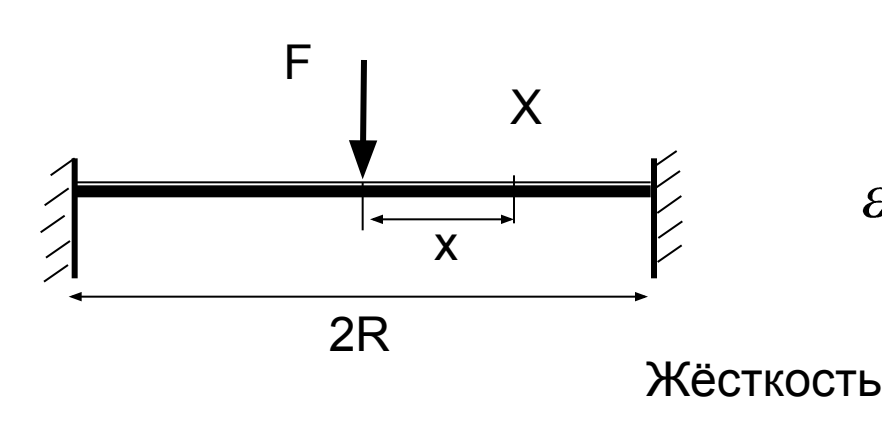
Прогиб
$$\delta_x = \delta_A \cdot \frac{X^3}{l^3}$$
,

Жёсткость
$$W = \frac{E h^3 b}{6I^3}$$

$$\varepsilon = \frac{6l}{E h^2 b} \cdot F.$$

Манометрические упругие элементы

Плоские оболочки



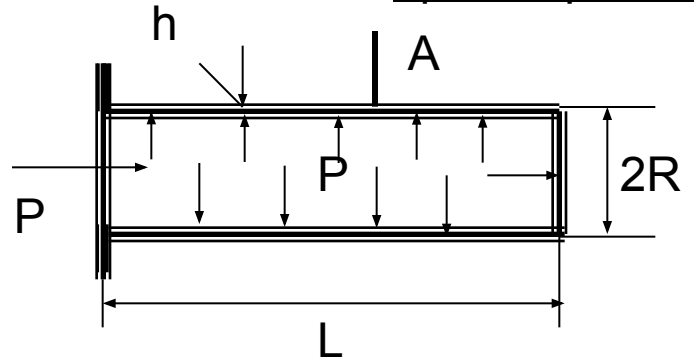
Деформация в точке Х

$$\varepsilon_{x} = \frac{0.478}{E h^{2}} \left(1 - \mu^{2} \right) \cdot \left[\ln \frac{R}{x} - 1 \right] P$$
сть
$$W = \frac{4\pi E h^{3}}{3 \left(1 - \mu^{2} \right) R^{2}}$$

Прогиб центра плоской мембраны

$$\delta = \frac{3(1-\mu^2) \cdot R^4}{16E \, h^2} \cdot P$$

<u> Цилиндрические оболочки</u>



При L > R Деформация на поверхности в точке A

$$\varepsilon_A = \frac{0.5R}{Eh} (1 - 2\mu)P$$

Проволочные тензорезисторы

коэффициент тензочувствительности.

$$\mathbf{R} = \rho \frac{\mathbf{l}}{\mathbf{S}}$$

Логарифмическая производная
$$\mathbf{R} = \rho \frac{\mathbf{1}}{\mathbf{S}}$$
 $\frac{\Delta R}{R} = \frac{\Delta L}{L} - \frac{\Delta S}{S} + \frac{\Delta \rho}{\rho}$,

$$\boldsymbol{\varepsilon}_{\mathrm{R}} = \boldsymbol{\varepsilon}_{\mathrm{l}} - \boldsymbol{\varepsilon}_{\mathrm{S}} + \boldsymbol{\varepsilon}_{\rho}$$

$$\frac{\boldsymbol{\varepsilon}_{\mathrm{R}}}{\boldsymbol{\varepsilon}_{\mathrm{I}}} = 1 - \frac{\boldsymbol{\varepsilon}_{\mathrm{S}}}{\boldsymbol{\varepsilon}_{\mathrm{I}}} + \frac{\boldsymbol{\varepsilon}_{\rho}}{\boldsymbol{\varepsilon}_{\mathrm{I}}}$$

$$\frac{\boldsymbol{\varepsilon}_{\mathrm{S}}}{\boldsymbol{\varepsilon}_{\mathrm{I}}} = -2\,\mu$$

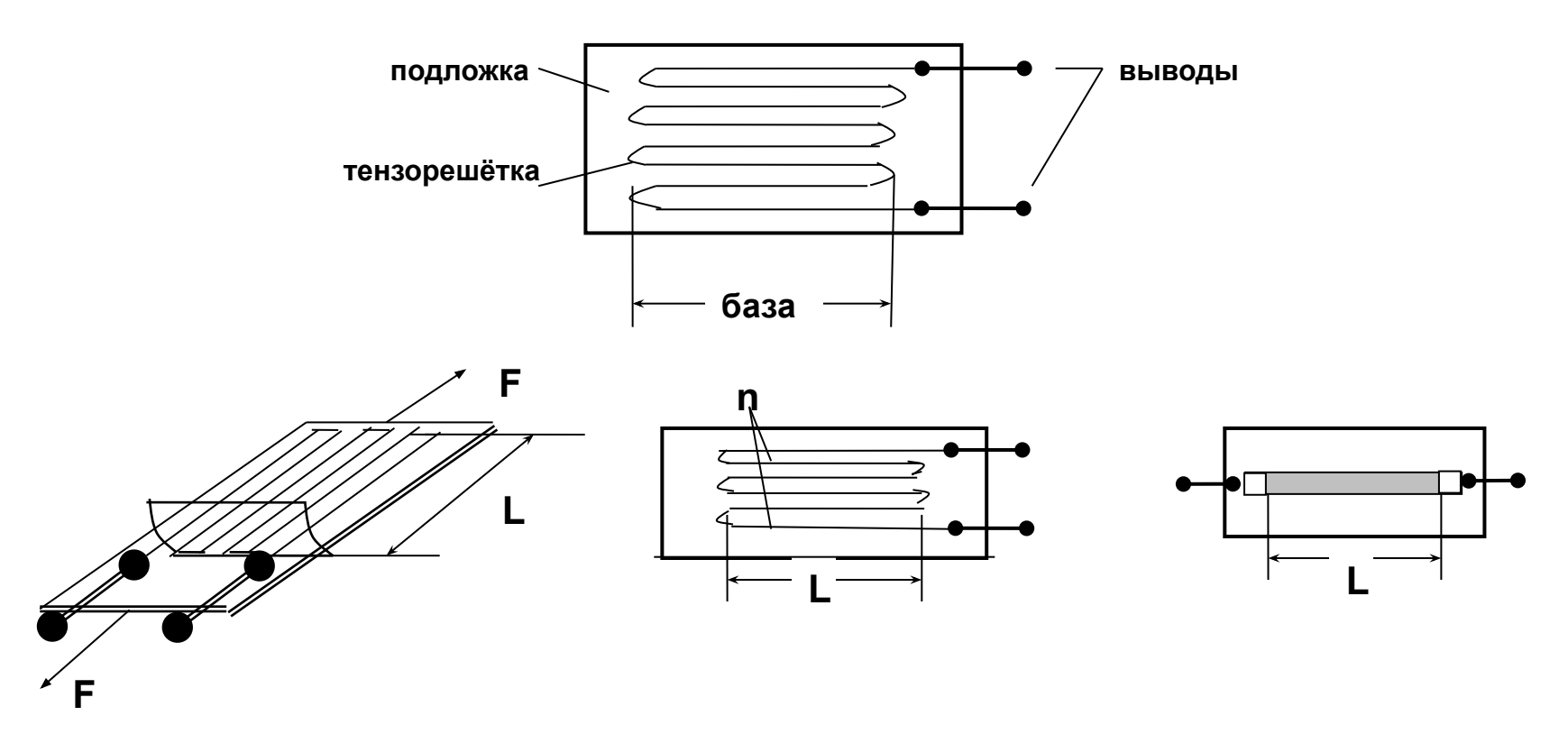
$$\frac{\boldsymbol{\varepsilon}_{\mathrm{R}}}{\boldsymbol{\varepsilon}_{\mathrm{l}}} = 1 - \frac{\boldsymbol{\varepsilon}_{\mathrm{S}}}{\boldsymbol{\varepsilon}_{\mathrm{l}}} + \frac{\boldsymbol{\varepsilon}_{\rho}}{\boldsymbol{\varepsilon}_{\mathrm{l}}} \qquad \frac{\boldsymbol{\varepsilon}_{\mathrm{S}}}{\boldsymbol{\varepsilon}_{\mathrm{l}}} = -2\mu \qquad K = 1 + 2\mu + \frac{\Delta \rho / \rho}{\Delta l / l}. = 1 + 2\mu + m$$

коэффициент тензочувствительности
$$\mathbf{K} = \frac{\Delta \mathbf{R}/\mathbf{R}}{\Delta \mathbf{l}/\mathbf{l}} = \frac{\boldsymbol{\varepsilon}_{\mathbf{R}}}{\boldsymbol{\varepsilon}_{\mathbf{l}}}.$$

Для металлов коэффициент К находится в пределах от 1,5 до 4.

В пределах упругих деформаций **€**। ≤2,5·10.

Конструкция тензодатчиков



Коэффициент тензочувствительности равен 2 ± 0,2; максимальная относительная деформация не более 0,003 (0,3%). номинальный рабочий ток– 30 ма;

Полупроводниковые тензорезисторы

Коэффициент тензочувствительности

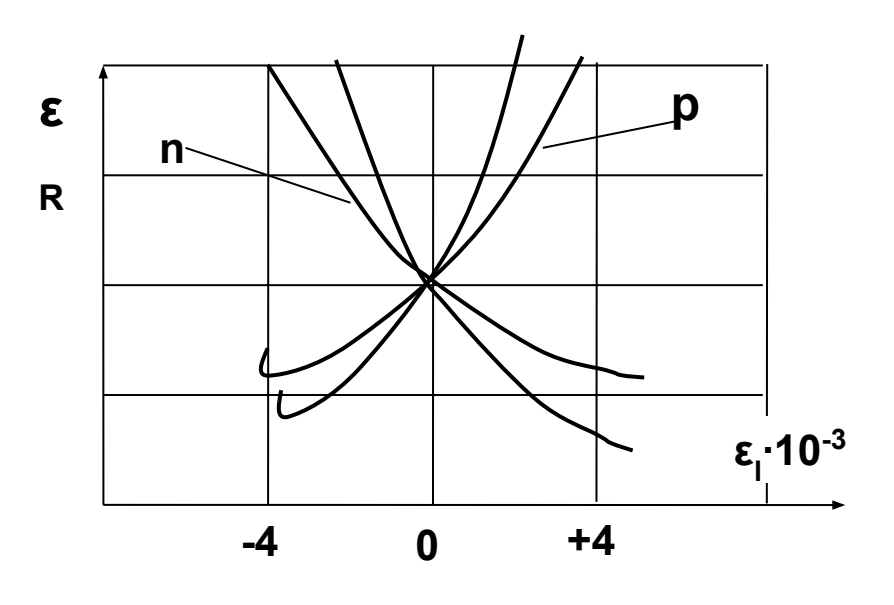
$$K = \frac{\frac{dR}{R}}{\frac{dl}{l}} = 1 + 2\mu + \frac{\frac{d\rho}{\rho}}{\frac{dl}{l}} = 1 + 2\mu + m. \approx m$$

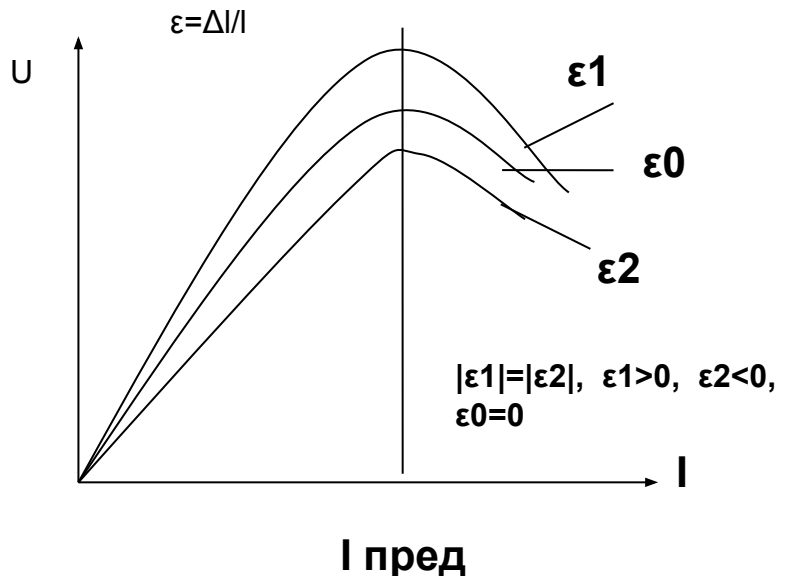
KTY = -100...+200

Сопротивление тензодатчиков R = 100 Ом...50 кОм,

Деформационная характеристика

Вольтамперная характеристика





Измерительные схемы тензопреобразователей

Схема 1: влияние температуры компенсируется на соединительных проводах – по трёхпроводной схеме либо с помощью эталонного термокомпенсирующего датчика.

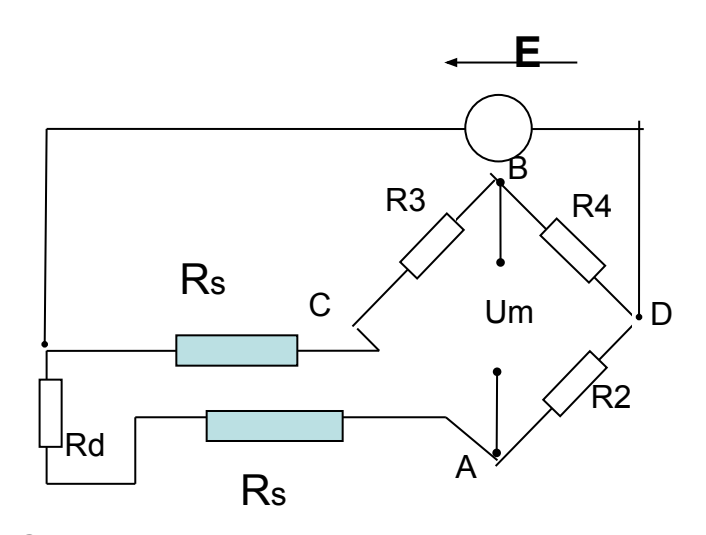


Схема 1* Два рабочих датчика включены в противоположные плечи моста

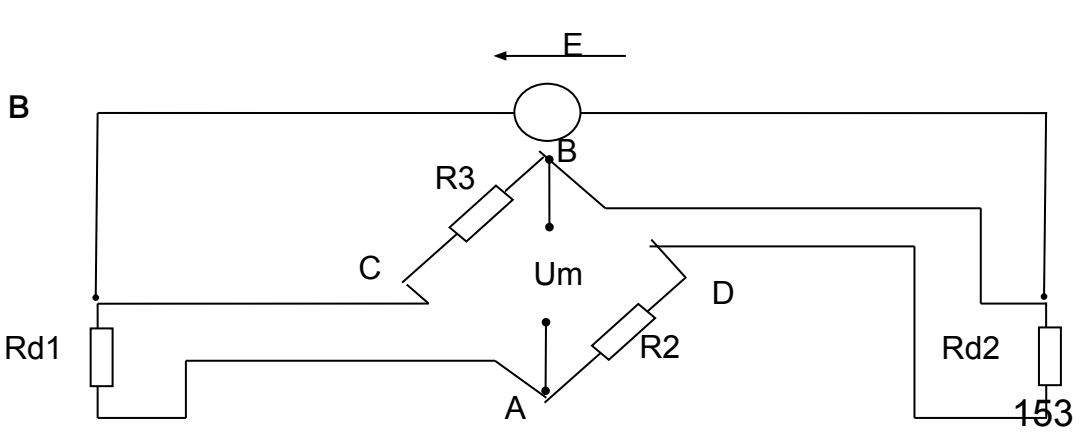
$$U_{m} \boxtimes \frac{E}{4} \cdot \frac{\Delta R_{d1} + \Delta R_{d1}}{R_{0}}.$$

Rs << Rdo

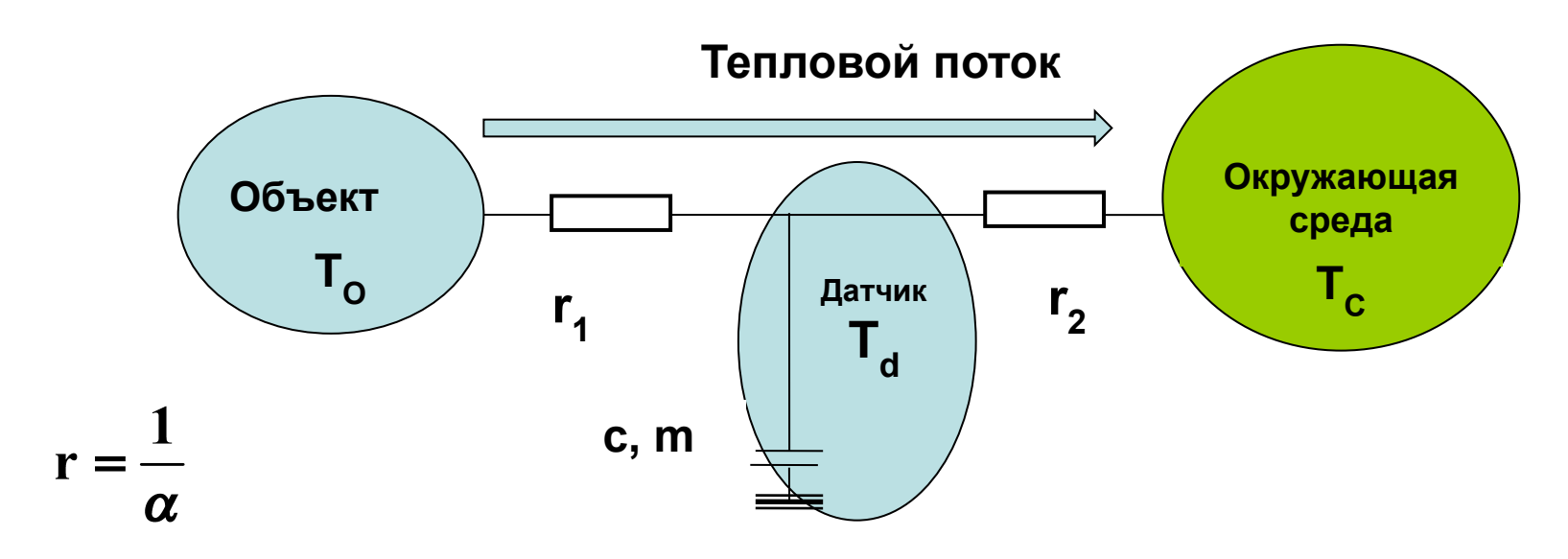
При балансе моста все сопротивления плеч равны (Rdo+Rs)=R0,

Напряжение разбаланса моста при измерении деформации

$$U_{m} = \frac{E}{4} \cdot \frac{\Delta R_{d}}{R_{do} + R_{s}} = \frac{E}{4} \cdot \frac{\Delta R_{d}}{R_{do}} \cdot \frac{1}{1 + \frac{R_{s}}{R_{do}}}.$$



Тепловые преобразователи



r1, r2 -Тепловые сопротивления, С теплопроводность

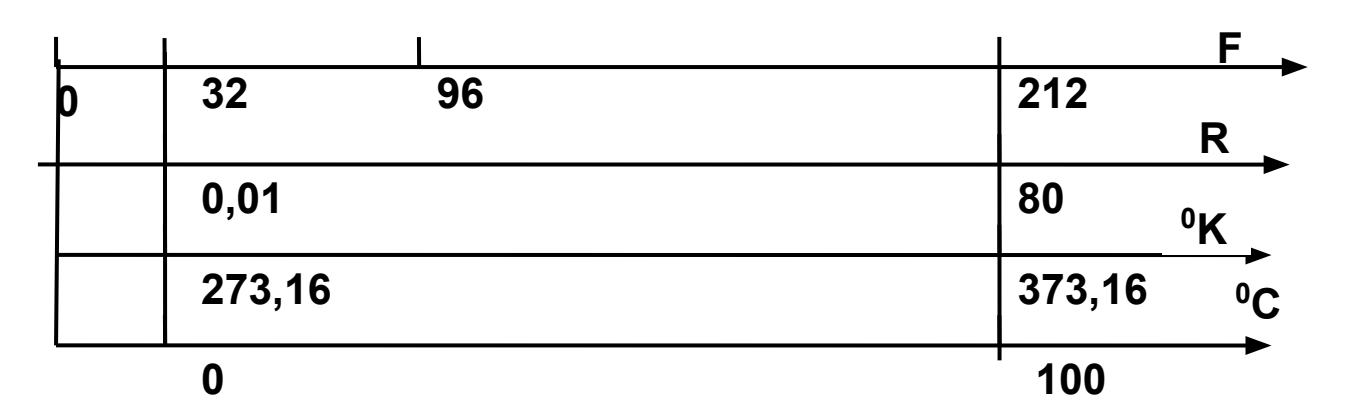
температура датчика,
$$T_{\rm d} = T_{\rm o} - (T_{\rm o} - T_{\rm c}) \frac{r_{\rm l}}{r_{\rm l}} = T_{\rm o} - \Delta T \frac{r_{\rm l}}{r_{\rm l}}$$

для снижения погрешности необходимо, чтобы r1/ r2 \rightarrow 0, а так же $\Delta T = To -Td = 0$.

необходимо улучшить тепловую связь датчика с объектом и изолировать датчик от окружающей среды.

Методы измерения температуры

Соотношения температурных шкал



ПЕРВИЧНЫЕ ПРЕОБРАЗОВАТЕЛИ КОНТАКТНЫХ ТЕРМОМЕТРОВ

Термометры сопротивления

Основные параметры терморезисторов: (ТР)

•номинальное значение сопротивления Ro при температуре 0оС,

•Температурный коэффициент сопротивления
$$\alpha = \frac{\partial R}{R \partial T} = \frac{1}{R} \frac{\partial R}{\partial T}$$

•допустимые отклонения сопротивлений Ro при температуре 0 ⁹Cв процентах от номинала

•значение отношений сопротивлений в диапазоне температур 0 ÷ 100, ^ОС

$$W_{100} = \frac{R_{100}}{R_0}$$

•допустимые отклонения значений W₁₀₀

Термометры сопротивления

Платиновый термометр. ρ = const,

$$R_{_{\rm t}}=R_{_{\rm O}}\left(1+{
m AT}+{
m BT}^2
ight)\;\;{
m A}=3,9{
m M}\,0^{-3}\,{
m 1}\!\!/_{^{0}}{
m C}\;\;\;{
m B}=-5,9{
m M}\,0^{-7}\,{
m 1}\!\!/_{^{0}}{
m C}^{2}$$
 в диапазоне $0-600\,{
m ^{O}}{
m C}$

$$R_T = R_0 [1 + AT + BT^2 + CT^3 (T - 100)]$$
 в диапазоне температур -200 \div 0 0 C $C = -4,36$ · 10^{-2} C $^{-3}$ R0 при $T = 0$ 0 C $\alpha = 3,9 \cdot 10^{-3}$ K $^{-1}$, $\rho = 0,105$ Ом·мм2/м, при 20 0 C Полный диапазон -200 до +1300. 0 C

Термометры сопротивления

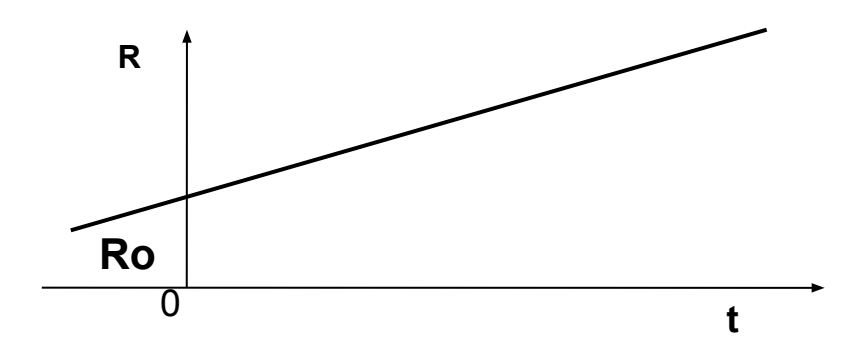
Медные термометры(Cu) диапазон температур от -50 до +180°C,

Rt=R0(1+
$$\alpha$$
T), или Rt =Ro[1+ α (T-To],

где Ro сопротивление при To = 0° C. $\alpha = 4,26 \cdot 10^{-3}$ град 1

$$\rho = 0.017 \text{ Om-MM}2/\text{M}$$

Функция преобразования медного терморезистора.



Термисторы

Передаточная функция термисторов $\ln R = A_0 + \frac{A_1}{T} + \frac{A_2}{T^2} + \frac{A_3}{T^3}$

Простая модель ,
$$\ln R = A + \frac{B}{T}$$

где **A** – константа, **B** – характеристическая температура материала

$$\mathbf{R} = \mathbf{R}_{\mathbf{o}} \mathbf{e}^{\mathbf{B}(1/T - 1/T_{\mathbf{o}})}$$

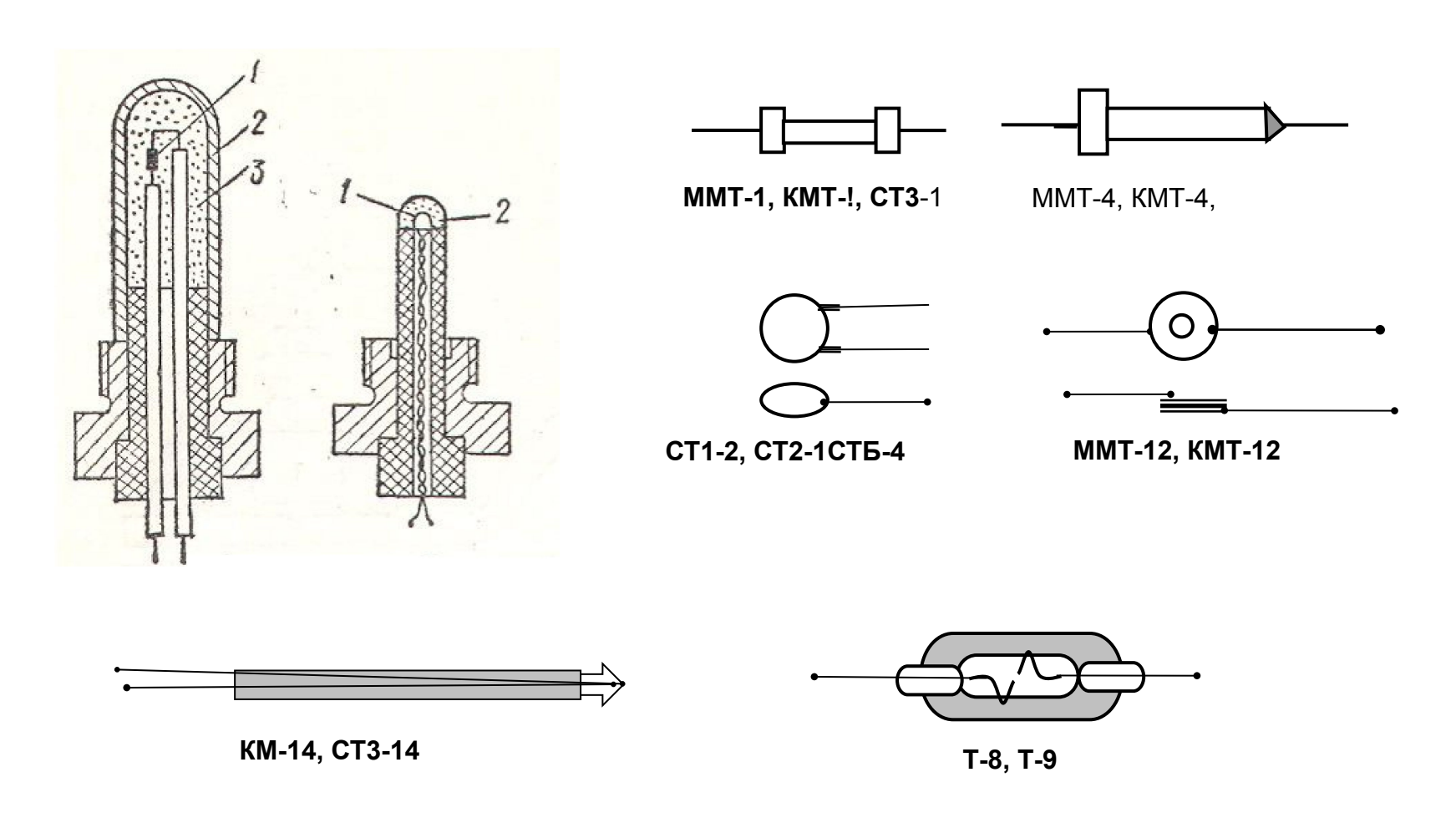
Температура термистора

$$T = \left[\frac{1}{T_o} + \frac{\ln(R/R_o)}{B} \right]^{-1}$$

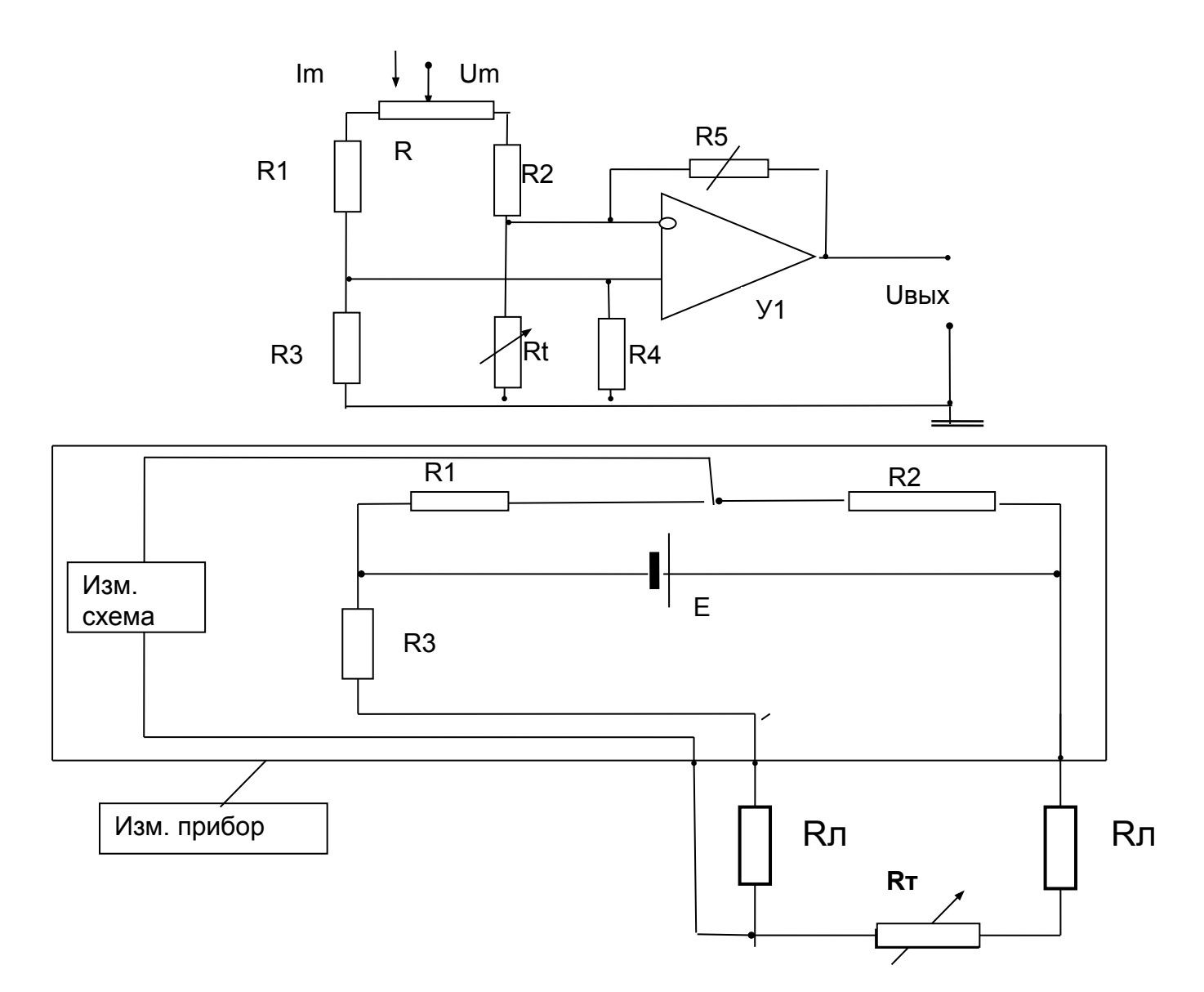
Чувствительность датчика

$$\alpha_{\rm R} = \frac{1}{\rm R} \frac{\rm dR}{\rm dT} = -\frac{\rm B}{\rm T^2}$$

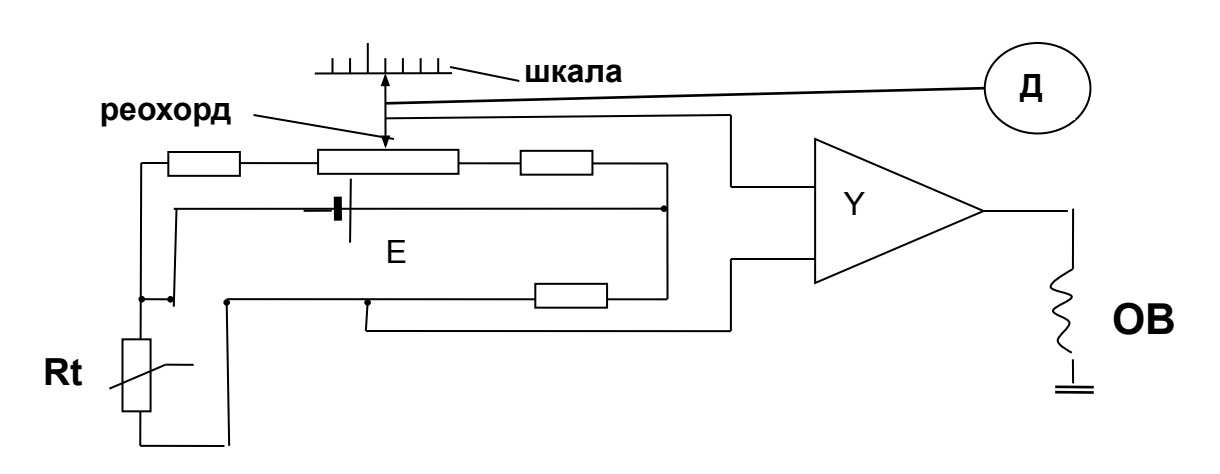
Конструктивное выполнение термисторов

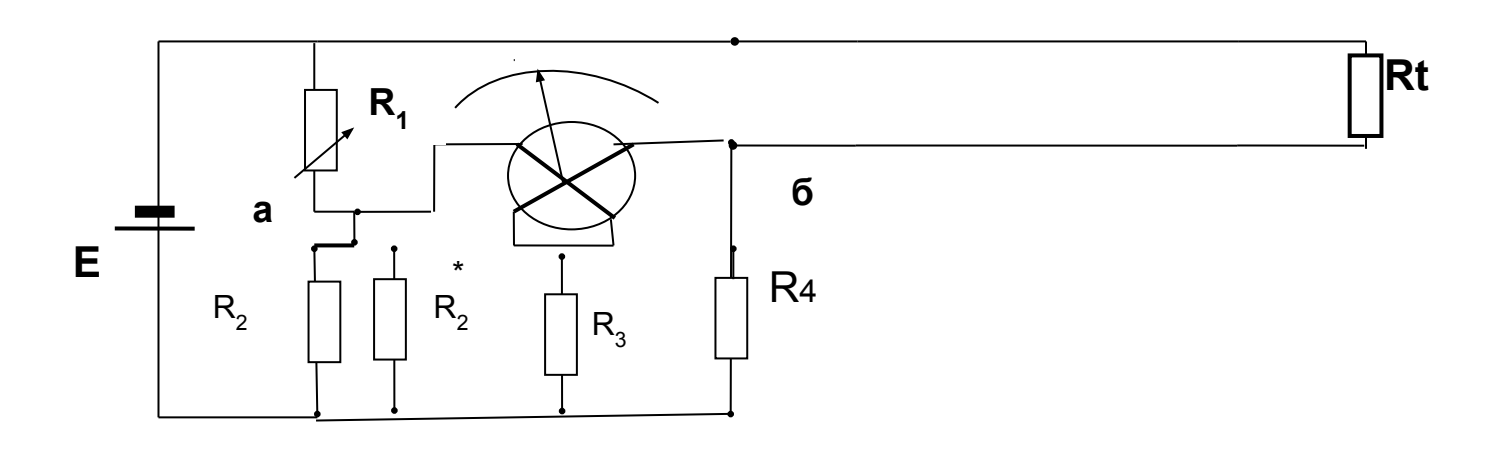


схемы измерения температуры терморезисторами



Автоматические регистрирующие схемы



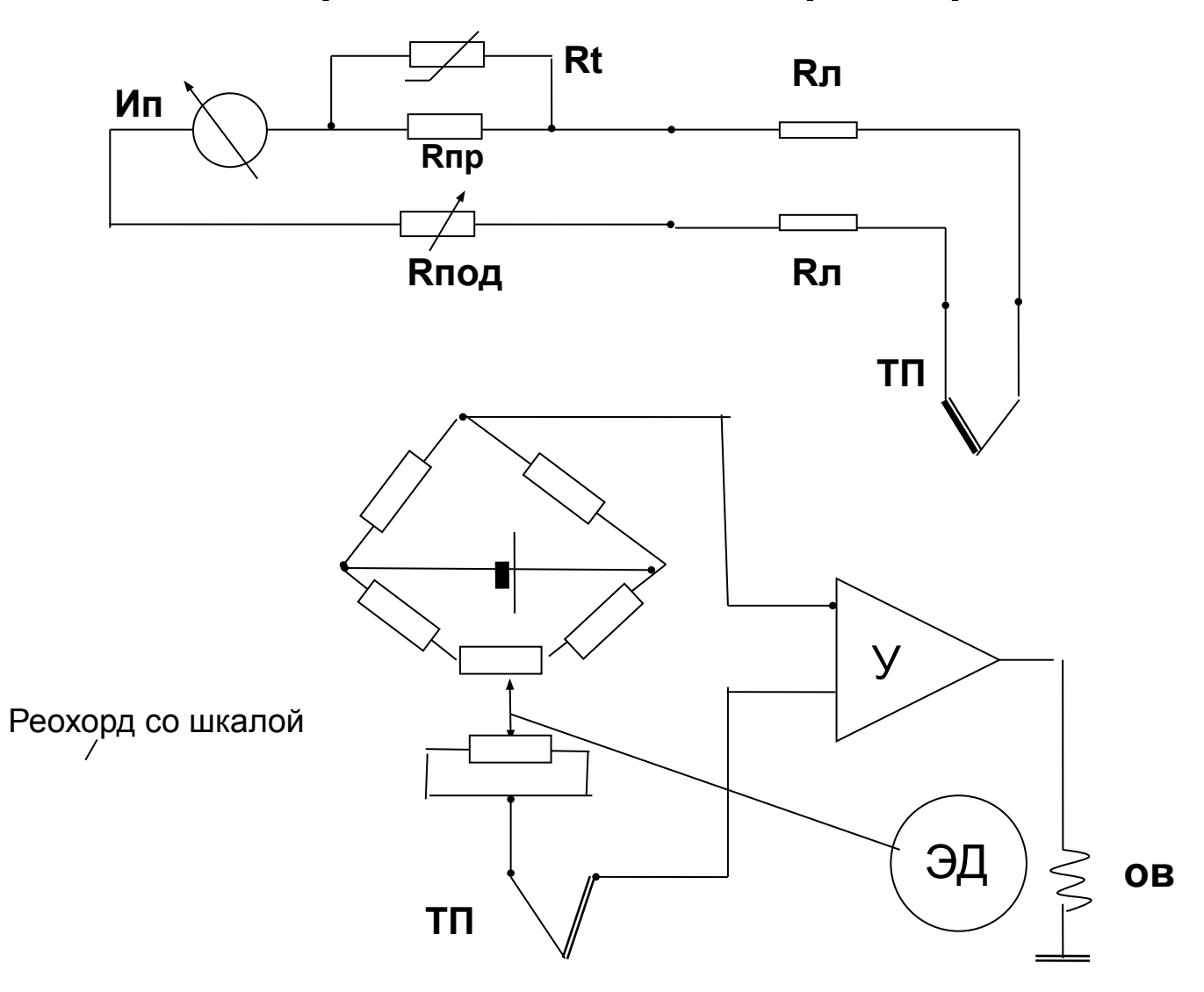


Термоэлектрическая пирометрия

термочувствительность термопар

Тип термопары	диапазон температ ур	мкв\гр ад	тип термопары	диапазон температу р	мкв\гра д
ПП	-20 1600	11	Au-Pt	-185 800	16
ППр	+300 1900	9	Au-Ag	-185 800	16
XA	-200 1300	40	Си-константан	-250 400	40
ХК	-200 800	75	нихром-Ni	1200	40
			Fe-константан	-200 1000	

Измерительные схемы термопар



Оптическая пирометрия

Распределение энергии в спектре излучения (формула Планка),

$$\Phi_{\lambda} = C_1 \lambda^{-5} \left[\exp \left(\frac{C_2}{\lambda T} \right) - 1 \right]^{-1}, C_1 = 2\pi \mathbf{h} \cdot \tilde{\mathbf{N}}^2 = 3,74 \cdot 10^{-16} \,\hat{\mathbf{A}} \,\hat{\mathbf{o}} \cdot \hat{\mathbf{i}}^2$$

$$C_2 = \frac{\mathbf{h} C}{\mathbf{K}} = 1,438 \cdot 10^{-2} \,\hat{\mathbf{i}} \cdot \tilde{\mathbf{a}} \,\hat{\mathbf{o}} \,\hat{\mathbf{a}} \,\hat{\mathbf{a}}$$

 $\hat{\mathbf{O}}_{_{\lambda}}$ - поток монохроматического излучения в единицу времени с единицы площади поверхности тела с длинами волн от λ до $d\lambda$,

Закон Стефана-Больцмана

$$\mathbf{R}_{0} = \mathbf{G}\mathbf{T}^{4}$$

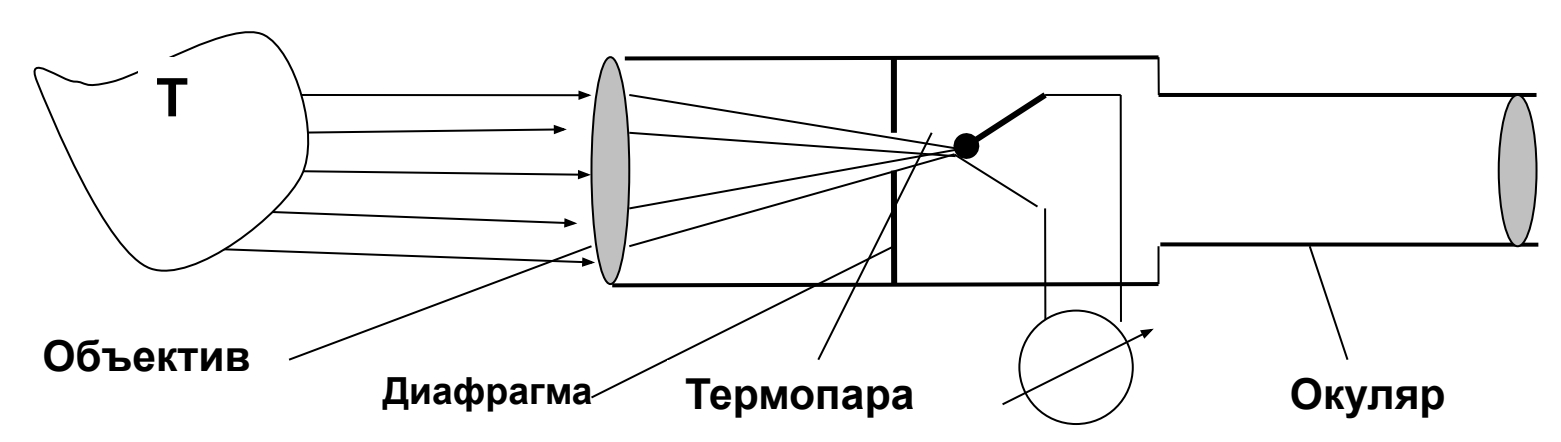
$$G = 5,67 \times 10^{-4}$$
 $\hat{A}\hat{o}/\hat{i}^{2}\hat{E}^{4}$

Энергетическая фотометрия или радиометрия

- •Поток излучения Ф испускаемая, принимаемая мощность (Ф = dQ/dt), в ваттах
- Энергия излучения Q испускаемая, принимаемая в джоулях
- •Сила излучения I поток излучения, в данном направлении в единичном телесном угле (I = $d\Phi / d\Omega$) измеряется в Bm/cp;
- •Энергетическая яркость L сила излучения с элемента поверхности dA в данном направлении, относимая к площади ортогональной проекции dA на плоскость перпендикулярную направлению (L = dl/dAn) Bm/cp⋅м².
- •Энергетическая облучаемость E поток излучения, падающий на элемент поверхности, отнесённый к площади элемента (e = dФ/dA), измеряется в Bm/м.

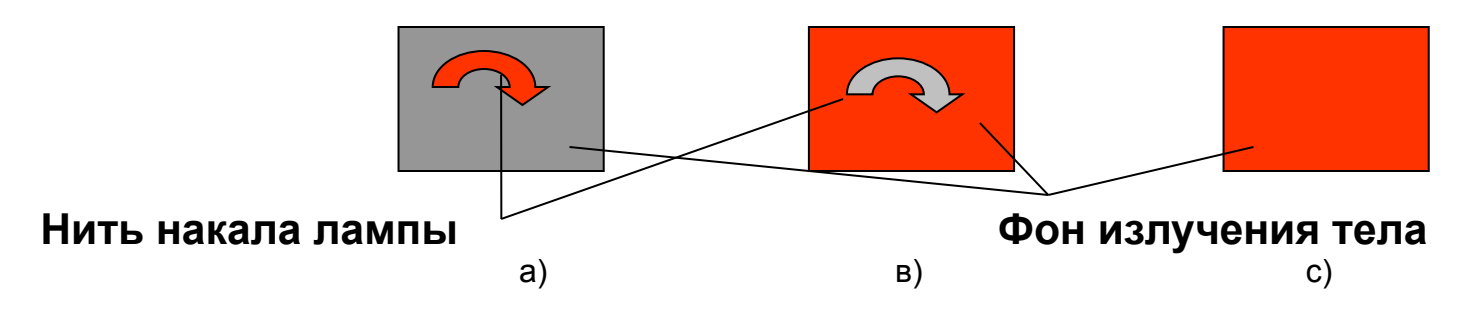
Основные методы измерения температур

Пирометр полного излучения (радиационный пирометр).

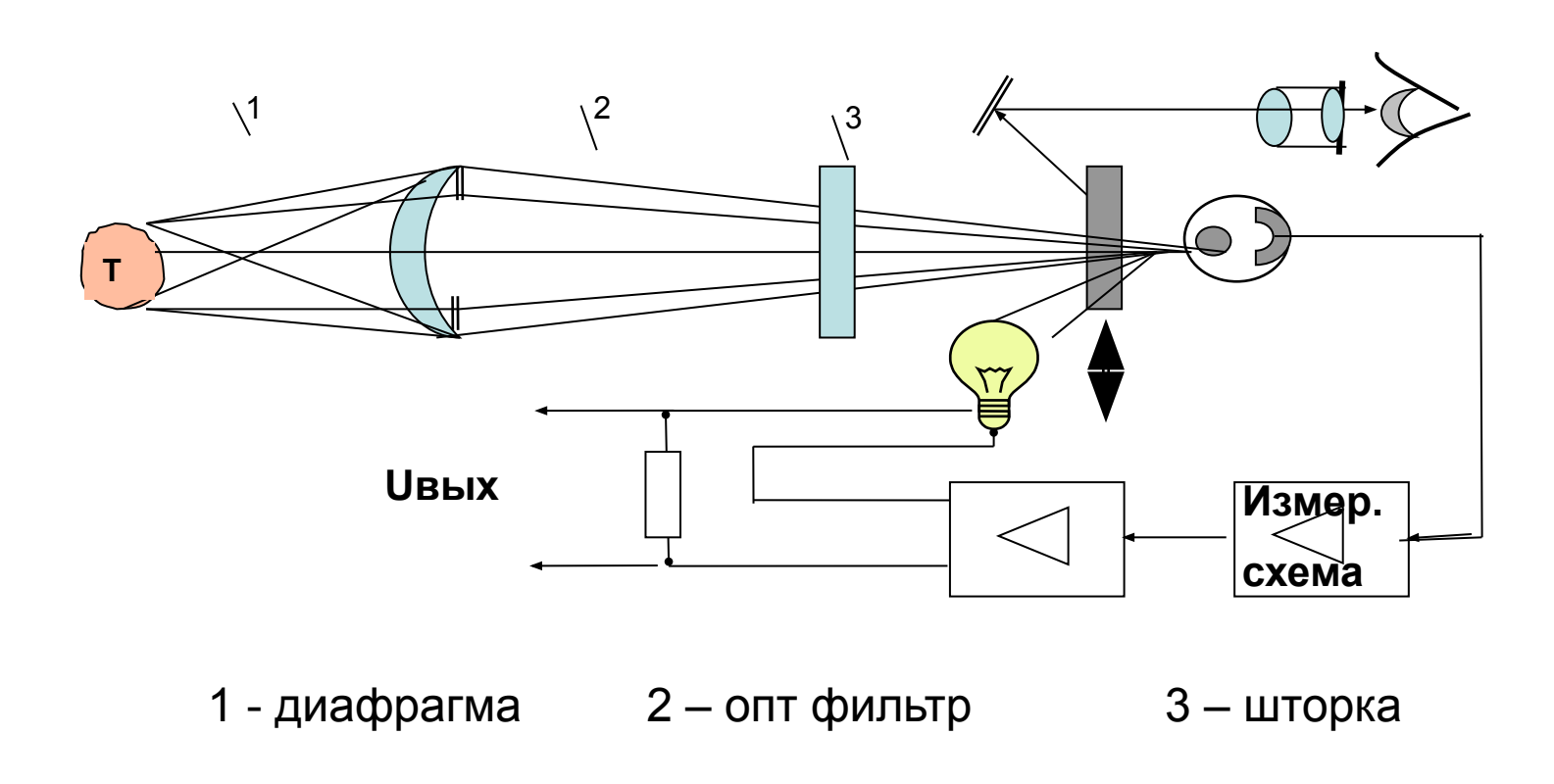


Пирометр с исчезающей нитью, или монохроматический пирометр

$$\Phi_{\lambda} = C_{1} \lambda^{-5} \exp\left(-\frac{C_{2}}{\lambda T}\right) \qquad \grave{O}_{e} = \grave{O}_{\ddot{y}} \left(1 + \grave{O}_{\ddot{y}} \frac{\lambda}{C_{2}} \ln \mathcal{E}_{\lambda T}\right)^{-1},$$



Автоматический оптический пирометр

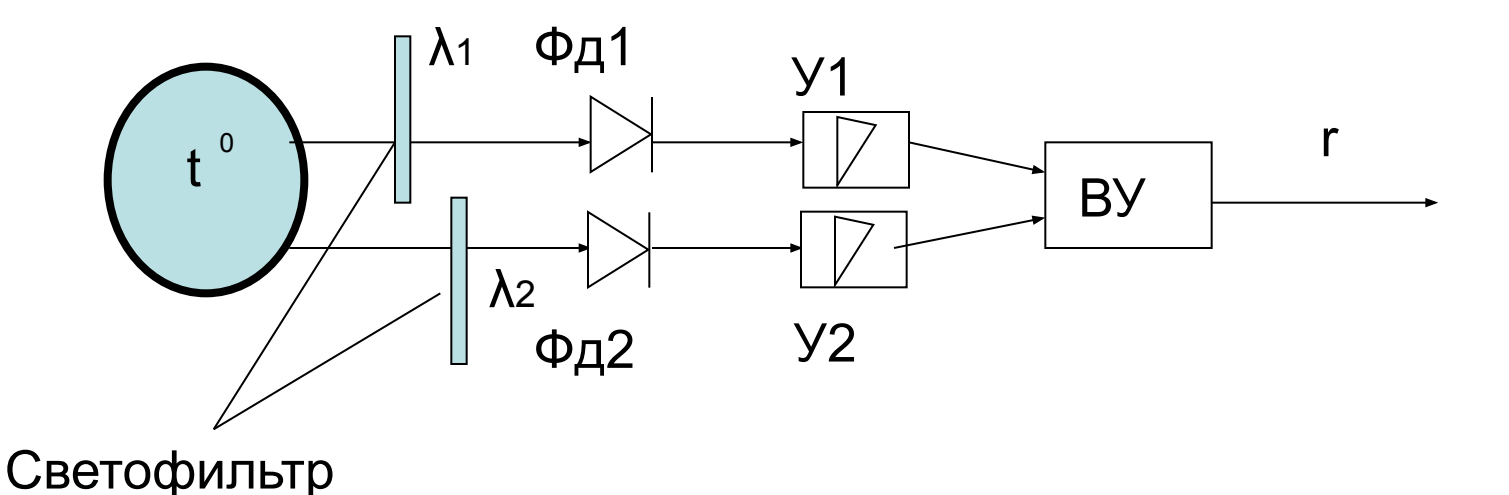


Пирометр спектрального отношения

Бихроматический пирометр, или пирометр спектрального отношения,

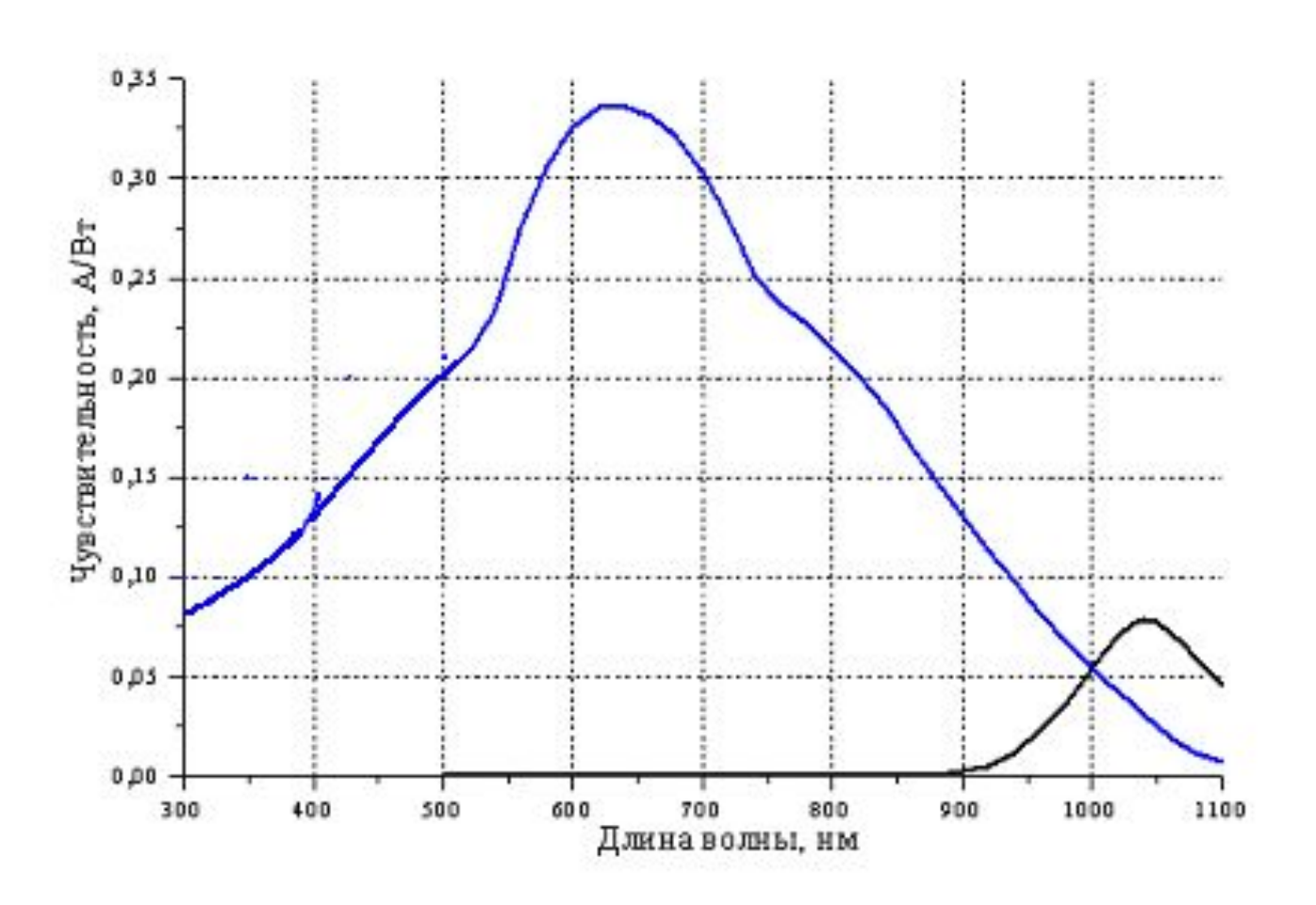
$$r = \frac{A_{\lambda 1}}{A_{\lambda 2}} = \left(\frac{\lambda_2}{\lambda_1}\right)^5 \exp\left\{\frac{C_2}{T}\left(\frac{1}{\lambda_2} - \frac{1}{\lambda_1}\right)\right\}.$$

Отношение r зависит только от температуры T объекта



фотодетектор ФДПК-1Т

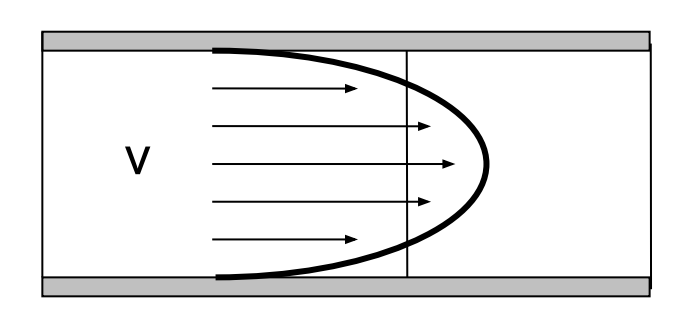
Типовая спектральная характеристика фотодетектора ФДПК 1Т



Методы измерения расхода

Средняя скорость потока в сечении S равна

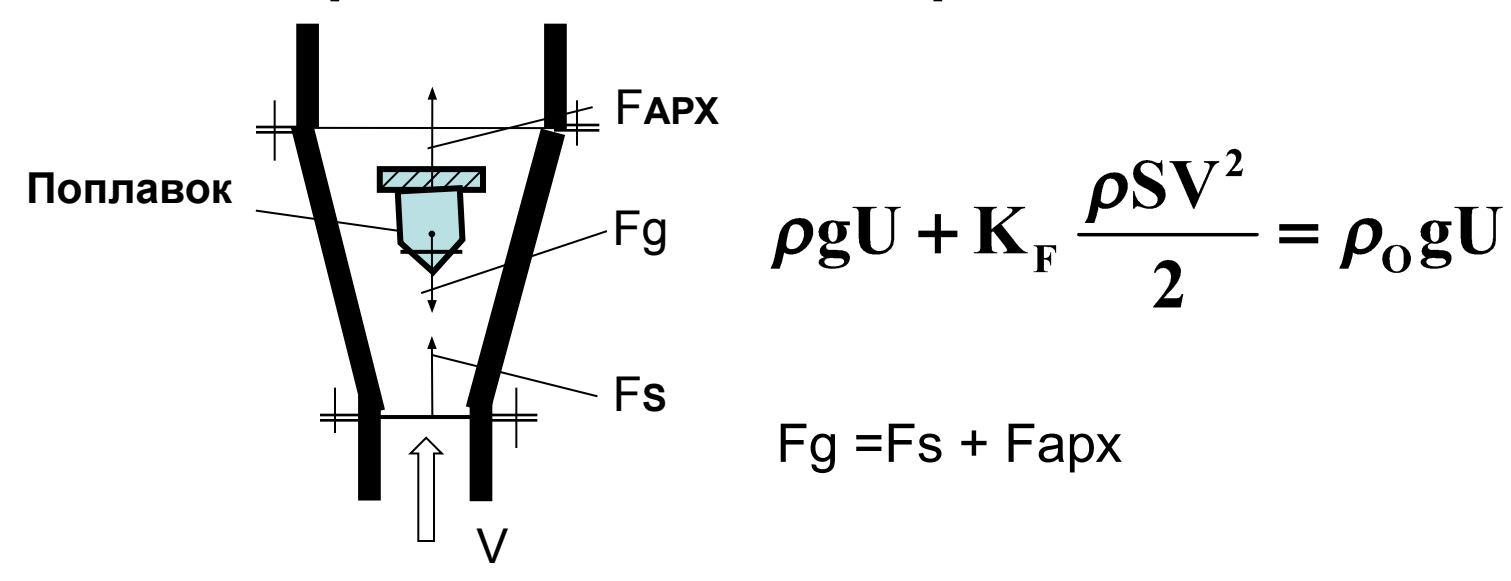
$$V_c = \int \frac{vdS}{S}$$



Классификация методов по виду первичного преобразователя расхода

- 1.Преобразователи с непрерывно движущимся телом
 - 2. Преобразователи, основанные на физических явлениях
 - 3. Преобразователи, основанные на гидродинамических законах
 - 4. Ротаметры с упругим противодействием

Расходомеры постоянного перепада давления.



где U – объём поплавка, **р** ₀ - плотность поплавка, **р** - плотность жидкости , V - скорость жидкости,

S -площадь сечения поплавка перпендикулярная вектору скорости,

g - ускорение силы тяжести, - Кғ – коэффициент лобового сопротивления.

Поплавок находится в положении Z по

DONTUVANU

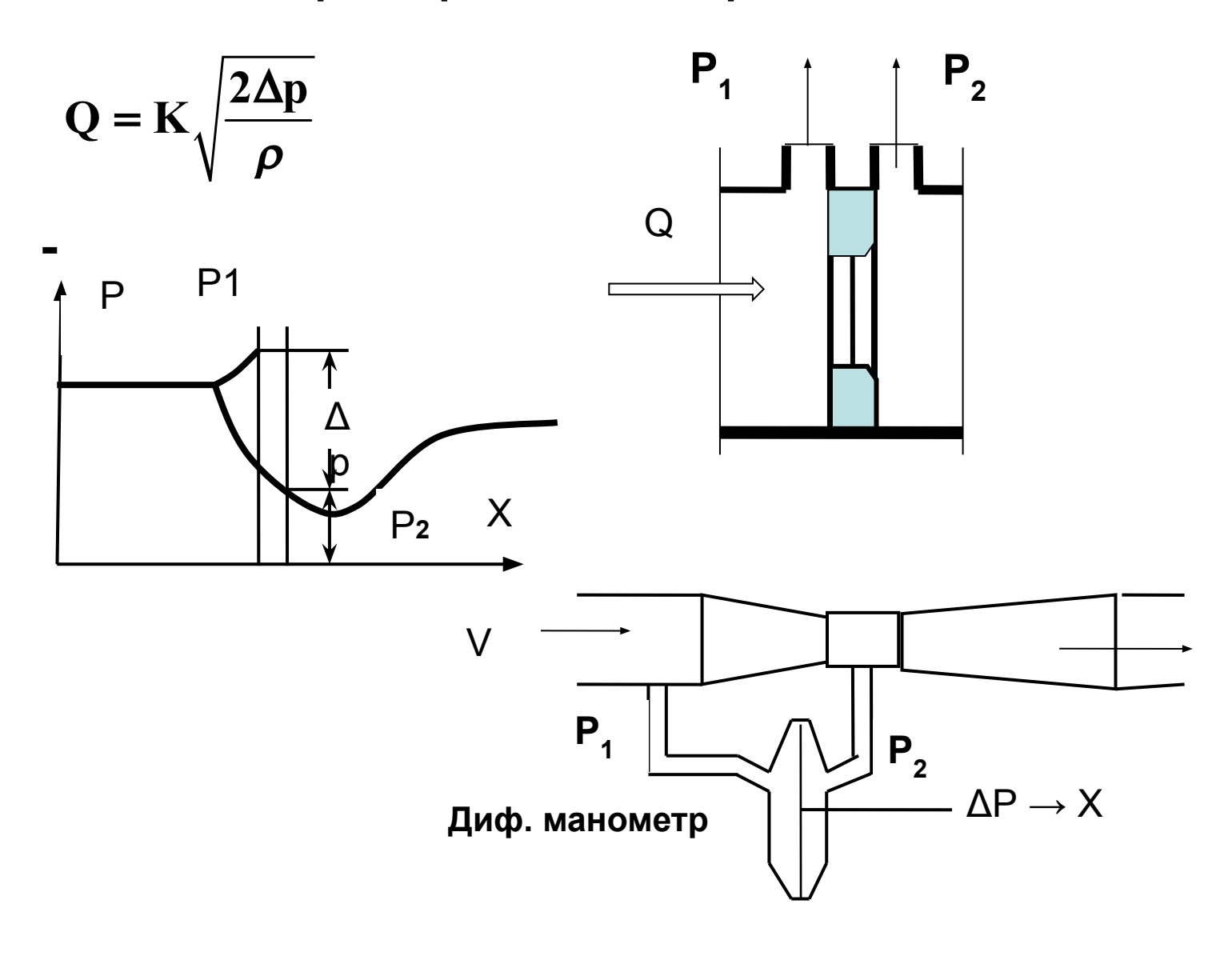
при скорости жидкости

$$V = \sqrt{\frac{2gU}{K_FS}\left(\frac{\rho_0}{\rho} - 1\right)}.$$

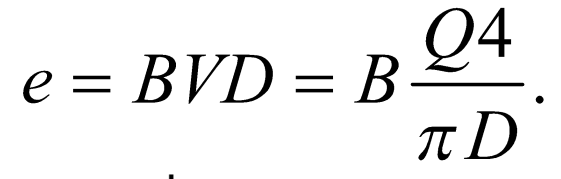
расход

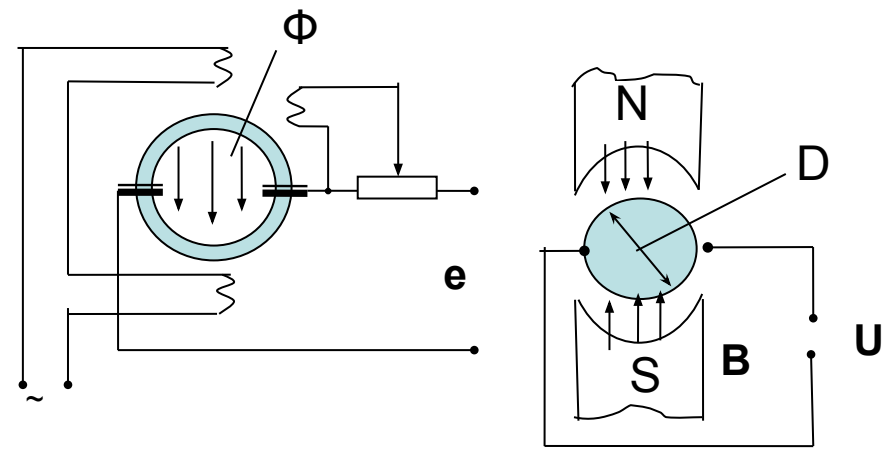
$$Q = \sqrt{\pi} az \sqrt{\frac{2gU}{C_x} \left(\frac{\rho_o}{\rho} - 1\right)} = Kz$$

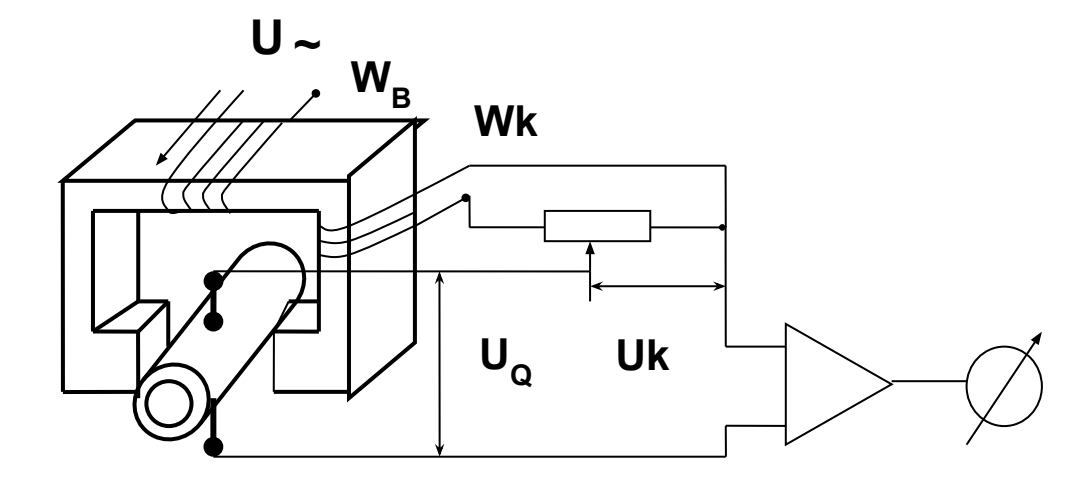
Расходомеры переменного перепада давления.



Электромагнитные расходомеры токопроводящей жидкости.

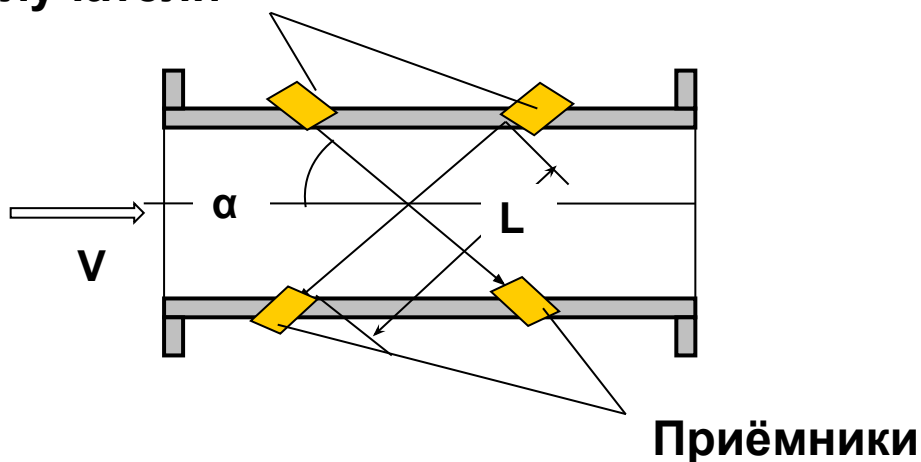






Ультразвуковые расходомеры

Излучатели



Время распространения УЗВ на расстоянии L

по направлению потока

в направлении против потока

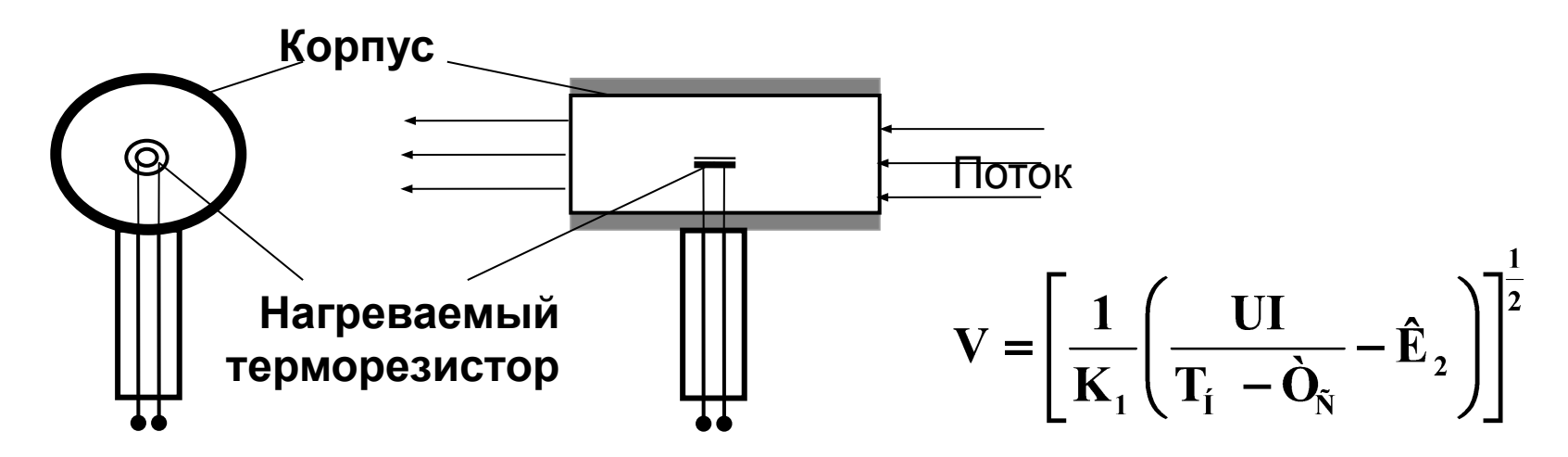
$$t_{P} = \frac{L}{(c + V \cos \alpha)}.$$

$$t_{P1} = \frac{L}{(c + V \cos \alpha)} \cdot \approx \frac{L}{c} \left(1 - \frac{V}{c} \cos \alpha \right)$$

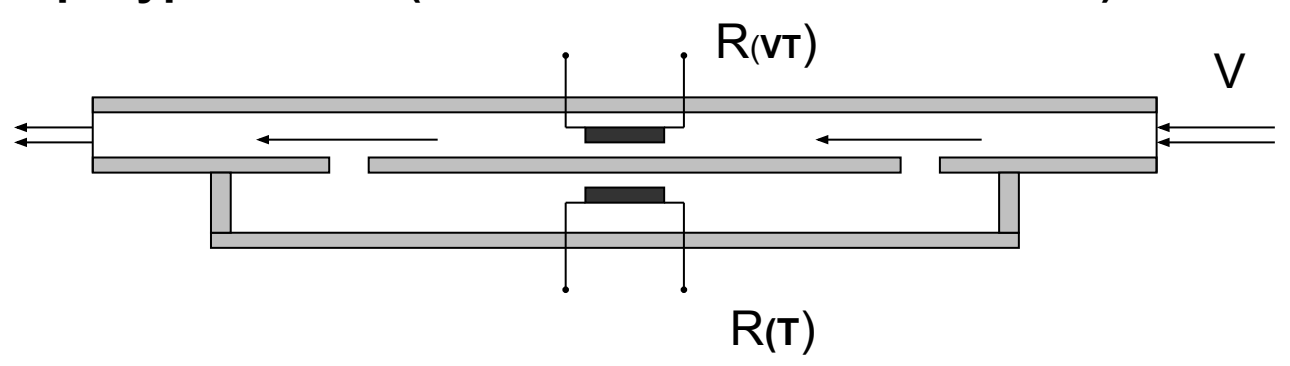
$$t_{P2} = \frac{L}{(c - V \cos \alpha)} \approx \frac{L}{c} \left(1 + \frac{V}{c} \cos \alpha \right)$$

$$\frac{\left(t_{P2} - t_{P1}\right)}{t_{P2} \cdot t_{P1}} = \frac{2V \cos \alpha}{L}$$

Тепловые преобразователи расхода газа

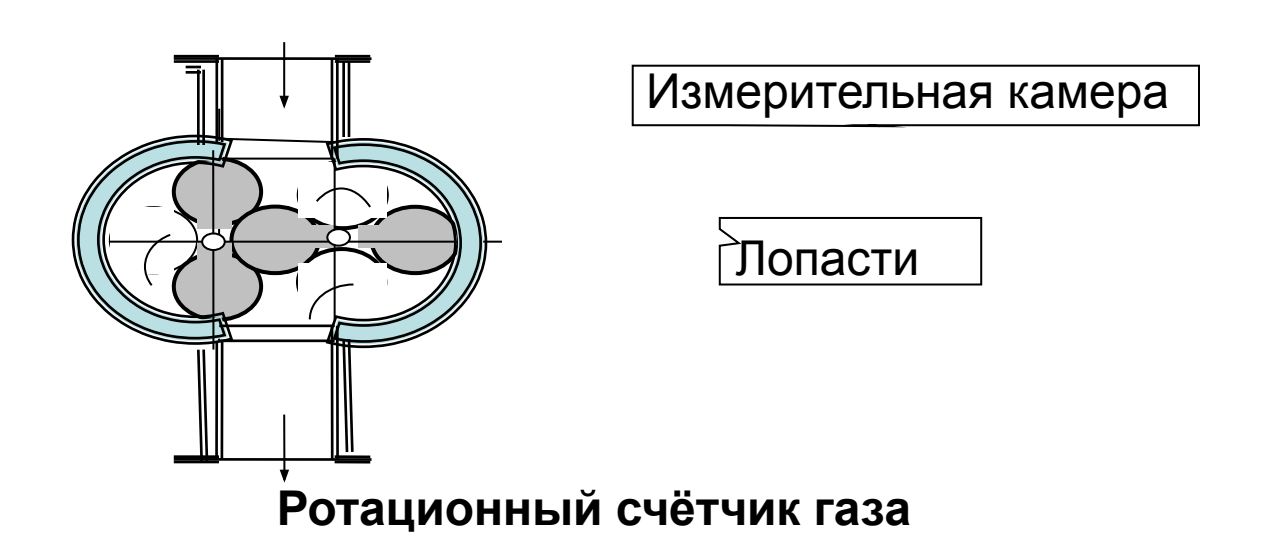


где К1, К2 – приборные константы, U, I – напряжение и ток питания датчиков, T_H - температура рабочего датчика нагревателя, T_C - температура потока (компенсационного датчика)



. Схема расположения рабочего и компенсирующего датчиков

Объёмные счётчики



Измерение расхода тепловой энергии

где **Q** – массовый расход теплоносителя,

$$\Theta = Q \cdot C(i_1 - i_2)$$
 С — теплоёмкость, **i1 i2** — 'энтальпия

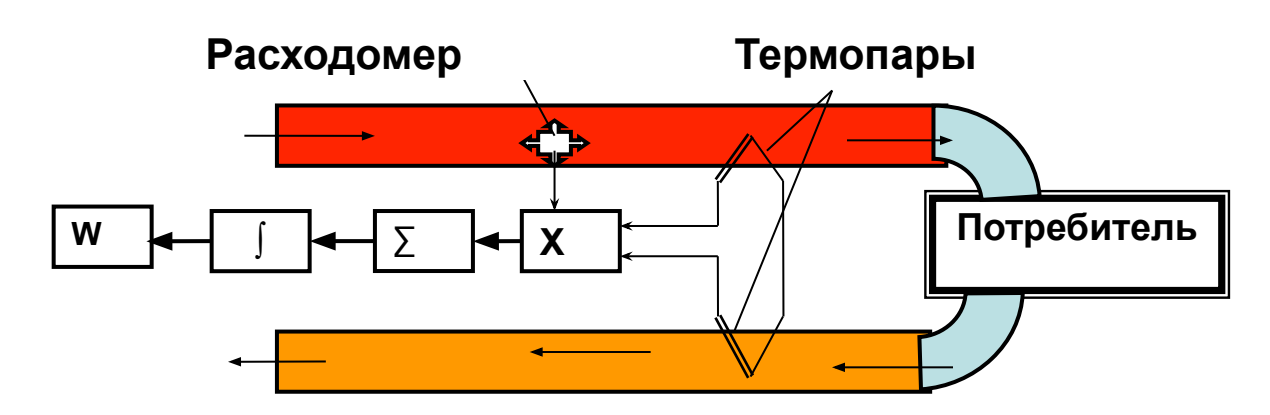
i1 i2 – 'энтальпия теплоносителя на входе и

$$i = \frac{R_1 + R_2 T}{R_3 + R_4 p}$$
, ВЫХОДО — R4 — постоянные коэффициенты.

 ${f T}$ — температура; ${f p}$ — давление Расход тепловой энергии ${f W}$ за промежуток времени ${f t_2}$ - ${f t_1}$

Энтальпия — это количество энергии, которая доступна для преобразования в теплоту при определенной температуре и давлении.

$$W = \int_{t_1}^{t_2} Q \cdot C \cdot (T_1 - T_2) dt.$$



Измерение уровня раздела сред.

Гидростатические уровнемеры.

Поплавковые преобразователи.

Сила, действующая на поплавок

$$F_{a} = gV\rho_{1} + g\rho_{2}\left(1 - \frac{\rho_{1}}{\rho_{2}}\right)\int_{0}^{X} S(X)dX = g\rho_{2}\left[V\frac{\rho_{1}}{\rho_{2}} + \left(1 - \frac{\rho_{1}}{\rho_{2}}\right)\int_{0}^{X} S(X)dX\right].$$

При ρ 1 << ρ 2, ρ 1 \rightarrow 0, Fa = g· ρ 2·S·X.

Положение поплавка соответствует положению уровня

Буйковые (плунжерные) уровнемеры

$$F = P - \rho ghS$$

где Р – вес плунжера,

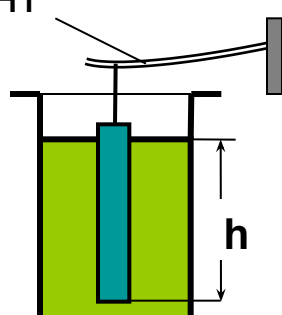
S – площадь его поперечного сечения,

pgSh – выталкивающая сила Архимеда,

р плотность среды,

д ускорение силы тяжести.

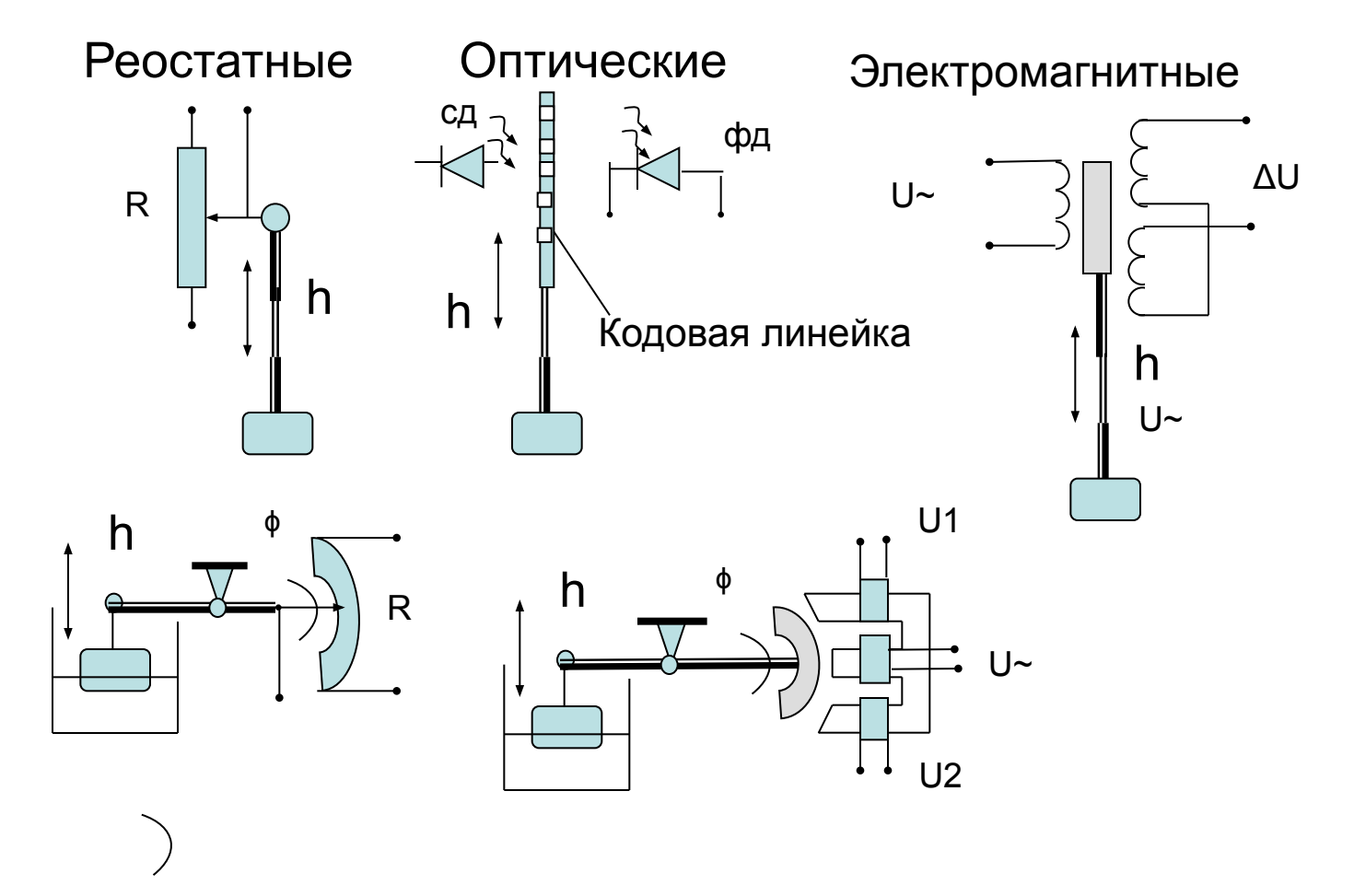
Упругий элемент



Перемещения плунжера минимальны

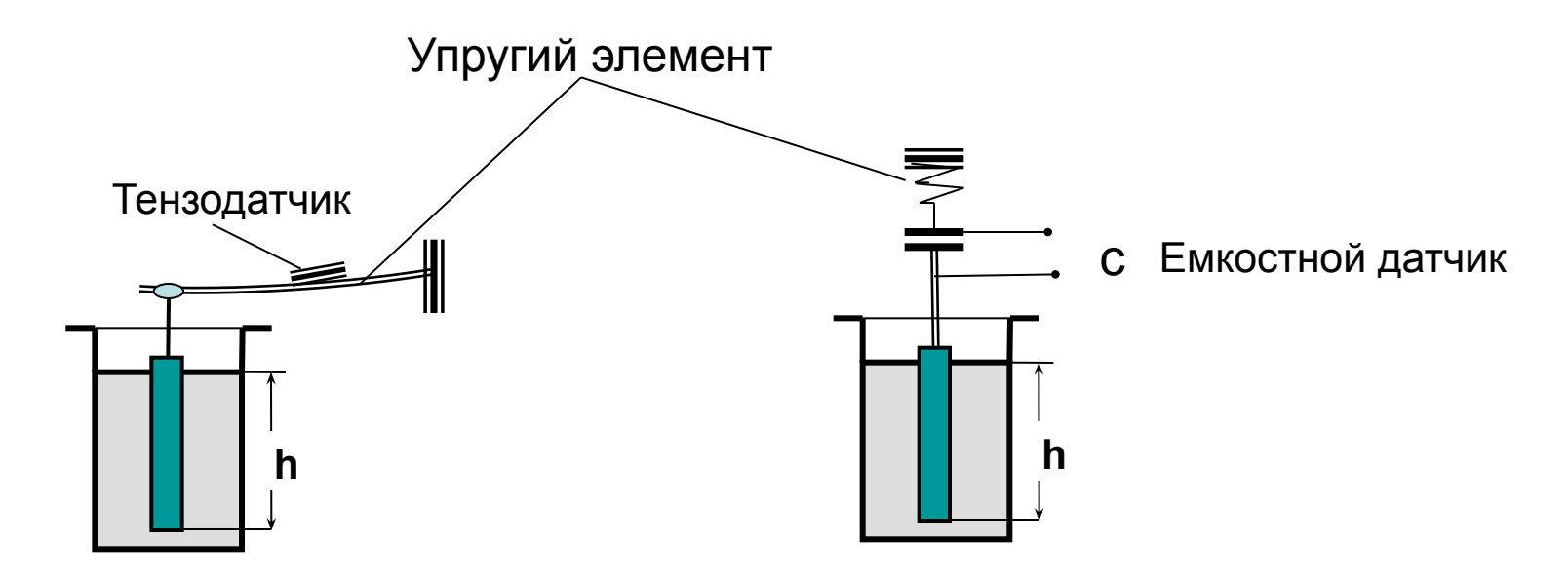
Вторичные преобразователи гидростатических уровнемеров

Поплавковые преобразователи.



Вторичные преобразователи гидростатических уровнемеров

Буйковые (плунжерные) уровнемеры



Измерение уровня раздела сред.

Гидростатические уровнемеры.

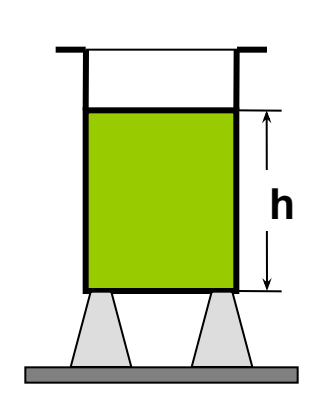
Преобразователь перепада гидростатического давления.

Датчик располагается у дна резервуара,

где давление равно

$$p = p_0 + \rho g h$$

Массовые уровнемеры



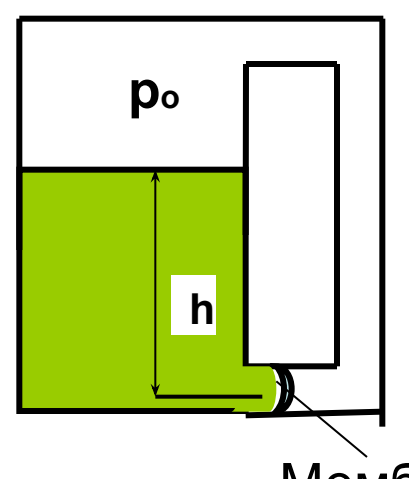
$$h = \frac{G}{S\rho g}.$$

G – сила веса, действующая на опору,

S - площадь зеркала поверхности,

д ускорение силы тяжести,

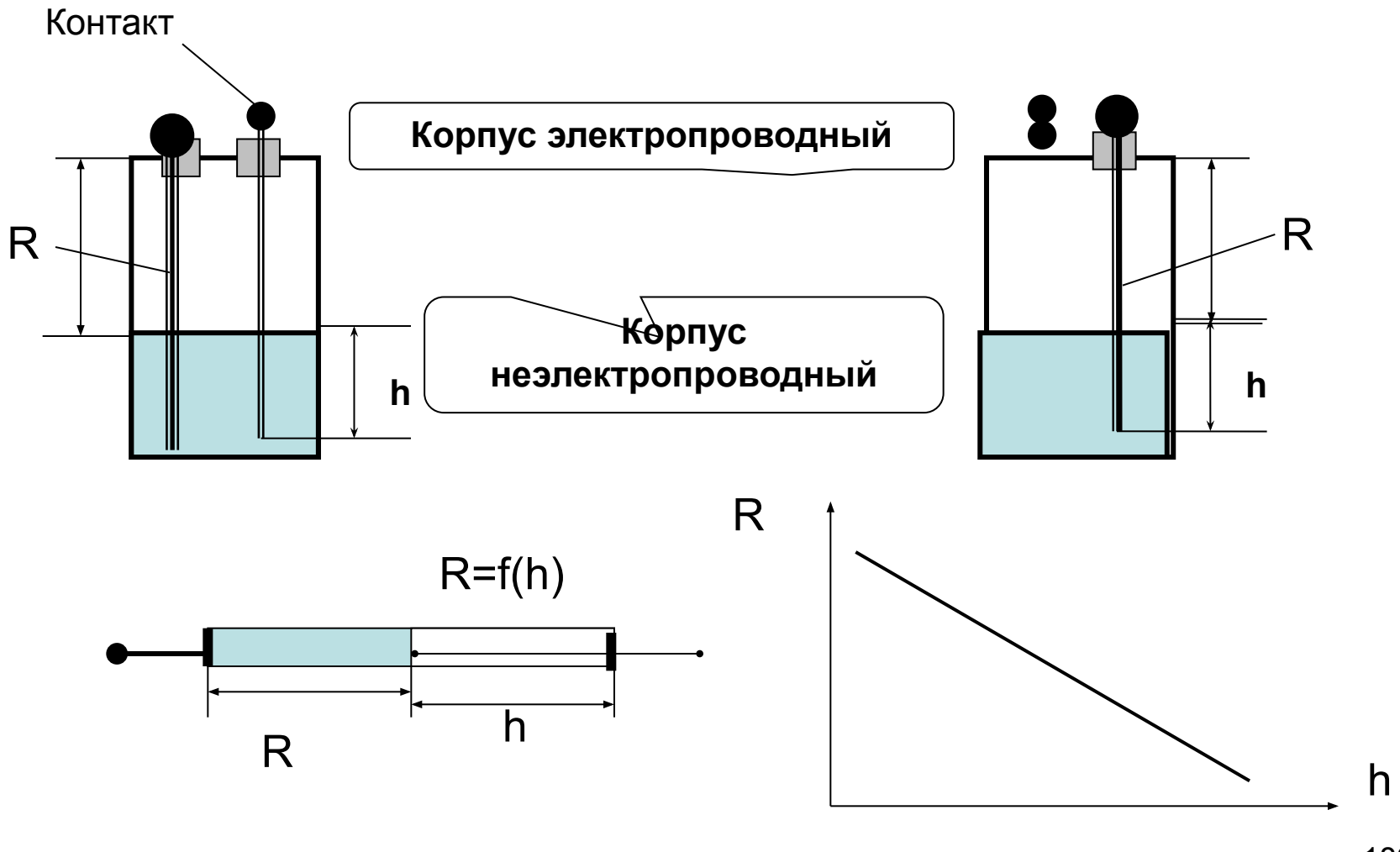
ρ плотность среды.



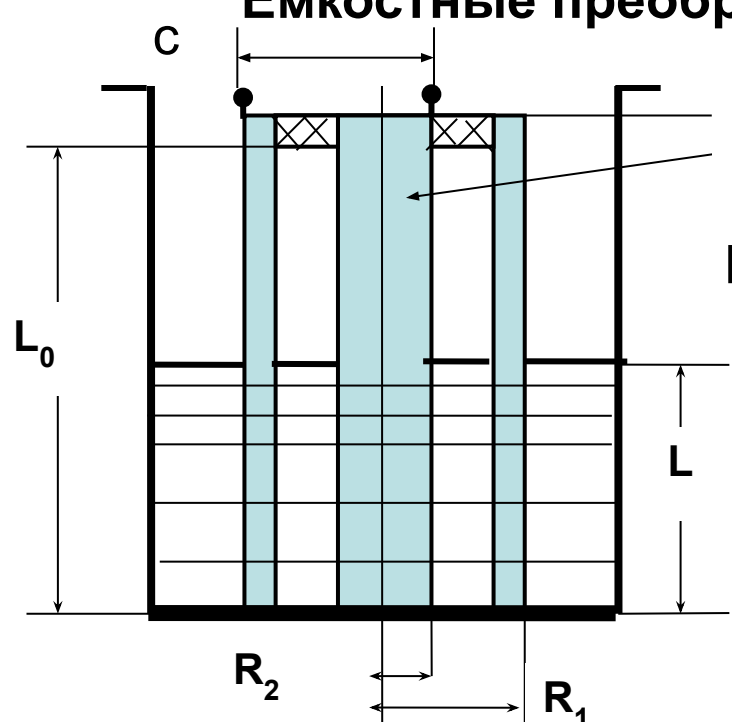
Мембрана

Электрофизические уровнемеры

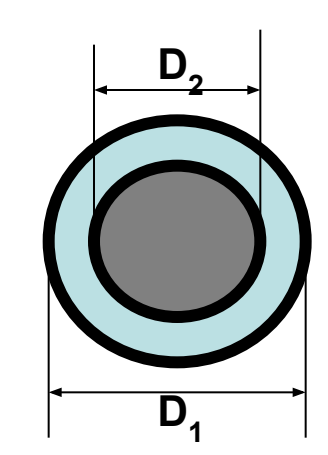
Уровнемеры на основе электропроводности



Емкостные преобразователи уровня

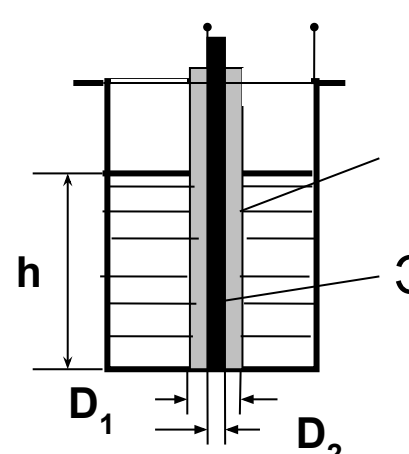


Внутренний электрод Наружный электрод



C

$$C = C_1 + C_0 = \left[L\varepsilon + (L_0 - L)\varepsilon_0\right] \frac{2\pi}{\mathbb{N}n\frac{R_1}{R_2}}$$





Электрод

$$C = \frac{2\pi h \varepsilon}{\ln \frac{R_1}{R_2}}$$

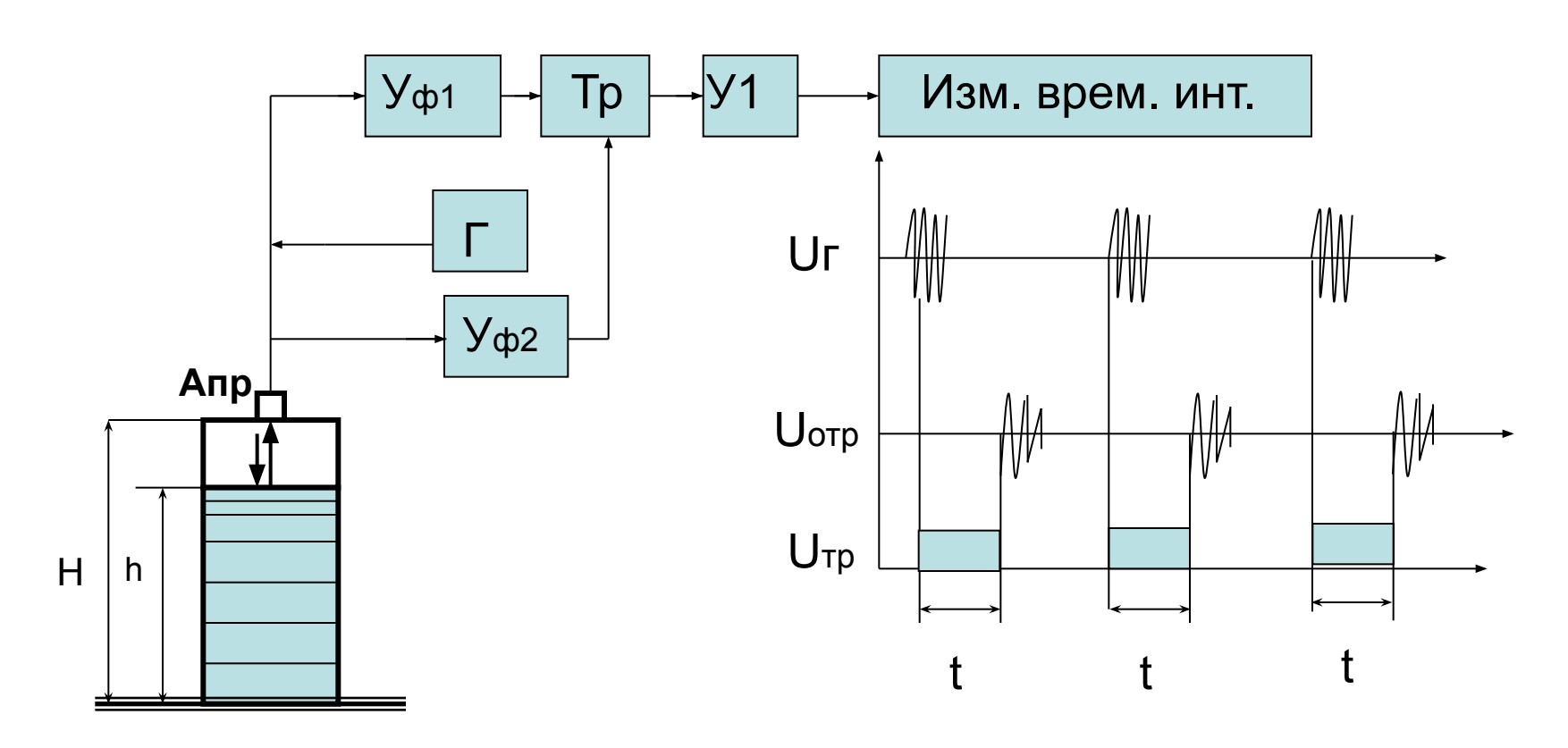


Электрод

184

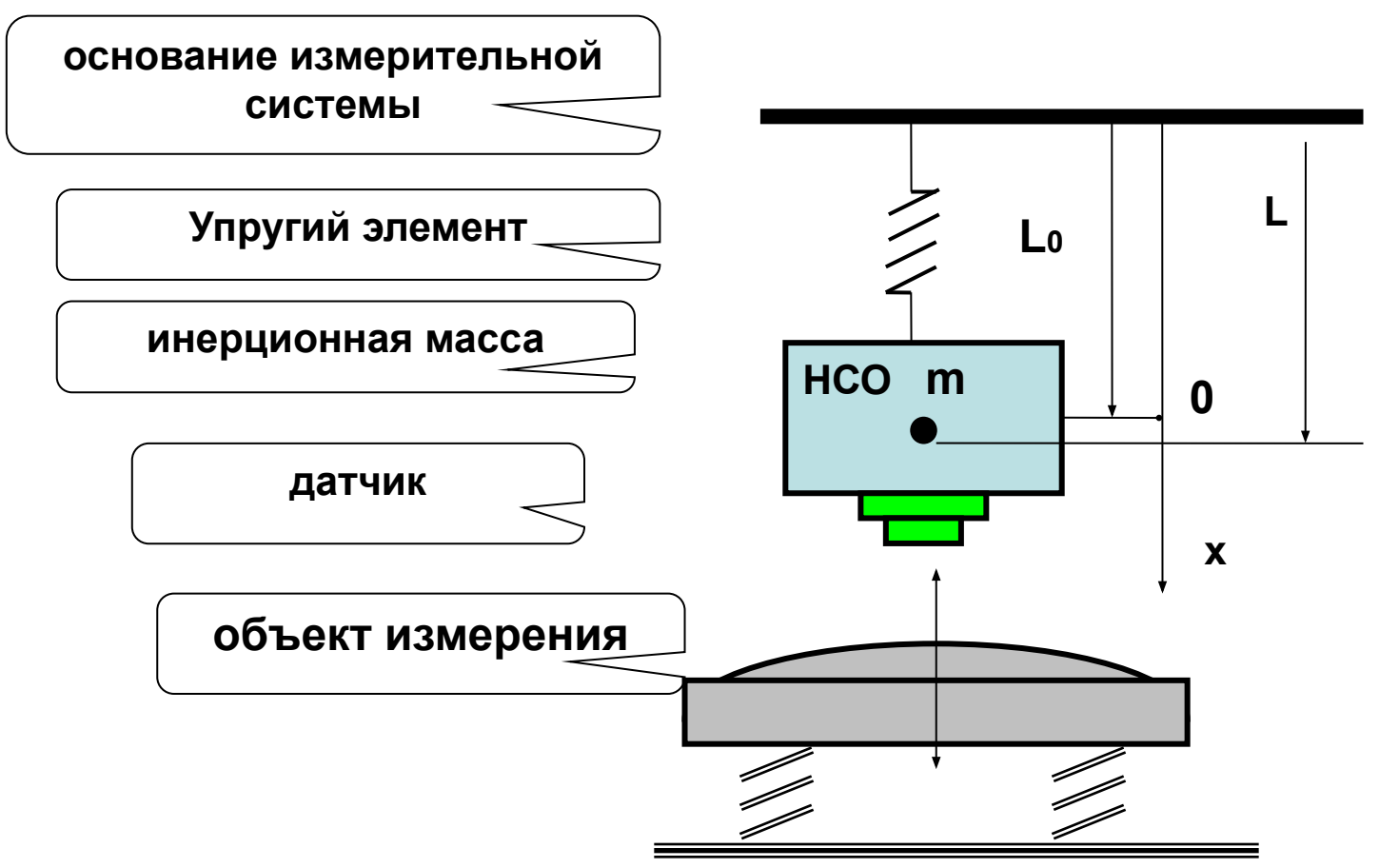
Ультразвуковые уровнемеры

Измерение с помощью акустических волн

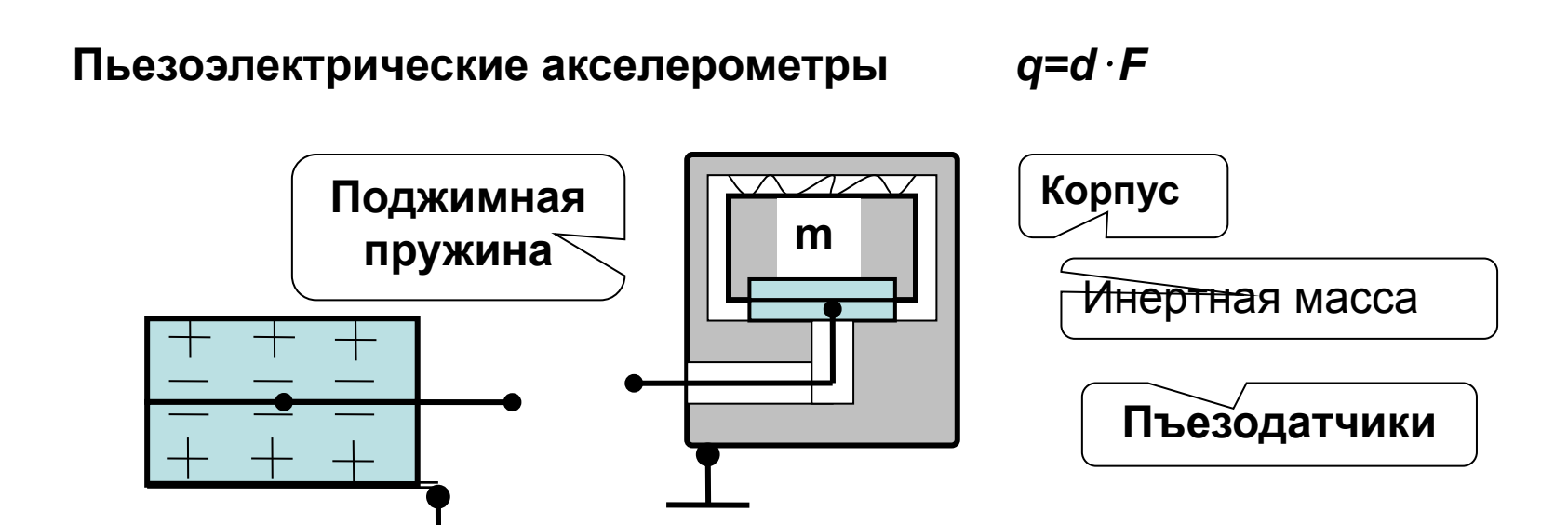


Измерение ускорения, вибрации и удара

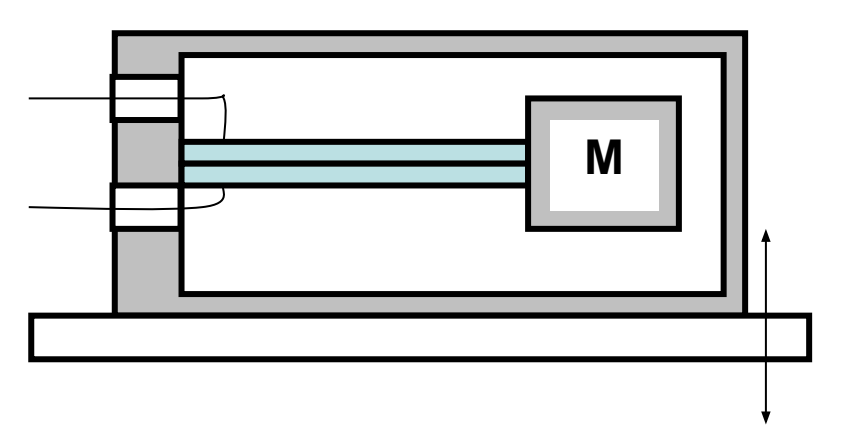
Схема измерения относительной вибрации в назначенной инерциальной системе отсчёта



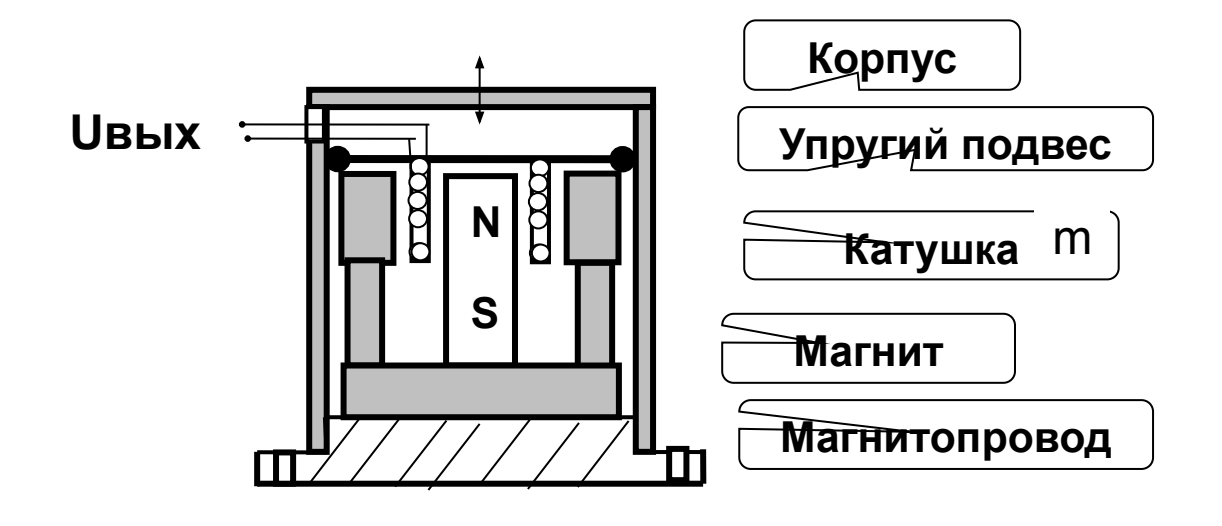
Вторичные преобразователи акселерометров



Пьезоэлектрические акселерометры консольного типа.



Электродинамический датчик виброскорости



U = BSN(dX/dt)

В – индукция, S – площадь катушки, N – число витков катушки,